

الجمهورية الجزائرية الديمقراطية الشعبية  
وزارة التعليم العالي والبحث العلمي  
جامعة منتوري قسنطينة

قسم الكيمياء

كلية العلوم

رقم الترتيب : .....

رقم التسلسل : .....

رسالة مقدمة لنيل درجة دكتوراه الدولة في العلوم  
تخصص كيمياء عضوية  
شعبة كيمياء النبات

تحت عنوان

إستخلاص ، فصل وتحديد بنيات منتج  
الميتابوليزم الثانوي عند نبات جنس *Centaurea* :  
*C. maroccana* و *C. acaulis*

من طرفه : بن تامن علي

أمام اللجنة :

الدكتور سمير بن عياش	أستاذ بجامعة منتوري قسنطينة رئيسا
الدكتورة فضيلة بن عياش	أستاذة بجامعة منتوري قسنطينة مقرر ومشرفة
الدكتور محمد العباسي	أستاذ بجامعة الحاج لخضر باتنة ممتحنا
الدكتور عبد الحميد بن قويدر	أستاذ محاضر بجامعة الحاج لخضر باتنة ممتحنا
الدكتور محمد بن خالد	أستاذ محاضر بجامعة الحاج لخضر باتنة ممتحنا
الدكتور بلقاسم لقصير	أستاذ محاضر بجامعة باجي مختار عنابة ممتحنا

ديسمبر 2004

## تشكرات

إن الشكر لله أولا وأخيرا ، الذي أنعم علي بالتوفيق لإتمام هذا البحث .

أتقدم بالشكر الحار والتقدير والعرفان للأستاذة المشرفة السيدة فضيلة بن عياش على مابذلته من مساعدات وتوجيهات أثناء القيام بهذا البحث ، رغم كثرة الأعمال المنوطة بها .

كما أتوجه بخالص تشكراتي للأستاذ سمير بن عياش على تفضله بقبوله رئاسة لجنة مناقشة هذه الرسالة ، كما أشكره كذلك على النصائح والتوجيهات التي قدمها لي أثناء إنجازي لهذا البحث .

وأوجه خالص تشكراتي إلى الأساتذة محمد العباسي ، عبد الحميد بن قويدر ، محمد بن خالد وبلقاسم لقصير على قبولهم المشاركة في لجنة المناقشة ، وليجدوا في هذا المقام كل التقدير والإحترام .

على ما بذله من مجهودات ومساعدات أثناء فترة Jaime Bermejo Barrera كما أوجه تشكراتي إلى الأستاذ تربصي بمخبره بجزيرة تينريف الإسبانية، كما أشكره على المعاملة الطيبة التي حضيت بها من قبله .

على ما بذلوه من مجهودات ومساعدات Joel Creche و Marc Rideau كما أوجه تشكراتي إلى الأستاذين أثناء فترة تربصي بمخبرهم بجامعة تور الفرنسية .

وأخيرا لا أنس تقديم الشكر إلى كل من ساهم في مساعدتي وتشجيعي من قريب أو بعيد .

## الإهداء

إلى الوالدين الكريمين

إلى أهلي

إلى أبنائي

هيثم ، فارس و أميمة

إلى إخوتي

# الفهرس

.....	المقدمة	1
I	(Centaurea) - نبات جنس السونتوريا	3
4	الجزائرية التي تمت دراستها في مخبرنا	1.I - أنواع جنس Centaurea
1.1.I	- Centaurea incana	4
2.1.I	- 1. Centaurea calcitrapa	8
3.1.I	- Centaurea pullata	10
4.1.I	- Centaurea musimomum	10
5.1.I	- Centaurea nicaensis	13
6.1.I	- Centaurea furfuracea	16
7.1.I	Centaurea napifolia	17
8.1.I	- Centaurea parviflora	18
9.1.I	- Centaurea pungens	19
10.1.I	- Centaurea lippii	19
20	التي تمت دراستها في مخابر أخرى	2.I - بعض أنواع جنس Centaurea
1.2.I	- Centaurea aspera l.	20
2.2.I	- Centaurea pabotu	21
3.2.I	- Centaurea bella	21
4.2.I	- Centaurea melitensise l.	21
5.2.I	- Centaurea collina	21
6.2.I	- Centaurea montana	21
7.2.I	- Centaurea nicolai	21
II	22 - العائلة الكيميائية للسيسكوي تربين لاكتون	22
1.II	22 - التعريف بالعائلة الكيميائية للسيسكوي تربين لاكتون	22
1.1.II	مدخل	22
2.1.II	(Biogénèse) - الإصطناع الحيوي	23
3.1.II	- الإصطناع الكلي للسيسكوي تربين لاكتون	26
4.1.II	- الفعالية البيولوجية للسيسكوي تربين لاكتون	31
5.1.II	33 - التصنيف حسب الهيكل الكربوني	33
1.5.1.II	- السيسكوي تربين لاكتون الغير حلقية	33
2.5.1.II	- السيسكوي تربين لاكتون وحيدة الحلقة	33

33	1.2.5.1.II	- الجرماكرانوليدات
33	1.1.2.5.1.II	- الهليانقوليدات
33	2.1.2.5.1.II	- الملامبوليدات
35	2.2.5.1.II	أودسمانوليدات - 1,10 - - - - - السكو
35	3.2.5.1.II	- الإلمانوليدات
36	4.2.5.1.II	- الكزانثانوليدات
36	3.5.1.II	- السييسكوي تربين لاكتون ثنائية الحلقة
36	1.3.5.1.II	- الأودسمانوليدات
37	2.3.5.1.II	- الفايانوليدات
37	3.3.5.1.II	- اليسودوقايانوليدات
38	4.3.5.1.II	- الإرموفيلانوليدات
38	5.3.5.1.II	- الباكينوليدات
39	4.5.1.II	- السييسكوي تربين لاكتون متعددة الحلقات
39	6.1.II	- المجموعات الوظيفية
III		42- التعريف بالطرق المستعملة في دراسة السييسكوي تربين لاكتون
	1.III	- طرق الكشف
	2.III	- طرق الإستخلاص
	3.III	- طرق فصل السييسكوي تربين لاكتون
3.III	C.C	- كروماتوغرافيا العمود 1
3.III	C.C.M	- كروماتوغرافيا الطبقة الرقيقة 2
4.III		- طرق التنقية
	5.III	- التصنيف بالطرق الفيزيائية
44	1.5.III	- عموميات
45	2.5.III	- مطيافية الكتلة
45	3.5.III	- الرنين النووي المغناطيسي ذو البعدين
45	1.3.5.III	- تعريف
IV		46- النتائج الكيميائية

1.IV	الدراسة النباتية لـ <i>C. acaulis</i> و <i>C. maroccana</i> .....	46
1.1.IV	وضع هاتين النبتتين ضمن التصنيف النظامي للنباتات .....	46
2.1.IV	<i>acaulis</i> - وصف النوع .....	47
3.1.IV	<i>maroccana</i> - وصف النوع .....	47
2.IV	المادة النباتية .....	47
1.2.IV	<i>Centaurea acaulis</i> .....	47
2.2.IV	<i>Centaurea maroccana</i> .....	47
3.IV	التحليل الكيميائي .....	48
1.3.IV	الإستخلاص .....	48
1.1.3.IV	<i>C. acaulis</i> - إستخلاص .....	48
2.1.3.IV	<i>C. maroccana</i> - إستخلاص .....	49
4.IV	الفصل بواسطة الكروماتوغرافيا .....	49
1.4.IV	<i>Centaurea acaulis</i> .....	49
1.1.4.IV	كروماتوغرافيا العمود .....	49
2.1.4.IV	كروماتوغرافيا الطبقة الرقيقة .....	51
2.4.IV	<i>Centaurea maroccana</i> .....	53
1.2.4.IV	كروماتوغرافيا العمود .....	53
2.2.4.IV	كروماتوغرافيا الطبقة الرقيقة .....	55
V	تشخيص المركبات المفصولة .....	56
1.V	<i>Centaurea acaulis</i> .....	56
1.1.V	المركب - ABAF <sub>91</sub> .....	56
2.1.V	المركب - ABAF <sub>101</sub> .....	70
3.1.V	المركب - ABAF <sub>81</sub> .....	84
4.1.V	المركب - ABAF <sub>64</sub> .....	92
5.1.V	المركب - ABAF <sub>41</sub> .....	105
6.1.V	المركب - ABBAF <sub>51</sub> .....	117
2.V	<i>Centaurea maroccana</i> .....	125

125	1.2.V المركب - ABAF28 .....	
	2.2.V المركب - ABAF26.....	
	.....141	
3.2.V	المركب - ABAF <sub>141</sub> .....	155
4.2.V	المركب - ABAF <sub>142</sub> .....	161
5.2.V	المركب - ABAF <sub>222</sub> .....	167
	.....الخاتمة	174
	.....180 - 175	بيبليو جرافيا

## المقدمة

تصنيع معظم المواد الكيميائية ذات الفائدة العظمى والأهمية تعتبر النباتات مصنعا كيميائيا يتم داخله نظرا لتأثيرها الفيزيولوجي ونشاطها البيولوجي على أعضاء الجسم الإنساني والحيواني الكبرى وتتكون هذه المواد كنتاج ثانوي من عمليات الميثابوليزم الثانوي التي تتم بصورة طبيعية في خلايا وأنسجة النباتات و التي تسمى بالإفرازات الأولية أو المنتوجات الطبيعية .

نظرا لكون الوطن الجزائري يشتمل على بيئات مختلفة ومناخات متباينة تنمو على ربوعها و صحاريها و هضابها مختلف النباتات البرية ذات الفائدة الحيوية طيبا و الإقتصادية ماديا و الغالبية العظمى لهذه النباتات لم تمتد إليها يد الإنسان للتعرف عليها و التحقق من الإستفادة منها لما هو مفيد في الغذاء و صالح للدواء ، و نظرا للضرورة الملحة لإستعمال الثروات الطبيعية الخضراء في صحارينا وسهولنا الواسعة لا بد من المسح الكامل و التعرف الشامل على جميع النباتات ، لمعرفة و تحديد مورفولوجيا و تحليلها كيميائيا للوقوف على الفصائل النباتية و التعرف على مكوناتها ومنتجاتها الطبيعية .

هذا العمل أنجز في إطار مشروع دراسة و تقييم الثروات النباتية الجزائرية و خاصة بعض النباتات المستعملة في الطب الشعبي و المنتشرة على نطاق واسع في ربوع الجزائر و بناء على فكرة تتضمن . < Centaurea > دراسة أحد الأنواع النباتية الشوكية الذي ينتمي إلى العائلة المركبة جنس القنطريون التي تعد أرقى العائلات النباتية < Compositae > ينتمي إلى العائلة المركبة < Centaurea > جنس القنطريون [1] نوع 25000 جنس و أكثر من 1000 و لذلك فإنها أكثر العائلات النباتية أجناسا و أنواعا إذ تضم حوالي موزعة في جميع البيئات و في أنحاء العالم المختلفة . و نظرا لأهمية هذه الفصيلة فقد أجريت عليها [2]العديد من الدراسات النباتية

الذي نحن بصدد دراسته لا يقل أهمية من حيث إحتوائه على العديد من < Centaurea > جنس القنطريون ، [6] ، الشموع [3-5] الهيدروكربونات غير المشبعة: المركبات الكيميائية المختلفة و نذكر منها [9] و السترويدات [7-8] وكميات قليلة القلويدات

من أهم المركبات التي فصلت نتيجة الإفرازات الثانوية في هذا الجنس الفلافونيدات ( المركبات . إن إسم هذه النباتات جد قديم و مشتق من كلمة [16-19] و السيسكوي تريين لاكتون [10-15]الفينولية (



و [20] منتشر بكثرة في بلادنا وخاصة في الشرق و الجنوب الشرقي < *Centaurea* > جنس القنطريون أهميتها تكمن في تعدد أنواعها و صعوبة ترتيبها حسب المعطيات المورفولوجية و تركيبها الكيميائي [21]المعقد و كذا نشاطها البيولوجي

يسمح بأخذ فكرة على محتوياتها من جهة و < *Centaurea* >المظهر التسمي لبعض أنواع القنطريون (les C-glycosyl flavones)جليكوزية C-موضعها في الترتيب الكيميائي من جهة أخرى فمثلا الفلافونات ذات الأزهار الصفراء و المرتبة *C. nicaensis* و *C. solstitialis l.* ، *C. Mélitensis l.* موجودة في كل من

[22] *Solistitialia* تحت جنس 1976 و معاونوه في Tutinحسب

[28-23] و الصيدلانية كما أن جنس القنطريون جد معروف بخصائصه الطبية

تستعمل في الطب الشعبي لمعالجة *C. calcitrapa* ، *C. mélitensis l.* ، *C. aspera l.* ، *C. solstitialis* . الأنواع . من بين الأعمال التي [23]مرض السكر حيث تستعمل وحيدة أو على شكل مشروب معقد (نقيع معقد)

حيث درسوا فعالية تخفيض السكر [29] و معاونوه Beltranتؤكد ذلك هو ما قام به

( : )للأنواع الأربعة السابقة الذكر أي *Activité hypoglycemiant*

مما سمح بإكتشاف أن المستخلصات النباتية *C. calcitrapa* ، *C. mélitensis l.* ، *C. aspera l.* ، *C. solstitialis l.* تسبب عند الأرنب هبوط متغير في السكر حيث يعطى المحلول على شكل حقنات في الشرايين ، نفس و هذا ما سمح بإعتبار هذه النبتة *C. aspera l.*الفعل لوحظ عند الفئران عند إستعمال محلول مستخلص [23] (*substance hypoglycemiant*)صالحة لإستعمال تخفيض السكر

كما أنجزت دراسة التسمم لمختلف هذه النباتات بحقن محلول مستخلصها في شرايين الحيوان حيث تستعمل في *C. solstitialis l.* . من جهة أخرى فإن أوراق [23] هي الأقل تسمما *C. calcitrapa* . بينت أن [26] فله خاصية المساعدة على الهضم *C. mélitensis* ، أما النوع [25]الطب الشعبي ضد الحمى

، كما بينت [24] أثبتت فعاليتها ضد الجراثيم *C. floccosa*الدراسة الفيتوكيميائية و البيولوجية ل

[26] يستعمل في الشيلي ضد الروماتيزم *C. chilensis* الدراسات أن القسم العلوي ل

أن هذه النبتة يمكن إستعمالها في مقاومة الإلتهابات *C. cyanus* . كما أثبتت دراسة الفعل الفيزيولوجي ل كما تستعمل كذلك في طب العيون .

إن الهدف من هذا العمل يتركز حول

إستخلاص ، فصل وتحديد الصيغة البنوية للمركبات السيسكوي تربينية اللاكتونية و الفلافونيدية لكون هذه المركبات معروفة *C. maroccana* و *C. acaulis* . الموجودة في المستخلصات متوسطة القطبية ل بفعاليتها البيولوجية المختلفة .

# الفصل الأول

## (*Centaurea*) نبات جنس السونتوريا

ومنها ما ( *endemique* ) منها ما هو محلي *Centaurea* نوع من جنس 45 يوجد في كافة القطر الجزائري موجود في بقية أنحاء العالم الأخرى . هو ونظرا لما للتربة والمناخ من تأثير على الميتابوليزم الثانوي عند النباتات حاولنا دراسة كل هذه الأنواع .

جد متنوع و في إطار هذا العمل قمنا بتجميع و (*Centaurea*) التركيب الكيميائي لنبات القنطريون تشخيص (تصنيف) عدة أنواع من هذه النباتات و هذا للوقوف على ما يحتويه كل نوع من مركبات كيميائية فلافوندية و سيسكوي تربين لاكتون و المقارنة بينها من جهة و من جهة أخرى تقديم نفع للصناعة الصيدلانية .

: التي تم جمعها و تصنيفها (*Centaurea*) أنواع نبات القنطريون

*Centaurea pullata*  
*Centaurea calcitrapa l.*  
*Centaurea granata*  
*Centaurea incana l.*  
*Centaurea spherosephala*  
*Centaurea nicaensis all.*  
*Centaurea furfuracea*  
*Centaurea napifolia l.*  
*Centaurea napitula*  
*Centaurea musimomum*  
*Centaurea sempervirins*  
*Centaurea lippii*  
*Centaurea pungens*  
*Centaurea parviflora*  
*Centaurea solistitialis*  
*Centaurea africana*  
*Centaurea fragilis*  
*Centaurea maroccana*  
*Centaurea acaulis*

إن بعض هذه الأنواع قد تمت دراسته والبعض الآخر مازالت دراسته مستمرة وأغلبها في مرحلة متقدمة

:الجزائرية التي تمت دراستها في مخبرنا *Centaurea* . أنواع جنس 1.I

لقد أنجزت مجموعة أبحاث بمخبر كيمياء النباتات بقسم الكيمياء جامعة منتوري - قسنطينة من قبل الأساتذة و الباحثين لدراسة و معرفة محتويات نبات القنطريون (*Centaurea*). من المركبات التي

حضيت بعناية الفلافونيدات و السيسكوي تربين لاكتون ، و من بين أنواع *Centaurea* التي تمت دراستها هي :

*Nicaensis*[36,37], *C. musimomum*[34,35], *C. pullata*[33], *C. calcitropa* [31,32], *C. incana*[30] *C.*

*C. furfuracea*[38,39]

*C. napifolia* l.[44,45], *C. granata* [43], *C. lippii* [42], *C. pungens* [41], *C. parviflora* [40].

وكانت النتائج كما يلي

### ***Centaurea incana* .1.1.I :**

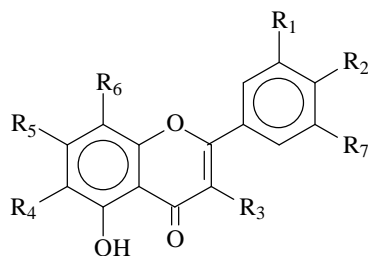
هذه النبتة تستعمل من قبل سكان الأوراس بضواحي باتنة كدواء شعبي تقليدي حيث أن له تأثير

فعال على الخلايا الكبدية كما أن جذوره أستعملت كدواء لبعض أمراض الكبد و هذا حسب الطريقة

[46]التي تشير لها المنشورات

، صيغ المركبات المفصولة ملخصة في 1992 مركبا فلافونيديا من هذه النبتة في سنة 14تم فصل

(1-1) الجدول



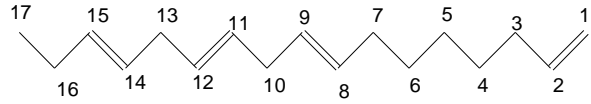
	R <sub>1</sub>	R <sub>2</sub>	R <sub>3</sub>	R <sub>4</sub>	R <sub>5</sub>	R <sub>6</sub>	R <sub>7</sub>
7,3',5'- Tri Me- tricétine	OMe	OH	H	H	OMe	H	OMe
7,3'4'5'- Tetra Me-tricétine	OMe	OMe	H	H	OMe	H	OMe
7 - Glucosyl3,5'-diMe-myricétine	OH	OH	OMe	H	O-glu	H	OMe
6- C-glucosyl-o- glucosyl apigénine	H	OH	H	C-glu O-glu	OH	H	H
7- Glucosyl laricitrine	OMe	OH	OH	H	O-glu	H	H
6- Methoxy apigénine	H	OH	H	OMe	OH	H	H
6- Methoxy lutécline	OH	OH	H	OMe	OH	H	H
6- kaempférol Methoxy	H	OH	OH	OMe	OH	H	H
6- Methoxy quercétine	OH	OH	OH	OMe	OH	H	H
7- Methoxy 6- Glucosyl apigénine	H	OH	H	OMe	O-glu	H	H
7-Methyl apigénine galacturonide	H	OH	H	H	Me Galac	H	H
7- Glucosyl 6- Methoxy quercétine	OH	OH	OH	OMe	O-glu	H	H
3-O-ramno Glucosyl quercétine	OH	OH	O-glu O- rham	H	OH	H	H
6,8- di-C-glucosyl apigénine	H	OH	H	Glu	OH	glu	H

الجدول (1-1) يبين صيغ المركبات المفصولة من نبات *Centaurea incana*

:خارج مخبرنا لفصل مركبات نذكر منها كما كانت هذه النبة موضوعا لبعض الدراسات

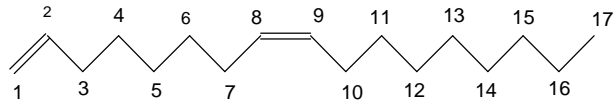
: من فصل مركبين من الجذور الفتية لهذه النبة هما [46]تمكن أحد الباحثين 1982سنة

المركب الأول 1,8,11,14-Heptadecatetraene



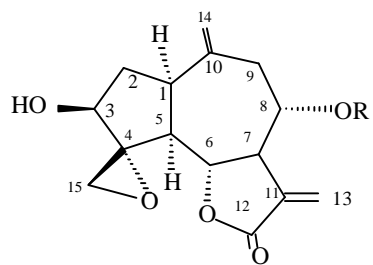
Aplotaxene ويعرف هذا المركب باسم

المركب الثاني 1,8-Heptadecadiene



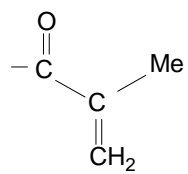
Tetra-hydroaplotaxene المعروف تحت اسم

يمكن [47] مركبات سيسكوي تريبين لاكتون من سيقان و أوراق هذه النبتة 6 تم فصل 1986 وفي سنة  
توضيح البنى الكيميائية لها كما يلي

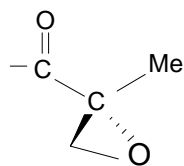


R

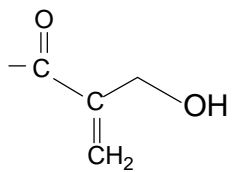
1



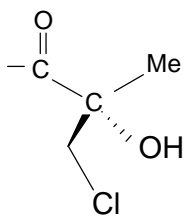
2

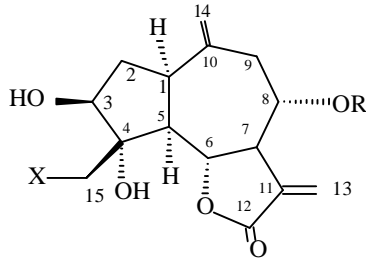


5



3

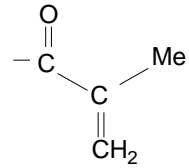




X

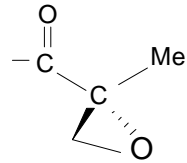
R

6



OH

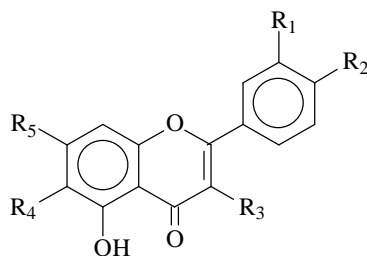
4



Cl

### *Centaurea calcitrapa* .2.1.I :

حيث فصل منها [48,31] من الناحية الفيتوكيميائية هذه النبتة تحتوي على عدة مركبات عديدة الفينول صيغ [31] مركبا فلافونيدا من هذه النبتة 12 تم فصل 1989 و في سنة [49] مركبين من عائلة القلويدات (2-1) هذه المركبات ملخصة في الجدول

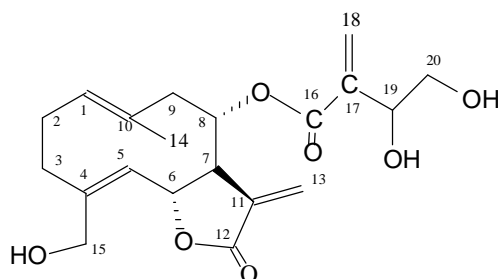


	R <sub>1</sub>	R <sub>2</sub>	R <sub>3</sub>	R <sub>4</sub>	R <sub>5</sub>	R <sub>6</sub>	R <sub>7</sub>
Apigénine	H	OH	H	H	OH	H	H
Hispiduline	H	OH	H	OMe	OH	H	H
Pectolinargéne	H	OMe	H	OMe	OH	H	H
Jacéosidine	OMe	OH	H	OMe	OH	H	H
Kaempférol	H	OH	OH	H	OH	H	H
6-methoxykaempférol	H	OH	OH	OMe	OH	H	H
7-O-glucosylapigénine	H	OH	H	H	O-glu	H	H
3-O-glucosylquercétine	OH	OH	O-glu	H	OH	H	H
3-O-rutinosylkaempférol	H	OH	O-rutin	H	OH	H	H
7-O-glucosyl 6-methoxykaempférol	H	OH	OH	OMe	O-glu	H	H
3-O-glucosylkaempférol	H	OH	O-glu	H	OH	H	H
3-O-glucosyl 6-methoxykaempférol	H	OH	O-glu	OMe	OH	H	H

الجدول (2-1) يبين صيغ المركبات المفصولة من نبات *Centaurea calcitrapa l.*

ذو الصيغة الكيميائية [32] cnicine تم فصل مركب سيسكوي تربين لاكتون يسمى 1991 في سنة

التالية:



Cnicine

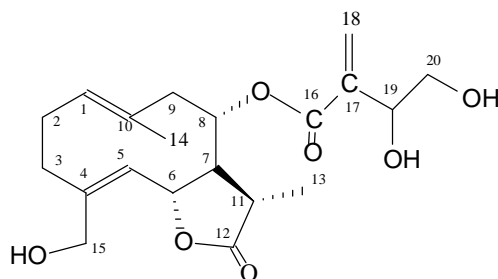
. أما من الناحية البيولوجية [50] فقد فصل منها مركبان من نوع الجيرماكرانوليدات 1967 أما في سنة

[52]. و تسبب هبوط في السكر [51] فإنها تتمتع بسمية عالية

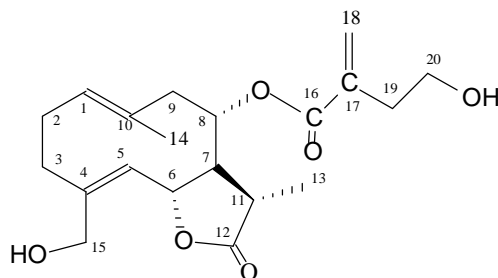


### ***Centaurea pullata* .3.1.I :**

و [53]من الناحية الفيتوكيميائية كانت هذه النبتة محل دراستين أعطت بنية سيسكوي تربين لاكتون و [54]. (Les akenes) مختزلة في الأوراق و الأكان Cyano geniques و مركبات Prunasineمركبات من و في سنة 1991 تم بمخبرنا فصل مركبين جديدين من عائلة السيسكوي تربين لاكتون نوع [33]. الجيرماكرانوليدات(germacranolides)



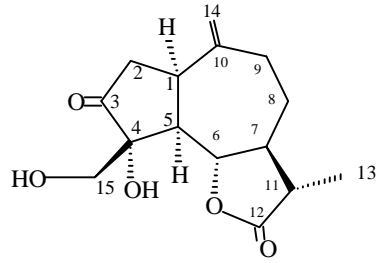
Dihydro-11 $\beta$ ,13 cnicine



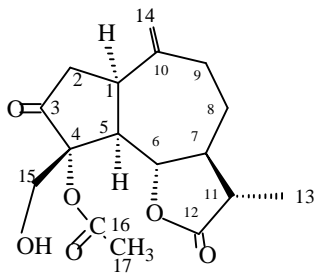
Dihydro-11 $\beta$ ,13dehydroxy19 cnicine

### ***Centaurea musimomum* .4.1.I :**

هذه النبتة لم تدرس من قبل و ذلك حسب البيبليوغرافيا و قد تمت دراستها بمخبرنا سنة 1996 وتم . هما [34] فصل مركبين جديدين

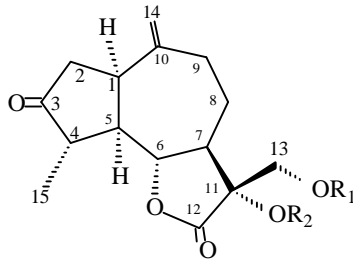


3-oxo-4 $\alpha$ -hydroxy-15-hydroxy-1 $\alpha$ H,5 $\alpha$ H,6 $\beta$ H,  
7 $\alpha$ H,11 $\beta$ H-guai-10(14)-ene-6,12-olide

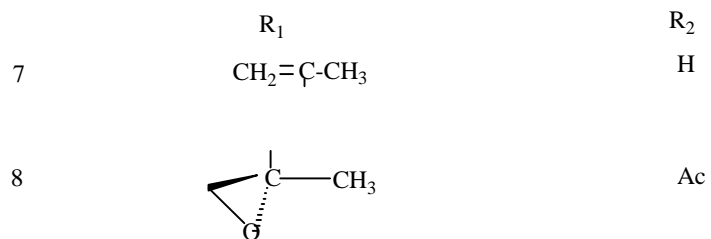
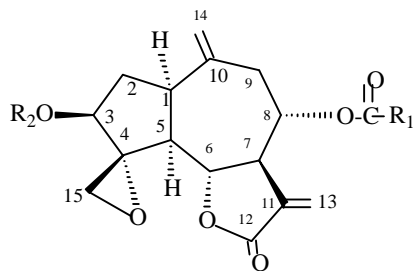
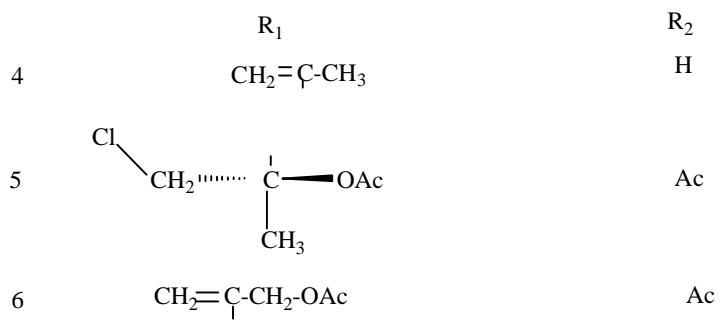
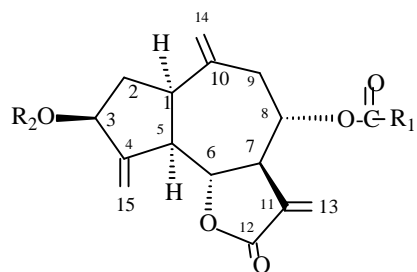


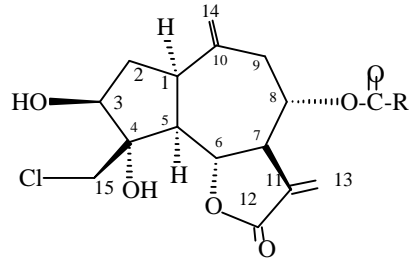
3-oxo-4 $\alpha$ -acetoxy-15-hydroxy-1 $\alpha$ H,5 $\alpha$ H,6 $\beta$ H,  
7 $\alpha$ H,11 $\beta$ H-guai-10(14)-ene-6,12-olide

مركبا من عائلة السيسكوي تربيين لاكتون نوع (12) كما فصل منها في سنة 1998 إثنى عشرة  
ذات الصيغ الكيميائية التالية (35) القايانوليدات

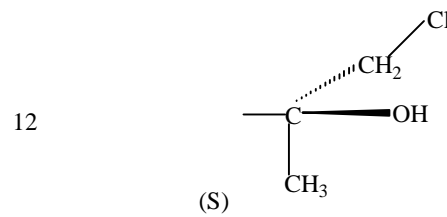
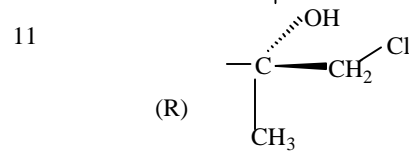
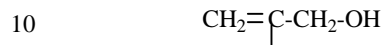


	R <sub>1</sub>	R <sub>2</sub>
1	Ac	H
2	H	H
3	Ac	Ac



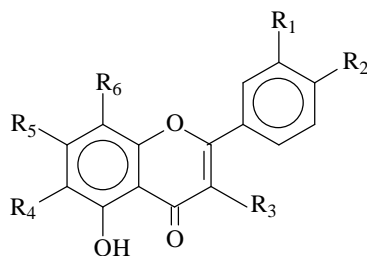


R



### *Centaurea nicaensis* .5.1.I :

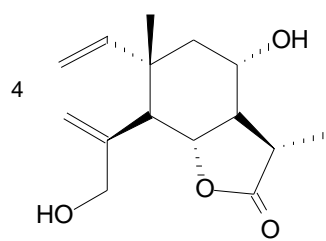
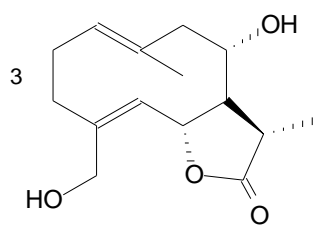
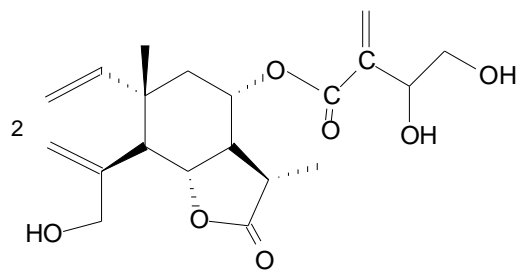
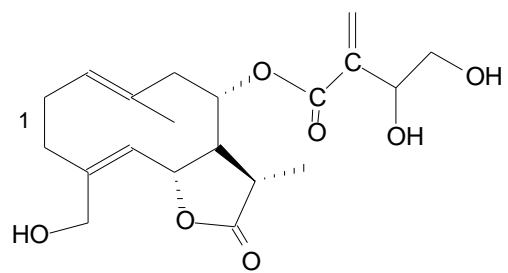
بيوتانول لهذه النبتة التي تمت بمخبرنا أستطاع أحد الباحثين -عند الدراسة الفيتوكيميائية لمستخلص ن  
(3-1). هذه النتائج ملخصة في الجدول [36] أن يفصل منها 12 مركبا فلافونيدا



	R <sub>1</sub>	R <sub>2</sub>	R <sub>3</sub>	R <sub>4</sub>	R <sub>5</sub>	R <sub>6</sub>	R <sub>7</sub>
6,7 - Dimethoxy chrysoériol	OMe	OH	H	OMe	OMe	H	H
7-O-glucosyl isoorietine	OH	OH	H	glu	O-glu	H	H
6-O-glucosyl isoorientinel	OH	OH	H	O-glu C-glu	OH	H	H
6-methoxy quercétine	OH	OH	H	OMe	OH	H	H
6-methoxy chrysoériol	OMe	OH	H	OMe	H	H	H
6-methoxy lutéoline	OH	OH	H	OMe	OH	H	H
6-methoxy kaempférol	H	OH	OH	OMe	OH	H	H
3'-methoxy salvigénine	OMe	OMe	H	OMe	OMe	H	H
6,8-di-c-glucosyl apigénine	H	OH	H	C-glu	OH	O-glu	H
7-O-glucosyl 6-methoxy quercétine	H	OH	OH	OMe	O-glu	H	H
7-O-glucosyl hispiduline	H	OH	H	OMe	O-glu	H	H
7-O-glucosyl isorhamunétine	OMe	OH	OH	OMe	O-glu	H	H

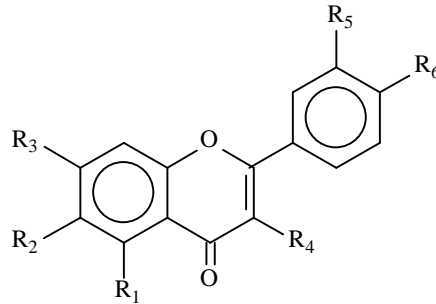
الجدول (3-1) يبين صيغ المركبات المفصولة من نبات *Centaurea nicaensis*

حيث فصل منها [37] 2000 كما تمت دراسة مستخلص الكلوروفورم لهذه النبتة كذلك في مخبرنا سنة أربعة مركبات من نوع السيسكوي تربين لاکتون عائلة الجيرماکرانوليدات ذات الصيغ الكيميائية التالية:



### *Centaurea furfuracea* .6.1.I :

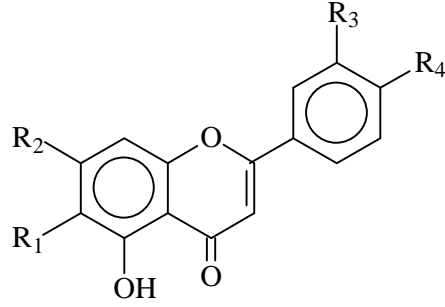
بيوتانول لهذه النبتة من طرف أحد الزملاء -في سنة 1996 تمت الدراسة الفيتوكيميائية للمستخلص ن . و [38]الباحثين بمخبرنا حيث تم فصل 9 مركبات فلافونيدية من بينها مركب يفصل لأول مرة يوضح هذه الصيغ (4-1)الجدول



	R <sub>1</sub>	R <sub>2</sub>	R <sub>3</sub>	R <sub>4</sub>	R <sub>5</sub>	R <sub>6</sub>
Apigénine	OH	H	OH	H	H	OH
Hispiduline	OH	OMe	OH	H	H	OH
Circimaritine	OH	OMe	H	OMe	OH	OH
3-methyl kaempférol	OH	OH	H	OMe	H	OH
7-O-glucosyl apigénine	OH	H	O-glu	H	H	OH
7-O-glucosyl hispiduline	OH	OMe	O-glu	H	H	OH
7-O-glucosyl patulétine	OH	OMe	O-glu	OH	OH	OH
7-O-methyl glucoronyl hispiduline	OH	H	OMe glu	H	H	OH
7-O-methyl-glucoronyl apigénine	OH	OMe	OMe glu	H	OH	OH

الجدول (4-1) يبين صيغ المركبات المفصلة من نبات *Centaurea furfuracea*

كما أستطاع باحث آخر أن يفصل من مستخلصي الكلوروفورم و خلات الإيثيل سنة 2003 ثلاثة مركبات . أما محتويات المستخلص اللاكتونية فلزالت (5-1) صيغها الكيميائية مبينة في الجدول [39]فلافونيدية تحت الدراسة .

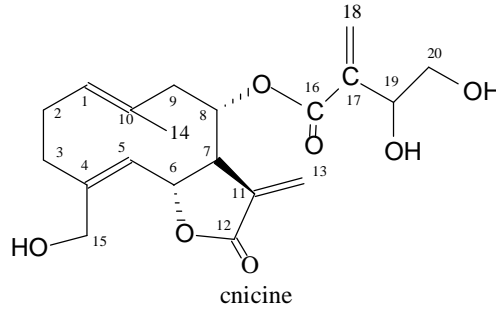


	R <sub>1</sub>	R <sub>2</sub>	R <sub>3</sub>	R <sub>4</sub>
5,7,4'-Trihydroxy 6-methoxy Flavone	OMe	OH	H	OH
5,4'-dihydroxy 6,7-dimethoxy Flavone	OMe	OMe	H	OH
5,7,3',4'-tetrahydroxy 6-methoxy Flavone	OMe	OH	OH	OH

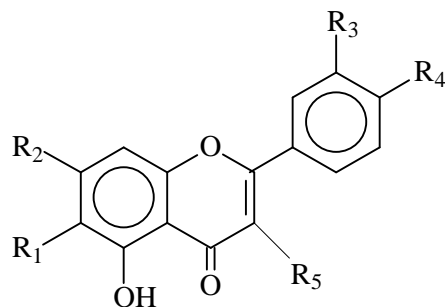
الجدول (5-1) يبين صيغ المركبات المفصولة من نبات *Centaurea furfuracea*

### *Centaurea napifolia* L. 7.1.I :

إذ أستطعنا أن نفصل منها مركب من عائلة السيسكوي كانت هذه النبتة محل دراسة بمخبرنا سنة 1997 .  
 الصيغ الكيميائية لهذه [45-44]تربيع لآكتون نوع الجيرماكرانوليدات وخمسة مركبات فلافونيدية .  
 المركبات هي الموضحة أدناه







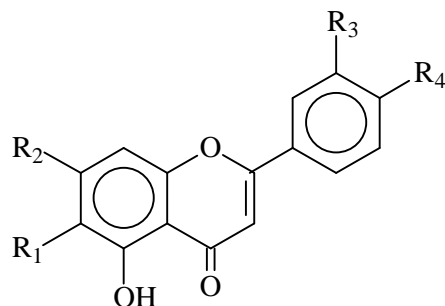
	R <sub>1</sub>	R <sub>2</sub>	R <sub>3</sub>	R <sub>4</sub>	R <sub>5</sub>
3,3',4',5 - tetrahydroxy flavone	H	OH	OH	OH	OH
4',5,7' - trihydroxy 6 - methoxy flavone	OMe	OH	H	OH	H
4',5 - dihydroxy 6,7 - dimethoxy flavone	OMe	OMe	H	OH	H
4',5 - dihydroxy 3',6,7 - trimethoxy flavone	OMe	OMe	OMe	OH	H
5 - hydroxy 3',4',6,7 - tetramethoxy flavone	OMe	OMe	OMe	OMe	H

الجدول (6-1) يبين صيغ المركبات الفلافونيدية المفصولة من نبات *Centaurea napifolia l.*

### 8.1.I : *Centaurea parviflora*

صيغها الكيميائية [40] تمت دراسة هذه النبتة سنة 2003 بمخبرنا وفصل منها 4 مركبات فلافونيدية

(7-1) موضحة في الجدول

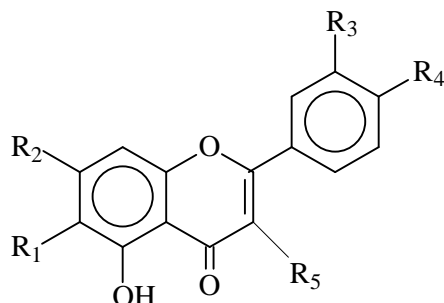


	R <sub>1</sub>	R <sub>2</sub>	R <sub>3</sub>	R <sub>4</sub>
5,3'- dihydroxy6,7,4'- trimethoxy flavone	OMe	OMe	OH	OMe
5,7 -dihydroxy6,3',4'- trimethoxy flavone	OMe	OH	OMe	OMe
5,4'-dihydroxy6,7,3' trimethoxy flavone	OMe	OMe	OMe	OH
5,7,4'-trihydroxy6,3'- dimethoxy flavone	OMe	OH	OMe	OH

*Centaurea parviflora* يبين صيغ المركبات المفصولة من نبات (7-1) الجدول

### 9.1.I : *Centaurea pungens*

في سنة 2001 تمت دراسة هذه النبتة من قبل أحد الباحثين بمخبرنا و أستطاع أن يفصل منها 4 (8-1) صيغها الكيميائية موضحة في الجدول [41] مركبات فلافونيدية .



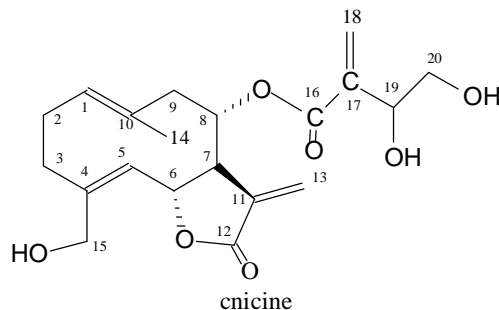
	R <sub>1</sub>	R <sub>2</sub>	R <sub>3</sub>	R <sub>4</sub>	R <sub>5</sub>
5-hydroxy 6,7,4'-trimethoxy flavone	OMe	OMe	H	OMe	H
5-hydroxy 6,7,3',4'-tetramethoxy flavone	OMe	OMe	OMe	OMe	H
5,3'-dihydroxy 6,7,4'-trimethoxy flavone	OMe	OMe	OH	OMe	H
5,4'-dihydroxy 3,7-dimethoxy flavone	H	OMe	H	OH	OMe

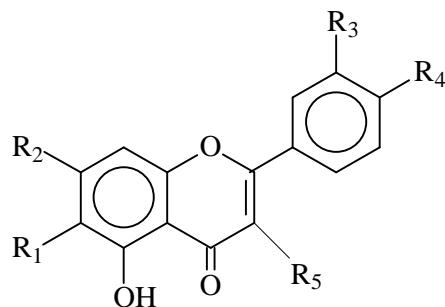
الجدول

*Centaurea pungenis* يبين صيغ المركبات المفصولة من نبات (8-1)

### ***Centaurea lippii* .10.1.I :**

إذ أستطاع أن يفصل [42]كانت هذه النبتة محل دراسة من طرف أحد الباحثين بمخبرنا سنة 2002 منها مركب من عائلة السيسكوي تريبين لآكتون نوع الجيرماكرانوليدات و ثلاثة مركبات فلافونيدية . الصيغ الكيميائية لهذه المركبات هي الموضحة أدناه





	R <sub>1</sub>	R <sub>2</sub>	R <sub>3</sub>	R <sub>4</sub>	R <sub>5</sub>
6-C-glucosyl apigénine	Glu	OH	H	OH	H
3-O-glucosyl quercétine	H	OH	OH	OH	O-glu
3-O-rutinosyl kaempférol	H	OH	H	OH	O-rutin

الجدول (9-1) يبين صيغ المركبات الفلافونيدية المفصولة من نبات *Centaurea lippii*

: التي تمت دراستها في مخابراًخرى *Centaurea*. بعض أنواع جنس 2.I

من بين أنواع جنس القنطريون التي تمت دراستها في مخابراًخرى حسب ما ذكر في البيبليوغرافيا منها:

*C. asprra l.* , *C. pabotu* , *C. bella* , *C. mélitensis L.* , *C. collina* , *C. montana* , *C. nicolai*

### ***Centaurea aspera l.* .1.2.I :**

لقد كانت هذه النبتة هدفا للعديد من الدراسات في مخابراً مختلفة حيث فصل منها عدد كبير من المركبات من عائلات كيميائية مختلفة

أ- الستيرويدات (steroides) تم فصل مركبين هما [55] sisterol , stigmasterol

ب- المشتقات الإيرونية (derives uroniques) حيث توصلوا إلى فصل

[55] 7-O- Ethyl apigénineglucuronate

لقد تم عزل عدة مركبات من عائلات مختلفة للسيسكوي تربين :ج- السيسكوي تربين لاكتون لاكتون منها

: حيث تم فصل ثلاثة مركبات هي (elemanolides) - الإلمانوليدات

[56] Dihydromélitensine , Isomélitensine , Mélitensine

: تم فصل مركبين من هذا النوع هما (germacranolides) - الجرماكرانوليدات

[56] stenophyllolyde , Dehydrostenophyllolyde

: فصل مركبين من هذا النوع هما (eudesmanolides) - الأوديسمانوليدات

[56] Eudesmane-1 , Eudesmane-2

[56] Vonifoliol د- التربينات متعددة الأكسجين فصل ثلاثة مركبات من هذا النوع نذكر منها

5- les glycosides cyanogeniques : تم فصل مركبين هما [57]Prunasine , Butenoylprunasine

أدت الدراسات الخاصة بهذه النبتة إلى تعيين مركبين من نوع **.2.2.I Centaurea pabotu** :

هما (guaianolides) القاينوليدات لاكتون تنتمي إلى عائلة السيسكوي تريبين

[58] 11,13-Dihydrodeacylcynaropicrine , Aguerine-A

مركبان من نوع **.3.2.I Centaurea bella** وهما Cibelline-N , Cibelline-O من هذه النبتة تم فصل

[59] (guaianolides) السيسكوي تريبين لاكتون عائلة القاينوليدات

: فصل من هذه النبتة ثلاثة أسترويدات هي **.4.2.I Centaurea melitensis l.**

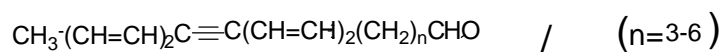
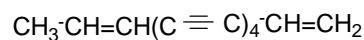
[60] *b-Sisterol3-o-D-glucoside* , *b-Sisterol* , *Stigmasterol*

: منها (coumarine) أعطت هذه النبتة مركبات من نوع الكومارين **.5.2.I Centaurea collina** :

[61] *Scoparone* , *Scopalétine*

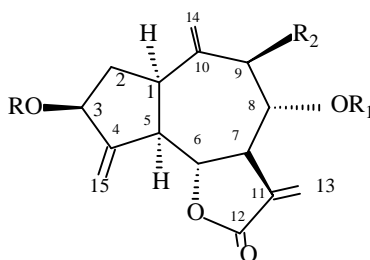
فصل منها عدد من الفحوم الهيدروجينية غير المشبعة نذكر منها **.6.2.I Centaurea montana** :

[62]



دراسة هذه النبتة أدت إلى فصل خمسة مركبات من نوع السيسكوي **.7.2.I Centaurea nicolai** :

صيغها الكيميائية موضحة كما يلي [63] (guaianolides) تريبين لاكتون عائلة القاينوليدات



	R	R <sub>1</sub>	R <sub>2</sub>
1	Ac	H	H
2	Ac	H	OH
3	H	H	OAc
4	Ac	H	OAc
5*	Ac	H	H

\* 10b, 14b-epoxy

الجدول (10-1) يبين صيغ المركبات المفصلة من نبات *Centaurea nicolai*

مقدمة

يعتبر منتج الميتابوليزم الثانوي ذو فائدة عظيمة من حيث تأثيره الفيزيولوجي ونشاطه البيولوجي على أعضاء الجسم الحيواني والإنساني ، هذا ما جعل العديد من الباحثين في مجال الكيمياء النباتية يولون إهتماما كبيرا لدراسة مختلف العائلات النباتية . (phytochimie).

التي تضم (compositae) من بين العائلات التي حضيت بمثل هذه الدراسات عائلة النباتات المركبة الذي وقع إختيارنا عليه ضمن مشروع دراسة (Centaurea) العديد من الأجناس من بينها جنس السونتوريا وتقييم الثروات النباتية الجزائرية وخاصة بعض النباتات المستعملة في الطب الشعبي .

: يضم عدد كبير من الأنواع . قمنا في عملنا هذا بدراسة نوعين هما (Centaurea) جنس السونتوريا  
acaulis L. و maroccana.

الذي نحن بصدد دراسته على العديد من عائلات المركبات (Centaurea) يحتوي جنس السونتوريا الكيميائية المختلفة .

من أهم عائلات المركبات الكيميائية المتولدة من إصطناع الميتابوليزم الثانوي في جنس السونتوريا ذات (Centaurea) الفلافونيدات والسيكوي تربين لاكتون وتعتبر نباتات جنس السونتوريا : (Centaurea) إنتشار واسع في بلادنا خاصة في الشرق والجنوب الشرقي .

لقد أنجزت مجموعة أبحاث بمخبر كيمياء النباتات بقسم الكيمياء جامعة منتوري - قسنطينة من قبل الأساتذة و الباحثين لدراسة و معرفة محتويات نبات القنطريون (Centaurea). من المركبات التي حضيت بعناية الفلافونيدات و السيكوي تربين لاكتون ، و من بين أنواع Centaurea التي تمت دراستها هي :

*Nicaensis*[36,37], *C. musimomum*[34,35], *C. pullata*[33], *C. calcitropa* [31,32], *C. incana*[30] *C.*

*C. furfuracea*[38,39]

*C. napifolia l.*[44,45], *C. granata* [43], *C. lippii* [42], *C. pungens* [41], *C. parviflora* [40].

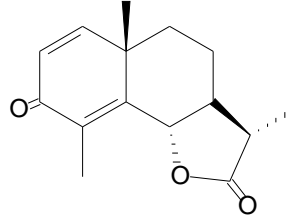
:وكانت النتائج كما يلي

## الفصل الثاني

### التعريف بالعائلة الكيميائية للسيسكوي تربين لاکتون

#### التعريف بالعائلة الكيميائية للسيسكوي تربين لاکتون :.III.1.

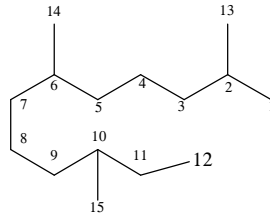
**مدخل :** تكون السيسكوي تربينات اللاكتونية مجموعة هامة من المركبات الطبيعية ذات فعالية .III.1. و حددت Asteraceae أغلبيتها من [67-64] بيولوجية كبيرة تم الكشف عنها في أكثر من 15 عائلة نباتية [68] سنة 1930 في صورة بلورات  $\alpha$ -Santonine أكثر من 4000 صيغة بنيوية حيث كان تاريخ فصل أولها



$\alpha$  - Santonine

اللاكتونات السيسكوي تربينية هي قسم من التربينات يتكون الهيكل الأساسي لها من 15 ذرة كربون ، لاکتون . تتشكل طبيعيا داخل النباتات عن طريق تكاثف ثلاثة  $\gamma$  وتحتوي على الأقل على المجموعة وحدات الإيزوبرين التي تتحد على شكل ( رأس - ذيل ) ليتكون المركب

(1-2) كما هو موضح في الشكل-2,6,10 Tri methyldecane



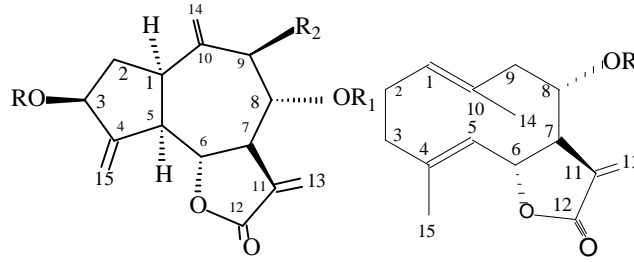
الشكل(1-2)

Tri methyldecane

2,6,10-

هذا الأخير يشكل الهيكل الأساسي لأغلبية العائلات السيسكوي تربينية اللاكتونية .

إن كيمياء السيسكوي تريين لاكتون تشكل أساس اللاكتونات الطبيعية التي فصلت من مختلف العائلات *Les magnoliacées* , *les amarantacées* , *les aristolochiacées* , *les ombellifènes* و *composées les* النباتية مثل  $C_{(8)}$  ,  $C_{(7)}$  , أما بالنسبة للكيمياء الفراغية فواضح أنها تتبع المستبدلات خاصة على ذرات الكربون التالية (2-2) كما في الشكل  $\beta$  تكون  $C_{(7)}$  -  $C_{(11)}$  والرابطة  $\alpha$   $C_{(6)}$  - O ، وغالبا ما تكون الرابطة  $C_{(6)}$  و  $C_{(11)}$

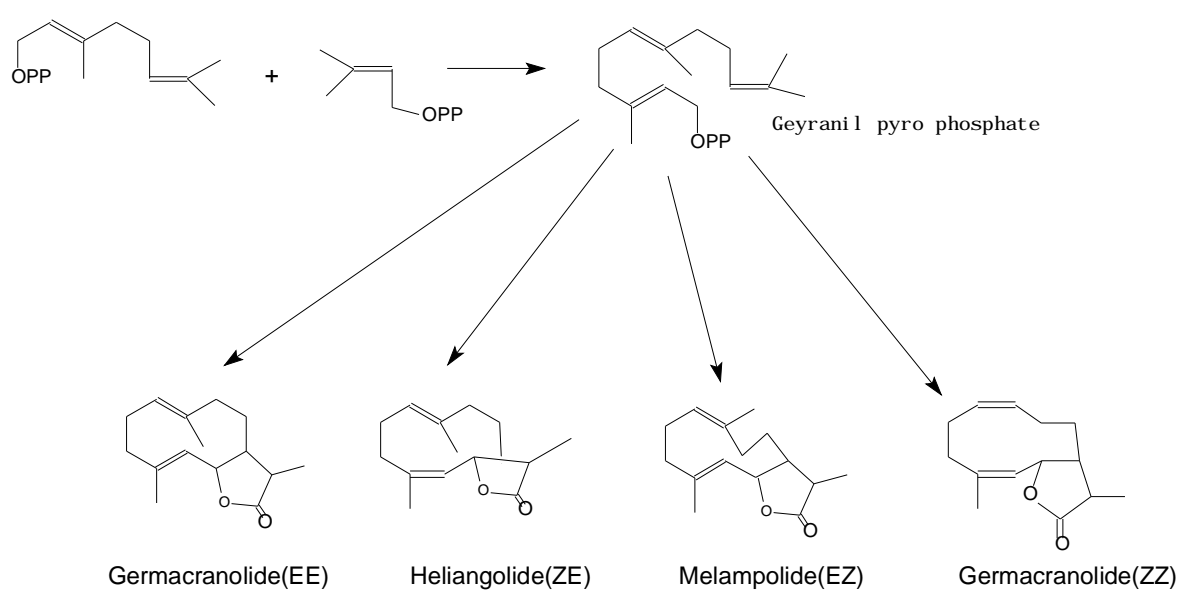
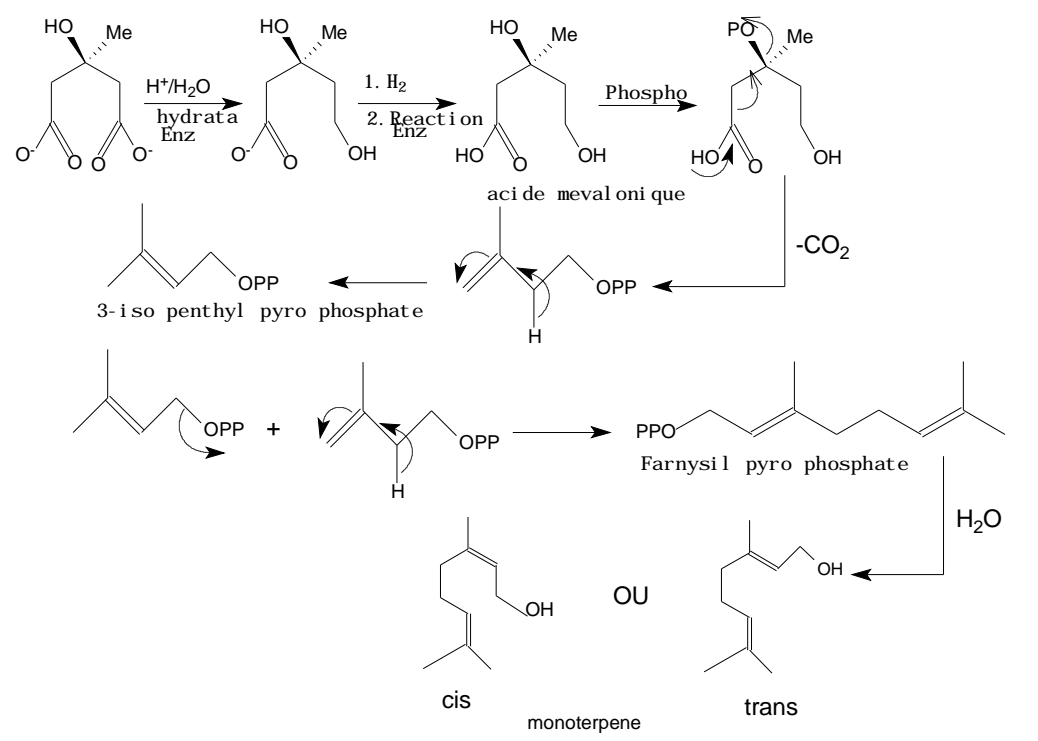
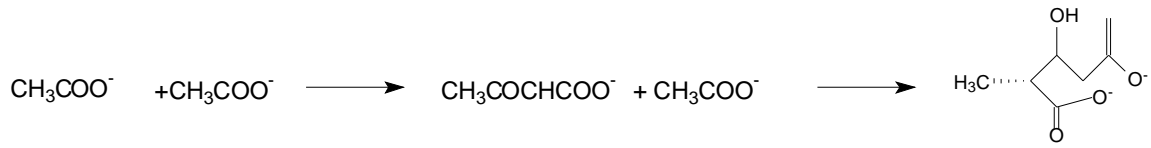


الشكل(2-2)

من السيسكوي تريين لاكتون %الأعمال المنجزة على مختلف العائلات النباتية توضح أن حوالي 90 حيث تعديركنتاج ثانوي من عمليات الميتابوليزم ، [69]الطبيعية قد فصلت إنطلاقا من العائلة المركبة بينت الدراسات أن النباتات الغنية بالسيسكوي تريين لاكتون هي نباتات مستعملة بكثرة في الطب الشعبي ، كما أنها تتميز بطعم مر إذ يمكن إستعمال هذه الميزة في الإختبار الأولي للنبتة.

## II..1.2.(Biogénèse): الإصطناع الحيوي

Fischer (70) الإصطناع الحيوي لمختلف أنواع الهياكل السيسكوي تريينية اللاكتونية تطرق إليها حديثا Ruzicka وكانت أول فرضية على الإصطناع الحيوي الخاص بالمركبات التربينية قد صيغت من قبل بوضع كل مراحل الإصطناع الحيوي الممكنة خاصة إنطلاقا من Hendrickson بعد ذلك قام [72, 71] وحدات الأسيئات التي تشكل المينانولات من خلال تكاثف ثلاثة وحدات ، التي تعطي الإيزوبنتيل . (3-2 الشكل [73]بيروفوسفات من خلال إزالة الكاربوكسيل ، نزع الماء والأسترة . الدراسات الأخرى الخاصة بالإصطناع الحيوي للإزوبرنويد حيث تنتمي السيسكوي تريين قد صيغت [74]. (steroides) و (triterpenoides)إنطلاقا من أعمال تخص ثلاثي التربين



مراحل الإصطناع الحيوي لللاكتونات السييسكوي تريينية: ( 4-2 ) الشكل



إن الإحتمالات لهذه الوحدات الثلاثة حسب الوضع (رأس ، ذيل) تشكل الفرزويل بيروفوسفات ومن خلال الكيمياء الفراغية للروابط المضاعفة الثلاثة فإن الفرزويل يمكن أن يتواجد على شكل أربعة (4) مماكبات هندسية من اللاكتونات السييسكوي تريبنية وحيدة الحلقة. هذه الإيزوميرات المتكونة أساسا من الذي بنيته يمكن أن تستنتج من الإيزومير الهندسي للفرزويل germacra-1(10),4(5) diene-6,12 olide بيروفوسفات الموافق وذلك بعد التحلق ، أكسدة مجموعة مثيل الإيزوبروبيل ، أكسدة ذرة الكربون (6) وغلق على الأكسجين للوظيفة الهيدروكسيلية.

وذلك حسب الشكل (2-4) [76,75] -لاكتون يظم عدة إمكانيات التصنيع الحيوي للحلقة

- أولها تبيين الأكسدة على الكربون عن طريق الوظيفة الإبوكسيدية .
- ثانيها الأكسدة عن طريق الهيدروبيروكسيد ، وتظهر على مجموعة الألهيد أو الكربوكسيل التي تتأسترحلقيا في الموقع 6 أو 8 حيث أن المجموعة الهيدروكسيلية تكون خاصة من الأكسدة الأنزيمية . وهذا خاص بأغلبية الهياكل السييسكوي تريبنية اللاكتونية كما يوجد نوع آخر من التحلق اللاكتوني بين  $C_9-C_8$  لكنه أقل إنتشارا .

(oxo) حيث تتشكل الوظيفة drimanolides توجد مجموعات أخرى من السييسكوي تريبن لاكتون مثل

-لاكتون إنطلاقا من مجموعات أخرى ميثيلية للهيكال السييسكوتريني. أكسو للمجموعة

أنواع أخرى للهياكل الكربونية لللاكتونات السييسكوترينية تتشكل من تفاعلات التحلق ، من كسر الرابطة وإعادة ترتيب ..... إلخ.

: التغييرات الثانوية للهياكل الكربونية كثيرة وتتركز حول

حيث أن هذا الأخير هو trans-12,6 و cis-12,8 و cis-12,6 , trans-12,8 - اللاكتون الذي يمكن أن يكون

دائما  $\alpha$ -لاكتون ، والبروتون 7 في الإتجاه ميثيلين- $\alpha$  الأكثر تواجدا . ويكون بصفة عامة من نوع

ما عدا في المركبات المفصولة من الفطريات . [78,77]

- يمكن للمجموعة الميثيلية أن تحمل الوظائف الكحولية ، الأحماض الكربوكسيلية وتشكل بذلك مراكز [77]كيرالية .

، هيدروكسيلات [79]- كما يمكن للروابط غير المشبعة أن تؤكسد ، ترجع أو تستبدل إلى إيبوكسيدات

. [81,77] أو هالوجينات [80]

، وينتج ذلك من الإتحاد مع الأحماض [83,82]- غالبا ما تكون الوظائف الهيدروكسيلية مؤسترة الأليفاتية ذات الوزن الجزيئي الضعيف .

غير المشبعة . هذه الوظائف  $\beta, \alpha$  - تتميز بعض اللاكتونات السييسكوي تربينية بالأدهيدات والسيونات [84] لها الخاصية الأكليلية ، و بالتالي يمكن أن تتفاعل مع النيكلوفيلات البيولوجية ، خاصة الثيولات بين (Biogénétique) إن التنوع الكثير لهذه المركبات يرجع في حقيقة الأمر إلى وجود علاقة بين وراثية مختلف أنواع الهياكل السييسكوي تربينية اللاكتونية رغم عدم وجود دليل قطعي فيمكن قبول أن أغلبية (5-2). الهياكل السييسكوي تربينية اللاكتونية تشتق من الجرماكرانوليدات وهذا ما يبينه الشكل )

### الإصطناع الكلي للسييسكوي تربين لاكتون..1.3.11

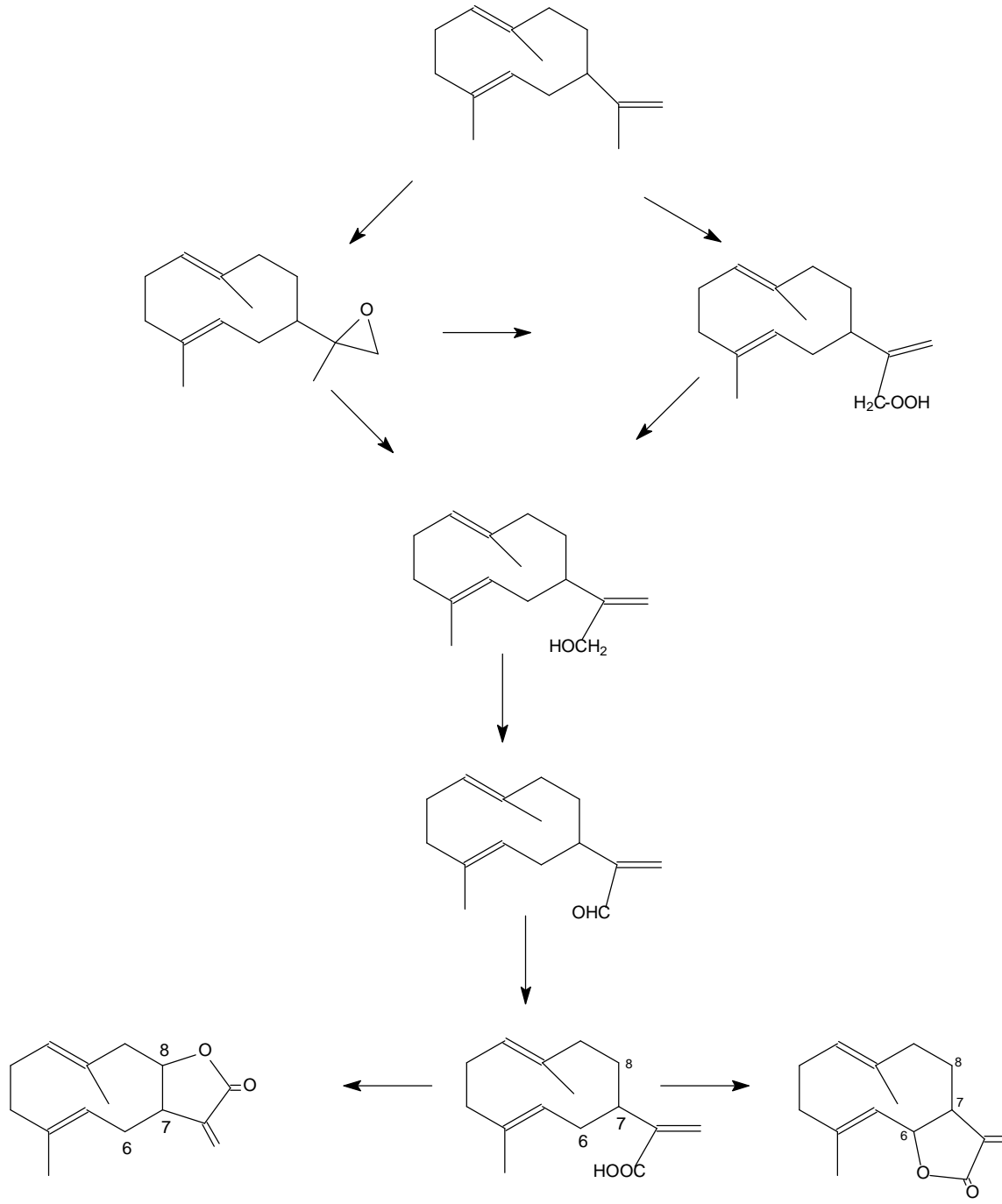
أحتل الإصطناع الكلي للسييسكوي تربين لاكتون مجالا واسعا في أبحاث الكيمياء العضوية خلال السنوات الخمسين الأخيرة . ونظرا لكون اللاكتونات السييسكوي تربينية قسم مثير من المركبات سيما في الفعالية الطبية ، فلقد لفت هذا إنتباه الباحثين الكيميائيين إلى الطبيعة السييسكوي تربينية لأهمية الإصطناع العضوي لها عبر السنوات الأخيرة من القرن العشرين وإستثمارها في المجال الصناعي .

عبر *costunolide* و *dihydrocostunolide* ونذكر على سبيل المثال إصطناع المركبين الجرماكرانوليديين [85]-6) 2 الإضافة ، إعادة الترتيب ... تبعا للشكل (:سلسلة من التفاعلات الكيميائية بين اللاكتونات السييسكوي تربينية التي سمحت (biogénétique) تشير كذلك إلى أهمية العلاقة البيوراثية بتوسيع نطاق البحث في الإصطناع الكلي للمركبات السييسكوي تربينية اللاكتونية وهذا ما سنوضحه فيما بعد .

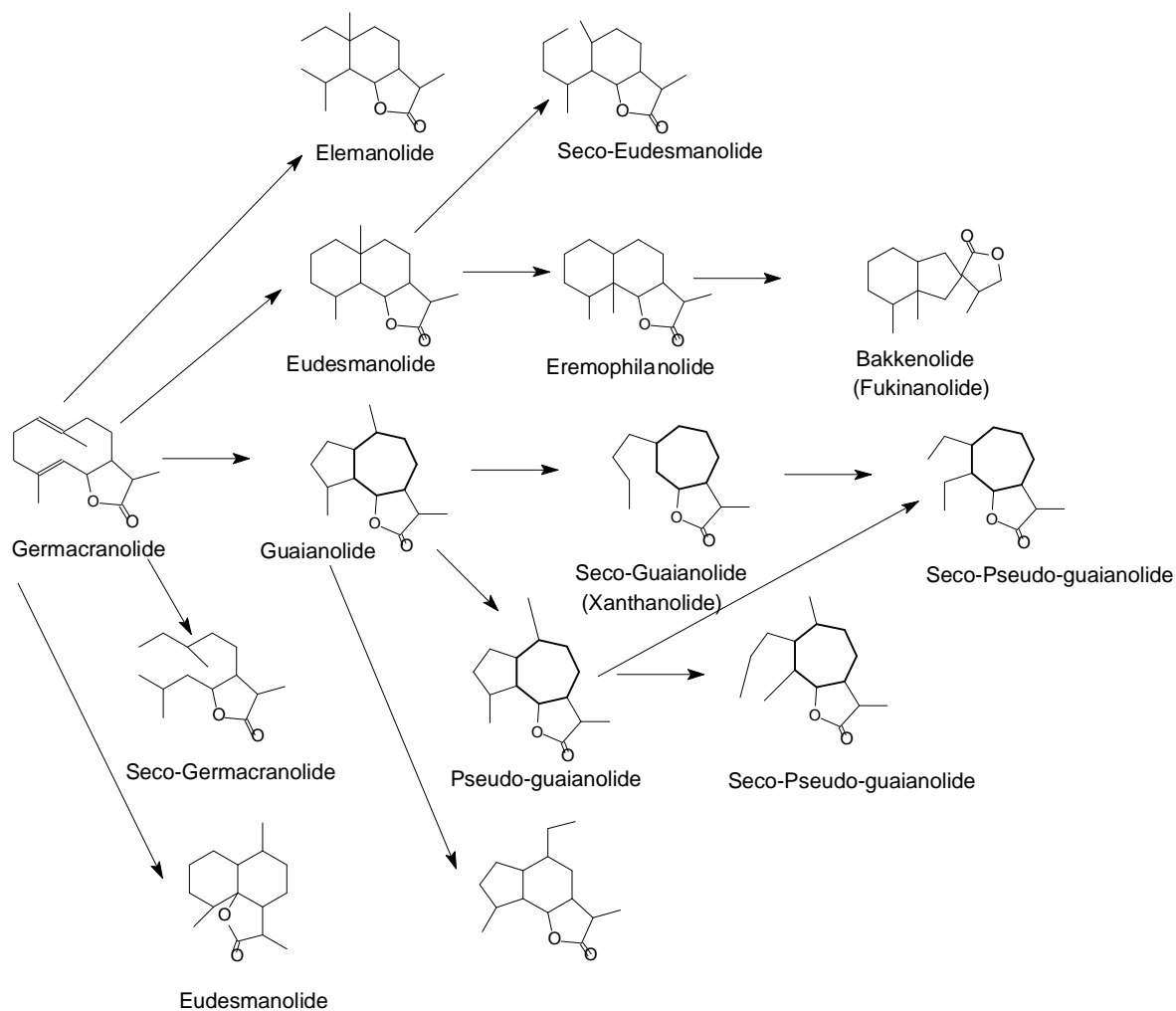
ومن أحدث الطرق التي توصل إليها الباحثون في مجال الإصطناع الكلي للمركبات السييسكوي تربينية من عائلة ، حيث تم إصطناع مركب (synthèse stéréocontrôlée) اللاكتونية طريقة المراقبة الفراغية لا يتوفر طبيعيا وذلك إستنادا على الكيمياء العضوية التنفستانية *pseudoguaianolide* البسودوقاينوليدات ، وكانت الخطوة المهمة في هذا التفاعل الألية داخل الجزيئة (organotungsten) مع إحترام للكيمياء الفراغية له حيث ساعدت على الإصطناع الكلي (Allylation) (intra moléculaire) للمركبات السييسكوي تربينية التالية

[86] *Confertine* و *Aromaticine* , *Graveolide* , *Aromatine*

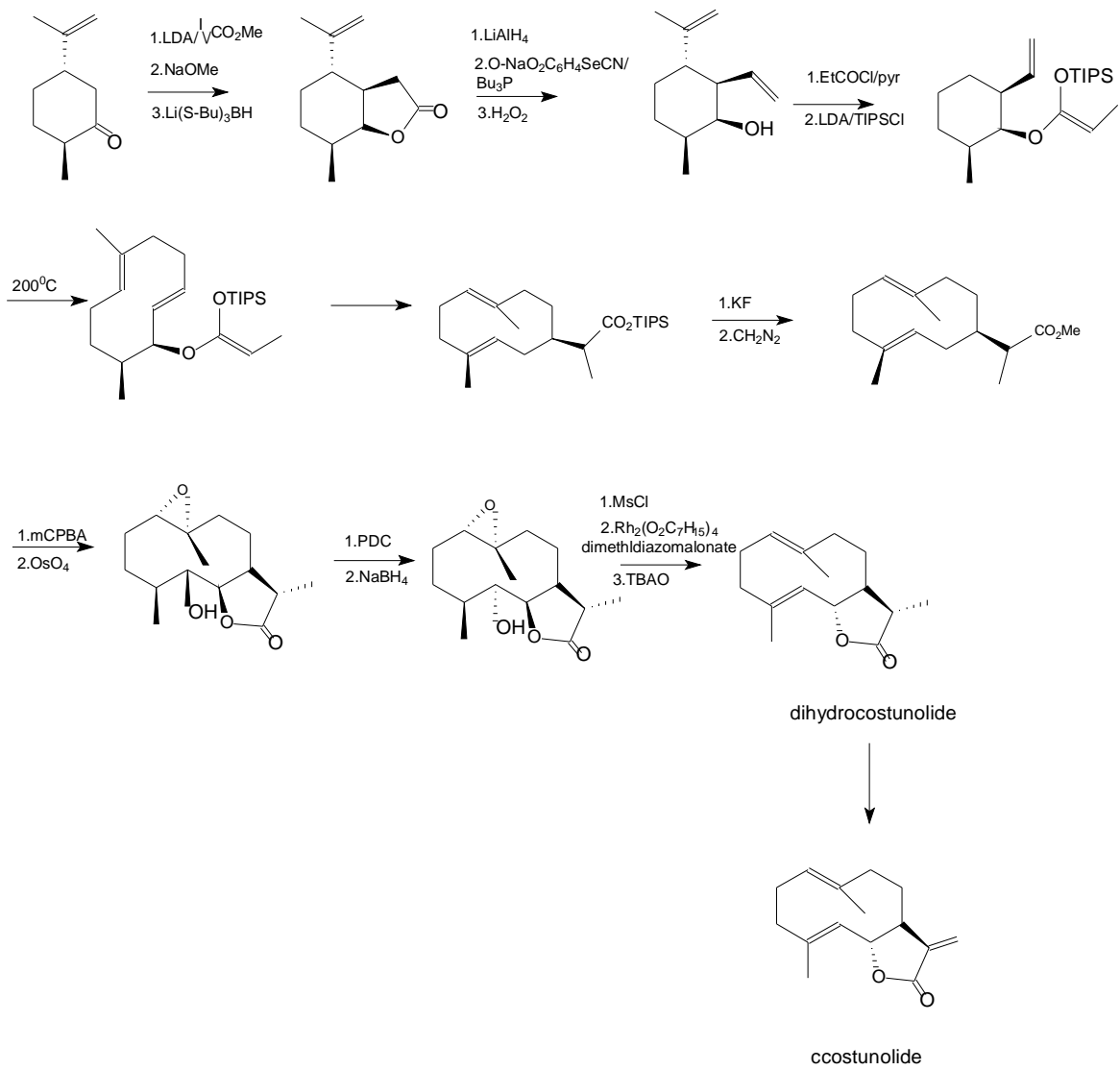
تبعا للشكل (2-7) .



الإصطناع الحيوي للحلقة اللاكتونية: (4-2) الشكل

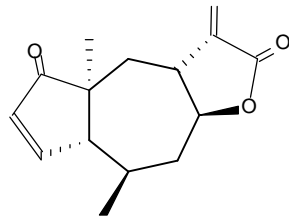


العلاقة البيوراثية بين مختلف أنواع الهياكل السيسكوي تريينية اللاكتونية: (5-2) الشكل

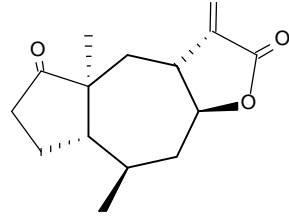


الشكل

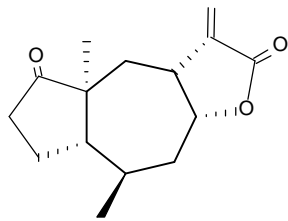
costunolide و dihydrocostunolide الإصطناع الكلي للمركبين : (6-2)



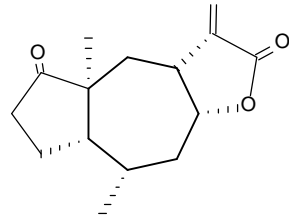
Aromaticine



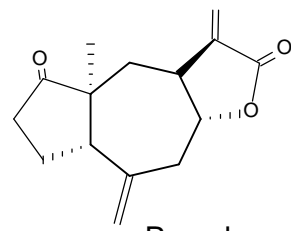
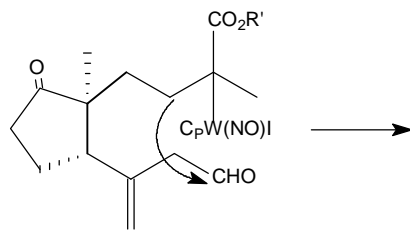
Graveolide



Aromatine



Confertine



Pseudoguaianolide

بعض المركبات السيكوني تربينية المصنع كليا (7-2) الشكل

## II.4.1. الفعالية البيولوجية للسيسكوي تربين لاكتون..

مضادة:تشكل اللاكتونات السيسكوي تربينية تنوع كبير في الفعالية البيولوجية ، حيث أنها مركبات ، مضادة [89] ، مسممة للخلايا العصبية [89-92]، مضادة للإلتهاب [89] ، مضادة للقرحة [87-89]للورم ، مضادة [99] ، مضادة للتاكسد antifeedent [98] ، [97-96] ، مضادة للبكتيريا [93-95]للسرطان ، مضادة للفطريات [103] ، مضادة للوكيمياء[96,99,101,102] ، سامة للخلايا antineoplastique [100] antiprotazoal : ، كما تتميز بأنها (antagonistique) [105] ، مضادة للفعل [89] ، منشطة للقلب [79,104] ، schistosomicidale [88] ، antihelminthique [88] ، [88] ، وأكثر البحوث الطبية حداثة هو إمتلاكها لفعل التثبيط للإنزيم [89] و مضادة للشقيقة [88] analgésique [88] aromatase [107] والإنزيم [106] cyclooxygenase . حيث ساعدت هذه الميزة على التداوي [108]كما أهتمت بالصفات المثبطة عند الجرماكرانوليدات بالكيمياء ضد السرطان .

ونذكر على سبيل المثال نشاط بعض المركبات السيسكوي تربينية اللاكتونية ، فالمركبين المميثة T الوظيفة المسممة للخلايا للمفاوية : لهما تأثير مثبط على costunolide و dihydrocostunolide [112]. والفيروس الكبدي [111] وتشكيل عامل الوحز الورمي [110] ، تشكيل أكسيد النيتريك [109] عدة دراسات أهتمت بالفعالية السمية والأيلوباتية للسيسكوي تربين لاكتون حيث تطرق لها حديثا [114] elakovich و [65] picman ، [113]fischer .

فقد كان هدفا للعديد helénaline ونظرا للسمية العالية التي يتميز بها المركب السيسكوي تربيني اللاكتوني ، حيث أشارت هذه الأخيرة إلى أن النظام الميتابوليزمي [115,116]من الدراسات المخبرية بالإضافة إلى ذلك فهو helénalineالميكروزومي الكبدي والأعضاء اللامفاوية تضعف تحت تأثير ال [90] للأطراف الخلفية للجردان carragen-inducededema ، يسهل [117]يكتسب فعالية مضادة للوكيمياء [118]ويمنع ويأخر نمو الخلايا السرطانية . (cyclooxygenase) يبينان فعل التثبيط على التحلق الأوكسيجيني enceline و parthenolide كما أن المركبين [106].

فله تأثير مخدر وفعالية نضادة للبكتيريا B glaucolide أما بالنسبة للمركب السيسكوي تربيني اللاكتوني والفعاليتين in vivo clastogénique ، حيث توصل الباحثون حديثا إلى أن هذا المركب يكتسب الفعل [119] لكن مع الحذر في الإستعمال الطبي لهذا in vitro على الغدة للمفاوية للإنسان cytotoxique و clastogénique [120].المركب ، نظرا للسمية العالية التي يتميز بها

إذا مما سبق ذكره ، تلعب اللاكتونات السييسكوي تربينية دورا هاما في الفعالية البيولوجية ، هذه الأخيرة كما بينت الدراسات ترتبط دون شك بالخصائص الكيميائية و العوامل البنوية لهذه المركبات [124-121].

ونلخص هذه العوامل في النقاط التالية

- توفر مراكز الكيلية كالأبوكسيدات ، المجموعات الكربونيلية المترافقة  $\alpha$ -ميثيلين- $\gamma$ -لاكتون هي خصائص مشتركة لمعظم اللاكتونات السييسكوي تربينية ، حيث يعتبر
  - $\alpha$ -ميثيلين- $\gamma$ -لاكتون من بين العوامل المحددة للفعالية السمية و خاصية النمو المنتظم عند النبات [65] .
  - فلقد تبين أن ما يميز فعالية السييسكوي تربين اللاكتون *in vivo* و *in vitro* إحتوائه على الوظيفة الأسترية  $\beta$ - $\alpha$  غير المشبعة كسلسلة جانبية مجاورة ل  $\gamma$ -لاكتون [126,125].
  - وجود الوظيفة *acétoxy* في الموقع 15 يزيد في الفعالية المضادة للورم *in vivo* [87] .
  - وجد أن حلقي البننتانول  $\beta$ -مستبدل و الجزئي  $\alpha$ -ميثيلين- $\gamma$ -لاكتون والسلسلة الأسترية الجانبية تلعب دورا كبيرا في الفعالية المضادة للوكيميا p.388 [128] .
  - يعتبر إرتباط اللاكتونات السييسكوي تربينية تساهميا مع المجموعات *sulfidryl* للجزئيات البيولوجية عن طريق إضافة *michael* ذو أهمية بيولوجية شأنه شأن الثيولات الأنزيمية [139,128] .
  - إن الفعالية الكبيرة للجيرماكرانوليدات مرتبطة بدرجة الليبوفيلية التي يحتاجها السييسكوي تربين اللاكتون ليتغلغل عبر جدار الخلية الفطرية حيث تظهر هذه الخاصية لتلعب دورا هاما في الفعالية المضادة للفطريات . فعندما يكون التركيب الكيميائي لجدران الخلية جد ليبوفيلي فهم يمثلون بذلك خواجز عريضة لتغلغل المركبات الهيدروفيلية وتأخر إنتقال المركبات القطبية الليبيدية الخارجية [105] . ومن هنا فقد تبين أن هناك علاقة عكسية بين القطبية و الفعالية المضادة للفطريات لللاكتونات السييسكوي تربينية ، حيث توصل الباحثون إلى أن  $\alpha$ -ميثيلين- $\gamma$ -لاكتون ذو القطبية المنخفضة نسبيا هو المسؤول عن الفعالية المضادة للفطريات [131,130] . فبالنظر إلى وقت إحتجاز المركبات السييسكوي تربينية اللاكتونية في عمود RP-18 ، فإن القطبية تتناقص [105,79] من :
- Eudesmanolide > élémanolide > gérmacranolide
- التي تبين صفاتها اللاكتونية إلى إسم شائع يأخذ عموما من *Olide* التسمية : بسيطة حيث تضاف اللاحقة الأصل النباتي .

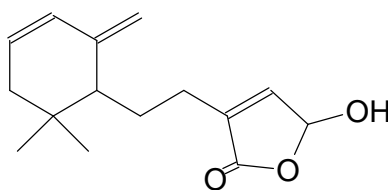


### التصنيف حسب الهيكل الكربوني: 5.1.II.

السيسكوي تربين لاكتون التي تتشكل إنطلاقاً من الفرنزيل بيروفوسفات و تصنف حسب عدد حلقات الهيكل الكربوني .

### السيسكوي تربين لاكتون غير الحلقية: 1.5.1.II.

للهيكل  $C_{(2)} - C_{(3)}$  الهيكل الكربوني لهذا النوع من اللاكتونات يمكن أن يتكون من تكسير الرابطة حيث يمكننا أن نقدم مثال على ذلك *le secogermecranolide-2,3* وحيد الحلقة المتمثل في *Germacrane* *pallescensine 3*.



Pallescensine 3  
( 8 - الشكل 2 )

### السيسكوي تربين لاكتون وحيدة الحلقة: 2.5.1.II.

#### الجرماكرانوليدات (Les germacranolides): 1.2.5.1.II

هيكلها القاعدي يتكون من حلقة ذات عشرة ذرات كربون أغلبها يحتوي على رابطتين مضاعفتين بين وتختلف عن بعضها في الكيمياء الفراغية لهاتين الرابطتين. [132]  $C_{(1)}$  و  $C_{(10)}$  ،  $C_{(4)}$  و  $C_{(5)}$

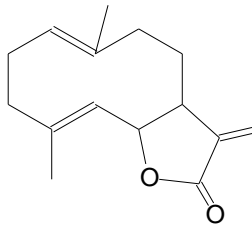
#### الهليانقوليدات (Les heliangolides): 1.1.2.5.1.II

(E)  $C_{(1)}$  و  $C_{(10)}$  هي عبارة عن جرماكرانوليدات مع وجود رابطة مضاعفة على شكل مفروق (Z) و أخرى على شكل مقرون  $C_{(4)}$  و  $C_{(5)}$

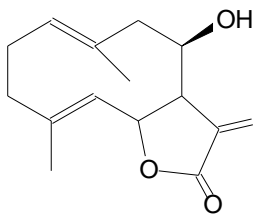
#### الملامبوليدات (Les melampolides): 2.1.2.5.1.II

هي عبارة عن جرماكرانوليدات مع وجود هندسة للروابط المضاعفة معاكسة لما هي عليه في حالة الهليانقوليدات .

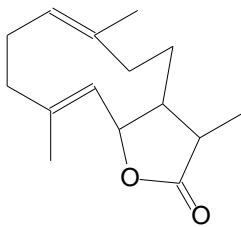
إلى جانب هذه الأنواع من الجرماكرانوليدات تم فصل مجموعات أخرى بأوضاع أخرى للروابط المضاعفة .



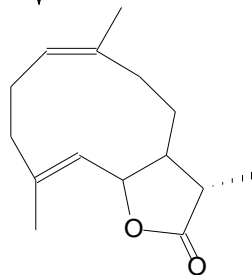
Germacranolide



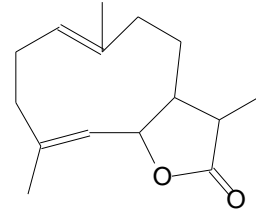
Eupatolide



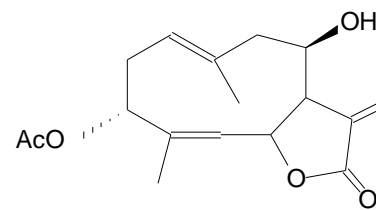
Melampolide



Lactuside A



Heliangolide

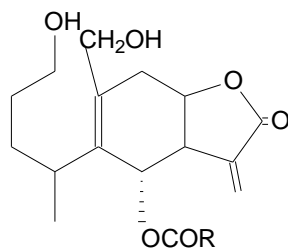


Eupaformonine

( يوضح بعض الأمثلة عن السييسكوي تربين لآكتون وحيدة الحلقة الشكل 9 ( 2 ) -

### 2.2.5.1. II،1- السكوأودسمانوليدات 10 (Les seco-eudesmanolides-1,10):

تتكون من تفكك السييسكوي تربين ذات الهيكل الكربوني ثنائي الحلقة السادسة وتعتبر كمشتقات ثانوية يوضح مثالين على ذلك: (10-2) والشكل



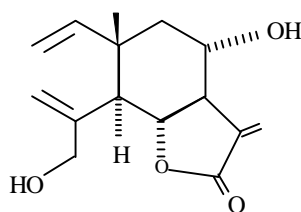
R = C<sub>4</sub> H<sub>7</sub> : eriolagine

R = C<sub>3</sub> H<sub>5</sub> : eriolanine

(الشكل 10) - 2

### 3.2.5.1. II الإليمانوليدات (Les elemanolides):

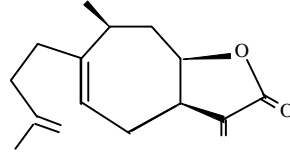
لـ (Cope) هي عبارة عن السكوأودسمانوليدات -3,2 يتكون بإعادة ترتيب كوب وقد تم وصف عدد كبير من هذه المركبات الطبيعية. germacrane-1(10) 4(5) dienolides. يوضح مثال على ذلك (11-2) والشكل



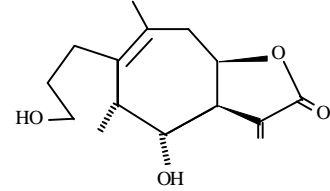
dehydromelitensin

(الشكل 11) - 2

**4.2.5.1. II الكزانثانوليدات (Les xanthanolides)** هي عبارة عن سكو-قاينوليدات -4، 5، عدد كبير (Les xanthanolides) الكزانثانوليدات **II**. قاينوليدات -4، 5 السكو- من هذه المركبات الطبيعية موصوف في البيبليوغرافيا ويمكن أن نذكر السكو- يوضح مثالين على ذلك (12-2) بسودوقاينوليدات -4، 5 والشكل



tomentosin



deacetylinculicin

(الشكل 2 - )

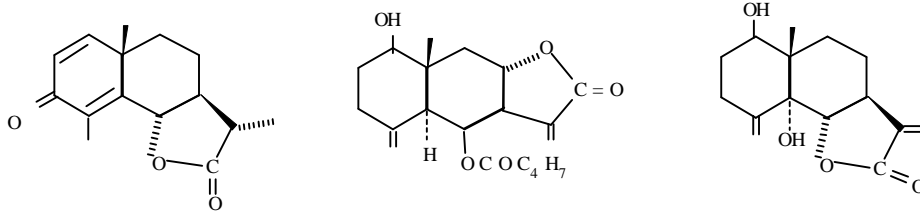
### **3.5.1. II: السيسكوي تربين لآكتون ثنائية الحلقة**

تتوزع معظم السيسكوي تربين لآكتون ثنائية الحلقة في المجموعات التالية الأودسمانوليدات ، البسودوقاينوليدات (Les guaianolides) ، القاينوليدات (Les eudesmanolides) ، (les pseudo guaianolides) ، الإرموفيلانوليدات (les eremophilanolides) ، والباكنوليدات (les bakkenolides).

#### **1.3.5.1. II الأودسمانوليدات (Les eudesmanolides):**

: ، تتشكل أساسا من الهيكل (Selenanolides) تسمى أيضا السلنانوليدات

بواسطة germacrane الذي ينتج عن الهيكل جرماكران di methyl-1,7 iso propyl -4 bicyclo [4.4.0] decane ويكون حلقتين سداسيتين والثلاثة لآكتونات السيسكوتريبينية الأكثر  $C_{(5)}$  و  $C_{(10)}$  بين trans annulaire تحلق (13-2) إنتشار هي الموضحة في الشكل



$\alpha$ - Santonine

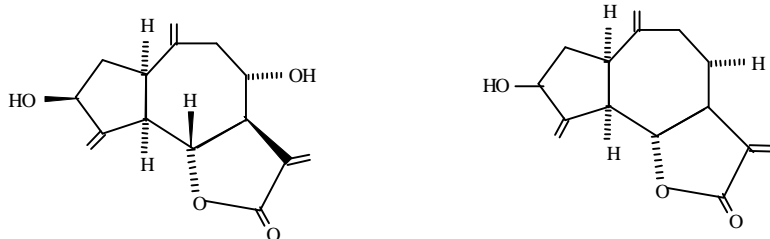
Tanacetine

Chrysanine

(الشكل 13) - 2 -

### .2.3.5.1. II القايانوليدات (Les guaianolides):

الذي ينتج من الهيكل dimethyle-2,8 iso propyl-5 bicyclo [5,3,0] decane هيكلها القاعدي يشكل من : ويكون حلقة خماسية و أخرى  $C_{(1)}$  و  $C_{(5)}$  بين Trans annulaire بواسطة تحلق (germacrane)جرماكران يوضح (14-2) الشكل L'azulèneسباعية . معظم مركبات هذا النوع تعطي بنزع الهيدروجين مشتقات مثالين على ذلك



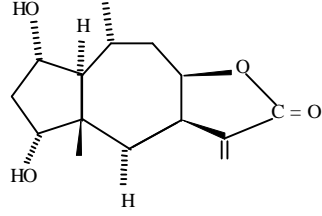
deacylcyanopicrin

Zaluzanin C

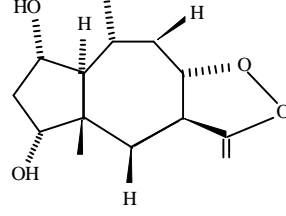
(الشكل 14) - 2 -

### .3.3.5.1. II البسودو قايانوليدات (Les pseudo guainolides):

.  $C_{(5)}$  إلى الموقع  $C_{(4)}$  بعد هجرة مجموعة الميثيل من الموقع (guaiane)تتكون إنطلاقا من الهيكل قايان المركبات الطبيعية من هذا النوع التي صيغت في البيبليوغرافيا أغلبها وجدت في العائلة المركبة للقارة يوضح مثالين على ذلك(13-2)الأمريكية والشكل



neo pulchelin

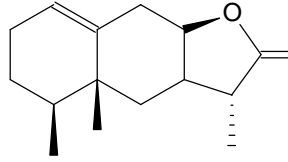


Pulchelin

(الشكل 15) - 2 -

#### 4.3.5.1. II الإرموفيلانوليدات (Les enemophilanolids):

. كل  $C_{(5)}$  إلى الموقع  $C_{(10)}$  مع هجرة ميثيل الموقع (eudesmane) تتكون إنطلاقاً من هيكل الأودسمان  $C_{(8)}$  الإرموفيلانوليدات التي صيغت في البيلبيوغرافيا حتى الآن مجموعتها اللاكتونية تغلق في الموقع (16-2) كما هو موضح في الشكل

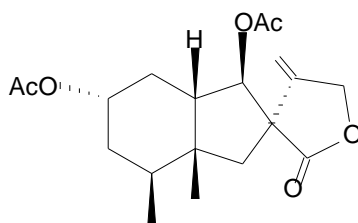


Xanthanene

(الشكل 16) - 2 -

#### 5.3.5.1. II الباكينوليدات (Les Bakkenolides):

$C_{(8)}$  -  $C_{(9)}$  : هي المجموعة تنتج من إعادة ترتيب الرابطة (Fukinanolides) تسمى كذلك الفكانوليدات للهيكل الإرموفيلانوليدي. عدد كبير من المركبات الطبيعية من هذا النوع قد  $C_{(7)}$  -  $C_{(9)}$  إلى الرابطة يمثل إحداها. (17-2) فصلت ، الشكل

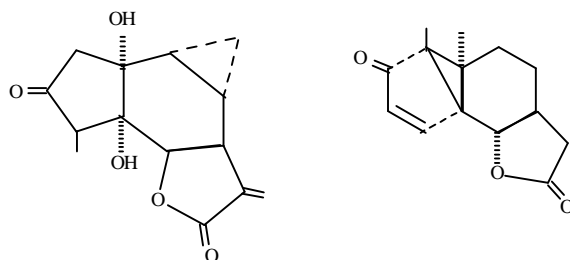


Fukinolide

(الشكل 17) - 2 -

#### السيكوي تربين لاكتون متعددة الحلقات II: 4.5.1.

توجد لاكتونات سيكوتربينية ثلاثية الحلقة ، كما توجد اللاكتونات السيكوتربينية ذات عدد كبير من الحلقات (18-2) كما هو موضح في الشكل



Ivaxilaxine

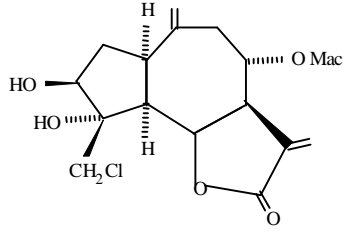
Limisantoinine

(الشكل 18) - 2 -

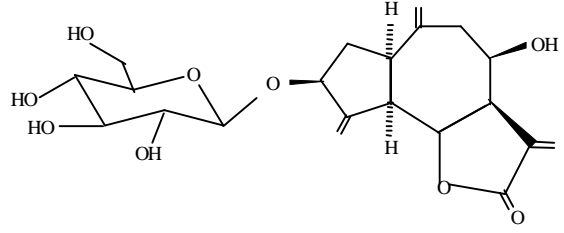
#### المجموعات الوظيفية: 6.1.II.

السيكوي تربين لاكتون تملك عدد كبير من المجموعات الوظيفية التي تحتوي عموماً على ذرات الكربون ، الأكسجين والهيدروجين وهي مجموعات كربوكسيلية حرة أو أستيرية ، مجموعة ألكسوجينية وخاصة الإيبوكسيدات ، أسيتات ومجموعات أخرى بالإضافة إلى الروابط المضاعفة . أغلب اللاكتونات السيكوتربينية المفصولة من العائلة المركبة تتميز بتوضع (تموقع) الرابطة وهي التي تجعل هذا النوع من  $C_{(11)}$  و  $C_{(13)}$  المرافقة للحلقة اللاكتونية بين (exocyclique) المضاعفة المركبات فعالاً بيولوجياً بعض السيكوي تربين لاكتون الطبيعية تحتوي على ذرات الكلور ، الأزوت . كما توجد مركبات تحتوي على مستبدلات سكرية كما هو موضح في الشكل [134,133] ، الكبريت

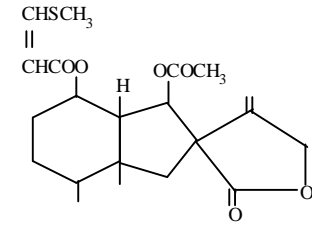
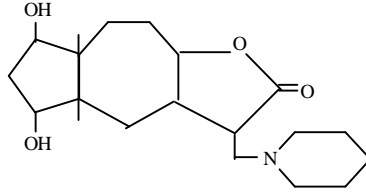
(19-2).



19 - desoxy - Chlorojanerine



3  $\beta$  - D - gluco pyranoside Integrifoline

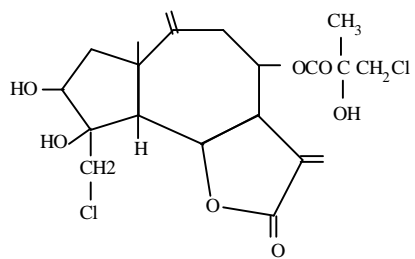


Neo pulchellidine S - Fukinolide

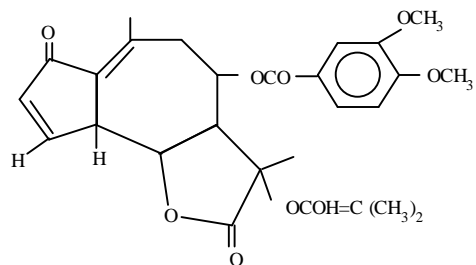
(الشكل 2) -

الببليو جرافيا تبين بأن المجموعة الوظيفية الأكثر تواجدا في اللاكتونات السييسكوي تربينية هي مجموعة الأستر التي غالبا ما تكون باقي حمض الخل أو باقي الحمض المشبع أو غير المشبع بأربعة ذرات كربون ، كحمض الإيزوبوتريك أو بخمس ذرات كربون كحمض إيزوفاليريك . أسترات الأحماض رباعية أو خماسية الكربون غالبا ما تحتوي على مجموعة الهيدروكسيل حرة أو مؤسترة ، الرابطة المضاعفة ، الحلقة الإيبوكسدية ، ذرة الكلور.....إلخ. الأسترة بواسطة حمض عطري أقل تواجدا في المركبات الطبيعية المفصولة من العائلة المركبة، لكن أكثر (20 - 2 كما في الشكل les ombelliferès)تواجدا في اللاكتونات التي تأتي من عائلة يمكننا أن نستنتج أن السييسكوي تربين لاكتون الطبيعية غالبا ما تحتوي على مجموعة أو مجموعتين (20 - 2أسترية الشكل )

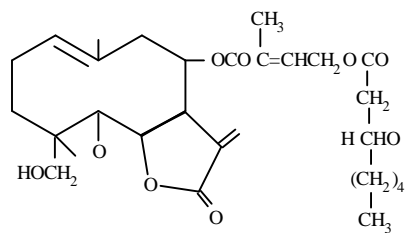




Centaure pensine "composées"



Malafite



Eupassofiline "Composées"

(الشكل 20) - 2

## الفصل الثالث

### التعريف بالطرق المستعملة في دراسة السيسكوي تربين لاكتون

#### طرق الكشف : 1.III.

تتميز النباتات التي تحتوي على السيسكوي تربين لاكتون بذوق مر حيث تعتبر الميزة الأولى لإختيار النبتة .

بعد قطف النبتة وتجفيفها تقسم إلى مختلف أجزائها سوق ، أوراق و أزهار ... الخ .  
بعد ذلك نأخذ من كل جزء غرامات معدودة ونجري لها عملية إستخلاصات متتالية بواسطة عدد من ، كلوروفورم ، خلات الإيثيل وأخيرا (40 - 60)المذيبات ذات القطبية المتزايدة مثلا إثير البترول ميثانول أو إيثانول .

التي تميز <sup>1-</sup> حيث المنطقة 1700 - 1800 سم(IR)بعد تبخير المذيب "تركيز" نسجل أطياف تحت الحمراء ( <sup>1-</sup> لاكتون غير مشبعة ( 1755 سم $\gamma$  ) ، <sup>1-</sup> لاكتون مشبعة ( 1780 سم $\gamma$  عصابة إمتصاص المجموعات كما يجب أن نشير إلى أنه في هذه المنطقة توجد عصابات مميزة لمجموعات أخرى مثل الأسيئات ( <sup>1-</sup> ( 1740 سم

( نستنتج عندئذ بأن هذا <sup>1-</sup> غير مشبعة ( 1720 سم $\beta$  ،  $\alpha$  ) ، أسترات <sup>1-</sup> الأسترات المشبعة ( 1735 سم الكشف غير مطلق وأن طيف إمتصاص تحت الحمراء يمكن أن يقودنا إلى نتيجة إيجابية ، يمكن أن للمستخلص حيث يمكننا مشاهدة إشارات مميزة للروابط الثنائية <sup>1-</sup>H-RMN تتبع هذه النتيجة بتسجيل طيف خارج الحلقة والخاصة باللاكتونات السيسكوي تربينية . لكن لا يمكن أن نحكم بصفة نهائية على وجود السيسكوي تربين لاكتون في عينة إلا بعد عمل طويل يتمثل في الفصل الكروماتوغرافي مصحوبا بصبر ، والذي يتأكد فيما بعد بواسطة طرق التحليل الفيزيائية للمركبات المفصولة .

### طرق الإستخلاص: 2.III.

إيجابية ، تتبع بعملية إستخلاص لأكبر كمية  $RMN-^1H$  و (IR) إذا كانت نتيجة الكشف بواسطة مطيافية ممكنة بواسطة الميثانول أو مزيج (ميثانول - ماء) بعد التركيز وإضافة كمية محددة من الماء المقطر الشموع والدهنيات والبروتينات ومركبات تفكك الكلوروفيل بالترسيب مع من نتخلص [136, 137] أو بالإستخلاص بواسطة مذيب غير قطبي كالهكسان أو إثير البترول  $(CH_3COO)_4 Pb$  [135] ( الطبقة المائية تستخلص بالكلوروفورم ، المستخلص  $(CH_3COO)_4 Pb$  بعد الترشيح ( حالة إستعمال المحصل عليه من المفروض أن يحتوي على السيسكوي تربين لاكتون وكميات قليلة من مركبات أخرى أغلبها فينولية أجليكونية ميثوكسيلية.

### طرق فصل السيسكوي تربين لاكتون: 3.III.

تفصل السيسكوي تربين لاكتون عموما على مدمصات مختلفة مثل ، وتستعمل 0,04 – 0,063 mm ( 230-400 mesh ) العادي ذو أبعاد محددة نذكر منها مثلاً  $Al_2O_3$  و gel de silice عادة كروماتوغرافيا العمود ، كروماتوغرافيا الطبقة الرقيقة ، والكروماتوغرافيا السائلة ذات الأداء نصف محضرة ومحضرة . (CLHP) العالي : تعد هذه الطريقة من التقنيات الأساسية في فصل المركبات C.C كروماتوغرافيا العمود 1.3.III. نظرا لقدرتها العالية على تمليص المركبات تبعا لإرتباطها بالدعامة وتتخلص طريقة إجرائها فيما يلي:

تجرى الإختبارات الأولية بواسطة كروماتوغرافيا الطبقة الرقيقة التحليلية لإختبار كل من الدعامة التي و الجملة المكونة للملص .  $(Al_2O_3)$  العادي أو الألمين gel de silice يمكن أن تكون مثلا بعد ذلك يركب العمود الذي تختلف أبعاده بإختلاف كمية المستخلص حيث يوضع قليل من القطن في 32 أسفل قعر العمود . الخطوة الموالية تتمثل في تحضير الدعامة في مذيب غير قطبي (حيث يستلزم غ من المستخلص) وتصب في العمود الكروماتوغرافي . وبعد توضع الطور 1 لكل gel de silice ال الثابت جيدا داخل العمود توضع طبقة من رمل خاص ويغسل العمود بدفعات متتالية بالمذيب الذي حضرت به الدعامة .

وفي أحر الأمر يوضع المستخلص النباتي بعد أن يحل في قليل من المذيب إذا كان قابل للذوبان فيه وإلا يجب تحضيره في قليل من الدعامة ويوضع بشكل صلب . ثم يضاف الملص الذي يكون في البداية مذيب غير قطبي ثم ترفع قطبته تدريجيا بإضافة مذيب قطبي .

الكسور المحصل عليها تجمع تبعا لكروماتوغرافيتها على الطبقة الرقيقة التحليلية بعد معالجة هذه م° لمدة ثلاثة دقائق بعد رثيتها 100 وتسخينها في درجة حرارة ( Révéléateur ) الأخيرة بواسطة الكاشف نانومتر. 366 و 254 ( UV ) تحت الأشعة فوق البنفسجية

: في هذه الحالة تحضر طبقة رقيقة من دعامة صلبة C.C.M كروماتوغرافيا الطبقة الرقيقة III.2.3. العادي على شريحة من الزجاج ، ثم يوضع الخليط عرضيا على gel de silice تكون عموما عبارة عن سم من خط الإنطلاق ، توضع بعد ذلك الصفيحة في حوض به المملص الذي يتم إختياره 1,5 بعد بواسطة الإختبارات الأولية التي تتم عن طريق كروماتوغرافيا الطبقة الرقيقة التحليلية ، وأثناء إنتشاره خلال الصفيحة تهاجر معه مختلف المركبات في شكل حزم يتم تحديدها بالإستعانة بالأشعة فوق نانومتر. تكشط الحزم كل على حده وتوضع في قمع زجاجي ثم تغسل 366 و 254 ( UV ) البنفسجية جيدا أولا بالمملص المستعمل في هجرة المركبات وأخيرا بالميثانول ، يركز الراشح و يفحص مدى نقاوة الحزم بكروماتوغرافيا الطبقة الرقيقة التحليلية .

من بين الجمل المستعملة في هذه التقنية نذكر منها

1:2 خلات الإيثيل :ن- هكسان

1:1:1 كلوروفورم: خلات الإيثيل :ن- هكسان

1:5 أسيتون :كلوروفورم

1:9 ميثانول :كلوروفورم

1:2 إثر الإيثيل :إثر البترول

مع ملاحظة أنه يمكن إستخدام هذه الجمل بنسب أخرى .

#### طرق التنقية : 4.III.

تنقى المركبات المفصولة بالكروماتوغرافيا المتكررة أو بإعادة البلورة .

#### التصنيف بالطرق الفيزيائية : 5.III.

##### عموميات : 1.5.III.

الوصول إلى بنية السييسكوي تربين لاکتون كانت تتم بواسطة تفاعلات الأكسدة أي تحديد المركبات المتفككة . هذه الطريقة محدودة بسبب نواتج التفكك والتفاعلات المتتالية لإعادة الترتيب ، الهجرة ، التكاثر ... الخ.

ذات بعدين مثل تجارب RMN ( $^{13}\text{C}$  RMN,  $^1\text{H}$  RMN) التقدم الملحوظ حاليا في طرق التحليل الفيزيائية مثل التابن SMIC خاصة تقنية SM ..... الخ و مطيافية الكتلة HMBC ، HSQC ، cosy( $^1\text{H}$ - $^1\text{H}$ )، كل من اللطيف ، تسمح الكشف بسرعة عن صيغة سيسكوي تربين لاكتون كما يمكن استعمال طريقة للتعرف على البنية و التشكيل المطلق للمركبات المتبلورة. (R.X) الإنكسار بواسطة الأشعة السينية

### 2.5.III : مطيافية الكتلة

السيسكوي تربين لاكتون مركبات هشة نظرا لبنيتها وتتبلر في درجات حرارة عالية مما يصعب لذلك نلجأ إلى تقنية الإدخال برفق لمطيافية الكتلة أو "le pic moléculaire" عموما رؤية القمة الجزيئية كما هو [138] حيث هذه الطريقة تسمح برؤية القمة الجزيئية (D.I.C) La desorption en ionisation chimique الشان في غالبية السيسكوي تربين لاكتون فإن الإعتماد على مطيافية الكتلة هو محدود نسبيا ويسمح أساسا بالتعرف على مجموعة المستبدلات الموجودة على الهيكل السيسكوتربيني .

### 3.5.III : الرنين النووي المغناطيسي ذو البعدين "RMN"

#### 1.3.5.III: تعريف

، لذلك نعتمد RMN من أجل تحديد صيغة أي سيسكوي تربين لاكتون نحتاج إلى تقنية أكثر تقدما من COSY. الذي يسمى  $^1\text{H}$ - $^2\text{H}$  RMN البروتوني ذو البعدين RMN على تجربة يتمثل في مجموعة من النقاط تتواجد داخل مستطيل حيث الأضلاع مدرجة بالإزاحة COSY الطيف ( ، بنفس طريقة الطيف العادي . على أحد القطرين تجمع مجموعة من النقاط Hz أو ppm الكيمائية ( قمم محورية) إسقاطاتها على الضلعين تمثل عموما طيف الرنين النووي المغناطيسي البروتوني ذو البعد الواحد ( $^1\text{H}$  RMN). إنطلاقا من هذه النقاط يمكن رسم (à des corréliées) النقاط الموجودة خارج القطر توافق ترابطات موازيات للأضلاع التي تلتقي مع القطر عند الإزاحات الكيمائية للبروتونات المرتبطة بهذا التزاوج. قد أجريت بصورة مناسبة فإن شكل النقاط يمكن أن يرتبط مباشرة بشكل cosy كلما تكون تجربة ومنه ثنائية تتزاوج مع ثلاثية تعطي ترابط (Correlation) مضاعفات للبروتونات الداخلة في الترابط [139] نقطة 2 x 3 خارج القطر (une correlation).

## الفصل الرابع

### طريقة الفصل

#### . النتائج الكيميائية: IV

قمنا بجمع [140 - 153] (*Centaurea*) على أساس الفعالية البيولوجية المعروفة لنبات القنطريون وتصنيف عدة أنواع من هذا النبات في مخبرنا حيث أنجزنا عدة دراسات بصفة منتظمة على البعض [30 - 45] منها.

*C. maroccana* و *C. acaulis* وفي هذا العمل قمنا بدراسة نوعين هما

*C. maroccana* و *C. acaulis* الدراسة النباتية لـ 1.IV.

وضع هاتين النباتتين ضمن التصنيف النظامي للنباتات 1.1.IV.

الفرع	Angiospermes	Embranchement
المنف	Dictotyledones	Classe
الرتبة	Asterales	Ordre
العائلة	Composées	Famille
تحت العائلة	Tubiflores	Sous-Famille
القبيلة (الفصيلة)	Cynarées	Tribu
الجنس	<i>Centaurea</i>	Genre
النوع	Espece	

#### **2.1.IV وصف النوع *acaulis*:**

يزهر في أواخر فصل الربيع له أوراق *C. acaulis* كما هو الحال لمعظم النباتات الزهرية فإن نبات سم وأزهار صفراء كبيرة نسبيا وهو معمر وحتى الآن لم 45 - 10 كبيرة ( عريضة ) وسقان متوسطة تجرى عليها أي دراسة فيتوكيميائية .

#### **3.1.IV وصف النوع *maroccana*:**

سم 40 - 20 هو نبات شوكي زهري يزهر في أواخر شهر الربيع وهو كذلك معمر ذو سقان طولها وأزهار صفراء شوكية متوسطة الحجم.

#### **2.IV : المادة النباتية :**

#### **1.2.IV *Centaurea acaulis*:**

من منطقة ولاية ميلة بالشرق الجزائري . حيث تم 2000 تم جمع هذه النبتة في شهر جوان سنة إقتلاعها من جذورها ثم تقسيمها إلى أعضائها المختلفة (الأوراق ، السوق والأزهار ) ونظرا لقلّة السيسكوي تربين لاكتون في السوق قد أقتصر إهتمامنا على الأوراق والأزهار . أجريت عملية التجفيف لهذه الأعضاء بوضعها في أماكن خاصة تحت الظل وبعيدا عن الرطوبة ، حيث تم إستخلاص كل على حده ثم الجمع بين مستخلصيهما لإحتوائهما على نفس المركبات وكانت كتلة المادة المستعملة كغ من الأوراق 4. كغ من الأزهار و 6 هي

#### **2.2.IV *Centaurea maroccana*:**

من نواحي مدينة بسكرة بالجنوب الشرقي الجزائري ، تمت 1999 إقطف النبات في بداية شهر أفريل سنة دراسة كل من الأوراق والأزهار كل على حده في البداية ثم تم الخلط بينهما لإحتوائهما على نفس المركبات ، كتلة المادة المستعملة المجففة في الهواء الطلق هي 2500 غ من الأوراق و الأزهار .

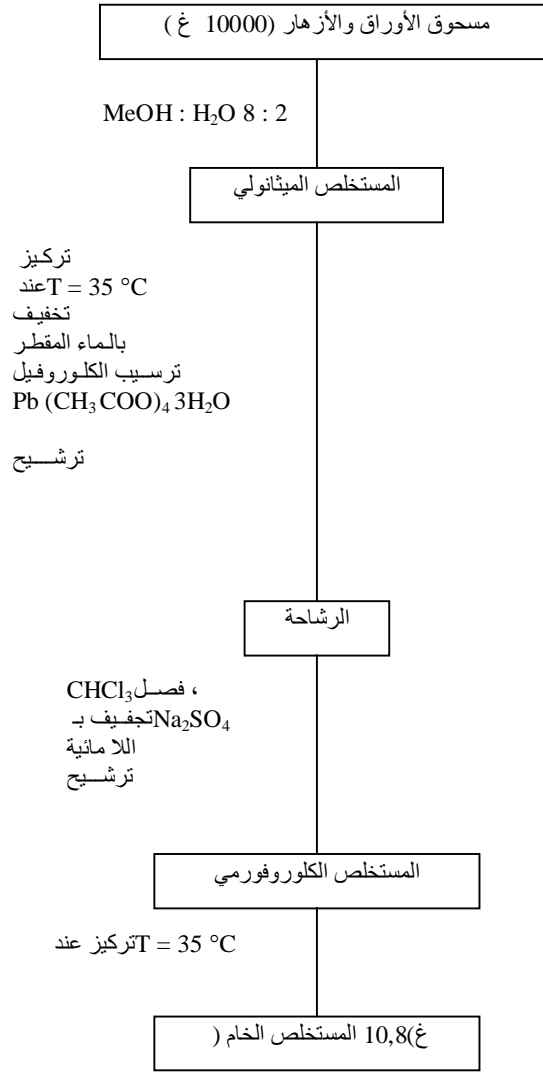
### التحليل الكيميائي: 3.IV.

#### الإستخلاص: 1.3.IV.

توضح البيبلوغرافيا وجود عدة طرق للإستخلاص ، عموما تتجه للحصول على عائلة أو مجموعة من [137- عائلات المركبات الطبيعية . وفي عملنا هذا أختارنا طريقة لفصل السيسكوي تريين لاكتون 135].

#### 1.1.3.IV إستخلاص *C. acaulis*:

(1-4)تمت عملية الإستخلاص حسب الشكل



الشكل (1-4) : عملية إستخلاص *C. acaulis*



#### **2.1.3.IV إستخلاص *C. maroccana*:**

ساعة ، يرشح المحلول 24 بعد تفتيت الأوراق والأزهار الجافة نقعت في الميثانول وتركت لمدة ويستقبل الراشح الكحولي في دورق والرشاحة تعاد من جديد في الميثانول ثلاثة مرات متتالية مع تجديد المذيب في كل مرة ، بعدها جمعت المستخلصات الكحولية وركزت عند درجة حرارة لا تفوق م ° المحلول الناتج يخفف بالماء المقطر . التخلص من الكلوروفيل يتم بترسيبها بإضافة رباعي 35-40 وذلك بعد ثلاثة دقائق من إضافتها ، يرشح الخليط ويستقبل (Trihydraté)خلات الرصاص المميهة الراشح في دورق ويضاف له الكلوروفورم ، تفصل بعد ذلك الطبقة العضوية وتركز ، تتم عملية الإستخلاص بالكلوروفورم ثلاثة مرات على أن تترك الأخيرة ليلة كاملة . بعد ذلك يجفف المحلول ( يرشح المحلول Na<sub>2</sub> SO<sub>4</sub>, anhydre الكلوروفورمي بواسطة كبريتات الصوديوم اللامائية ) (غ) . الطبقة المائية أعيد إستخلاصها مرة أخرى 12 ويركز الراشح فحصلنا على المستخلص الخام ( غ) 20 بخلات الإيثيل حيث تم بنفس طريقة الكلوروفورم فكان المستخلص الخام لخلات الإيثيل )

#### **4.IV الفصل بواسطة الكروماتوغرافيا:**

##### **1.4.IV *Centaurea acaulis*:**

##### **1.1.4.IV: كروماتوغرافيا العمود**

وأجرينا عليه عدة إختبارات لأجل إختيار المملص والدعامة ( 10,8 g)أخذنا المستخلص الكلوروفورمي بعد ذلك عالجناه بواسطة كروماتوغرافيا العمود حيث كانت الدعامة هي سم وقطرة 80 وكان طول العمود ASTM merk ( 230-400 mesh ) 3 mm 0,04-0,06 gel de silice سم والمملص المستعمل هو ثنائي كلور الميثان ثم زيادة الأستون تدريجيا 60 سم طول الدعامة 4 والكسور المحصل عليها جمعت تبعا لكروماتوغرافيتها على الطبقة الرقيقة التحليلية بعد معالجة هذه , ( 80 ml) CH<sub>3</sub>COOH ) الذي هو عبارة عن خليط مكون من (Révélateur)الأخيرة بواسطة الكاشف م ° لمدة ثلاثة دقائق بعد 100 ، وتسخينها داخل فرن درجة حرارته ( 4 ml) H<sub>2</sub>SO<sub>4</sub> و ( 16ml) H<sub>2</sub>O 254 و 366 نانومتر. ( UV ) فحصها تحت الأشعة فوق البنفسجية

يوضح مختلف النتائج المحصل عليها. (2-4) الجدول

ملاحظات	الوزن (مع)	المملص	الكسور
زائد كلوروفيل شحوم	300	CH <sub>2</sub> Cl <sub>2</sub> 100 %	100 (F <sub>0</sub> ) (مل)
خليط قابل للفصل	165	CH <sub>2</sub> Cl <sub>2</sub> -Acetone 9-1	1 - 8 (F <sub>1</sub> )
خليط قابل للفصل	212	CH <sub>2</sub> Cl <sub>2</sub> -Acetone 9-1	9 - 13 (F <sub>2</sub> )
خليط قابل للفصل	246	CH <sub>2</sub> Cl <sub>2</sub> -Acetone 9-1	14 - 15 (F <sub>3</sub> )
خليط قابل للفصل	138	CH <sub>2</sub> Cl <sub>2</sub> -Acetone 9-1	16 - 17 (F <sub>4</sub> )
خليط قابل للفصل	1512	CH <sub>2</sub> Cl <sub>2</sub> -Acetone 7 - 1	18 - 27 (F <sub>5</sub> )
خليط قابل للفصل	1067	CH <sub>2</sub> Cl <sub>2</sub> -Acetone 7 - 1	28 - 41 (F <sub>6</sub> )
خليط	305	CH <sub>2</sub> Cl <sub>2</sub> -Acetone 7 - 1	42 - 47 (F <sub>7</sub> )
خليط	202	CH <sub>2</sub> Cl <sub>2</sub> -Acetone 5 - 1	48 - 59 (F <sub>8</sub> )
خليط	300	CH <sub>2</sub> Cl <sub>2</sub> -Acetone 5 - 1	60 - 65 (F <sub>9</sub> )
خليط	598	CH <sub>2</sub> Cl <sub>2</sub> -Acetone 5 - 1	66 - 82 (F <sub>10</sub> )
خليط	80	CH <sub>2</sub> Cl <sub>2</sub> -Acetone 3 - 1	83 - 89 (F <sub>11</sub> )
خليط	176	CH <sub>2</sub> Cl <sub>2</sub> -Acetone 3 - 1	90-105 (F <sub>12</sub> )
خليط	456	CH <sub>2</sub> Cl <sub>2</sub> -Acetone 2 - 1	106 - 123 (F <sub>13</sub> )
خليط معقد	902	CH <sub>2</sub> Cl <sub>2</sub> -Acetone 1 - 1	124 - 166 (F <sub>14</sub> )
خليط معقد	1798	CH <sub>2</sub> Cl <sub>2</sub> -Acetone 0- 1	167 - 180 (F <sub>15</sub> )
خليط معقد	1996	MeOH pur	195 - 181 (F <sub>16</sub> )

*C. acaulis* كروماتوغرافيا العمود لمستخلص الكلوروفورم : (2-4) (الجدول)

#### كروماتوغرافيا الطبقة الرقيقة: 2.1.4.IV.

( مغ ) 165 ( 2-4 ) من الجدول F<sub>1</sub> معالجة الكسر (1.2.1.4.IV).

تمت معالجة الخليط بواسطة كروماتوغرافيا الطبقة الرقيقة التحضيرية بإستعمال شرائح من gel de silice : تم تقسيم الخليط إلى 1 : 2 في جملة تتكون من إثر البترول : إثر الإيثيل

F<sub>1,10</sub>; F<sub>1,9</sub>; F<sub>1,8</sub>; F<sub>1,7</sub>; F<sub>1,6</sub>; F<sub>1,5</sub>; F<sub>1,4</sub>; F<sub>1,3</sub>; F<sub>1,2</sub>; F<sub>1,1</sub>.

( مغ ) 212 ( 2-4 ) من الجدول F<sub>2</sub> معالجة الكسر (2.2.1.4.IV).

تمت معالجة الكسر بواسطة كروماتوغرافيا الطبقة الرقيقة التحضيرية بإستعمال شرائح من gel de silice : تم تقسيم الخليط إلى 2 : 3 في خليط يتكون من إثر البترول : إثر الإيثيل

F<sub>2,6</sub>; F<sub>2,5</sub>; F<sub>2,4</sub>; F<sub>2,3</sub>; F<sub>2,2</sub>; F<sub>2,1</sub>.

( مغ ) 246 ( 2-4 ) من الجدول F<sub>3</sub> معالجة الكسر (3.2.1.4.IV).

تمت معالجة الخليط بواسطة كروماتوغرافيا الطبقة الرقيقة التحضيرية بإستعمال شرائح من gel de silice : تم تقسيم الخليط إلى 3 : 2 في جملة تتكون من إثر البترول : إثر الإيثيل

F<sub>3,8</sub>; F<sub>3,7</sub>; F<sub>3,6</sub>; F<sub>3,5</sub>; F<sub>3,4</sub>; F<sub>3,3</sub>; F<sub>3,2</sub>; F<sub>3,1</sub>.

( مغ ) 138 ( 2-4 ) من الجدول F<sub>4</sub> معالجة الكسر (4.2.1.4.IV).

تمت معالجة الخليط بواسطة كروماتوغرافيا الطبقة الرقيقة التحضيرية بإستعمال شرائح من gel de silice : تم تقسيم الخليط إلى 3 : 2 في جملة تتكون من إثر البترول : إثر الإيثيل

F<sub>4,4</sub>; F<sub>4,3</sub>; F<sub>4,2</sub>; F<sub>4,1</sub>; F<sub>4,8</sub>; F<sub>4,7</sub>; F<sub>4,6</sub>; F<sub>4,5</sub>.

( كروماتوغرافيا الطبقة الرقيقة التحليلية جمعت تحت الكسور المتشابهة في الجدول بالإعتماد على

ملاحظات	تحت الكسور المتشابهة
قابل للفصل مغ (A) 35 (خليط)	F <sub>4,1</sub> ; F <sub>2,3</sub> ; F <sub>2,2</sub> ; F <sub>1,4</sub> ; F <sub>1,3</sub>
قابل للفصل مغ (B) 56 (خليط)	F <sub>4,2</sub> ; F <sub>3,3</sub> ; F <sub>2,4</sub> ; F <sub>1,5</sub>
قابل للفصل مغ (C) 112 (خليط)	F <sub>3,5</sub> ; F <sub>2,5</sub> ; F <sub>1,7</sub> ; F <sub>1,8</sub>
قابل للفصل مغ (D) 136 (خليط)	F <sub>4,4</sub> ; F <sub>3,6</sub> ; F <sub>2,6</sub> ; F <sub>1,9</sub>
قابل للفصل مغ (E) 98 (خليط)	F <sub>4,5</sub> ; F <sub>3,7</sub> ;
قابل للفصل مغ (F) 165 (خليط)	F <sub>4,7</sub> ; F <sub>4,8</sub> ; F <sub>3,8</sub> ; F <sub>1,10</sub>

#### .5.2.1.4.IV معالجة الخليط (A) :

في خليط يتكون gel de silice بواسطة كروماتوغرافيا الطبقة الرقيقة التحضيرية وباستعمال شرائح من (ABAF<sub>41</sub>بيضاء هو تم فصل مركب في صورة بلورات 2 : 98 - هكسان : خلات الإيثيل : من مغ) 8

#### .6.2.1.4.IV معالجة الخليط (B) :

في خليط يتكون gel de silice بواسطة كروماتوغرافيا الطبقة الرقيقة التحضيرية وباستعمال شرائح من (ABAF<sub>51</sub>بيضاء هو تم فصل مركب عبارة عن بلورات 5 : 95 - هكسان : خلات الإيثيل : من مغ) 12

#### .7.2.1.4.IV معالجة الخليط (C) :

في خليط يتكون gel de silice بواسطة كروماتوغرافيا الطبقة الرقيقة التحضيرية وباستعمال شرائح من (ABAF<sub>81</sub> أستطعنا أن نفصل مركب بلوري أبيض هو 20 : 80 - هكسان : خلات الإيثيل : من مغ) 37

#### .8.2.1.4.IV معالجة الخليط (D) :

في خليط يتكون gel de silice بواسطة كروماتوغرافيا الطبقة الرقيقة التحضيرية وباستعمال شرائح من (ABAF<sub>91</sub> تم فصل مركب زيتي أبيض شفاف هو 30 : 70 - هكسان : خلات الإيثيل : من مغ) 40

#### (E) معالجة الخليط 9.2.1.4.IV :

في خليط يتكون gel de silice بواسطة كروماتوغرافيا الطبقة الرقيقة التحضيرية وباستعمال شرائح من (ABAF<sub>64</sub>بيضاء هو تم فصل مركب في صورة بلورات 40 : 60ن - هكسان : خلات الإيثيل : من (مغ.72

#### (F) معالجة الخليط 10.2.1.4.IV :

في خليط يتكون gel de silice بواسطة كروماتوغرافيا الطبقة الرقيقة التحضيرية وباستعمال شرائح من (مغ.165 (ABAF<sub>101</sub> تم فصل مركب بلوري أبيض هو 50 : 50ن - هكسان : خلات الإيثيل : من

#### 2.4.IV *Centaurea maroccana* :

##### 1.2.4.IV: كروماتوغرافيا العمود

غ من مستخلص خلات الإيثيل وحاولنا فصل مكوناته مستعملين في ذلك كروماتوغرافيا 20أخذنا عدة إختبارات قصد الحصول على كل من المملص والدعامة المناسبين فكانت العمود حيث أجرينا عليه الدعامة هي

سم 82 وكان طول العمود ASTM merck gel de silice 60, 0,035 - 0,070 mm (220-440 mesh). تم هكسان - سم ، مذيب التمليص "المملص" المستعمل هو ن70 "silice" سم طول الدعامة 4وقطره زيادة خلات الإيثيل تدريجيا بعد ذلك تم إدخال الميثانول كعنصر ثالث في الجملة ومتابعة مختلف الكسور بواسطة كروماتوغرافيا الطبقة الرقيقة التحليلية بعد غطسها في الكاشف الذي هو عبارة عن H<sub>2</sub>SO<sub>4</sub> (8.5) و Anisaldehyde (6,4 ml) , Ethanol (232 ml) , CH<sub>3</sub>COOH( 2,6 ml) خليط مكون من يبين مختلف النتائج(4-4) م° لمدة ثلاثة دقائق. الجدول 100 ، ووضعها داخل فرن درجة حرارته (ml) المحصل عليها

*C. maroccana* كروماتوغرافيا العمود لمستخلص خلات الإيثيل : (4-4)الجدول

الكسور	المملص	الوزن (مغ)	ملاحظات
(F <sub>1</sub> ) 1 - 18	n-Hexane 100 %	120	شحوم

شحوم	95	n -Hexane 100 %	19 – 42	( F <sub>2</sub> )
خليط	108	n -Hexane : AcOET 4:1	43 – 70	( F <sub>3</sub> )
خليط	101	n -Hexane : AcOET 4:1	71 – 84	( F <sub>4</sub> )
خليط معقد	82	n -Hexane : AcOET 4:1	85 – 108	( F <sub>5</sub> )
خليط	96	n -Hexane : AcOET 4:2	109 – 139	( F <sub>6</sub> )
خليط	210	n -Hexane : AcOET 4:3	140 – 145	( F <sub>7</sub> )
خليط	81	n -Hexane : AcOET 4:3	146 – 152	( F <sub>8</sub> )
خليط	90	n -Hexane : AcOET 4:3	153 – 161	( F <sub>9</sub> )
خليط	121	n -Hexane : AcOET 4:3	162 – 166	( F <sub>10</sub> )
قابل للفصل خليط	87	n -Hexane : AcOET 4:3	167 – 175	( F <sub>11</sub> )
قابل للفصل خليط	210	n -Hexane : AcOET 4:3	176 -191	( F <sub>12</sub> )
قابل للفصل خليط	632	n -Hexane : AcOET 4:3	192 -207	( F <sub>13</sub> )
قابل للفصل خليط	508	n -Hexane : AcOET 4:3	208 -225	( F <sub>14</sub> )
قابل للفصل خليط	429	n -Hexane : AcOET 4:3	226 -236	( F <sub>15</sub> )
خليط	710	n -Hexane : AcOET 4:3	237 -253	( F <sub>16</sub> )
خليط	332	n -Hexane : AcOET 4:4	254 -263	( F <sub>17</sub> )
خليط	810	n -Hexane : AcOET 4:4	264 -281	( F <sub>18</sub> )
خليط	354	n -Hexane : AcOET 4:4	282 -289	( F <sub>18</sub> )
خليط	210	n -Hexane : AcOET 4:4	290 -307	( F <sub>20</sub> )
خليط قابل للفصل	120	n -Hexane : AcOET 3:4	308 -337	( F <sub>21</sub> )
خليط قابل للفصل	95	n -Hexane : AcOET 3:4	338 -362	( F <sub>22</sub> )
خليط قابل للفصل	402	n -Hexane : AcOET 3:4	363 -402	( F <sub>23</sub> )
خليط	125	n -Hexane : AcOET 3:4	403 -447	( F <sub>24</sub> )
خليط	231	n -Hexane : AcOET 2:4	448 -457	( F <sub>25</sub> )
خليط قابل للفصل	1004	n -Hexane : AcOET 2:4	458 -482	( F <sub>26</sub> )
خليط قابل للفصل	1031	n -Hexane : AcOET 1:4	483 -512	( F <sub>27</sub> )
خليط قابل للفصل	3054	n -Hexane : AcOET 1:4	513 -562	( F <sub>28</sub> )
خليط	1213	n -Hexane : AcOET 1:4	563 -588	( F <sub>29</sub> )

خليط	803	n – Hexane : A <sub>C</sub> OET : MeOH 1,5 : 8 : 0,5	589 -613	( F <sub>30</sub> )
خليط معقد	949	n – Hexane : A <sub>C</sub> OET : MeOH 1,5 : 8 : 0,5	614 -671	( F <sub>31</sub> )
خليط معقد	1101	n – Hexane : A <sub>C</sub> OET : MeOH 1 : 8 : 1	672 -711	( F <sub>32</sub> )
خليط	332	n – Hexane : A <sub>C</sub> OET : MeOH 1 : 8 : 1	712 -731	( F <sub>33</sub> )
خليط	541	n – Hexane : A <sub>C</sub> OET : MeOH 1 : 8 : 1	732 -756	( F <sub>34</sub> )
خليط معقد	711	n – Hexane : A <sub>C</sub> OET : MeOH 1,5 : 8 : 0,5	757 -779	( F <sub>35</sub> )
خليط معقد	841	n – Hexane : A <sub>C</sub> OET : MeOH 1,5 : 7 : 2,5	780 -809	( F <sub>36</sub> )
خليط معقد	459	n – Hexane : A <sub>C</sub> OET : MeOH 0,5 : 7 : 2,5	810 -835	( F <sub>37</sub> )
خليط معقد	541	n – Hexane : A <sub>C</sub> OET : MeOH 0 : 5 : 5	836 -850	( F <sub>38</sub> )
خليط معقد	1050	n – Hexane : A <sub>C</sub> OET : MeOH 0 : 0 : 1	851 -895	( F <sub>39</sub> )

(تابع) *C. maroccana* كروماتوغرافيا العمود لمستخلص خلات الإيثيل : (4-4) الجدول

#### كروماتوغرافيا الطبقة الرقيقة: 2.2.4.IV.

##### مغ: 500 ( ( 4-4 ) ) من الجدول F<sub>14</sub> معالجة الكسر (1.2.2.4.IV).

تم فصل gel de silice بواسطة كروماتوغرافيا الطبقة الرقيقة التحضيرية وباستعمال شرائح من حيث كان المذيب ) مغ200 ( ABAF<sub>142</sub> مغ ) ، 150 ( ABAF<sub>141</sub> ) مركبين بلوريين هما 254 و 366 نانومتر. ( UV ) باستعمال الأشعة فوق البنفسجية 9 : 1 CHCl<sub>3</sub> : CH<sub>3</sub>COCH<sub>3</sub>

##### مغ: 95 ( ( 4-4 ) ) من الجدول F<sub>22</sub> معالجة الكسر (2.2.1.4.IV).

تم فصل مركب على شكل 1 : 5 CHCl<sub>3</sub> : CH<sub>3</sub>COCH<sub>3</sub> بنفس الطريقة السابقة حيث كان المذيب هو مغ. 70 ( ABAF<sub>222</sub> ) بلورات هو

##### مغ : ( 100 ( ( 4-4 ) ) من الجدول F<sub>26</sub> معالجة الكسر (2.2.2.4.IV).

في مذيب مكون gel de silice بواسطة كروماتوغرافيا الطبقة الرقيقة التحضيرية باستعمال شرائح من مغ. 75 ( ABAF<sub>26</sub> ) أبيض هو تم فصل مركب بلوري 3 : 1 CHCl<sub>3</sub> : CH<sub>3</sub>COCH<sub>3</sub> من

##### مغ : ( 150 ( ( 4-4 ) ) من الجدول F<sub>28</sub> معالجة الكسر (3.2.2.4.IV).

تم فصل مركب على شكل 1 : 2  $\text{CH}_3\text{COCH}_3$  :  $\text{CHCl}_3$  بنفس الطريقة أعلاه حيث كان المملص هو بلورات بيضاء هو

(مغ) . 95 (ABAF<sub>28</sub>) :



# الفصل الخامس

## تشخيص المركبات المفصولة

### V . تشخيص المركبات المفصولة

#### V..1 *Centaurea acaulis* :

بينت أن هذه النبتة لم تجرى عليها أي *Centaurea acaulis* علما أن الدراسة البيبليوغرافية لنبات مركبات بيضاء هي: (6) دفعنا إلى دراستها حيث أستطعنا أن نفصل منها مادة دراسة فيتوكيميائية

ABAF<sub>41</sub> , ABAF<sub>64</sub>, ABAF<sub>81</sub>, ABAF<sub>101</sub> , ABAF<sub>91</sub> و ABAF<sub>51</sub>

#### V..1.1 تشخيص المركب ABAF<sub>91</sub>:

الناجمة عن  $m/z$  يعطي قيم 1) الطيف رقم (SMIEHR) طيف الكتلة بتصادم إلكتروني عالي الأداء الشطايا التالية:

من جهة تمثل الأيون الجزيئي ومن جهة أخرى تدل على أن المركب (3 : 1)  $m/z=340-342$ : القمتان ذرة كلور . يحتوي على

المرافقة للشظية  $m/z=280-282$  ،  $(M^+ - H_2O)$  المرافقة للشظية  $m/z=322-324$ : القمم

كلها تدل على  $(M^+ - CH_3COOH - H_2O)$  المرافقة للشظية  $m/z=262-264$  ،  $(M^+ - C_2H_2O - H_2O)$  ،  
(OH). أن المركب يحتوي على مجموعة هيدروكسيل

$(M^+ - C_2H_2O)$  المرافقة للشظية  $m/z=280-282$  ،  $(M^+ - C_2H_2O)$  المرافقة للشظية  $m/z=298-300$ : القمم  
كلها تدل على أن المركب  $(M^+ - CH_3COOH - H_2O)$  المرافقة للشظية  $m/z=262-264$  ،  
(OAc). يحتوي على مجموعة خلات

المرافقة للشظية  $m/z=231$  ،  $(M^+ - C_2H_4O_2 - Cl)$  المرافقة للشظية  $m/z=245$ : القمم

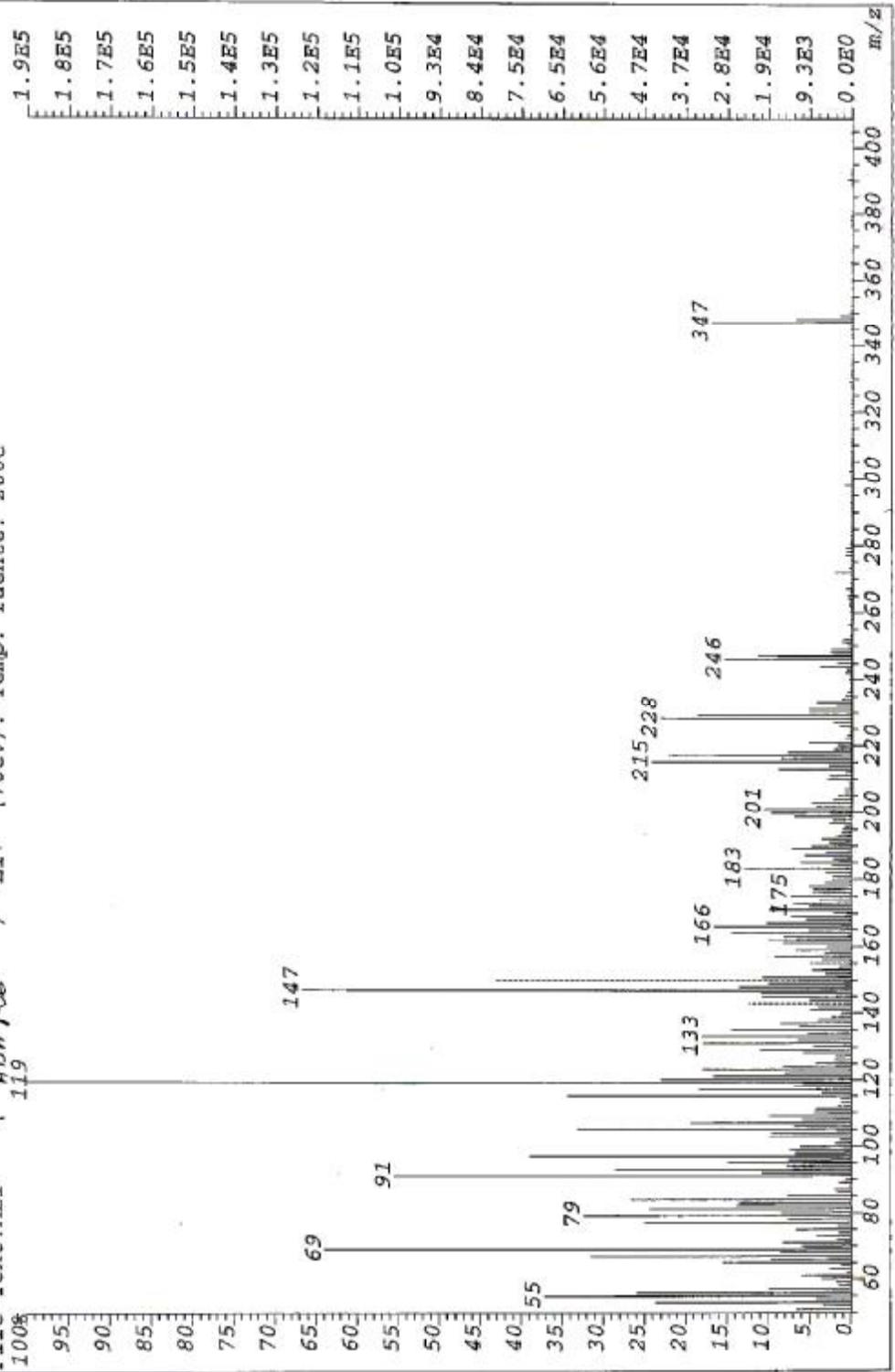
$(M^+ - CH_3COOH - H_2O - CH_2Cl)$  المرافقة للشظية  $m/z=213$  ،  $(M^+ - CH_3COOH - CH_2Cl)$

(CH<sub>2</sub>Cl). كلها تؤكد على أن المركب يحتوي على المجموعة

SMIEHR . المؤكدة بواسطة  $C_{17}H_{21}O_5Cl$  مجموع هذه النتائج تؤدي إلى الصيغة الجزيئية المجملة التي لا يمكن أن تكون إلا مرافقة ل  $m/z=305$  عند  $C_{17}H_{21}O_5$  حيث تؤدي إلى الصيغة المجملة للأيون

لأن المركب يحتوي على ذرة كلور.  $(M^+ - Cl)$

File:S682 Ident:52\_58+54 Win 100PPM Acq: 4-JUL-2003 13:46:54 +2:44 Cal:S682  
AutoSpec EI+ Magnet BpM:119 BpI:186364 TIC:5023122 Flags:ACC  
File Text:ALI ( ~~ABH~~RG ) EI+ (70eV). Temp. fuente: 200C



يبين أن المركب يتكون من (1-5) الذي دونت نتائجه في الجدول 2 (الطيف رقم (RMN-<sup>13</sup>C) طيف ذرة كربون . 16

يبين وجود (1-5) الذي دونت نتائجه في الجدول 3 (الطيف رقم ( DEPT 135 et 90 ) أطيايف تجارب (رابطين مضاعفتين إيثيلينية (2CH<sub>2</sub>) منها (CH<sub>2</sub>) مجموعات ميثلين 6، (CH<sub>3</sub>) مجموعة ميثل واحدة =75,6= إثنين منها مؤكسجة عند sp<sup>3</sup> (5CHsp<sup>3</sup>) مجموعات ميثلين مهجنة 5 ، 4CH<sub>2</sub>sp<sup>3</sup> خارج الحلقة) و وإثنين δ =74,9 عند مؤكسجة sp<sup>3</sup> ذرات كربون رباعية إحداها مهجنة 4 ويؤكد وجود δ =85,0 و δ CO لا يمكن أن تكون إلا الحاملة للرابطة المضاعفة خارج الحلقة و الرابعة عبارة عن مجموعة أخرى CO فننظر وجود مجموعة (OAc) اللاكتونية ، بما أن طيف الكتلة يؤكد وجود مجموعة خلات اللاكتونية وهذا ما تبينه CO متطابقة مع إشارة RMN-<sup>13</sup>C أسترية يحتمل أن تكون إشارتها في طيف الأطيايف فيما بعد .

. بالإتماد Ω=17-22/2+1=7 : عند حساب عدد الروابط الثنائية والحلقات (وحدات عدم التشبع) نجد

: يمكننا تصنيف ما يلي RMN-<sup>13</sup>C لنتائج طيف على الإزاحة الكيميائية

(الأسترية + المجموعة اللاكتونية) رابطين مضاعفتين والحلقة 2CO (رابطين مضاعفتين) ، 2CH<sub>2</sub>= اللاكتونية. إذن لم يبقى لنا إلا وحدتي عدم التشبع ، بما أن ذرات الكربون المتبقية كلها مشبعة أي وبناء على ذلك فإن الهيكل السيسكوي تربيني يجب أن يتكون من حلقتين وبالرجوع إلى sp<sup>3</sup> مهجنة الببيليوغرافيا يمكننا أن نؤكد إلى حد بعيد أن هذا المركب لا يمكن أن يكون إلا قاينوليدا (guaianolide) أو أوديسمانوليدا (eudesmanolide).

وجود مجموعتين من (2-5) الذي دونت نتائجه في الجدول 4 (الطيف رقم (RMN-<sup>1</sup>H) يبين طيف

الإشارات مميزتين خاصة ببروتونات رابطين مضاعفتين خارج الحلقة .

و التي تبين وجود تزاوج أليلي مميز δ =5,53 d, J=3, 1 و δ =6,24 d, J=3, 4 الأولى عند

خاصة بلاكتون سيسكوي تربيني هذه الإشارات يمكن CO مترافقة مع CH<sub>2</sub> لبروتونات مجموعة H-13 و H-13' أن ننسبها إلى البروتونين

أما المجموعة الثانية التي تظهر هي كذلك على شكل ثنائيتين عند =5,61 d, J=1,4

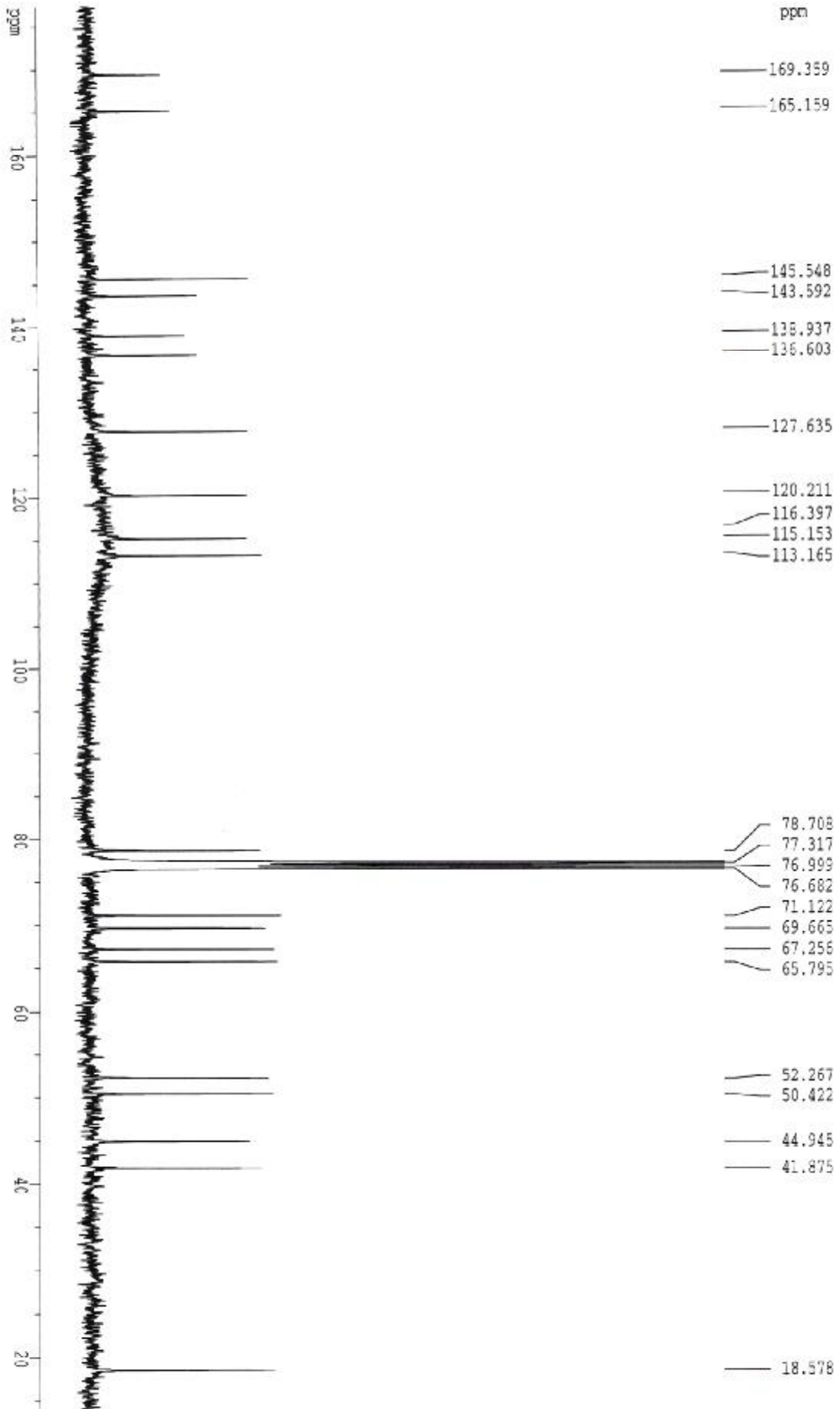
δ =5,38 d, J=1,6 و δ

التي سنعود للتأكيد عليها فيما بعد . H-15 و H-15' يمكن نسبها إلى البروتونين

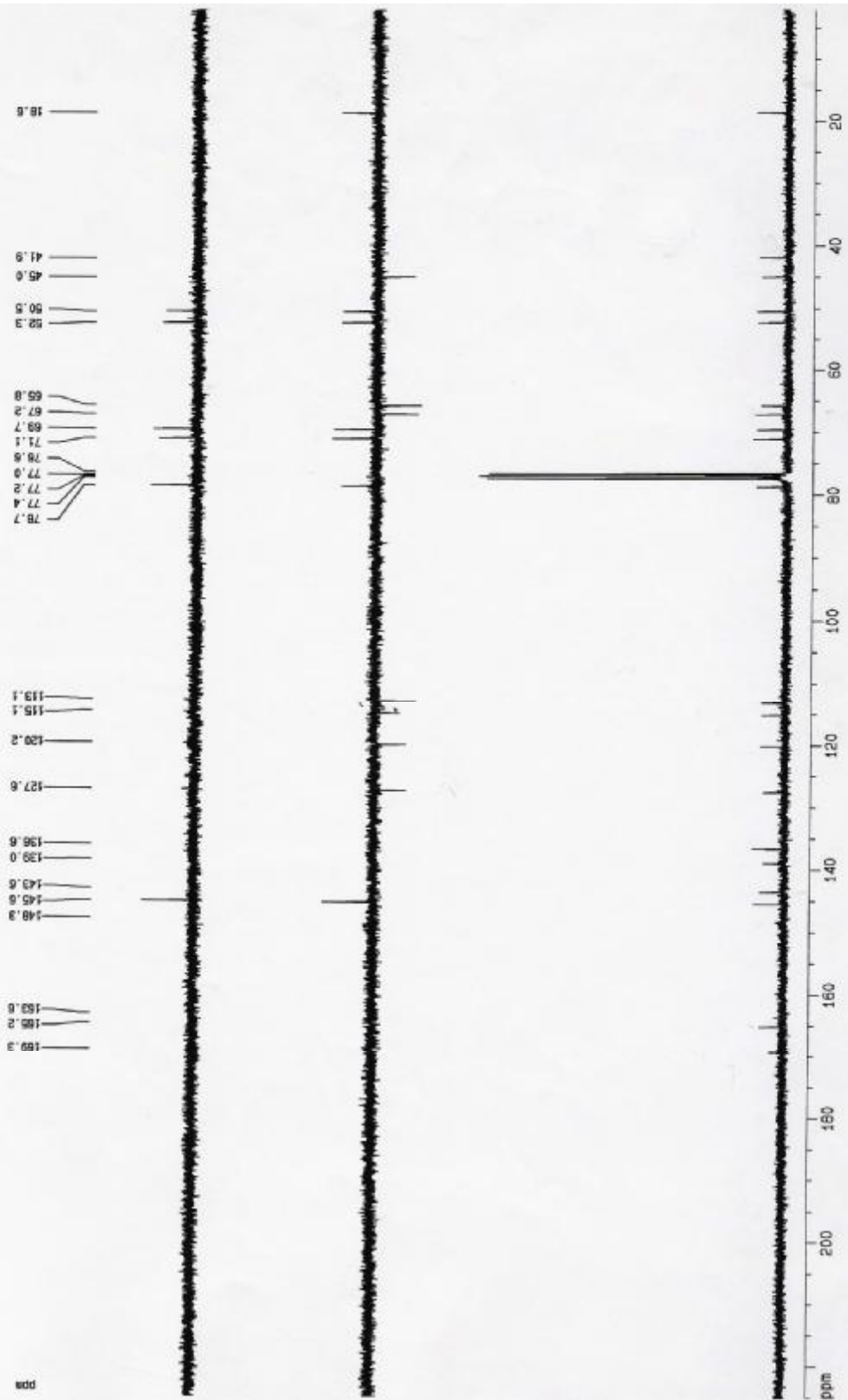
يسمح H-13 وبمعرفة (2-5) الذي دونت نتائجه في الجدول 5 (الطيف رقم (Cosy(<sup>1</sup>H-<sup>1</sup>H) طيف تجربة

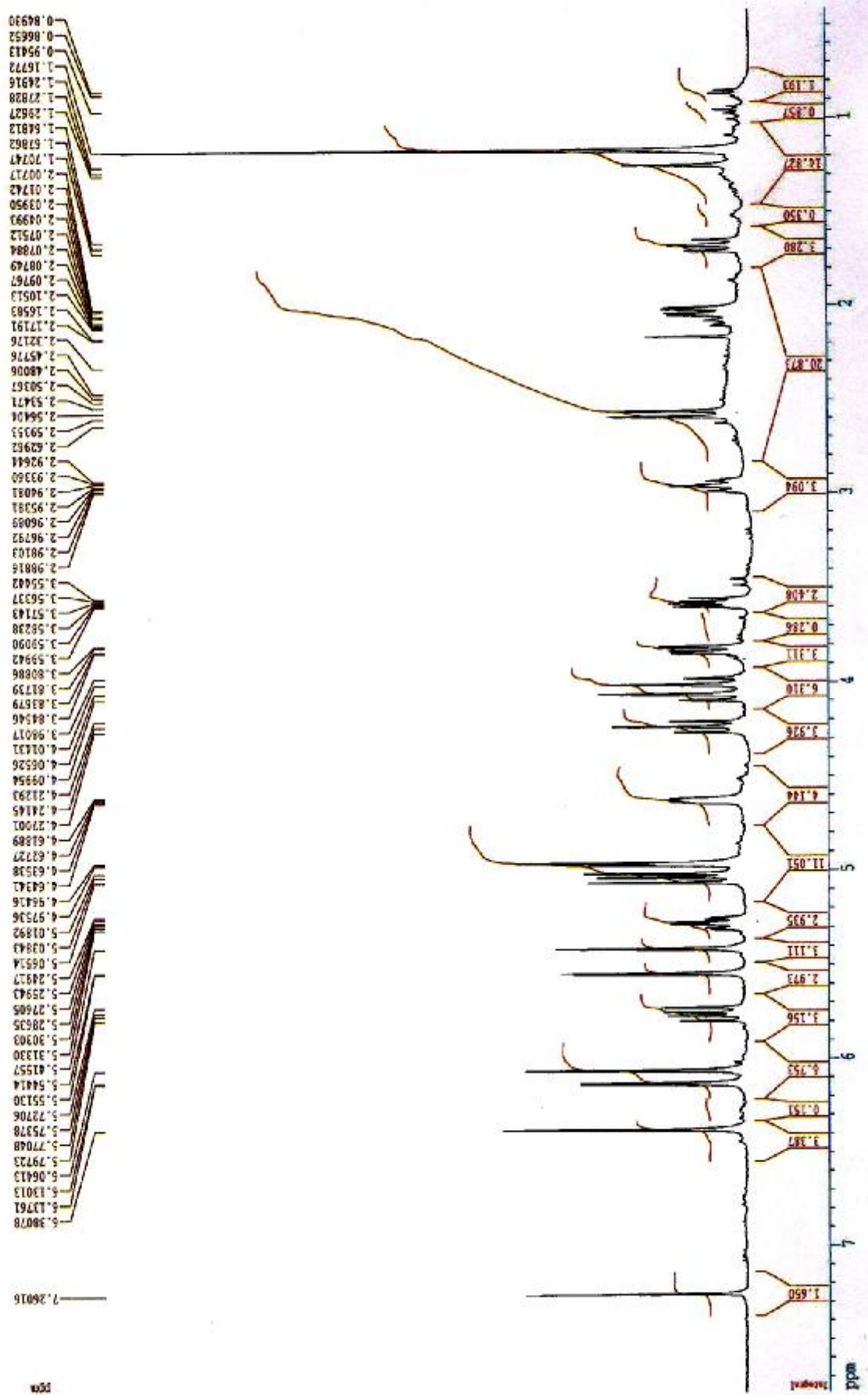
على شكل إشارة ثلاثية δ =4,55 عند H-6 والذي هو الآخر يقودنا إلى تعيين δ =2,71 عند H-7 بتحديد

J=9,4.



abc-f26 5 6 7 1 /v 1000



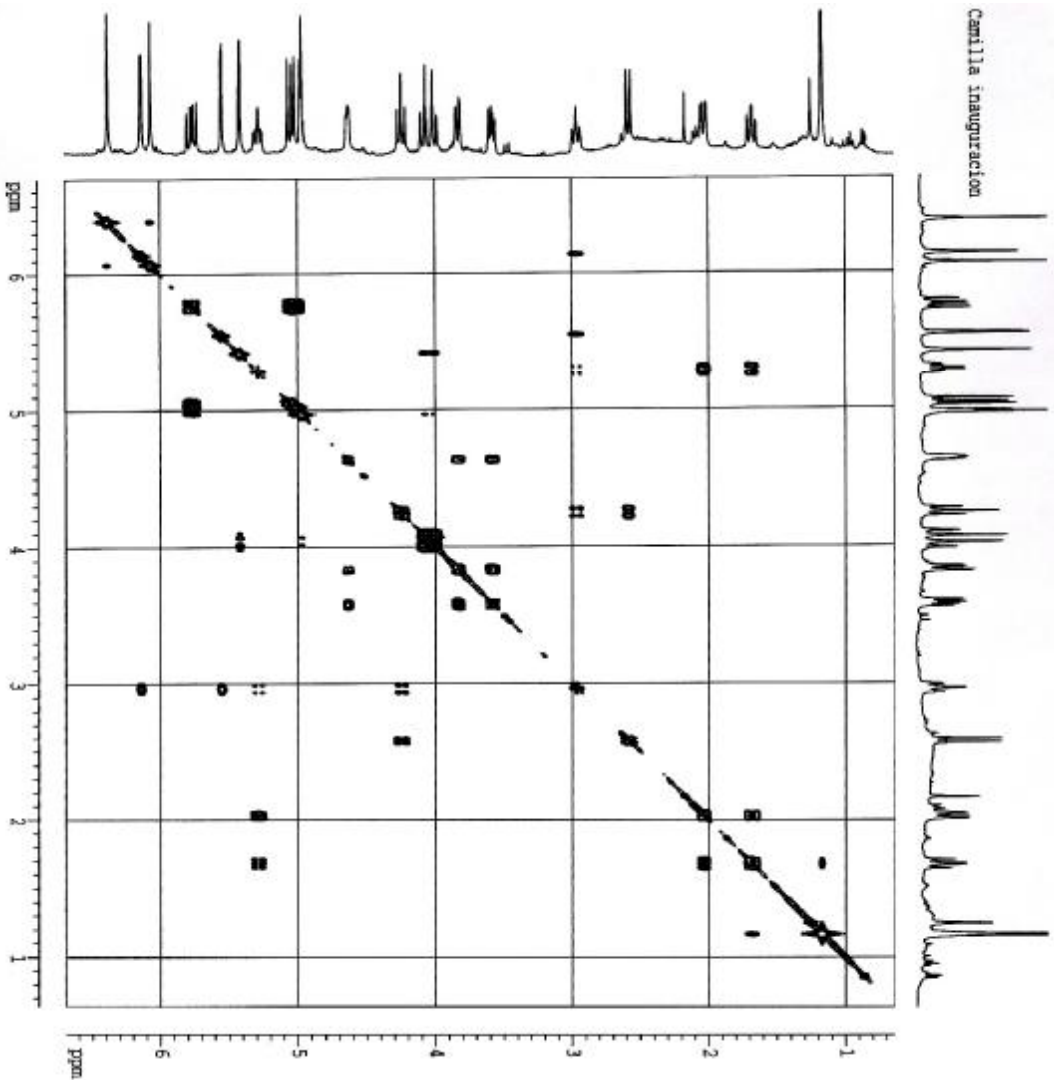


aba-f-26

ppm

ppm

Camilia inauguracion



```

=====
NAME                               :
EXPNO                               : 1
PROCNO                              : 1
PROCDS                             : 1
PROBHD                               : 5 mm HNP 1 H-1
PULPROG                             : zgpg30
AQ                               : 0.211
SFO                               : 299.616
F2                               : 600.137
F1                               : 400.143
AQ2                               : 0.201
=====

NUC1                                : 13
PROBHD2                             : 5 mm HNP 13C-1
PULPROG2                            : zgpg30
AQ2                                 : 0.201
SFO2                                : 125.763
F22                                : 125.763
F12                                : 299.616
AQ12                               : 0.201
=====

F2 - Acquisition Parameters
---
SI                                : 32768
SF                                : 125.763
WDW                                : EM
SSB                                : 0
LB                                  : 3.00
GB                                  : 0
PC                                  : 1.00
AS                                  : 0
VS                                  : 1.00

F1 - Acquisition Parameters
---
SI                                : 65536
SF                                : 400.143
WDW                                : EM
SSB                                : 0
LB                                  : 3.00
GB                                  : 0
PC                                  : 1.00
AS                                  : 0
VS                                  : 1.00

F2 - Processing parameters
---
SI                                : 32768
SF                                : 125.763
WDW                                : EM
SSB                                : 0
LB                                  : 3.00
GB                                  : 0
PC                                  : 1.00
AS                                  : 0
VS                                  : 1.00

F1 - Processing parameters
---
SI                                : 65536
SF                                : 400.143
WDW                                : EM
SSB                                : 0
LB                                  : 3.00
GB                                  : 0
PC                                  : 1.00
AS                                  : 0
VS                                  : 1.00

=====
2D NMR Data Parameters
=====
SI                                : 65536
SF                                : 400.143
WDW                                : EM
SSB                                : 0
LB                                  : 3.00
GB                                  : 0
PC                                  : 1.00
AS                                  : 0
VS                                  : 1.00
=====
PROBHD2                            : 5 mm HNP 13C-1
PROCNO                             : 1
PROCDS                             : 1
PULPROG2                            : zgpg30
AQ2                                 : 0.201
SFO2                                : 125.763
F22                                : 125.763
F12                                : 299.616
AQ12                               : 0.201
=====
NAME                               :
EXPNO                               : 1
PROCNO                              : 1
PROCDS                             : 1
PROBHD                               : 5 mm HNP 1 H-1
PULPROG                             : zgpg30
AQ                               : 0.211
SFO                               : 299.616
F2                               : 600.137
F1                               : 400.143
AQ2                               : 0.201
=====

```

هذا وجود تعالق بين (1-5) الذي دونت نتائجه في الجدول 6 (الطيف رقم HSQC يبين طيف تجربة قيمة هذه الإزاحة مميزة لكربون غلق الحلقة اللاكتونية وعليه  $\delta = 85,0$  وكربون عند (H-6) البروتون 6. فإن هذه الأخيرة مغلقة في الوضع

حيث  $\delta = 3,01$  عند H-5 نستطيع تحديد H-6 وبالإعتماد على  $^1\text{H}-^1\text{H}$  Cosy بالرجوع إلى طيف تجربة المشار إليها أعلاه مؤكدا وجود رابطة مضاعفة عند  $\text{CH}_2=$  يوجد تعالق بين هذا الأخير والمجموعة . H-15' و H-15 مما يدعم التوزيع السابق الذكر للبروتونين C-4 ذرة الكربون  $\delta = 2,71$  عند H-7 وبروتون آخر إشارته متطابقة مع إشارة H-5 يبين نفس الطيف وجود تعالق بين وعليه فإن الهيكل السيسكوي ترييني اللاكتوني هو قاياوليدا H-1 الذي لا يمكن أن يكون إلا (guaianolide).

هذين البروتونين يتعالفان  $\delta = 2,21$  عند H-2' و  $\delta = 2,15$  عند H-2 تؤدي إلى تحديد كل من H-1 معرفة . قيمة إزاحته الكيميائية تبين أن مجموعة الخلات H-3 هو بالضرورة  $\delta = 5,63$  مع بروتون عند . C-3 متصلة بذرة الكربون

$J = 10,9$  حيث  $\delta = 3,46$  و  $\delta = 3,40$  عند AB (système AB) يبين وجود إشارة نظام  $^1\text{H}$ -RMN طيف لوجودها فوق مركز كيرالي لكونها غير متكافئة مغناطيسيا ( $\text{CH}_2\text{Cl}$ ) خاص ببروتوني المجموعة . H-14' و H-14 وبالتالي يمكن نسب هذين البروتونين إلى C-10 والذي لا يمكن أن يكون إلا الكربون DEPT إن مجموعة هذه النتائج بالإضافة إلى المعلومات المستخلصة من أطياف الكربون و تجارب  $\delta$  ذو الإزاحة الكيميائية C-10 في الموقع (OH) وطيف الكتلة تقود إلى وجود مجموعة هيدروكسيل  $= 74,9$ .

بثابت (1-5) الذي دونت نتائجه في الجدول 7 (الطيف رقم 400MHz) HMBC يبين طيف تجربة وبروتون مجموعة الهيدروكسيل AB إن كل من بروتوني النظام 8Hz إلى القيمة optimize تزواج مما يؤكد أن مجموعة الهيدروكسيل والمجموعة (C-1, C-9, C-10) تتعالق مع نفس ذرات الكربون . كما يبين وجود تعالق بين C-10 محمولة على نفس ذرة الكربون التي لا يمكن أن تكون إلا  $\text{CH}_2\text{Cl}$  مما C-5 و C-3 وذرتي الكربون (  $\delta = 5,38$  و  $\delta = 5,61$  بروتوني الرابطة المضاعفة خارج الحلقة . C-4 يؤكد وجود الرابطة المضاعفة خارج الحلقة على الكربون

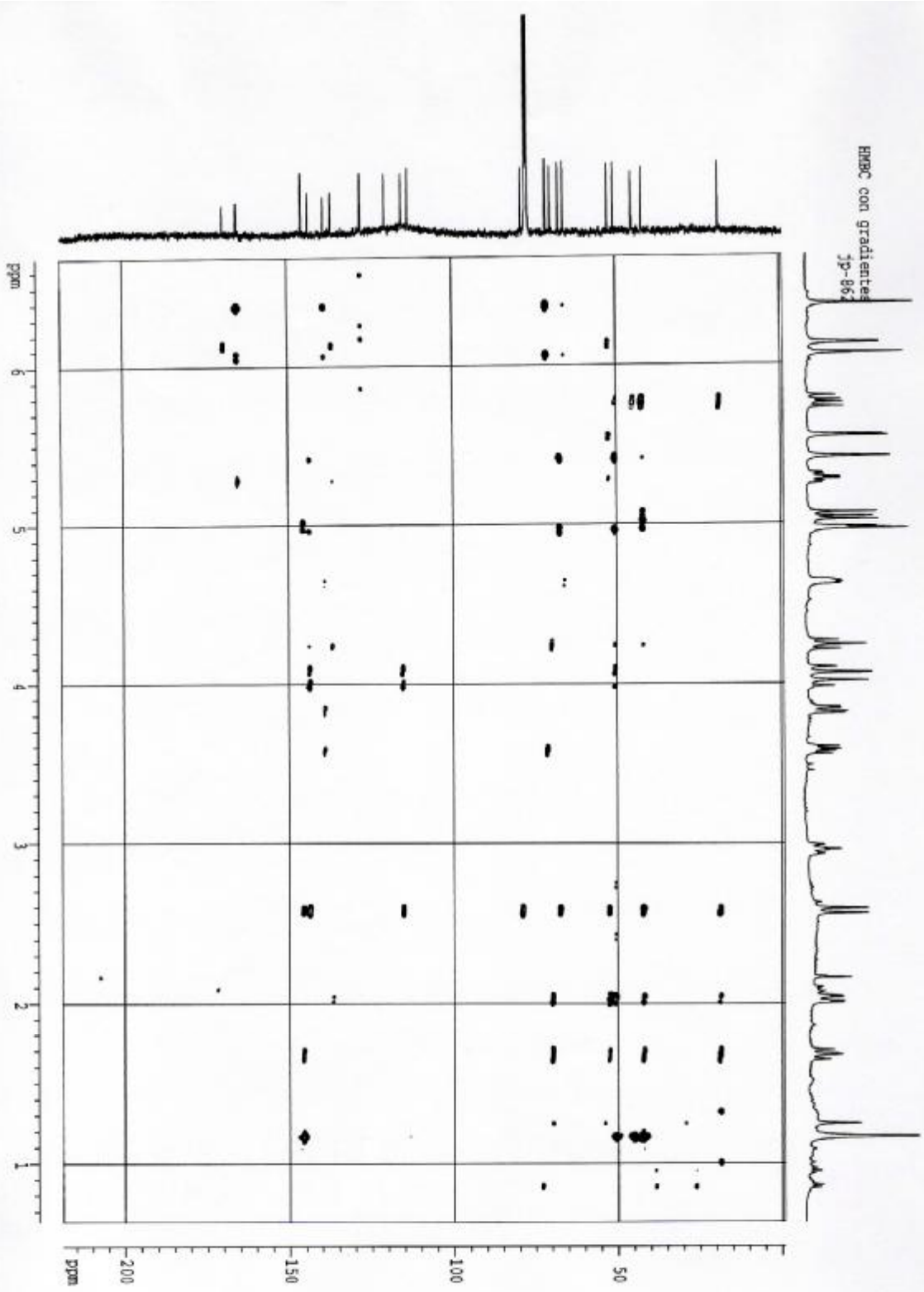
و بروتونات مجموعة الخلات تتعالق مع نفس الكربون H-13'، H-13 كما يبين نفس الطيف أن كل من  $\delta = 169,3$  عند

لهما نفس الإزاحة الكيميائية وتؤكد أن المركب فعلا يتكون من C-16 و C-12 هذه الملاحظة تبين أن ذرة كربون 17.





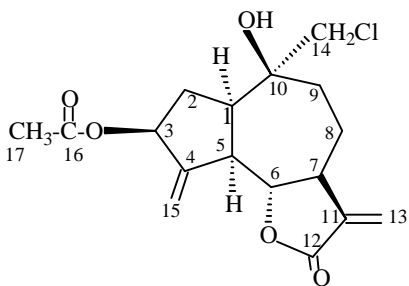
HMBC con gradientes  
jp-862



(1-5) محددة بواسطة قيم ثوابت الإقتران ( الجدول C-7 و C-6 ، C-5 ، C-1 الكيمياء الفراغية عند H-3 يحدد اعتمادا على الإزاحة الكيميائية للبروتون C-3 لمجموعة الخلات عند ذرة الكربون  $\beta$  الإتجاه [155] H-6 و الزيادة النسبية للإزاحة الكيميائية ل [154].

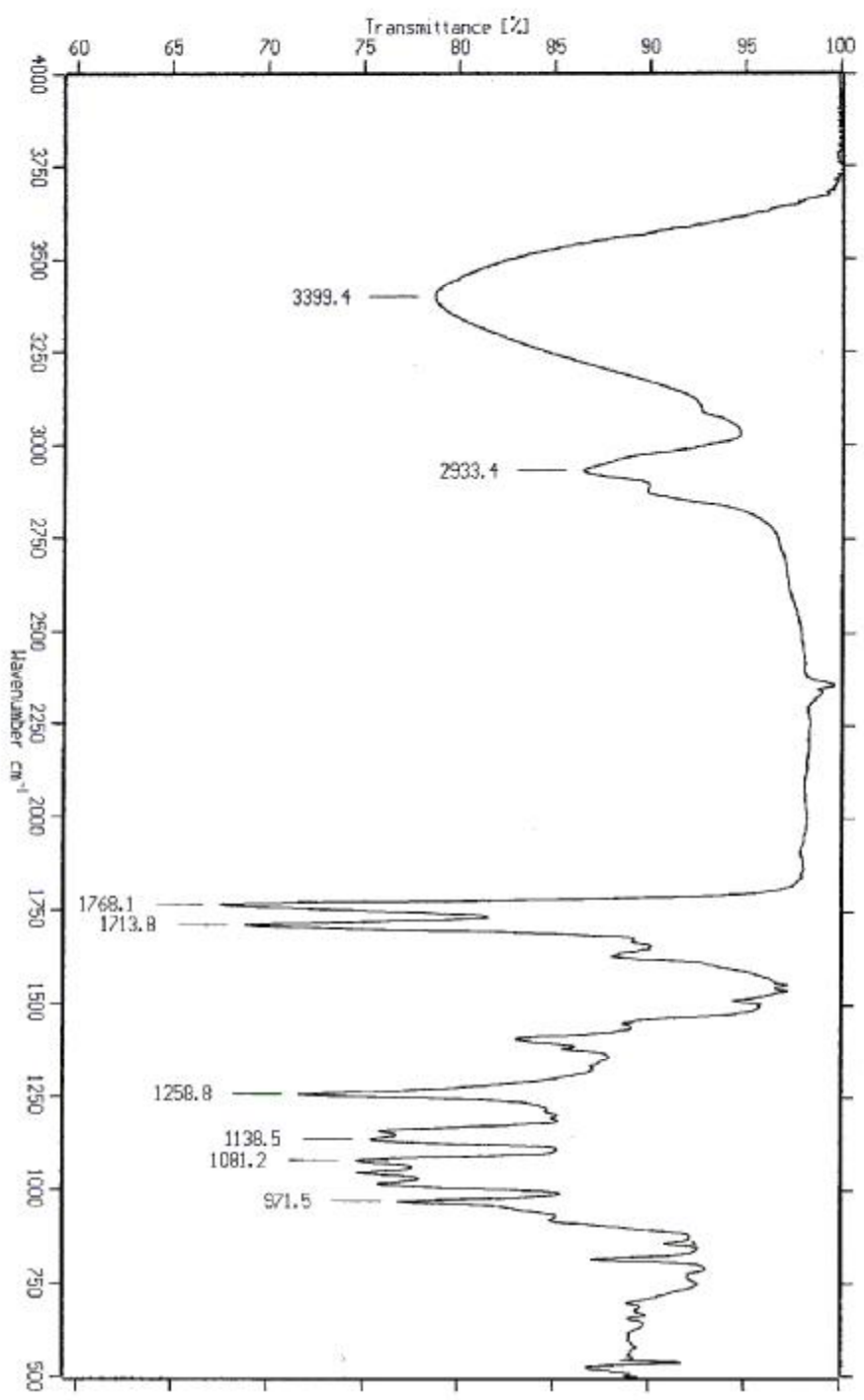
عند ذرة  $\text{CH}_2\text{Cl}$  مجموعة AB ( ) وجود تعالق بين إشارة النظام 8 (الطيف رقم NOESY يبين طيف من H-8 $\beta$  (H-8ax) من جهة وعدم وجود تعالق بينها وبين البروتون H-1 والبروتون C-10 الكربون (OH). لمجموعة الهيدروكسيل  $\beta$  أي الإتجاه  $\text{CH}_2\text{Cl}$  للمجموعة  $\alpha$  جهة أخرى مما يؤكد الإتجاه وذلك نظرا لوجود تعالق بين C-3 لمجموعة الخلات عند ذرة الكربون  $\beta$  كما يؤكد نفس الطيف الإتجاه H-5 و H-3 البروتونين

مجموعة هذه النتائج تقودنا إلى المركب الذي يمكن تسميته حسب أسماء المركبات المشابهة له ذو . [157,156] 14-chloro 10 $\beta$ -hydroxy-10(14)-dihydro zaluzanine D المنشورة في البيبليوغرافيا الصيغة الكيميائية المفصلة أدناه



14-chloro 10 $\beta$ -hydroxy-10(14)-dihydro zaluzanine D

مع العلم أن هذا المركب جديد يفصل لأول مرة أي لم يذكر في البيبليوغرافيا من قبل .



Sample : Rha-f-26	Frequency Range : 6999.9299 - 399.1224	Measured on : 4/7/2003
Technique : NaCl(film)	Resolution : 4.0	Instrument : JFS55 , Sample Scans : 16
Customer : Francisco	Zero Filling : 2	Acquisition : Double Sided, Forward-Backward

C	$\delta_{[\text{ppm}]}$	DEPT and HSQC (400 MHz)	HMBC with H (400 MHz)
1	44,8	CH	3, 14, 14', OH, 2, 2', 9 $\alpha$ , 9 $\beta$
2	33,8	CH <sub>2</sub>	1
3	75,6	CH	15, 15', 1, 2, 2'
4	149,9	C	15, 15', 6, 5, 2, 2', 1
5	50,0	CH	15, 15', 6, 1, 7, 2, 2'
6	85,0	CH	5, 8, 8'
7	46,0	CH	13, 13', 8 $\alpha$ , 8 $\beta$ , 9 $\alpha$ , 9 $\beta$
8	24,0	CH <sub>2</sub>	6, 14, 14', 9 $\alpha$ , 9 $\beta$
9	37,8	CH <sub>2</sub>	14, 14', OH
10	74,9	C	14, 14', OH, 2, 2'
11	139,2	C	13
12	169,3	C	13, 13'
13	120,0	CH <sub>2</sub>	----
14	53,1	CH <sub>2</sub>	9 $\beta$
15	114,5	CH <sub>2</sub>	5
16	169,3	C	17
17	21,2	CH <sub>3</sub>	5

Table(5-1). <sup>13</sup>C NMR chemical shifts of compound **ABAF<sub>91</sub>** (100 MHz, CDCl<sub>3</sub>).

	<sup>1</sup> H	δ <sub>[ppm]</sub>	Multiplicity	J <sub>[HZ]</sub>	Coupling proton(s) <sup>†</sup> proton(s)
1	2,71	m <sup>‡</sup>		2, 2', 5	
2	2,21	m <sup>§</sup>		1, 2', 3	
3	2,15	m		1, 2, 3	
4	5,63	m		2, 2'	
5	3,1	br dd	9,4; 9,0	1, 6, 15, 15'	
6	4,55	t	9,4	5, 7	
7	2,71	m <sup>‡</sup>		6, 8α, 8β, 13, 13'	
8β	1,73	qd	12,4; 4,1	7, 8α, 9α, 9β	
8α	2,10	m <sup>§</sup>		7, 8β, 9α, 9β	
9β	2,08	m <sup>§</sup>		8α, 8β, 9α	
9α	1,92	td		8α, 8β, 9β, 10-OH	
13	6,24	d	3,4	7	
13'	5,53	d	3,1	7	
14	3,46	d	10,9	14'	
14'	3,40	d	10,9	14	
15	5,61	brs		5	
15'	5,38	brs		5	
17	2,09	s		----	
10-OH	2,98	brs		9α	

Table(5-2). <sup>1</sup>H NMR chemical shifts of compound **ABAF<sub>91</sub>** (400 MHz, CDCl<sub>3</sub>).

<sup>†</sup>Results from <sup>1</sup>H-<sup>1</sup>H COSY spectrum.

<sup>‡</sup>Multiplicity not visible because of mutual overlapping.

<sup>§</sup>Exact coupling constants not determinable because of signals overlapping.

## ABAF<sub>101</sub> تشخيص المركب V.1..2

(1762) يبين وجود عصابة إمتصاص عند 9 (الطيف رقم IR إمتصاص الأشعة تحت الحمراء (طيف غير مشبعة بالإضافة إلى ذلك وجود عصبيتين هامتين عند  $\alpha$ ,  $\beta$  لاكتون -  $\gamma$  تميز المجموعة اسم<sup>-</sup> أما الثانية فتميز مجموعة (OAc) الخلات الأولى خاصة بمجموعة اسم<sup>-</sup> 3356 و اسم<sup>-</sup> 1734 (OH) الهيدروكسيل.

( في الميثانول يعطي قمة أعظمية عند 10 ) ( الطيف رقم UV طيف الأشعة فوق البنفسجية ) غير مشبعة  $\alpha$ ,  $\beta$  لاكتون -  $\gamma$  )، قيمة هذا الإمتصاص تقود إلى وجود  $\lambda_{\max} = 223 \text{ nm}$  نانومتر (223) 11 كغاز متفاعل (الطيف رقم NH<sub>3</sub> بإستعمال (SMIC). تسجيل طيف الكتلة بتأين كيميائي [159, 158]  $M^+ = 304$ . مما يؤدي إلى الأيون الجزيئي  $MH^+ = 305$  و  $(M + NH_4)^+ = 322$  ) و الذي أعطى الأيونين  $C_{17}H_{20}O_5$  الموافق للصيغة الجزيئية المجملة (SMIEHR) السابقة مؤكدة بواسطة طيف الكتلة بتصادم الكتروني عالي الأداء المجموعات الوظيفية : الناتجة عن الشظايا التالية  $m/z$  الذي يعطي قيم 12 (الطيف رقم)  $M^+$  تمثل الأيون الجزيئي  $m/z = 304$ : القمة

$m/z = 262, 1089 (78,56\%)$  المرافقة للشظية  $(M^+ - C_2H_2O)$  ،  $m/z = 244, 0947 (19,77\%)$  : القمم  
 $(M^+ - CH_3COOH)$  المرافقة للشظية  $m/z = 261, 1017 (100\%)$  ،  
حيث أن هذه التكسير أدت إلى الإشارة القاعدية كل CO للمجموعة  $\alpha$  الناتجة عن تكسيرة تحريضية (OAc) هذه الشظايا تدل على أن المركب يحتوي على مجموعة خلات  
 $m/z = 244, 0947 (19,77\%)$  المرافقة للشظية  $(M^+ - C_2H_2O - H_2O)$  ،  $m/z = 226, 0864 (23,68)$  : القمم  
، كلها تدل على أن المركب يحتوي على مجموعة  $(M^+ - C_2H_2O - H_2O - H_2O)$  المرافقة للشظية (OH) هيدروكسيل .

أن المركب يتكون من (3-5) الذي دونت نتائجه في الجدول (13) (الطيف رقم (RMN-<sup>13</sup>C) يؤكد طيف ذرة كربون 17.

(3-5) الذي دونت نتائجه في الجدول (14) (الطيف رقم ( DEPT 135 et 90 ) أطيايف مجموعة تجارب ثلاثة ( إيثيلينية (3CH<sub>2</sub>) منها (CH<sub>2</sub>) مجموعات ميثيلين 5، (CH<sub>3</sub>) تبيين وجود مجموعة ميثيل واحدة (5) ثلاثة منها (6CHsp<sup>3</sup>) sp<sup>3</sup> مجموعات ميثين مهجنة 6 ، 2CH<sub>2</sub>sp<sup>3</sup> روابط مضاعفة خارج الحلقة) و ذرات كربون رباعية . ثلاثة منها 5 ويؤكد وجود  $\delta = 78,1$  و  $\delta = 74,6$  ،  $\delta = 72,0$  مؤكسجة عند CO لا يمكن أن تكون إلا الحاملة للرابطة المضاعفة خارج الحلقة و الرابعة عبارة عن مجموعة فالخامسة إذن هي (OAc) ، بما أن طيف الكتلة يؤكد وجود مجموعة خلات  $\delta = 170,7$  اللاكتونية عند

. عند حساب عدد الروابط الثنائية والحلقات (وحدات عدم  $\delta = 169,5$  = أخرى أسترية عند CO مجموعة التشبع) نجد:

يمكننا تصنيف ما ( $^{13}\text{C}$ -RMN)نتائج طيف . بالإعتماد على الإزاحة الكيميائية  $\Omega = 17 - 20/2 + 1 = 8$  يلي:

(الأسترية + المجموعة اللاكتونية) رابطتين مضاعفتين  $2\text{CO}$  (ثلاثة روابط مضاعفة) ،  $3\text{CH}_2 =$  والحلقة اللاكتونية . إذن لم يبقى لنا إلا وحدتي عدم التشبع ، بما أن ذرات الكربون المتبقية كلها مشبعة وبناءً على ذلك فإن الهيكل السييكوي تربيني يجب أن يتكون من حلقتين وبالرجوع  $\text{sp}^3$  أي مهجنة الى البيبليوغرافيا يمكننا أن نؤكد الى حد بعيد أن هذا المركب لا يمكن أن يكون إلا قاينوليدا . بما أن المركب يحتوي على ثلاثة روابط (eudesmanolide) أو أوديسمانوليدا (guaianolide) مضاعفة خارج الحلقة فإنه لا يمكن أن يكون أوديسمانوليدا وبالتالي فهو قاينوليدا . حيث أن إحدى عنده لا بد C-10 مما ينفي وجود الأوديسمانوليد لأن C-14 وC-10 الروابط السابقة لا بد أن تكون بين  $\text{sp}^3$  أن تكون رباعي .

يبين وجود ثلاثة مجموعات من (4-5) الذي دونت نتائجه في الجدول 15 (الطيف رقم  $^1\text{H}$ -RMN طيف الإشارات مميزة خاصة ببروتونات ثلاثة رابط مضاعفة خارج الحلقة .

و التي تبين وجود تزاوج أليلي مميز لبروتونات  $\delta = 6,15$  d,  $J = 3,0$  و  $\delta = 6,28$  d,  $J = 3,1$  الأولى عند خاصة بلاكتون سييكوي تربيني هذه الإشارات يمكن أن ننسبها CO مترافقة مع  $\text{CH}_2 =$  مجموعة H-13' و H-13 إلى البروتونين

يمكن  $\delta = 5,33$  و  $\delta = 5,52$  أما المجموعة الثانية التي تظهر على شكل إشارتين أحاديتين عند . أما المجموعة الثالثة التي تظهر هي الأخرى على شكل إشارة H-15' و H-15 ننسبها إلى البروتونين هذه الإشارات الأربعة H-14' و H-14 يمكن نسبهما إلى البروتونين  $\delta = 4,99$  و  $\delta = 5,12$  أحادية عند الأخيرة سنعود للتأكيد عليها فيما بعد .

و H-13 وبمعرفة (4-5) الذي دونت نتائجه في الجدول 16 (الطيف رقم  $^1\text{H}$ - $^1\text{H}$ )Cosy طيف تجربة على شكل  $\delta = 4,09$  عند H-6 والذي هو الآخر يقودنا إلى تعيين  $\delta = 2,8$  عند H-7 تسمح بتحديد H13'  $J = 10,5$  إشارة ثلاثية

هذا وجود تعالق بين (3-5) الذي دونت نتائجه في الجدول 17 (الطيف رقم HSQC يبين طيف تجربة قيمة هذه الإزاحة مميزة لكربون غلق الحلقة اللاكتونية وعليه  $\delta = 78,52$  وكربون عند (H-6) البروتون 6. فإن هذه الأخيرة مغلقة في الوضع

حيث  $\delta = 2,79$  عند H-5 نستطيع تحديد H-6 وبالإعتماد على  $^1\text{H}$ - $^1\text{H}$ )Cosy بالرجوع إلى طيف تجربة المشار إليهما أعلاه مؤكداً وجود رابطة H-15' و H-15 يوجد تعالق بين هذا الأخير و البروتونين . H-15 و H-15' مما يدعم التوزيع السابق الذكر للبروتونين C-4 مضاعفة عند ذرة الكربون

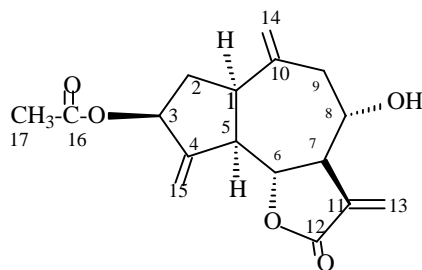


الذي لا يمكن أن يكون إلا  $\delta=2,98$  وإشارة بروتون أخر عند H-5 يبين نفس الطيف وجود تعالق بين (guaianolide). مما يؤكد مرة أخرى أن الهيكل السيسكوي تربييني اللاكتوني هو فعلا قاينوليدا H-1 المشار إليهما أعلاه مؤكدا وجود H-14' و H-14 و البروتونين H-1 نفس الطيف يبين وجود تعالق بين H-14' و H-14. مما يدعم التوزيع السابق الذكر للبروتونين C-10 رابطة مضاعفة عند ذرة الكربون هذين البروتونين يتعالفين  $\delta=1,78$  عند H-2' و  $\delta=2,36$  عند H-2 تؤدي إلى تحديد كل من H-1 معرفة . قيمة إزاحته الكيميائية تبين أن مجموعة الخلات H-3 هو بالضرورة  $\delta=5,55$  مع بروتون عند C-3 متصل بذرة الكربون .

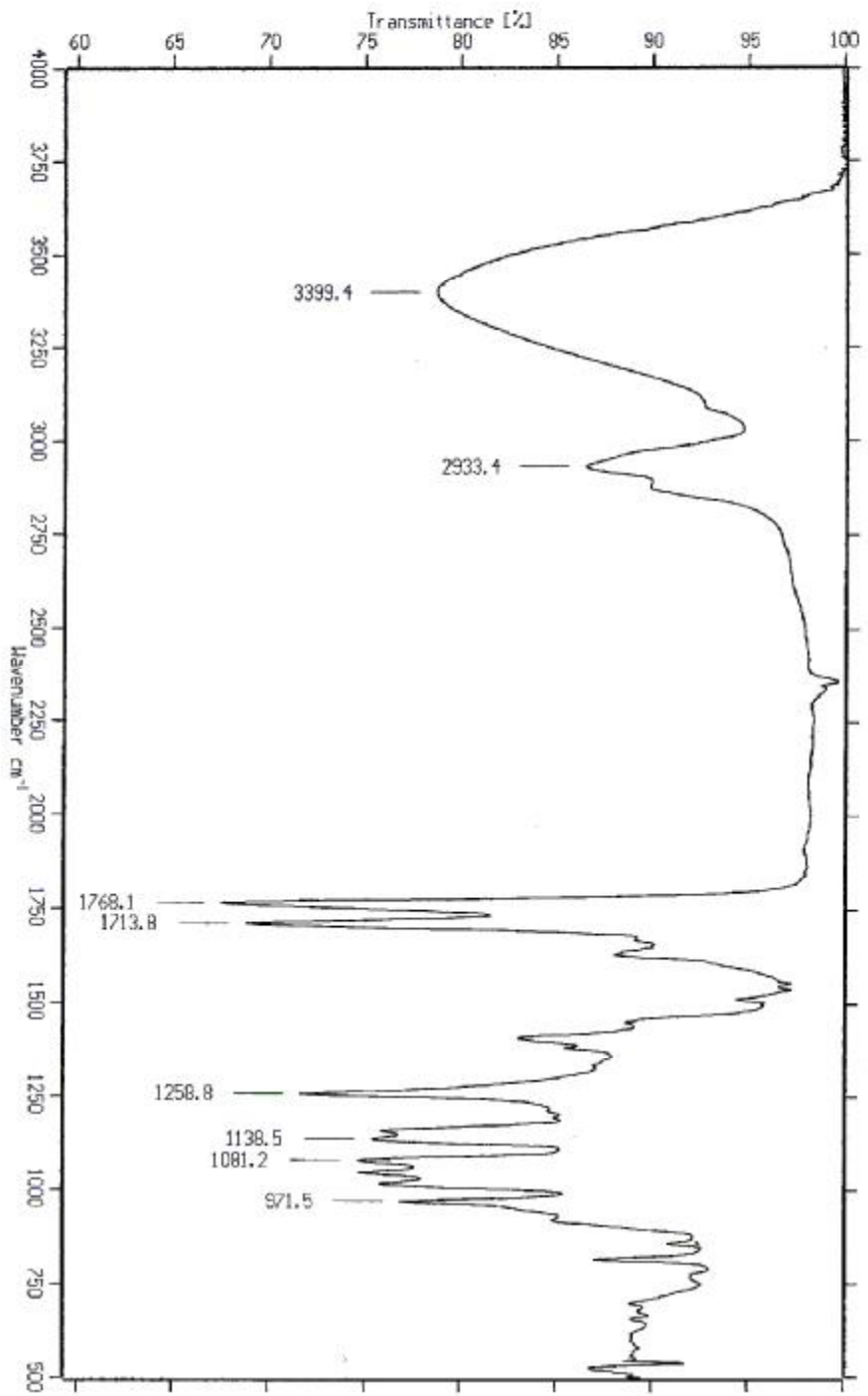
قيمة الإزاحة الكيميائية  $\delta=3,97$  عند H-8 يقودنا إلى تحديد إشارة H-7 في نفس الطيف و بالرجوع إلى C-8 الهيدروكسيل محمولة من قبل ذرة الكربون لهذا البروتون تدل على أن مجموعة عند H-9' و  $\delta=2,68$  عند H-9 سمح بتحديد إشارة كل من H-8 في نفس الطيف دائما و بالإعتماد على  $\delta=2,30$  . حددنا كل ذرات الكربون الحاملة لها HSQC بتحديدنا لجميع البروتونات والرجوع إلى طيف تجربة (4-5) محددة بواسطة قيم ثوابت التزاوج (الجدول C-7 و C-6 ، C-5 ، C-1 الكيميائية الفراغية عند H-3 يحدد اعتمادا على الإزاحة الكيميائية للبروتون C-3 لمجموعة الخلات عند ذرة الكربون  $\beta$  الإتجاه [155] H-6 و الزيادة النسبية للإزاحة الكيميائية ل [154]

فيمكن تفسيره بوجود تعالق بين بروتونه C-8 لمجموعة الهيدروكسيل عند ذرة الكربون  $\alpha$  أما الإتجاه ( مما يعني أن هذين  $\delta=2,30$  ) الذي يوجد في وضع محوري عند H-9' (H-9 $\alpha$ ) والبروتون W البروتونين يشكلان تزاوج .

مجموعة هذه النتائج تقودنا إلى المركب الذي يمكن تسميته حسب أسماء المركبات المشابهة له ذو الصيغة الكيميائية المفصلة . [157,156] 8 $\alpha$ -hydroxy zaluzanine D المنشورة في البيبليوغرافيا أدناه .



8 $\alpha$ -hydroxy zaluzanine D  
(kandavanolide)

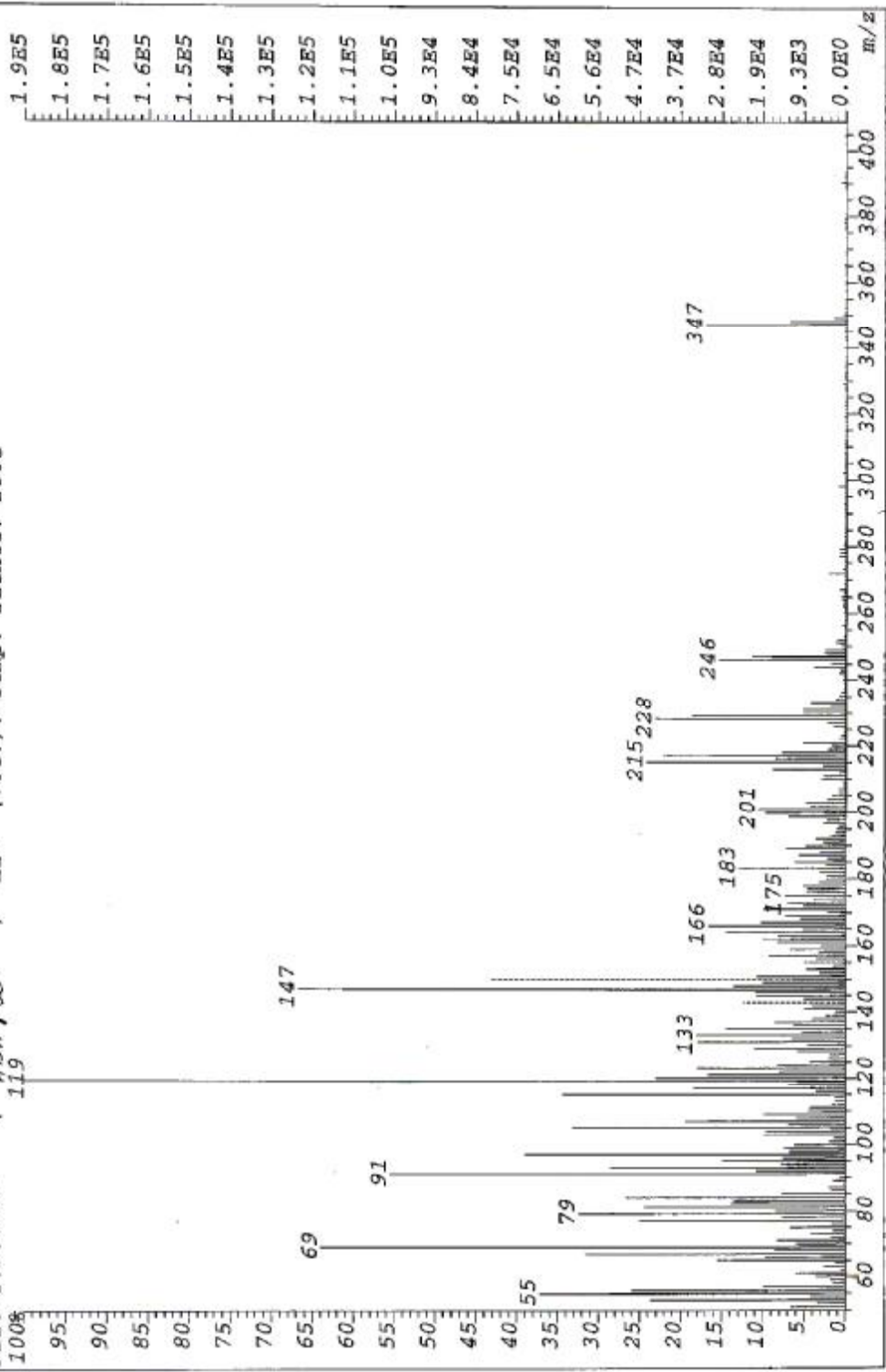


Sample : Aha-i-26  
Technique : NaCl(film)  
Customer : Francisco

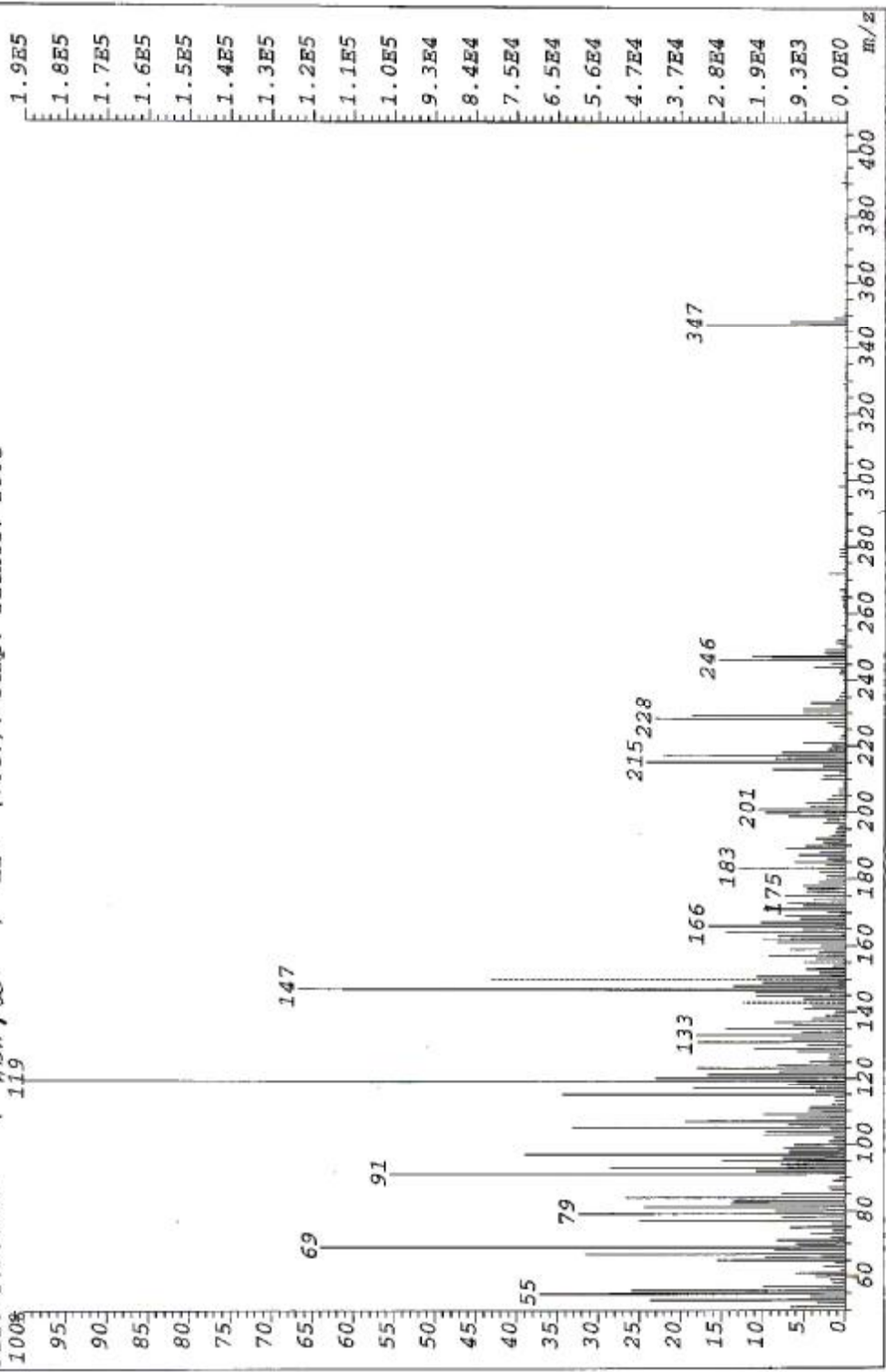
Frequency Range : 6999.9799 - 399.1724  
Resolution : 4.0  
Zero Filling : 2

Instrument : IFS55 , Sample Scans : 16  
Acquisition : Double Sided, Forward-Backward  
Measured on : 4/7/2003

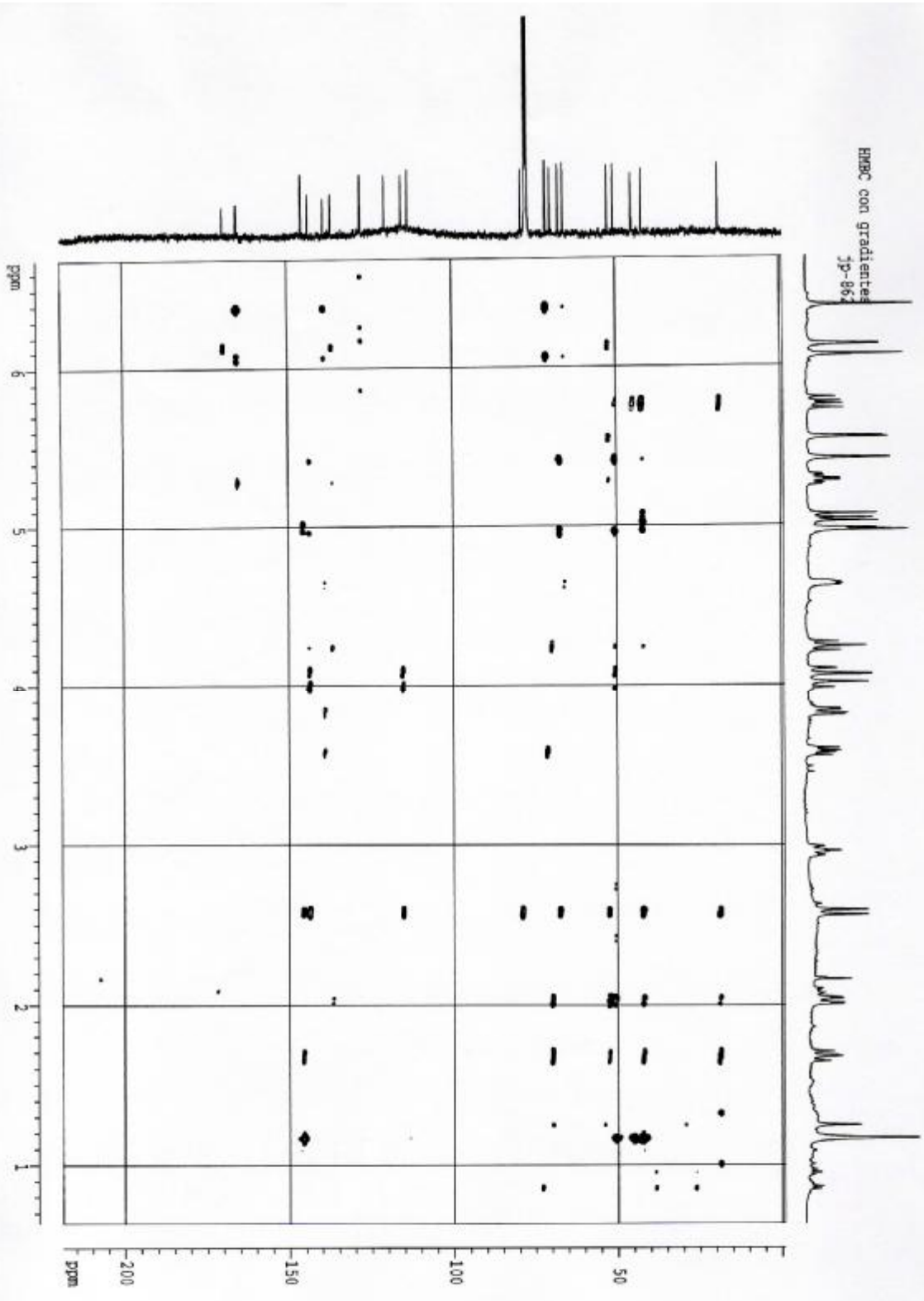
File:S682 Ident:52\_58+54 Win 100PPM Acq: 4-JUL-2003 13:46:54 +2:44 Cal:S682  
AutoSpec EI+ Magnet BpM:119 BpI:186364 TIC:5023122 Flags:ACC  
File Text:ALI ( *ABA 726* ) EI+ (70eV). Temp. fuente: 200C

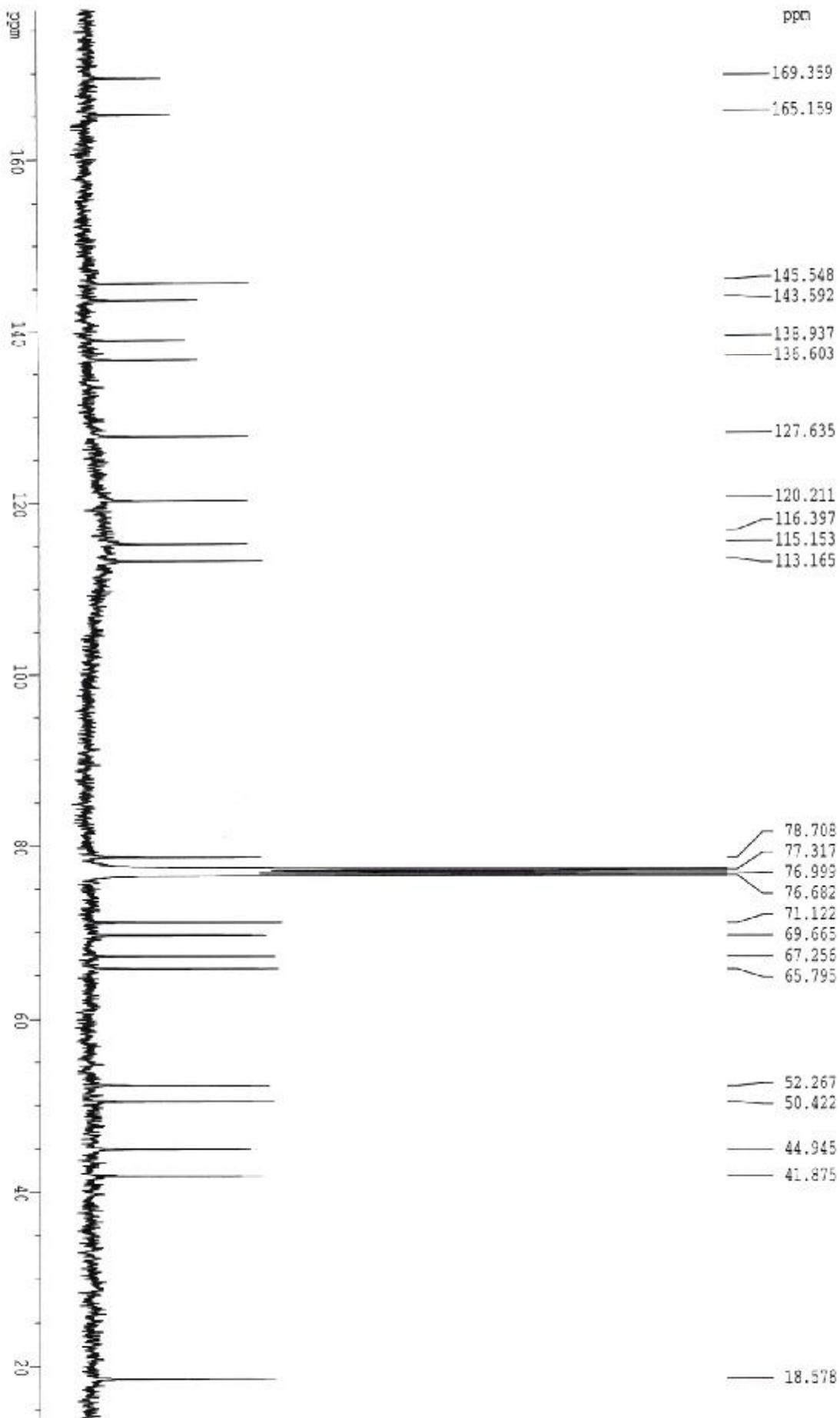


File:S682 Ident:52\_58+54 Win 100PPM Acq: 4-JUL-2003 13:46:54 +2:44 Cal:S682  
AutoSpec EI+ Magnet BpM:119 BpI:186364 TIC:5023122 Flags:ACC  
File Text:ALI ( *ABA 726* ) EI+ (70eV). Temp. fuente: 200C

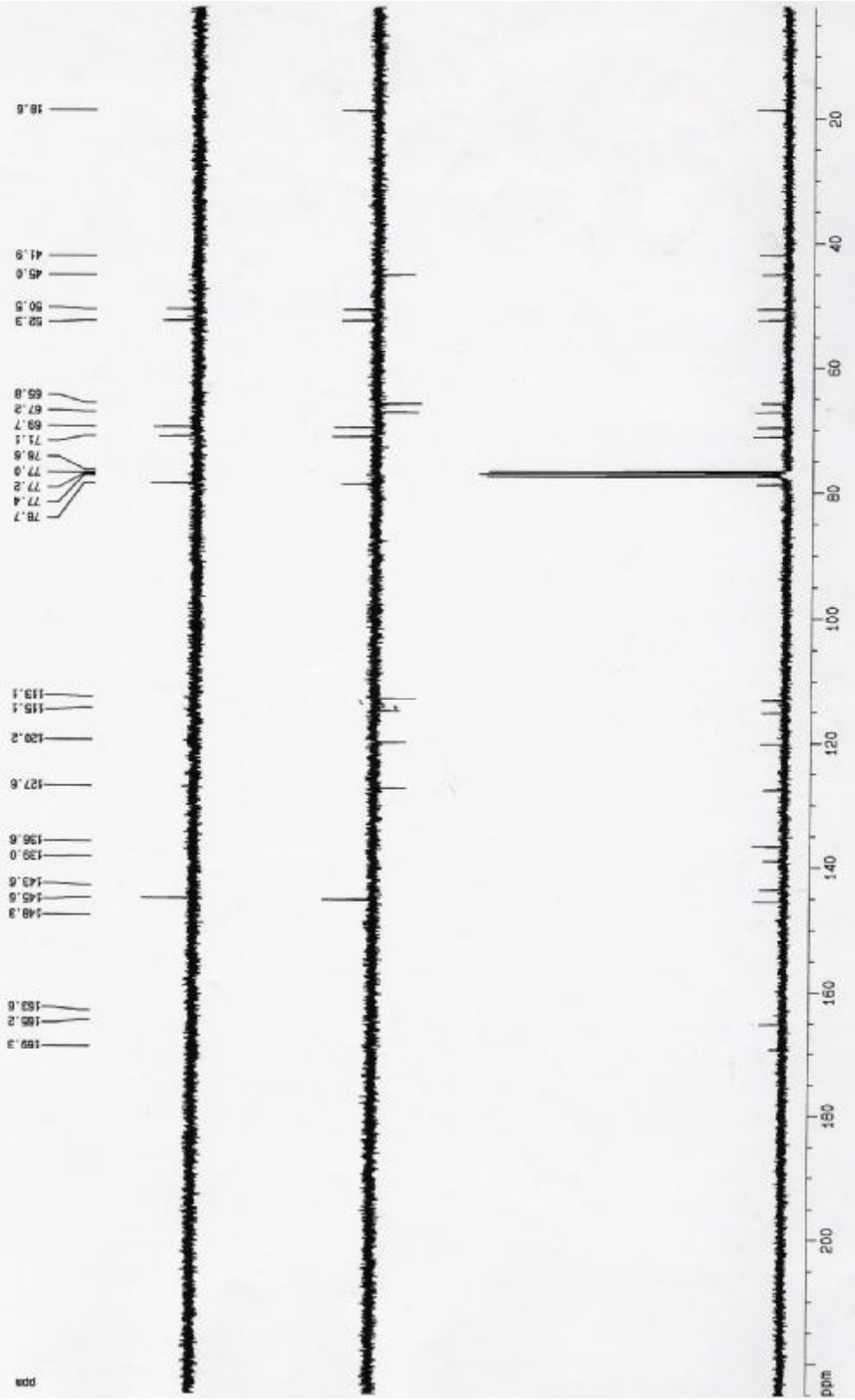


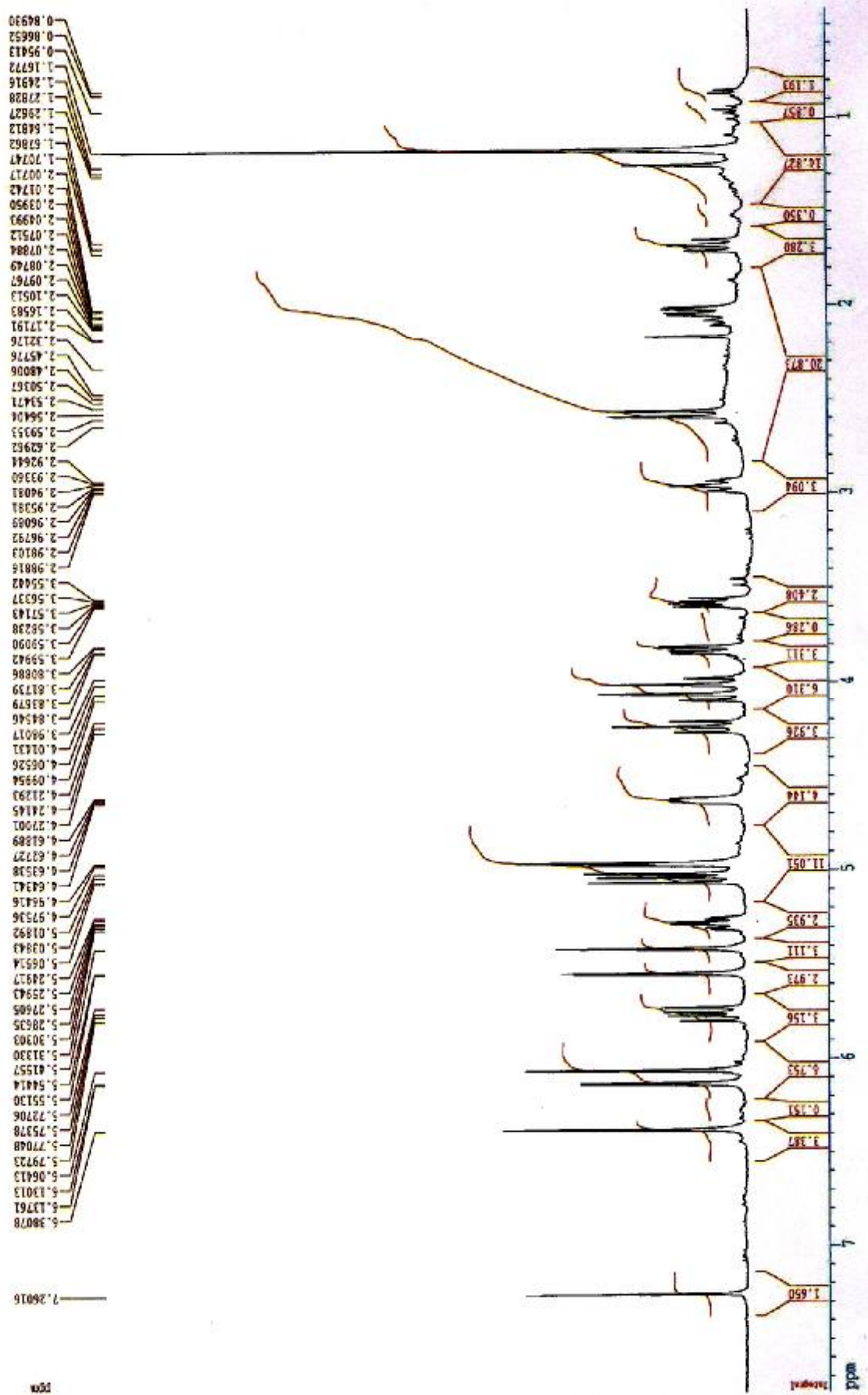
HMBC con gradientes  
3p-862





abe-f26 5 6 7 1 /v 1ub0

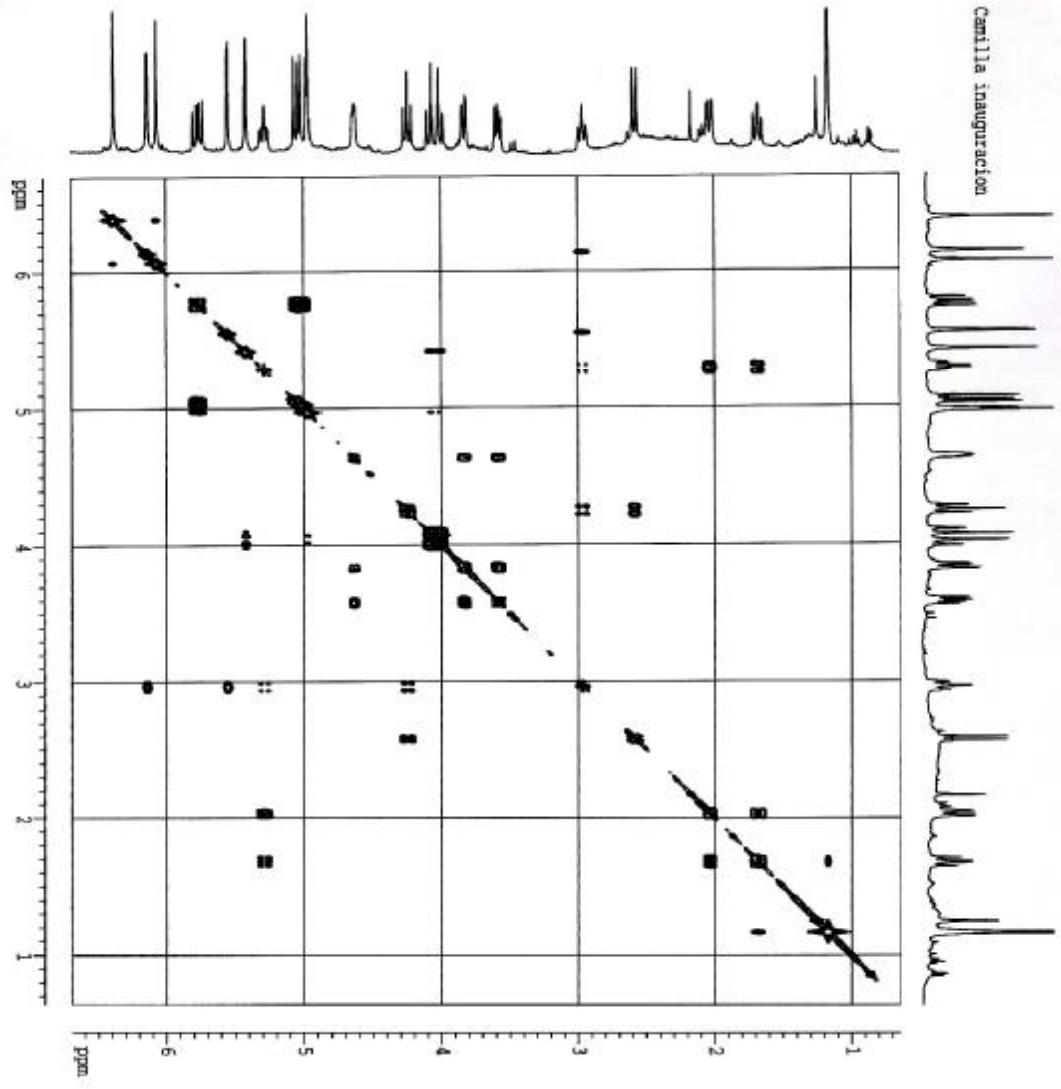




aba-f-26



Camilla inauguracion



=====

NAME: Camilla inauguracion  
 EXPNO: 2  
 PROCNO: 1  
 F2 - Acquisition Parameters  
 Date\_UTC: 20120511  
 Time: 14:28  
 INSTRUM: spect  
 PROCRS: zgpg30  
 PULPROG: zgpg30  
 SOLVENT: DMS-D  
 NS: 1024  
 DS: 4  
 SWH: 12024.813 MHz  
 FWHM: 0.230776 MHz  
 AQ: 0.000100000 sec  
 RG: 327.500  
 FREQZ: 500.1362700 MHz  
 CH1: 1H  
 NU1: 1  
 P1: 12.00 usec  
 PL1: 0.00 dB  
 PCYCL: 1  
 =====

=====

NAME: Camilla inauguracion  
 EXPNO: 2  
 PROCNO: 1  
 F2 - Acquisition Parameters  
 Date\_UTC: 20120511  
 Time: 14:28  
 INSTRUM: spect  
 PROCRS: zgpg30  
 PULPROG: zgpg30  
 SOLVENT: DMS-D  
 NS: 1024  
 DS: 4  
 SWH: 12024.813 MHz  
 FWHM: 0.230776 MHz  
 AQ: 0.000100000 sec  
 RG: 327.500  
 FREQZ: 500.1362700 MHz  
 CH1: 1H  
 NU1: 1  
 P1: 12.00 usec  
 PL1: 0.00 dB  
 PCYCL: 1  
 =====

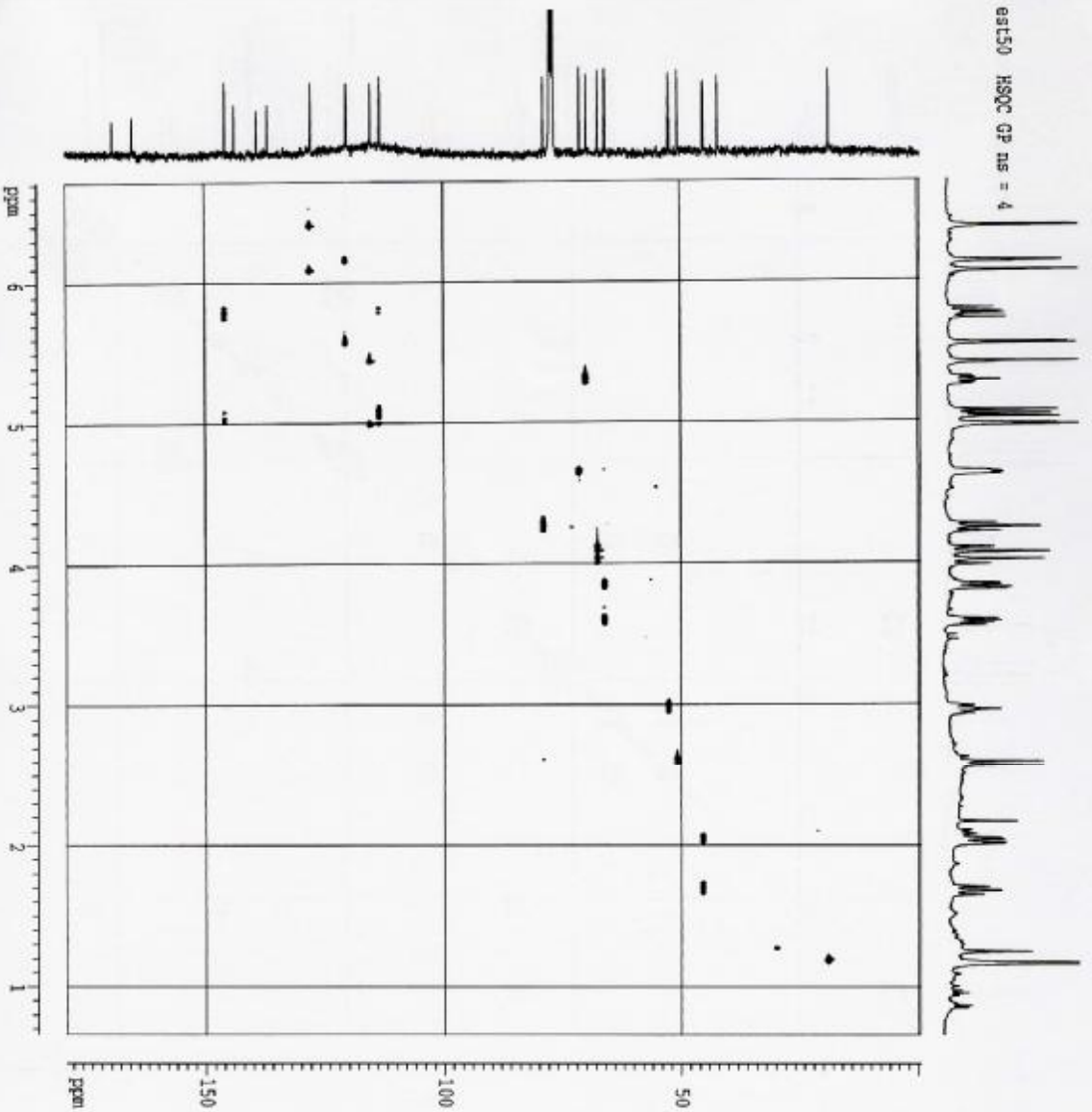
=====

NAME: Camilla inauguracion  
 EXPNO: 2  
 PROCNO: 1  
 F2 - Acquisition Parameters  
 Date\_UTC: 20120511  
 Time: 14:28  
 INSTRUM: spect  
 PROCRS: zgpg30  
 PULPROG: zgpg30  
 SOLVENT: DMS-D  
 NS: 1024  
 DS: 4  
 SWH: 12024.813 MHz  
 FWHM: 0.230776 MHz  
 AQ: 0.000100000 sec  
 RG: 327.500  
 FREQZ: 500.1362700 MHz  
 CH1: 1H  
 NU1: 1  
 P1: 12.00 usec  
 PL1: 0.00 dB  
 PCYCL: 1  
 =====

=====

NAME: Camilla inauguracion  
 EXPNO: 2  
 PROCNO: 1  
 F2 - Acquisition Parameters  
 Date\_UTC: 20120511  
 Time: 14:28  
 INSTRUM: spect  
 PROCRS: zgpg30  
 PULPROG: zgpg30  
 SOLVENT: DMS-D  
 NS: 1024  
 DS: 4  
 SWH: 12024.813 MHz  
 FWHM: 0.230776 MHz  
 AQ: 0.000100000 sec  
 RG: 327.500  
 FREQZ: 500.1362700 MHz  
 CH1: 1H  
 NU1: 1  
 P1: 12.00 usec  
 PL1: 0.00 dB  
 PCYCL: 1  
 =====

68150 HSQC GP ns = 4



**NAME**      Control Test: Benzamide  
**EXPNO**      4  
**PROCNO**      1

**SI**      F1 - Acquisition Parameters  
 Date\_      11.10.10  
 Time      11.10.10  
 INSTRUM      spect  
 PROBRW      5.00 MHz  
 PULPROG      zgpg30  
 GAMMA      90.00  
 FREQ      400.1462983  
 AQC      1.0000000  
 SI      F2 - Processing parameters  
 SI      F3 - Acquisition Parameters  
 SI      F4 - Acquisition Parameters  
 SI      F5 - Acquisition Parameters  
 SI      F6 - Acquisition Parameters  
 SI      F7 - Acquisition Parameters  
 SI      F8 - Acquisition Parameters  
 SI      F9 - Acquisition Parameters  
 SI      F10 - Acquisition Parameters  
 SI      F11 - Acquisition Parameters  
 SI      F12 - Acquisition Parameters  
 SI      F13 - Acquisition Parameters  
 SI      F14 - Acquisition Parameters  
 SI      F15 - Acquisition Parameters  
 SI      F16 - Acquisition Parameters  
 SI      F17 - Acquisition Parameters  
 SI      F18 - Acquisition Parameters  
 SI      F19 - Acquisition Parameters  
 SI      F20 - Acquisition Parameters  
 SI      F21 - Acquisition Parameters  
 SI      F22 - Acquisition Parameters  
 SI      F23 - Acquisition Parameters  
 SI      F24 - Acquisition Parameters  
 SI      F25 - Acquisition Parameters  
 SI      F26 - Acquisition Parameters  
 SI      F27 - Acquisition Parameters  
 SI      F28 - Acquisition Parameters  
 SI      F29 - Acquisition Parameters  
 SI      F30 - Acquisition Parameters  
 SI      F31 - Acquisition Parameters  
 SI      F32 - Acquisition Parameters  
 SI      F33 - Acquisition Parameters  
 SI      F34 - Acquisition Parameters  
 SI      F35 - Acquisition Parameters  
 SI      F36 - Acquisition Parameters  
 SI      F37 - Acquisition Parameters  
 SI      F38 - Acquisition Parameters  
 SI      F39 - Acquisition Parameters  
 SI      F40 - Acquisition Parameters  
 SI      F41 - Acquisition Parameters  
 SI      F42 - Acquisition Parameters  
 SI      F43 - Acquisition Parameters  
 SI      F44 - Acquisition Parameters  
 SI      F45 - Acquisition Parameters  
 SI      F46 - Acquisition Parameters  
 SI      F47 - Acquisition Parameters  
 SI      F48 - Acquisition Parameters  
 SI      F49 - Acquisition Parameters  
 SI      F50 - Acquisition Parameters  
 SI      F51 - Acquisition Parameters  
 SI      F52 - Acquisition Parameters  
 SI      F53 - Acquisition Parameters  
 SI      F54 - Acquisition Parameters  
 SI      F55 - Acquisition Parameters  
 SI      F56 - Acquisition Parameters  
 SI      F57 - Acquisition Parameters  
 SI      F58 - Acquisition Parameters  
 SI      F59 - Acquisition Parameters  
 SI      F60 - Acquisition Parameters  
 SI      F61 - Acquisition Parameters  
 SI      F62 - Acquisition Parameters  
 SI      F63 - Acquisition Parameters  
 SI      F64 - Acquisition Parameters  
 SI      F65 - Acquisition Parameters  
 SI      F66 - Acquisition Parameters  
 SI      F67 - Acquisition Parameters  
 SI      F68 - Acquisition Parameters  
 SI      F69 - Acquisition Parameters  
 SI      F70 - Acquisition Parameters  
 SI      F71 - Acquisition Parameters  
 SI      F72 - Acquisition Parameters  
 SI      F73 - Acquisition Parameters  
 SI      F74 - Acquisition Parameters  
 SI      F75 - Acquisition Parameters  
 SI      F76 - Acquisition Parameters  
 SI      F77 - Acquisition Parameters  
 SI      F78 - Acquisition Parameters  
 SI      F79 - Acquisition Parameters  
 SI      F80 - Acquisition Parameters  
 SI      F81 - Acquisition Parameters  
 SI      F82 - Acquisition Parameters  
 SI      F83 - Acquisition Parameters  
 SI      F84 - Acquisition Parameters  
 SI      F85 - Acquisition Parameters  
 SI      F86 - Acquisition Parameters  
 SI      F87 - Acquisition Parameters  
 SI      F88 - Acquisition Parameters  
 SI      F89 - Acquisition Parameters  
 SI      F90 - Acquisition Parameters  
 SI      F91 - Acquisition Parameters  
 SI      F92 - Acquisition Parameters  
 SI      F93 - Acquisition Parameters  
 SI      F94 - Acquisition Parameters  
 SI      F95 - Acquisition Parameters  
 SI      F96 - Acquisition Parameters  
 SI      F97 - Acquisition Parameters  
 SI      F98 - Acquisition Parameters  
 SI      F99 - Acquisition Parameters  
 SI      F100 - Acquisition Parameters

	C	$\delta_{[\text{ppm}]}$	DEPT and HSQC (500 MHz)
1	45,6	CH	
2	36,5	CH <sub>2</sub>	
3	74,6	CH	
4	147,3	C	
5	51,7	CH	
6	78,1	CH	
7	51,0	CH	
8	72,0	CH	
9	41,5	CH <sub>2</sub>	
10	138,0	C	
11	142,2	C	
12	170,7	C	
13	123,2	CH <sub>2</sub>	
14	117,4	CH <sub>2</sub>	
15	115,7	CH <sub>2</sub>	
16	169,5	C	
17	21,2	CH <sub>3</sub>	

Table(5-3). <sup>13</sup>C NMR chemical shifts of compound ABAF<sub>101</sub> (75 MHz, CDCl<sub>3</sub>).

	1H	$\delta_{[\text{ppm}]}$	Multiplicity	$J_{[\text{HZ}]}$	Coupling proton(s) <sup>†</sup> proton(s)
1	3,01	m			2, 2', 5, 14
2	2,36	m			1, 2', 3
2'	1,78	m			1, 2, 3
3	5,55	m			2, 2'
5	2,79	m			1, 6, 15, 15'
6	4,09	t	9,4		5, 7
7	2,82	m			6, 8, 13, 13'
8	3,97	m			7, 9, 9'
9	2,68	dd	4,8; 4,9		8, 9', 14, 14'
9'	2,30	m			8, 9, 14'
13	6,28	d	3,4		7
13'	6,15	d	3,1		7
14	5,12	s			1, 9
14'	4,99	s			9, 9'
15	5,52	s			5
15'	5,33	s			5
17	2,09	s			----

Table(5-4). <sup>1</sup>H NMR chemical shifts of compound **ABAF<sub>101</sub>** (300 MHz, CDCl<sub>3</sub>).

### V.1.3 . ABAF<sub>81</sub> . تشخيص المركب

يعطي إشارة خاصة بالأيون (18) الطيف رقم (SMIEHR) طيف الكتلة بتصادم إلكتروني عالي الأداء  $C_{17}H_{20}O_4$  المرافقة إلى الصيغة الجزيئية المجملية  $m/z=288$  عند  $(M^+)$  الجزيئي

: الناتجة عن الشظايا التالية  $m/z$  كما يعطي نفس الطيف قيم

المرافقة  $m/z=228,0863(60,55\%)$  ،  $(M^+ - C_2H_2O)$  المرافقة للشظية  $m/z=246,0946(100\%)$  : القمم

.  $(OAc)$  ، كلها تدل على أن المركب يحتوي على مجموعة خلات  $(M^+ - CH_3COOH)$  للشظية

يؤكد أن المركب يتكون من (5-5) الذي دونت نتائجه في الجدول 19 (الطيف رقم  $(RMN-^{13}C)$  طيف

ذرة كربون 17.

يبين (5-5) الذي دونت نتائجه في الجدول 20 (الطيف رقم ( DEPT 135 et 90 ) أطراف تجارب

روابط ثلاثة ( إيثيلينية  $(3CH_2)$  منها  $(CH_2)$  مجموعات ميثيلين 6،  $(CH_3)$  وجود مجموعة ميثيل واحدة

إثنتين منها مؤكسجة  $sp^3$   $(5CHsp^3)$  مجموعات ميثين مهجنة 5 ،  $3CH_2sp^3$  مضاعفة خارج الحلقة) و

عند

ثلاثة منها لا يمكن أن تكون إلا الحاملة ذرات كربون رباعية 5. ويؤكد وجود  $\delta = 83,7$  ،  $\delta = 74,7$

اللاكتونية .  $CO$  أما الرابعة فهي مجموعة للروابط المضاعفة خارج الحلقة

.  $\Omega = 17 - 20/2 + 1 = 8$  : عند حساب عدد الروابط الثنائية والحلقات (وحدات عدم التشبع) نجد

: يمكننا تصنيف ما يلي  $(RMN-^{13}C)$  لنتائج طيف بالإعتماد على الإزاحة الكيميائية

(الأسترية + المجموعة اللاكتونية) رابطتين مضاعفتين  $2CO$  (ثلاثة روابط مضاعفة) ،  $3CH_2 =$

والحلقة اللاكتونية. إذن لم يبقى لنا إلا وحدتي عدم التشبع ، بما أن ذرات الكربون المتبقية كلها مشبعة

وبناء على ذلك فإن الهيكل السييكوي ترييني يجب أن يتكون من حلقتين وبالرجوع  $sp^3$  أي مهجنة

الى البيبليوغرافيا يمكننا أن نؤكد الى حد بعيد أن هذا المركب لا يمكن أن يكون إلا قاينوليدا

(eudesmanolide) أو أوديسمانوليدا (guaianolide).

بالإضافة إلى ذرة الكربون الرباعية المهجنة  $\delta = 0,90$  إن غياب مجموعة الميثيل الزاوي في جوار

المميزتين لعائلة  $(RMN-^{13}C)$  و  $(RMN-^1H)$  في كل من طيفي  $\delta = 40,0$  في جوار  $C-10$   $sp^3$

كما أن إحتواء المركب (guaianolide) مما يؤكد أن هذا المركب هو قاينوليدا الأوديسمانوليدات

على ثلاثة روابط مضاعفة خارج الحلقة يبين بأنه لا يمكن أن يكون أوديسمانوليدا .

يؤكد وجود ثلاثة روابط (5-6) الذي دونت نتائجه في الجدول 21 (الطيف رقم  $(RMN-^1H)$  طيف

مضاعفة خارج الحلقة بالإضافة إلى إشارتين خاصة ببروتونين محمولين من قبل ذرتي كربون

قيمة هذه الإزاحة تدل على أن هذا البروتون  $\delta = 5,56$  عند  $\text{brddd}$ مؤكسجين الأولى تظهر على شكل أما الأخرى فتظهر على شكل إشارة ثلاثية (OAc)محمول على ذرة كربون حاملة لمجموعة خلات  $J=9,5$  ,  $\delta=4,06$  عند

قيم ثوابت التزاوج تدل على أن هذا البروتون يقترن مع بروتونين يكونان في وضع محوري بالنسبة ومنه فإن الحلقة اللاكتونية مغلقة عند ذرة H-6. مما يعني أنه في حالتنا هذه لا يمكن أن يكون إلا C-6الكربون

مما يعني أن المركب غير H<sub>8</sub>-ax مميزة ل  $\delta = 1,50$ يبين كذلك هذا الطيف إشارة لبروتون واحد عند C-8.مستبدل في الموقع

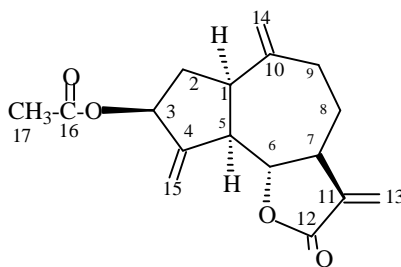
H-8 إلى ABAF<sub>101</sub>غياب إشارة بروتون محمول من قبل كربون مؤكسج الذي نسب في المركب (OH)المجاور لمجموعة هيدروكسيل

لهذا المركب لا يختلف عن الأطياف المولية للمركب RMN-<sup>13</sup>C و RMN-<sup>1</sup>Hعلى العموم فإن طيفي :  
ABAF<sub>101</sub>

- غياب ذرة كربون CHsp<sup>3</sup> مؤكسجة وظهور مجموعة CH<sub>2</sub>sp<sup>3</sup> مما يؤكد أن C-8 غير مستبدل

- غياب إشارة بروتون محمول من قبل كربون مؤكسج مما يؤكد أن مجموعة الخلات محمولة من قبل C-3 .

إن مجموعة المعلومات السابقة تؤدي إلى الصيغة الكيميائية المفصلة التالية



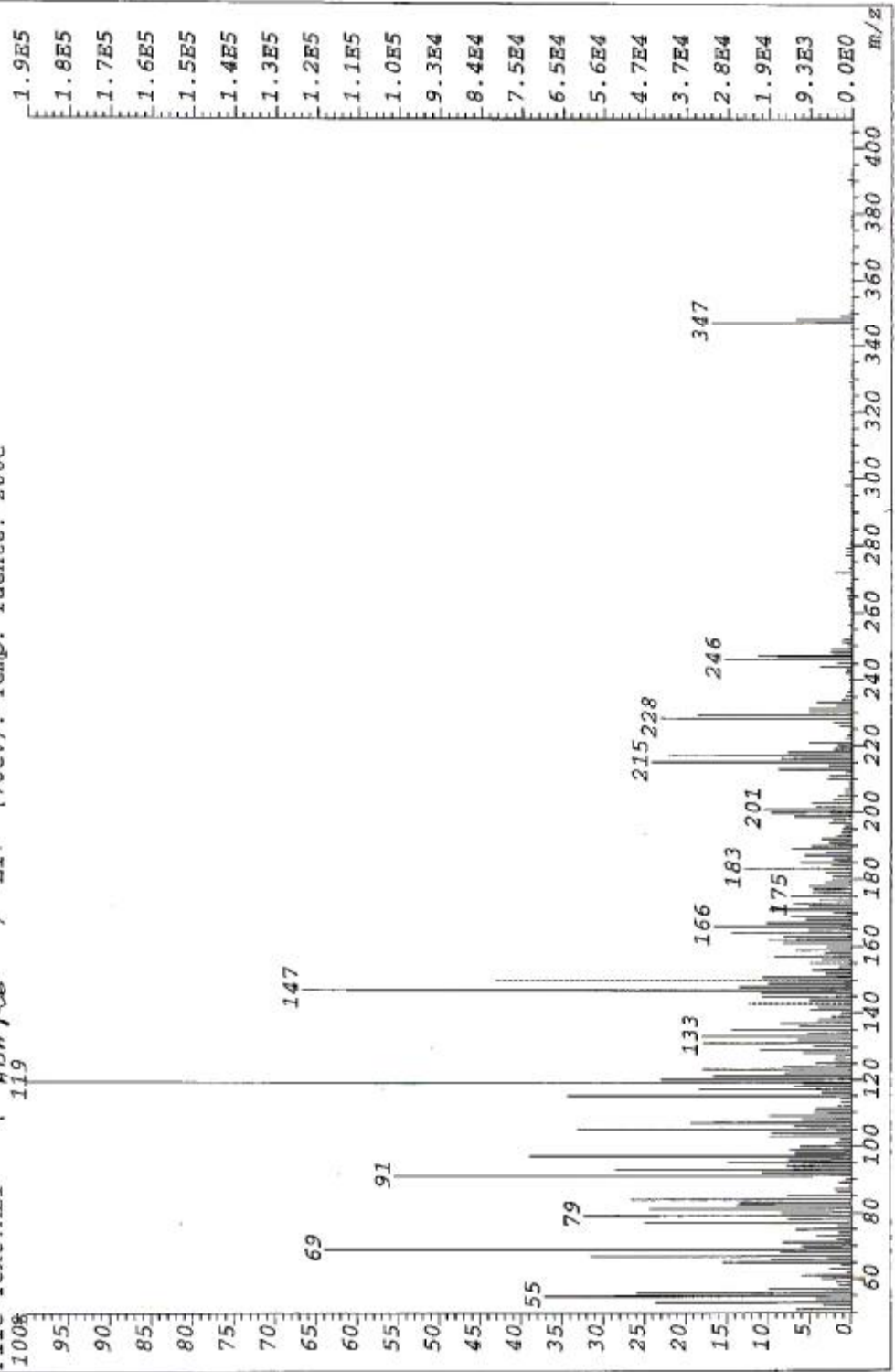
zaluzanine D

( 5-6) محددة بواسطة قيم ثوابت الإزدواج ( الجدول C-7 و C-6 ، C-5 ، C-1 الكيمياء الفراغية عند

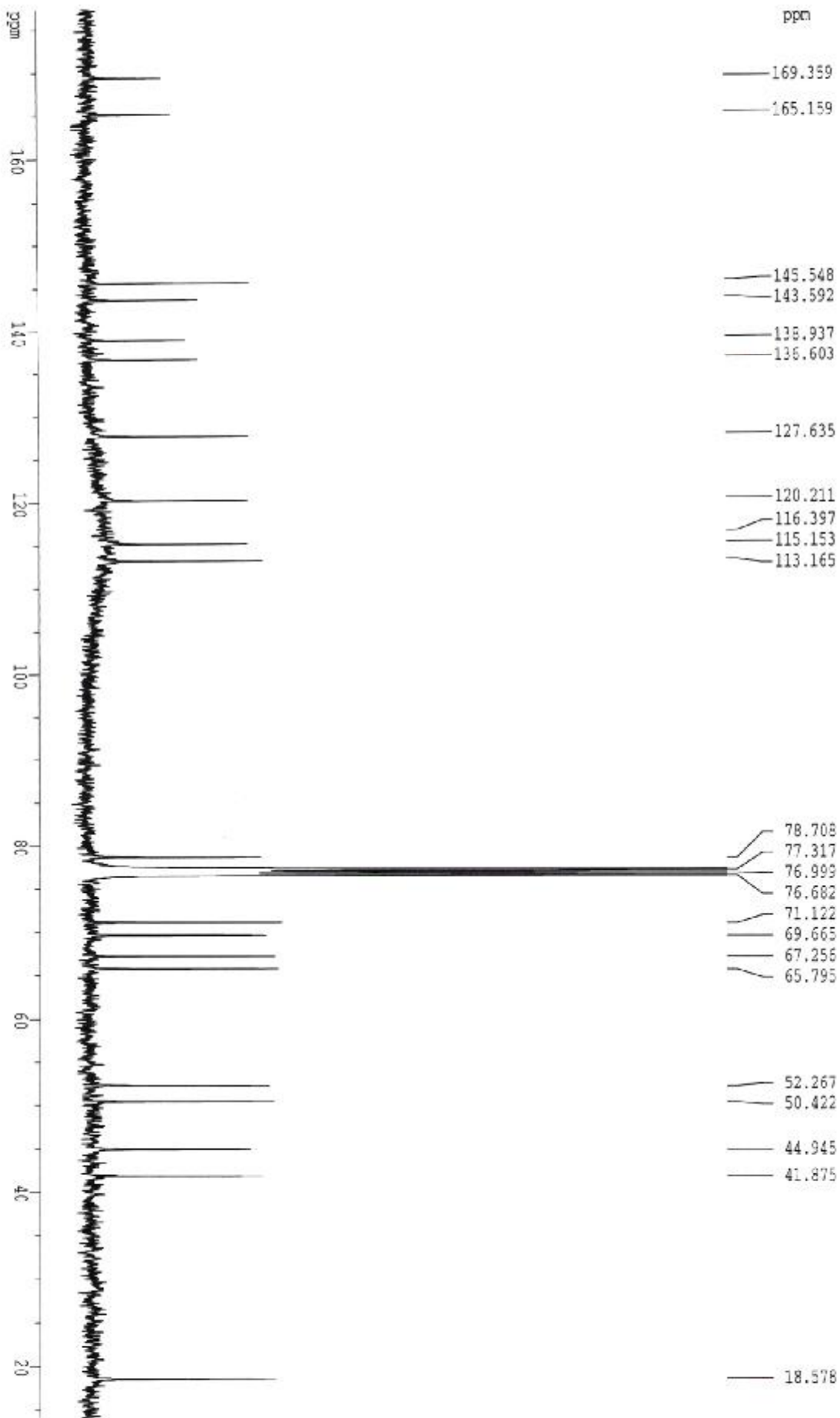
H-3 يحدد اعتمادا على الإزاحة الكيميائية للبروتون C-3 لمجموعة الخلات عند ذرة الكربون  $\beta$ الإتجاه [155] H-6 و الزيادة النسبية للإزاحة الكيميائية ل [154]

(*Centaurea*). حسب معلوماتنا البيبليوغرافية فإن هذا المركب يفصل لأول مرة من جنس القنطريون

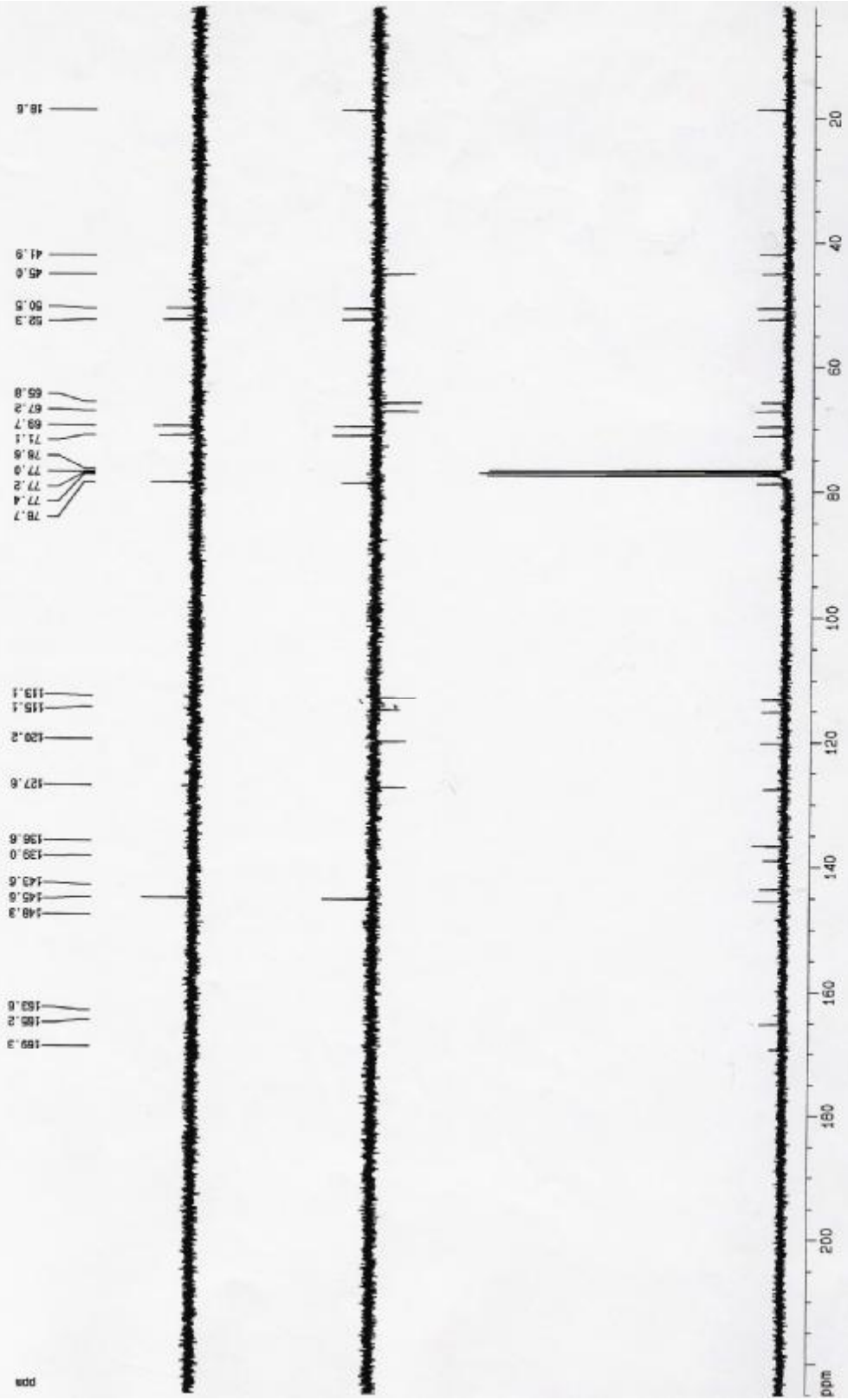
File:S682 Ident:52\_58+54 Win 100PPM Acq: 4-JUL-2003 13:46:54 +2:44 Cal:S682  
AutoSpec EI+ Magnet BpM:119 BpI:186364 TIC:5023122 Flags:ACC  
File Text:ALI ( ~~ABH~~RG ) EI+ (70eV). Temp. fuente: 200C

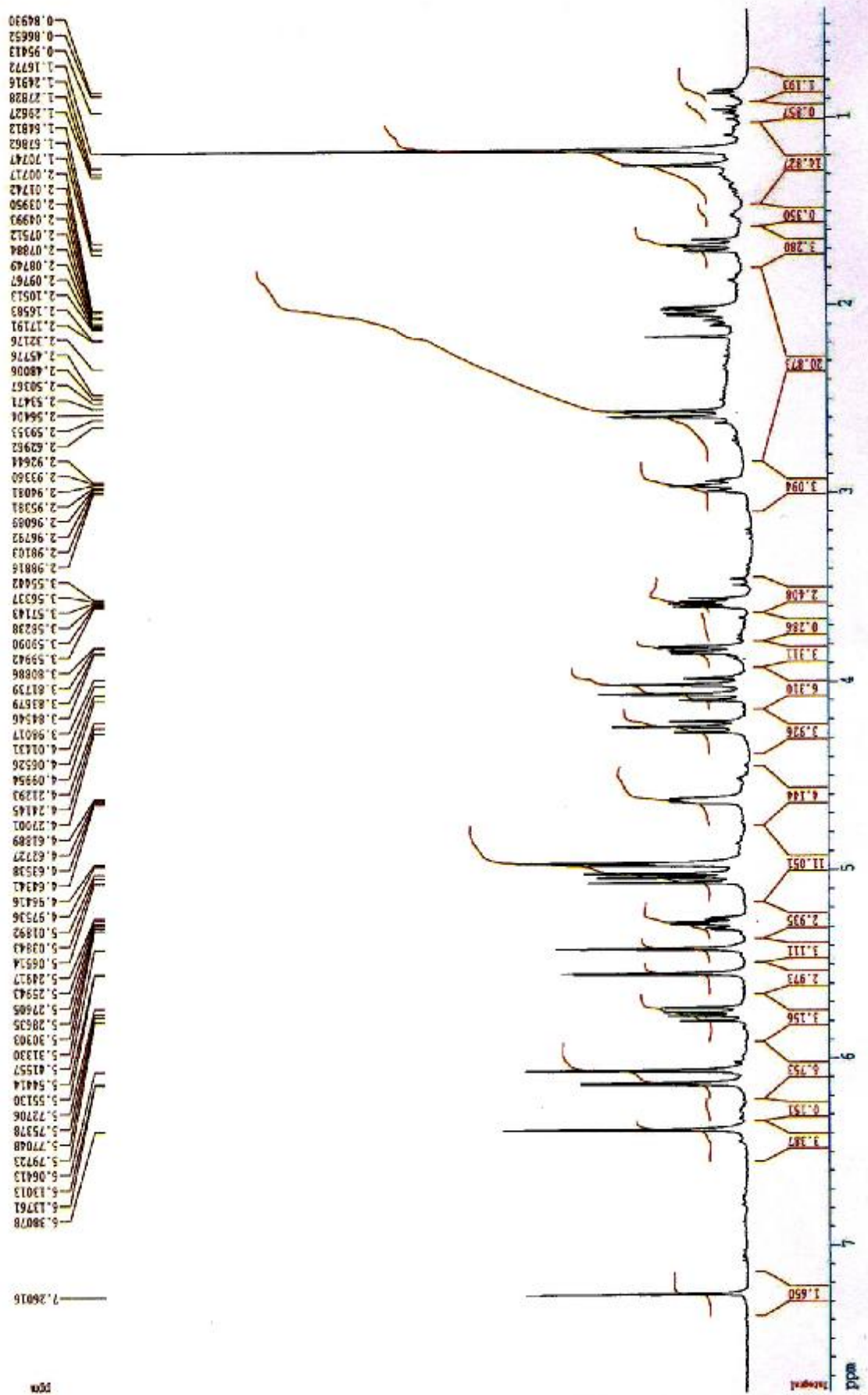






abe-f26 5 6 7 1 /v 1ub0





aba-f-26

		C	$\delta_{[\text{ppm}]}$	DEPT (300 MHz)
1	44,6	CH		
2	34,4	CH <sub>2</sub>		
3	74,7	CH		
4	148,0	C		
5	50,3	CH		
6	83,7	CH		
7	45,3	CH		
8	30,6	CH <sub>2</sub>		
9	36,5	CH <sub>2</sub>		
10	139,6	C		
11	147,7	C		
12	170,7	C		
13	120,3	CH <sub>2</sub>		
14	114,4	CH <sub>2</sub>		
15	113,6	CH <sub>2</sub>		
16	----	C		
17	21,2	CH <sub>3</sub>		

Table(5-5). <sup>13</sup>C NMR chemical shifts of compound ABAE<sub>81</sub>(75 MHz, CDCl<sub>3</sub>).

		1H	$\delta_{[\text{ppm}]}$	Multiplicity	$J_{[\text{HZ}]}$ proton(s)
1	2,89	m			
2	2,29	m			
2'	1,49	m			
3	5,56	brdd			
5	2,42	m			
6	4,06	t	9,5		
7	2,50	m			
8	1,84	m			
8'	1,46	m			
9	2,29	m			
9'	1,21	m			
13	6,27	d	3,4		
13'	5,47	d	2,9		
14	4,98	s			
14'	4,95	s			
15	5,43	s			
15'	5,29	s			
17	2,10	s			

Table(5-6).  $^1\text{H}$  NMR chemical shifts of compound ABAF<sub>81</sub> (300 MHz,  $\text{CDCl}_3$ ).

#### V.1..4 ABAF<sub>64</sub> تشخيص المركب :

يعطي إشارة خاصة بالأيون 22) رقم الطيف (SMIEHR) طيف الكتلة بتصادم الكتروني عالي الأداء  $C_{15}H_{20}O_3$ . مما يقود إلى الصيغة الجزيئية المجملية  $m/z=248,1415(83,88)$  عند  $(M^+)$  الجزيئي

: الناتجة عن الشظايا التالية  $m/z$  كما يعطي نفس الطيف قيم

المرافقة للشظية  $m/z=215(15,98\%)$  ،  $(M^+ - H_2O)$  المرافقة للشظية  $m/z=230(30,08\%)$  : القمم

. (OH) ، كلها تدل على أن المركب يحتوي على مجموعة هيدروكسيل  $(M^+ - H_2O - CH_3)$

1767 عصابة إمتصاص عند ( يبين وجود 23) (الطيف رقم IR طيف إمتصاص الأشعة تحت الحمراء )

غير مشبعة بالإضافة إلى ذلك وجود عصابة هامة عند  $\alpha, \beta$  لاكتون -  $\gamma$  تميز المجموعة اسم<sup>-</sup>

. وإحدى ذرات الكربون للهيكل السييسكوي تربيني (OH) خاصة بمجموعة الهيدروكسيل اسم<sup>-</sup> 3456

يكون على شكل ميثيل .

يؤكد أن المركب يتكون من (5-7) الذي دونت نتائجه في الجدول 24 ) الطيف رقم (RMN-<sup>13</sup>C) طيف

ذرة كربون 15.

(7-7) الذي دونت نتائجه في الجدول 25) الطيف رقم ( DEPT 135 et 90 ) أطياف مجموعة تجارب

روابطة ( إيثيلينية  $1CH_2$ ) منها  $(CH_2)$  مجموعات ميثيلين 4،  $(2CH_3)$  يبين وجود مجموعتي ميثيل 5)

من بينها  $sp^3$  (4CH<sub>2</sub>) أربعة منها مهجنة مجموعات ميثين 5 ،  $3CH_2sp^3$  مضاعفة خارج الحلقة) و

إثنتين مؤكسجة عند

$Csp^2$  اللاكتونية ، CO منها ذرات كربون رباعية .4 يؤكد وجود و  $1CH=sp^2$  و  $\delta=81,5$  ،  $\delta=75,2$

مما يدل على أنه مرتبط  $\delta=40,9$  عند  $Csp^3$  إيثيليني و  $Csp^2$  يحمل الرابطة المضاعفة خارج الحلقة ،

بأربعة ذرات كربون .

. بالاعتماد  $\Omega=15-20/2+1=6$  : عند حساب عدد الروابط الثنائية والحلقات (وحدات عدم التشبع) نجد

:يمكننا تصنيف ما يلي RMN-<sup>13</sup>C لنتائج طيف على الإزاحة الكيميائية

(كربونيل المجموعة اللاكتونية) رابطة مضاعفة ، الحلقة 1CO (روابطة مضاعفة) ،  $1CH_2=$

رابطة مضاعفة. إذن لم يبق لنا إلا وحدتي عدم التشبع ، بما أن ذرات الكربون  $1CH=sp^2$  اللاكتونية و

وبناء على ذلك فإن الهيكل السييسكوي تربيني يجب أن يتكون من  $sp^3$  المتبقية كلها مشبعة أي مهجنة

حلقيتين وبالرجوع الى البيبليوغرافيا يمكننا أن نؤكد إلى حد بعيد أن هذا المركب لا يمكن أن يكون إلا

(eudesmanolide) أو أوديسمانوليدا (guaianolide) فايانوليدا

وجود إشارة مجموعة (5-8) الذي دونت نتائجه في الجدول 26) (الطيف رقم (RMN-<sup>1</sup>H) يبين طيف

المميزة لعائلة الأوديسمانوليدات بالإضافة إلى كربون رباعي السابق  $\delta=0,86$  ميثيل زاوي عند

(eudesmanolide). مما يقود إلى أن المركب هو أوديسمانوليدا  $\delta=40,9$  ذكره عند

إشارتين مميزتين خاصة ببروتونات رابطة مضاعفة خارج الحلقة . وجود  $^1\text{H-RMN}$  يبين طيف و التي تبين وجود تزاوج أليي مميز لبروتونات  $\delta = 5,40$  d,  $J=3,0$  و  $\delta = 6,06$  d,  $J=3,2$  خاصة بلاكتون سيسكوي تربيني هاتين الإشارتين يمكن أن ننسبها إلى CO مترافقة مع  $\text{CH}_2$  مجموعة  $^1\text{H}$  و  $^13\text{C}$  البروتونين.

H-13 ومعرفة (8-5) الذي دونت نتائجه في الجدول 27 (الطيف رقم  $^1\text{H}-^1\text{H}$ ) Cosy طيف تجربة على شكل إشارة  $\delta = 3,93$  عند H-6 هو الأخر إلى تعيين والذي يقودنا  $\delta = 2,49$  عند H-7 يسمح بتحديد  $J=11,1$  ،  $J=10,8$  (dd) ثنائية-ثنائية

هذا وجود تعالق بين (7-5) الذي دونت نتائجه في الجدول 28 (الطيف رقم HSQC يبين طيف تجربة قيمة هذه الإزاحة مميزة لكربون غلق الحلقة اللاكتونية وعليه  $\delta = 81,5$  وكربون عند (H-6) البروتون وجود بروتون في H-6 . كما يمكن أن نستنتج من تعددية إشارة 6 فإن هذه الأخيرة مغلقة في الوضع ونظرا لقم ثوابت الإزدواج فهذين البروتونين يوجدان في وضع 7 وبروتون في الموقع 5 الموقع H-6 محوري بالنسبة ل

كما  $\delta = 2,35$  عند H-5 نستطيع تحديد H-6 وبالإعتماد على  $^1\text{H}-^1\text{H}$  Cosy بالرجوع إلى طيف تجربة وهذين  $\delta = 1,65$  عند H-8' و  $\delta = 2,10$  عند H-8 تقودنا إلى تحديد إشارة كل من H-7 أن معرفة هذا الأخير يتعالق مع  $\delta = 1,30$  عند H-9' و  $\delta = 2,08$  عند H-9 البروتونين يسما بتحديد إشارة كل من بروتونات الميثيل الزاوي مما يؤكد هيكل الأوديسمانوليد .

مميزة لميثيل فوق رابطة ثنائية و  $\delta = 1,82$  وجود إشارة مجموعة ميثيل عند  $^1\text{H-RMN}$  يبين طيف لأن ذرة C-3 و C-4 وعليه الرابطة المضاعفة يجب أن تكون بين C-15 الذي لا يمكن أن يكون إلا كما أن نفس الطيف H-5 وذلك نظرا لقيمة الإزاحة الكيميائية ل  $\text{Csp}^3$  هي من النوع C-5 الكربون المميزة لبروتون إيثيليني هذا البروتون لا يمكن أن يكون إلا  $\delta = 5,33$  يعطي إشارة بروتون عند C-3 محمولا من قبل الكربون

و البروتون الإيثيليني مع بروتونات مجموعة الميثيل H-5 وما يؤكد ذلك هو وجود تعالق بين كل من  $^1\text{H}-^1\text{H}$  في طيف (C-15)

وبمعرفة البروتونات السابقة يسمح بتحديد كل ذرات الكربون المرافقة لها خاصة HSQC طيف تجربة C-5 عند  $\delta = 51,1$ .

(29) (الطيف رقم HMBC ، بالرجوع إلى طيف  $\delta = 3,66$  يبين إشارة بروتون عند  $^1\text{H-RMN}$  طيف نجد أن هذا البروتون يتعالق مع كل من مجموعة الميثيل (7-5) الذي دونت نتائجه في الجدول (C-14) الزاوي

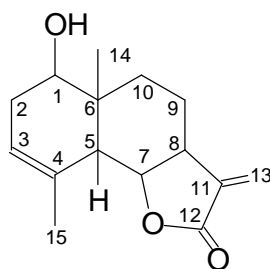
ونظرا للإزاحة الكيميائية لهذا البروتون H-1 وعليه فإن هذا البروتون لا يمكن أن يكون إلا C-5 و C-1. فإن مجموعة الهيدروكسيل المشار إليها سابقا تكون في الموقع

$\delta$  عند H-2 نستطيع تحديد إشارة كل من H-1 وبالإعتماد على  $\text{Cosy}({}^1\text{H}-{}^1\text{H})$  بالرجوع إلى طيف و=2,48

H-2' عند  $\delta=2,05$ .

سمحت البروتونات المتعرف عليها بتحديد ذرات الكربون HSQC وهكذا بالرجوع إلى طيف تجربة فقد حددت إعتقادا على طيف C-11 و C-4 الحاملة لها . أما ذرات الكربون الرباعية المتبقية و هي من جهة ومن جهة أخرى تعالق C-11 و H-13 الذي يبين تعالق بين كل من البروتون HMBC تجربة . C-4 و C-15 بين بروتونات الميثيل

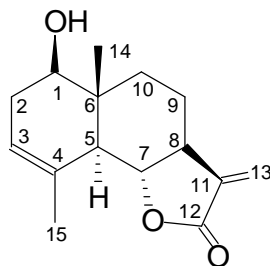
بناء على كل المعلومات السابقة يمكننا وضع الصيغة المفصلة المستوية التالية



أما الكيمياء الفراوية لهذا المركب فتحدد كما يلي

C-5 تشكيل كل من C-10، C-7، C-6، C-5، C-1 يظهر في هذا الجزيئ خمسة مراكز كيرالية هي . أما تشكيل المركز  $\beta\text{-CH}_3$  و  $\alpha\text{-H}_5$ ،  $\alpha\text{-H}_7$ ،  $\beta\text{-H}_6$  قد وضحت سابقا أي أن C-10 و C-7، C-6، بعد تزاوجها (dd) حيث أنها تظهر على شكل ثنائية-ثنائية H-1 فيمكن تحديده من تعددية إشارة C-1 هو المحوري . حساب ثوابت التزاوج يؤدي إلى القيمتين  $\beta\text{H}_2$  مع العلم أن  $\beta\text{H}_2$  و  $\alpha\text{H}_2$  مع كل من يجب أن يكون في وضع H-1 هذه الأخيرة مميزة لتزاوج محوري- محوري ومنه فإن  $J=9,8$  و  $J=2,6$ .  $\beta$  تكون ذات إتجاه (OH) وعليه فإن مجموعة الهيدروكسيل  $\alpha$  محوري أي أنه ذو إتجاه

إن مجموع هذه النتائج تقودنا إلى الصيغة الجزيئية المفصلة التالية

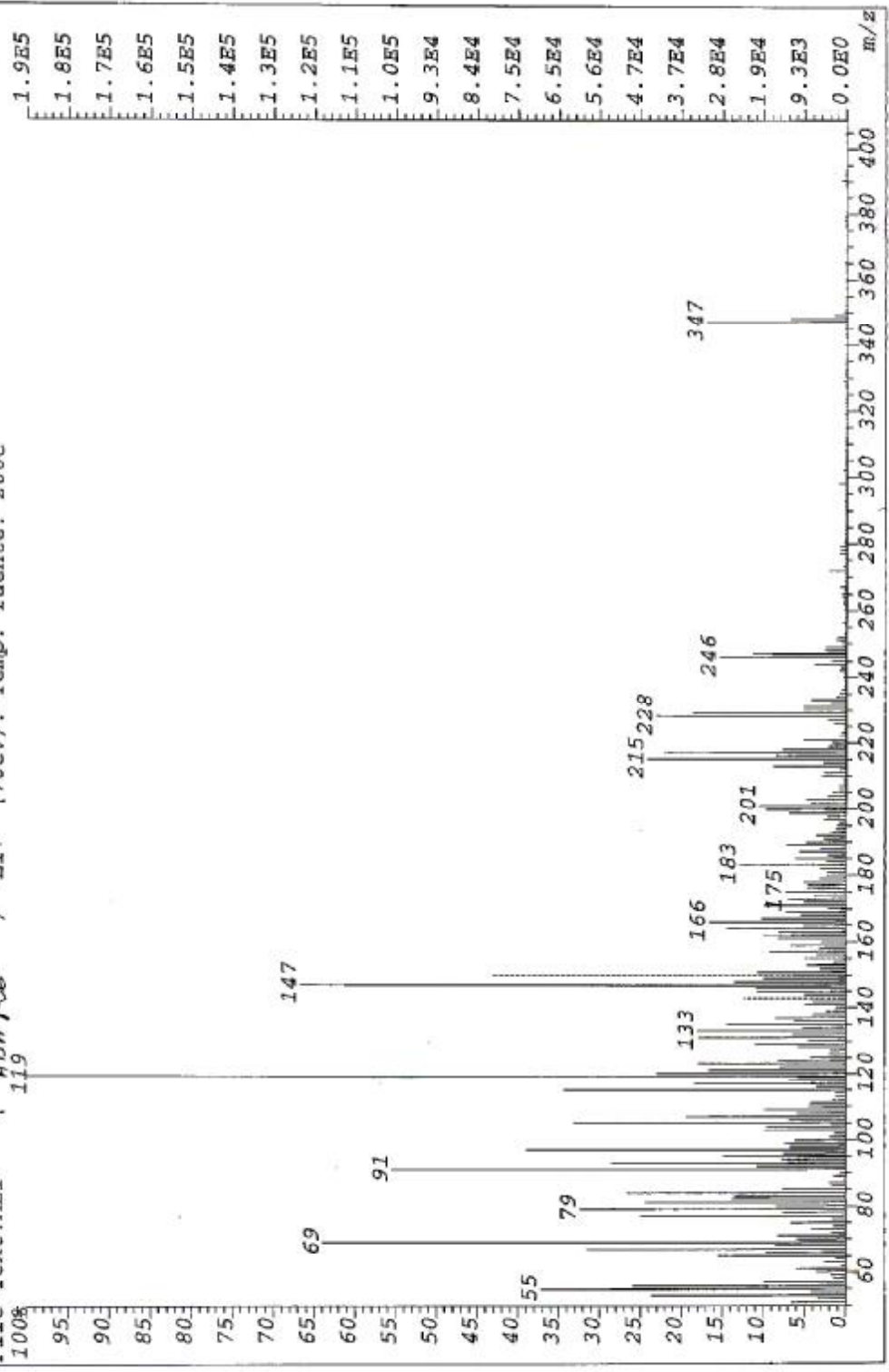


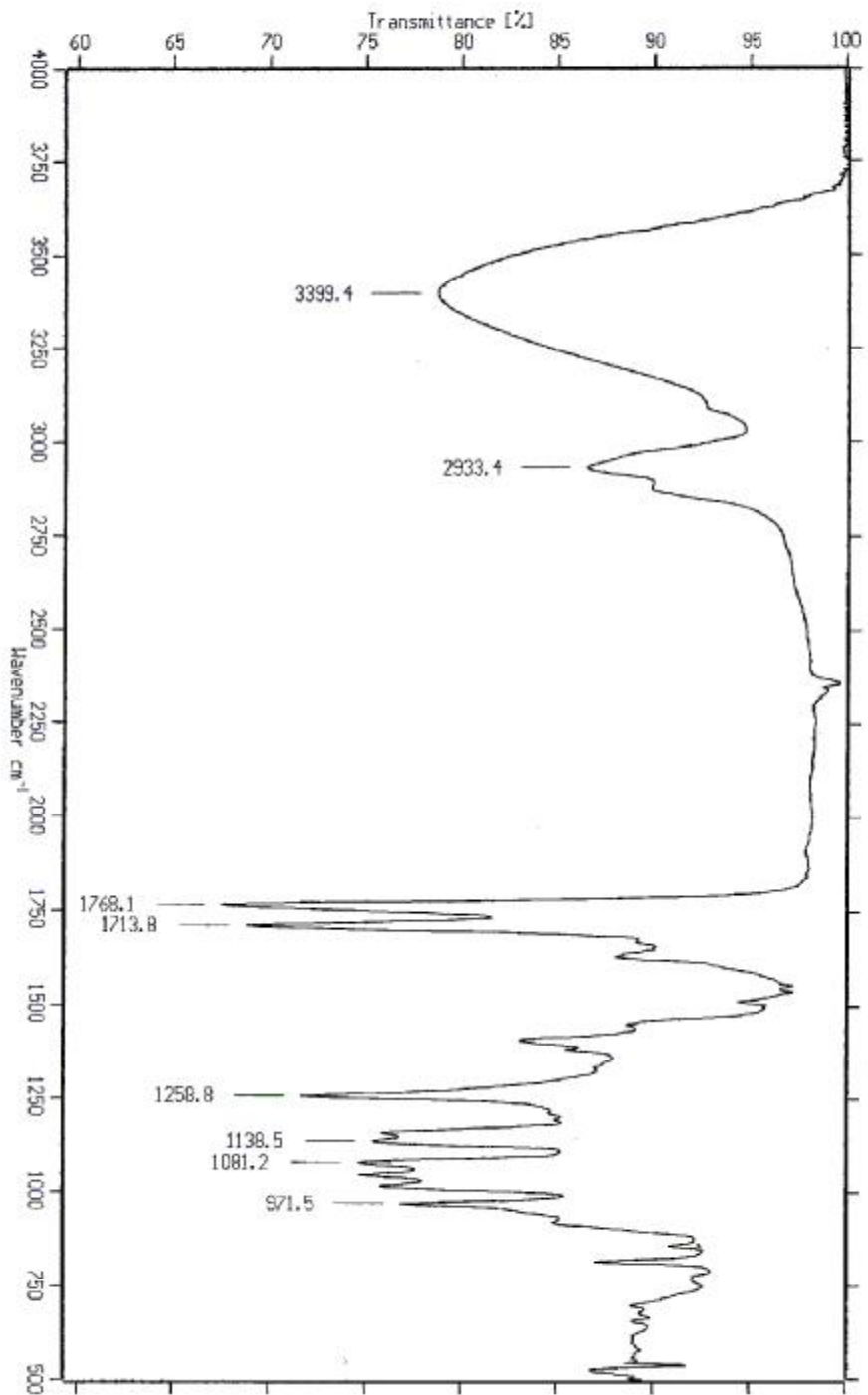
Santamarine

la tribu des cynarées. علما أن هذا المركب نادر الوجود عند



File:S682 Ident:52\_58+54 Win 100PPM Acq: 4-JUL-2003 13:46:54 +2:44 Cal:S682  
AutoSpec EI+ Magnet BpM:119 BpI:186364 TIC:5023122 Flags:ACC  
File Text:ALI ( *ABAFC* ) EI+ (70eV). Temp. fuente: 200C



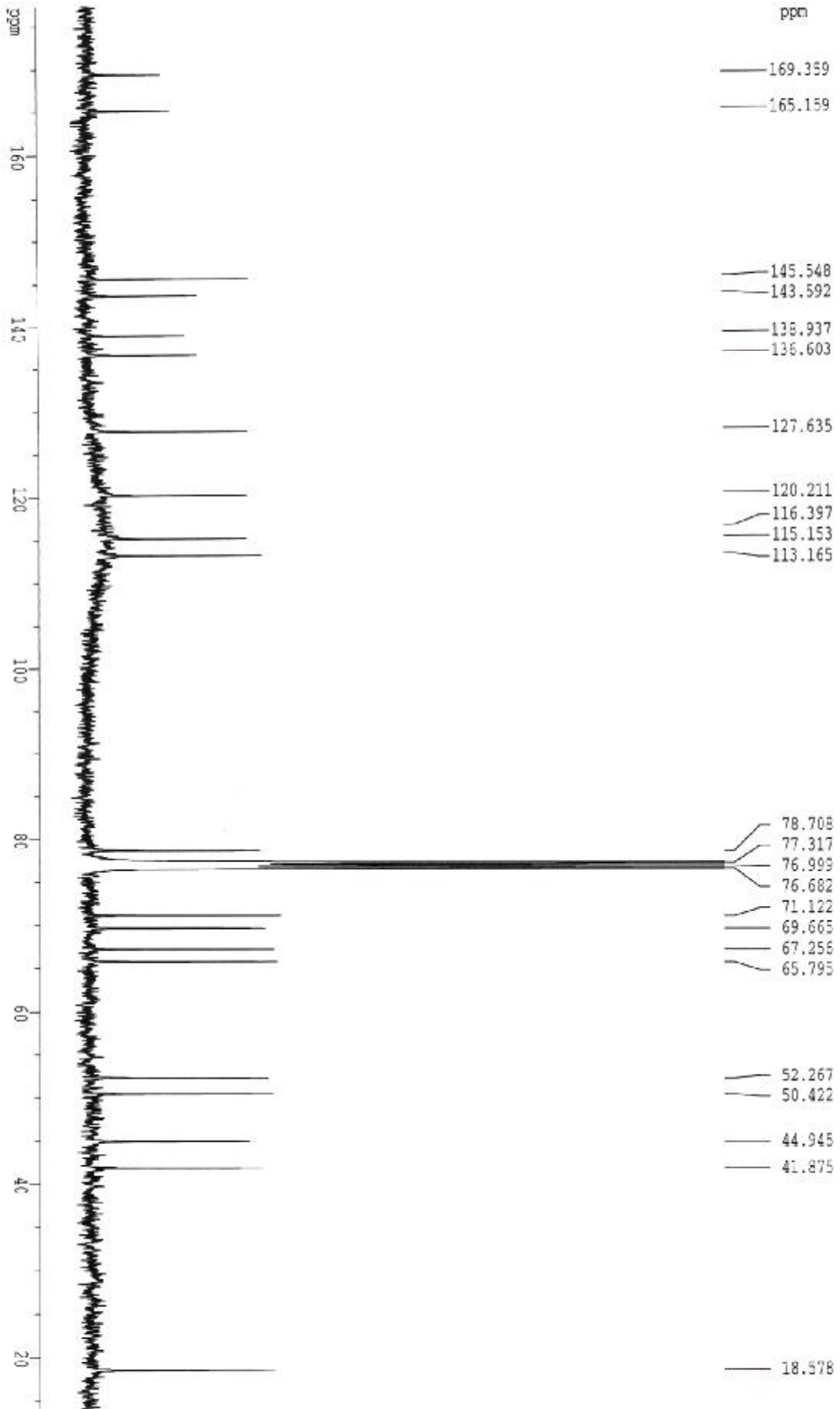


Sample : Aha-i-26  
Technique : NaCl(film)

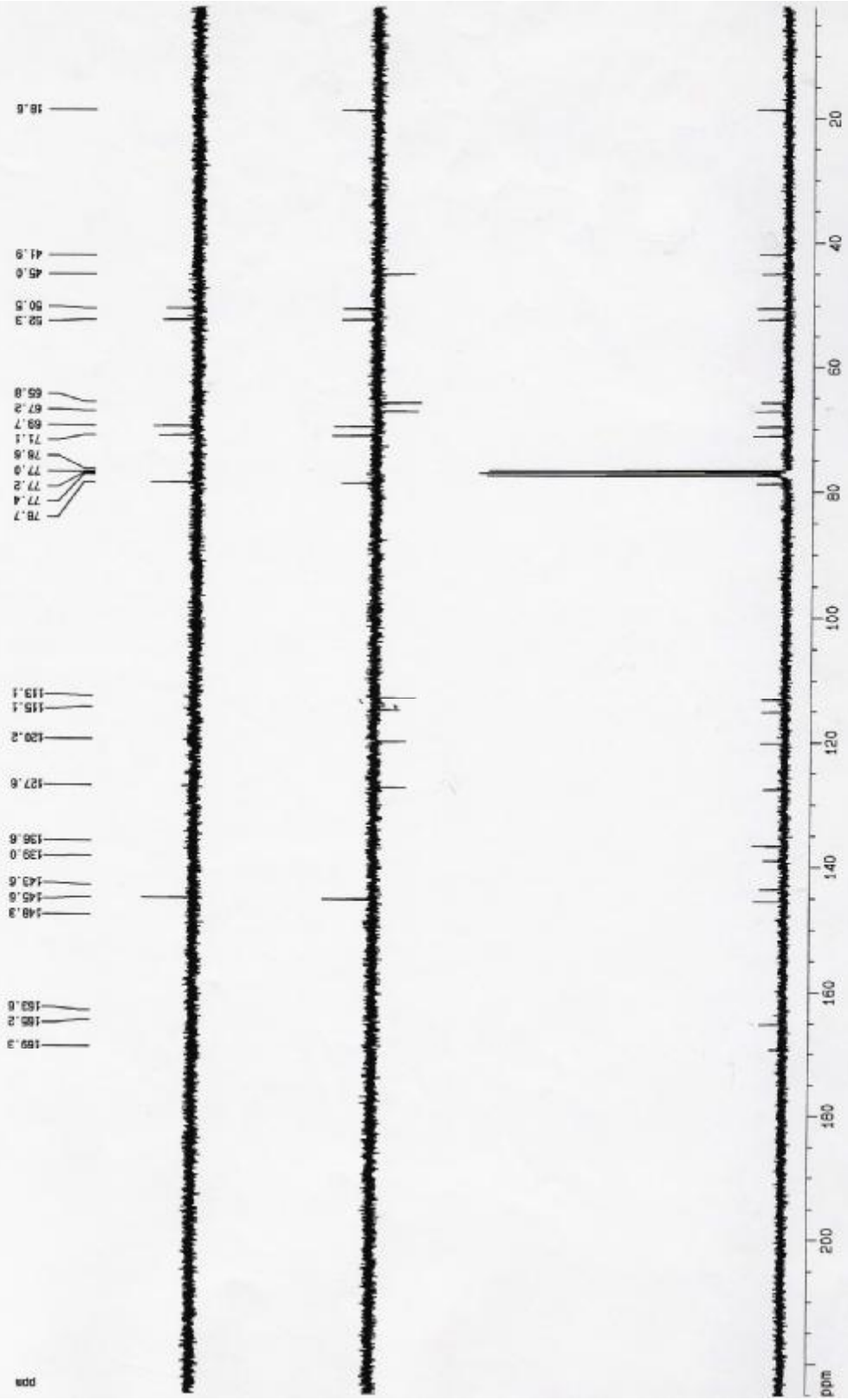
Frequency Range : 6999.9799 - 399.1724  
Resolution : 4.0  
Zero Filling : 2

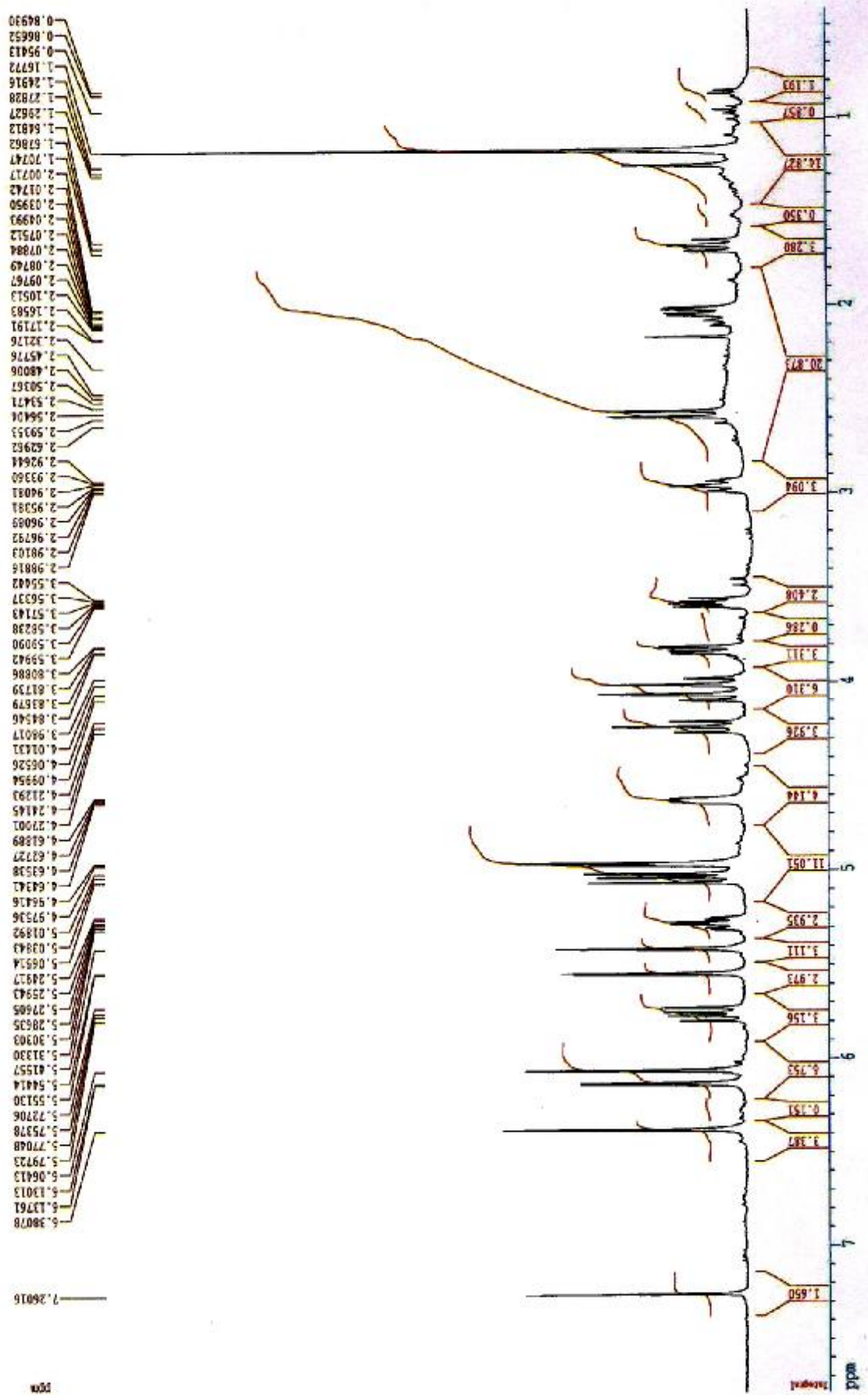
Instrument : IFS55 , Sample Scans : 16  
Acquisition : Double Sided, Forward-Backward  
Measured on : 4/7/2003

Customer : Francisco



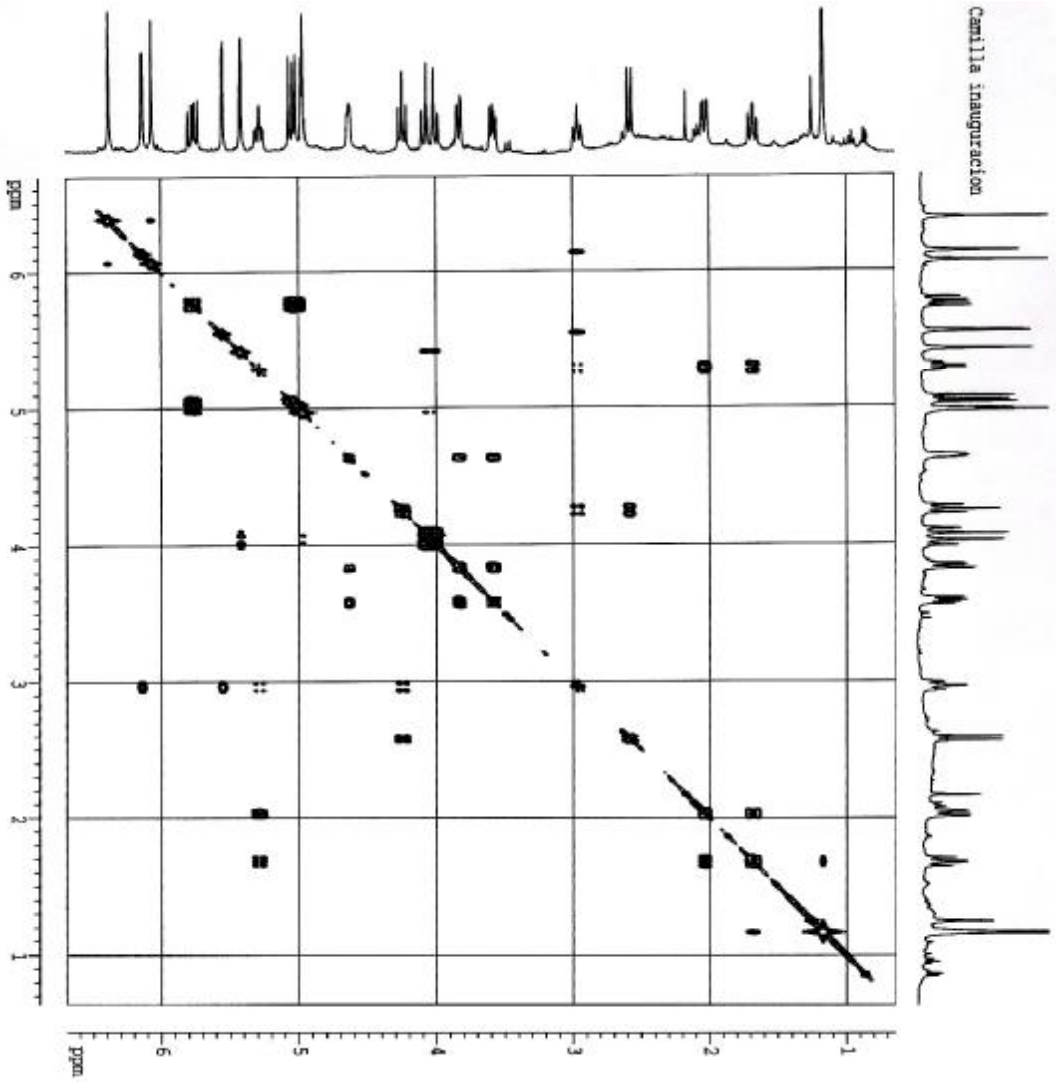
abe-f26 5 6 7 1 /v 1ub0





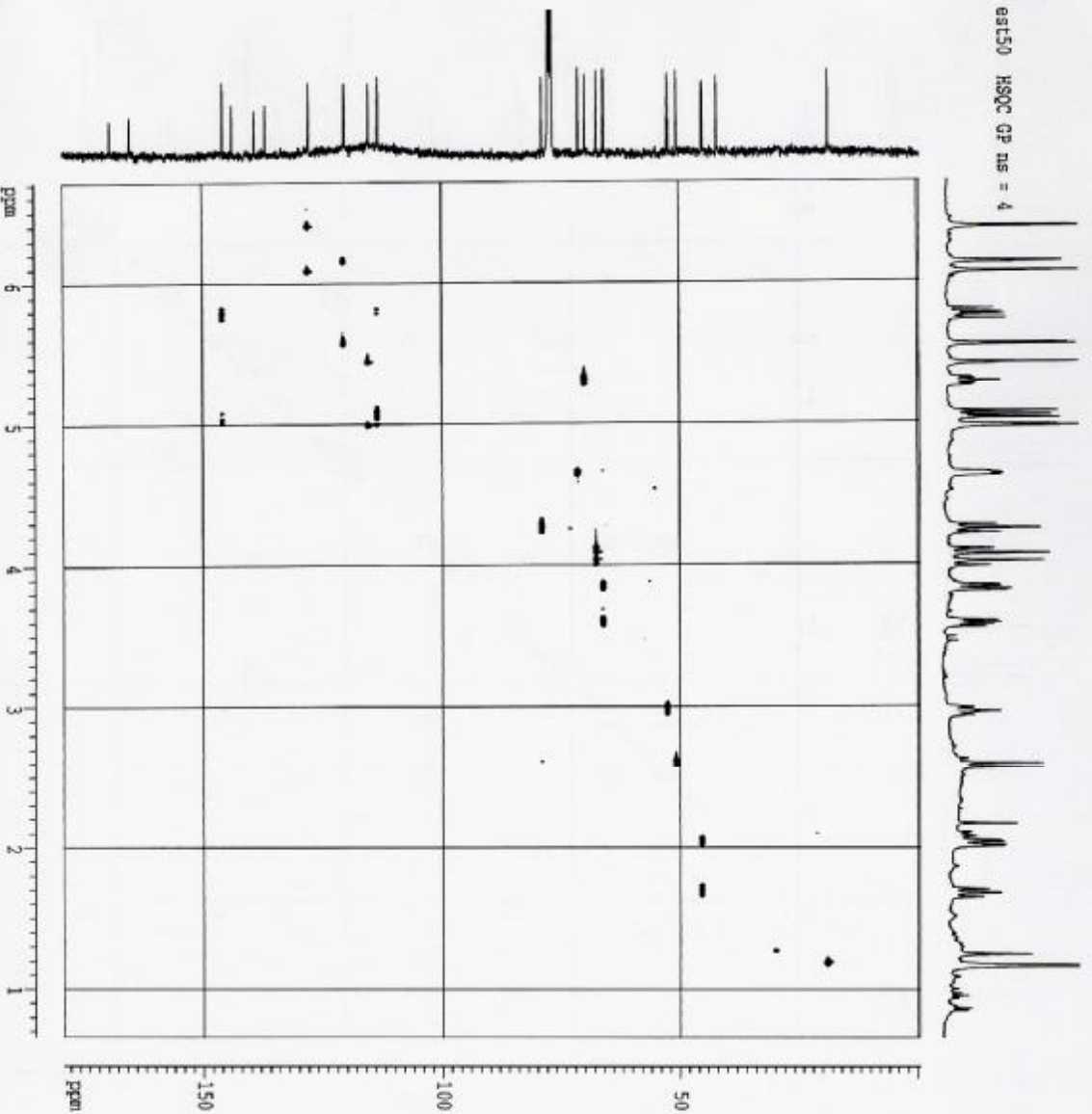
aba-f-26

Camilla inauguracion



Name: Camilla inauguracion  
 Date: 11/11/2011  
 Time: 14:28  
 Solvent: CDCl3  
 Concentration: 1 mg/ml  
 Acquisition Parameters:  
 F2 - Acquisition Parameters  
 Date\_ Time: 11/11/2011 14:28  
 F2: 500.136093 MHz  
 F1: 125.761350 MHz  
 P1: 1.50 sec  
 SFO: 500.136093 MHz  
 F1 - Acquisition Parameters  
 Date\_ Time: 11/11/2011 14:28  
 F1: 125.761350 MHz  
 F2: 500.136093 MHz  
 P2: 1.50 sec  
 SFO: 125.761350 MHz  
 F1 - Acquisition Parameters  
 Date\_ Time: 11/11/2011 14:28  
 F1: 125.761350 MHz  
 F2: 500.136093 MHz  
 P1: 1.50 sec  
 SFO: 125.761350 MHz  
 F2 - Acquisition Parameters  
 Date\_ Time: 11/11/2011 14:28  
 F2: 500.136093 MHz  
 F1: 125.761350 MHz  
 P2: 1.50 sec  
 SFO: 500.136093 MHz  
 F1 - Acquisition Parameters  
 Date\_ Time: 11/11/2011 14:28  
 F1: 125.761350 MHz  
 F2: 500.136093 MHz  
 P1: 1.50 sec  
 SFO: 125.761350 MHz

est150 HSQC CP pr = 4



NAME: est150  
DATE: 11-01-01

PROC: f2 - Acquisition Parameters  
F1: 125 MHz

NAME: est150  
DATE: 11-01-01

PROC: f1 - Processing Parameters  
F2: 500 MHz

NAME: est150  
DATE: 11-01-01

PROC: f1 - Processing Parameters  
F2: 500 MHz

NAME: est150  
DATE: 11-01-01

PROC: f1 - Processing Parameters  
F2: 500 MHz

NAME: est150  
DATE: 11-01-01

PROC: f1 - Processing Parameters  
F2: 500 MHz

NAME: est150  
DATE: 11-01-01

PROC: f1 - Processing Parameters  
F2: 500 MHz

NAME: est150  
DATE: 11-01-01

PROC: f1 - Processing Parameters  
F2: 500 MHz

NAME: est150  
DATE: 11-01-01

PROC: f1 - Processing Parameters  
F2: 500 MHz

NAME: est150  
DATE: 11-01-01

PROC: f1 - Processing Parameters  
F2: 500 MHz

NAME: est150  
DATE: 11-01-01

PROC: f1 - Processing Parameters  
F2: 500 MHz

NAME: est150  
DATE: 11-01-01

PROC: f1 - Processing Parameters  
F2: 500 MHz

NAME: est150  
DATE: 11-01-01

PROC: f1 - Processing Parameters  
F2: 500 MHz

NAME: est150  
DATE: 11-01-01

PROC: f1 - Processing Parameters  
F2: 500 MHz

NAME: est150  
DATE: 11-01-01

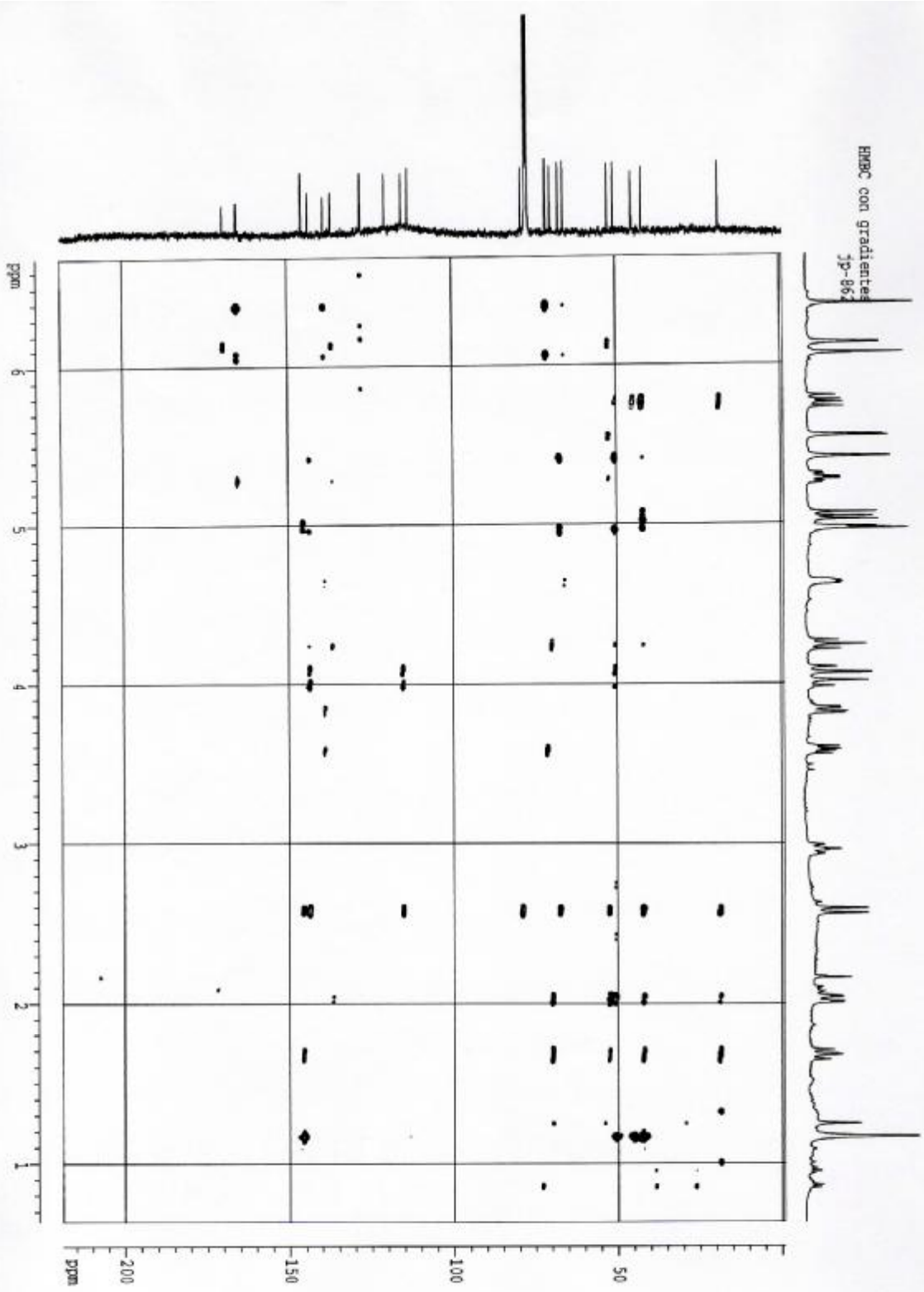
PROC: f1 - Processing Parameters  
F2: 500 MHz

NAME: est150  
DATE: 11-01-01

PROC: f1 - Processing Parameters  
F2: 500 MHz

NAME: est150  
DATE: 11-01-01

HMBC con gradientes  
jp-862





C	$\delta_{[\text{ppm}]}$	DEPT and HSQC (400 MHz)	HMBC with H (400 MHz)
1	75,2	CH	9', 14
2	32,8	CH <sub>2</sub>	----
3	121,3	CH	15
4	133,3	C	15
5	51,1	CH	1, 9, 14, 15
6	81,5	CH	----
7	51,0	CH	8', 9, 13, 13'
8	21,2	CH <sub>2</sub>	6, 9'
9	34,2	CH <sub>2</sub>	1, 14
10	40,9	C	8, 14
11	139,0	C	13
12	170,8	C	13, 13'
13	116,8	CH <sub>2</sub>	----
14	11,0	CH <sub>3</sub>	1, 9'
15	23,3	CH <sub>3</sub>	2', 8'

Table(5-7). <sup>13</sup>C NMR chemical shifts of compound ABAF<sub>64</sub> (100 MHz, CDCl<sub>3</sub>).

	1H	$\delta_{[\text{ppm}]}$	Multiplicity	$J_{[\text{HZ}]}$	Coupling proton(s) † proton(s)
1	3,66	dd	2,6; 9,8		2, 2'
2	2,48	m		1, 2', 3	
2'	2,05	m		1, 2, 3	
3	5,33	m		2, 2', 15	
5	2,35	m		6	
6	3,93	dd	10,8; 11,1	5, 7	
7	2,49	m		6, 8, 8', 13, 13'	
8	2,10	m		7, 8', 9, 9'	
8'	1,65	qd	4,2; 9,5	7, 8, 9, 9'	
9	2,08	m		8, 8', 9'	
9'	1,30	m		8, 8', 9	
13	6,06	d	3,2	7	
13'	5,40	d	3,0	7	
14	0,86	s		9'	
15	1,82	s		3, 5	

Table(5-8).  $^1\text{H}$  NMR chemical shifts of compound ABAF<sub>64</sub> (400 MHz,  $\text{CDCl}_3$ ).

## V.1..5 ABAF<sub>41</sub> تشخيص المركب :

يبين وجود قمة عند 30 الطيف رقم (SMIEHR) طيف الكتلة بتصادم إلكتروني عالي الأداء الذي يقود إلى الصيغة الجزيئية المجملة ( $M^+$ ) تمثل إشارة الأيون الجزيئي ( $m/z=232,1322(35,71\%)$ )  $C_{15}H_{20}O_2$ .

، التي تدل ( $M^+ - CH_3$ ) المرافقة للشظية ( $m/z=217,1093(34,10\%)$ ) : كما يبين نفس الطيف القمة ( $CH_3$ ) على أن المركب يحتوي على مجموعة ميثيل .

يؤكد أن المركب يتكون من (5-9) الذي دونت نتائجه في الجدول (31) الطيف رقم (RMN-<sup>13</sup>C) طيف ذرة كربون 15.

يبين (5-9) الذي دونت نتائجه في الجدول (32) الطيف رقم ( DEPT 135 et 90 ) أطراف تجارب روابطتين ( إيثيلينية ( $2CH_2$ ) منها ( $CH_2$ ) مجموعات ميثيلين 7، ( $1CH_3$ ) وجود مجموعة ميثيل واحدة من بينها واحدة  $sp^3$  ( $3CHsp^3$ ) مهجنة مجموعات ميثيلين 3،  $5CH_2sp^3$  مضاعفتين خارج الحلقة) و حاملة 2  $Csp^2$  اللاكتونية، CO منها ذرات كربون رباعية. 4. يؤكد وجود ، و  $\delta=80,1$  مؤكسجة عند مما يدل على أنه مرتبط بذرات كربون  $\delta=38,6$  عند  $Csp^3$  لرابطين مضاعفتين خارج الحلقة ، و فقط .

. بالإعتماد  $\Omega=15-20/2+1=6$  : عند حساب عدد الروابط الثنائية والحلقات (وحدات عدم التشبع) نجد

:يمكننا تصنيف ما يلي RMN-<sup>13</sup>C لنتائج طيف على الإزاحة الكيميائية

(كربونيل المجموعة اللاكتونية) رابطة مضاعفة ، الحلقة 1CO (روابطين مضاعفتين) ،  $2CH_2=$  اللاكتونية. إذن لم يبق لنا إلا وحدتي عدم التشبع ، بما أن ذرات الكربون المتبقية كلها مشبعة أي وبناء على ذلك فإن الهيكل السيسكوي تربيني يجب أن يتكون من حلقتين وبالرجوع إلى  $sp^3$  مهجنة الببليوغرافيا يمكننا أن نؤكد إلى حد بعيد أن هذا المركب لا يمكن أن يكون إلقايانوليدا (eudesmanolide) أو أوديسمانوليدا (guaianolide).

التي  $\delta=0,84$  وجود إشارة مجموعة ميثيل زاوي عند 33 (الطيف رقم RMN-<sup>1</sup>H) يبين طيف الذي يمكن  $\delta=38,6$  تميز عائلة الأوديسمانوليدات بالإضافة إلى كربون رباعي السالف ذكره عند نسبه إلى

و الحامل لمجموعة الميثيل الزاوي مما يؤكد أن هذا المركب هو أوديسمانوليدا C-10 (eudesmanolide).

الإشارات مميزة وجود مجموعة من (5-10) الذي دونت نتائجه في الجدول RMN-<sup>1</sup>H يبين طيف خاصة بروتونات رابطتين مضاعفتين خارج الحلقة .

و التي تبين وجود تزاوج أليلي مميز لبروتونات  $\delta = 5,38$  d,  $J=3,1$  و  $\delta = 6,06$  d,  $J=3,0$  الأولى عند خاصة بلاكتون سيسكوي تربيني هاتين الإشارتين يمكن أن ننسبهما CO مترافقة مع  $\text{CH}_2=$  مجموعة على الترتيب  $\text{H}-13'$  و  $\text{H}-13$  إلى البروتونين

و بما أن  $\delta = 4,79$  و  $\delta = 4,93$  أما المجموعة الثانية التي تظهر على شكل إشارتين أحاديتين عند . مما يعني أن C-4 المركب أوديسمانوليدا فإن الرابطة المضاعفة الثانية يجب أن تكون في الموقع  $\text{H}-15'$  و  $\text{H}-15$  هذين البروتونين هما

و  $\text{H}-13$  وبمعرفة (5-10) الذي دونت نتائجه في الجدول 34 (الطيف رقم  $\text{Cosy}(\text{H}-\text{H}^1)$  طيف تجربة على  $\delta = 3,97$  عند  $\text{H}-6$  هو الأخر إلى تعيين والذي يقودنا  $\delta = 2,55$  عند  $\text{H}-7$  يسمح بتحديد  $\text{H}-13'$  ،  $J=10,9$  شكل إشارة ثلاثية ،

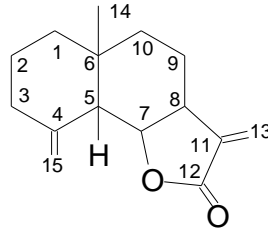
هذا وجود تعالق بين (5-9) الذي دونت نتائجه في الجدول 35 (الطيف رقم  $\text{HSQC}$  يبين طيف تجربة قيمة هذه الإزاحة مميزة لكاربون غلق الحلقة اللاكتونية وعليه  $\delta = 80,1$  و كربون عند  $\text{H}-6$  البروتون يتزاوج مع بروتونين  $\text{H}-6$  تبين أن  $J=10,9$  قيم ثابت التزاوج . فإن هذه الأخيرة مغلقة في الوضع وعليه  $\beta$  يكون ذو اتجاه  $\text{H}-6$  فإن [160]  $\alpha$  ذو اتجاه  $\text{H}-7$  يكونان في وضع محوري بالنسبة له و بما أن  $\alpha$  هو  $\text{H}-5$  فإن اتجاه

كما  $\delta = 2,25$  عند  $\text{H}-5$  نستطيع تحديد  $\text{H}-6$  وبالإعتماد على  $\text{Cosy}(\text{H}-\text{H}^1)$  بالرجوع إلى طيف تجربة وهذين  $\delta = 1,48$  عند  $\text{H}-8'$  و  $\delta = 1,64$  عند  $\text{H}-8$  تقودنا إلى تحديد إشارة كل من  $\text{H}-7$  أن معرفة  $\delta = 1,01$  عند  $\text{H}-9'$  و  $\delta = 2,32$  عند  $\text{H}-9$  البروتونين يسمحا بتحديد إشارة كل من

من توزيع كل البروتونات المحددة سابقا على ذرات الكربون المرافقة  $\text{HSQC}$  كما مكن طيف تجربة  $\delta = 55,0$  عند C-5 لها وخاصة

وجود تعالق بين (5-9) الذي دونت نتائجه في الجدول 36 (الطيف رقم  $\text{HMBC}$  يبين طيف تجربة . بالرجوع C-3 الذي لا يمكن أن يكون إلا  $\delta = 35,9$  و كربون عند C-5 مع  $\text{H}-15'$  و  $\text{H}-15$  البروتونين  $\text{H}-3'$  و  $\delta = 2,34$  عند  $\text{H}-3$  يمكننا تحديد إشارة كل من C-3 و بالإعتماد على  $\text{HSQC}$  إلى طيف تجربة  $\delta = 1,65$  عند  $\text{H}-2'$  و  $\delta = 2,01$  عند  $\text{H}-2$  وهذين البروتونين يسمحا بتحديد إشارة كل من  $\delta = 2,33$  عند  $\delta = 1,05$  عند  $\text{H}-1'$  و  $\delta = 1,63$  عند  $\text{H}-1$  . اللتين تقود بدورهما إلى تحديد إشارة كل من

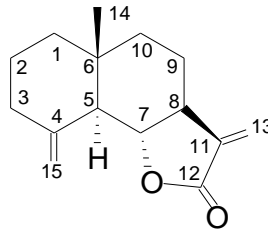
:إعتمادا على كل المعلومات السابقة يمكننا وضع الصيغة المفصلة المستوية التالية:



اما الكيمياء الفراية لهذا المركب فتحدد كما يلي

C-5 ، C-6 ، C-7 و C-10 تشكيل كل من هذا الجزيئ أربعة مراكز كيرالية هي  $\beta\text{-H}_6$  ، أي أن (10-5) قد وضحت سابقا وذلك بالإعتماد على ثوابت التزاوج (الجدول C-7 و C-6 ، يتزاوج في طيف (H-9 $\alpha$ ) H-9ax بما أن : فتوضح كما يلي C-10. أما بالنسبة ل  $\alpha\text{-H}_5$  ،  $\alpha\text{-H}_7$  ، فهذا يعني أن هذه الأخيرة تكون في وضع محوري بالنسبة (CH<sub>3</sub>) مع مجموعة الميثيل Cosy(<sup>1</sup>H-<sup>1</sup>H)  $\beta$ . أي تكون في الوضع H-9ax

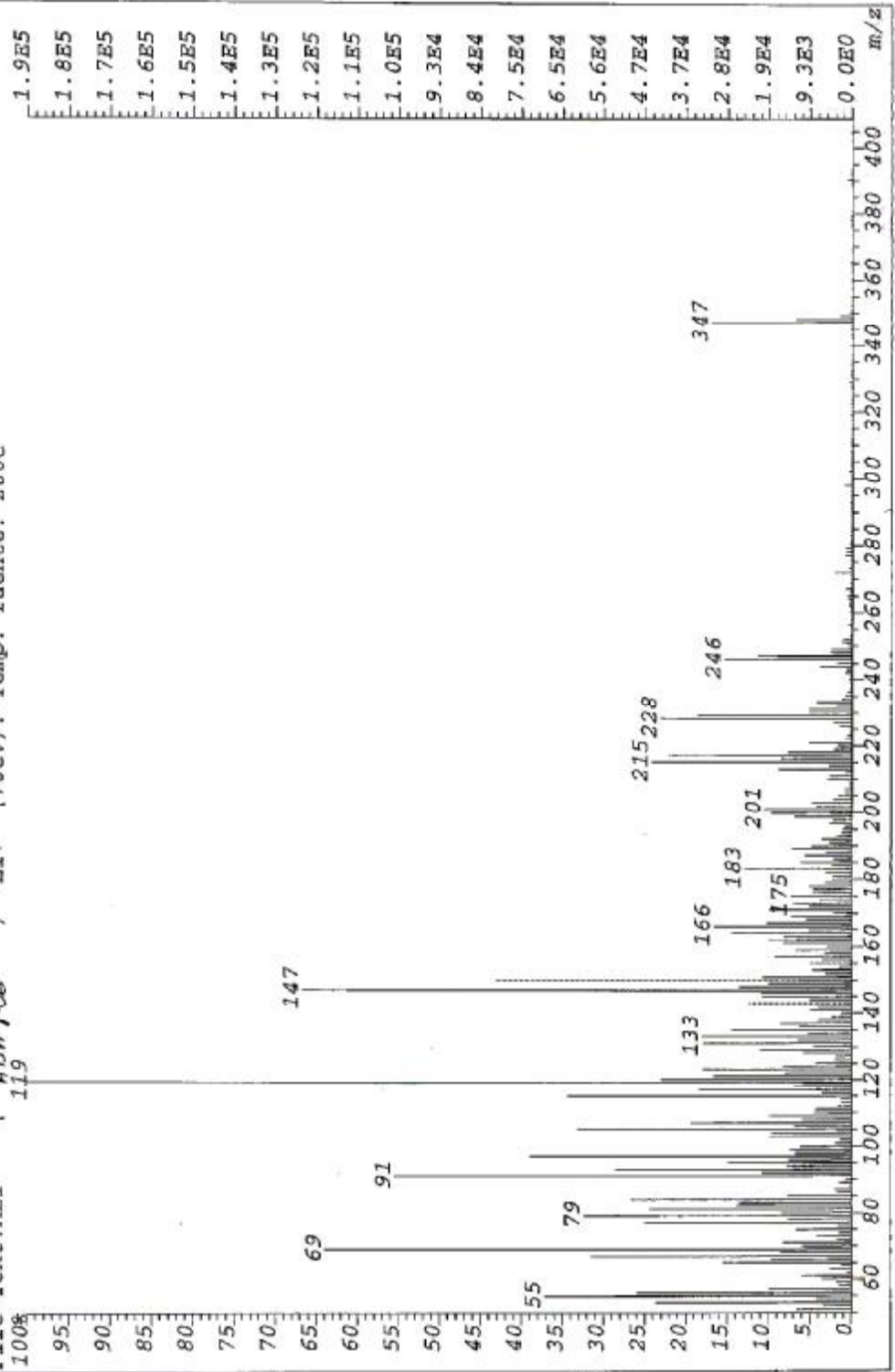
إن مجموع هذه النتائج تقودنا إلى الصيغة الجزيئية المفصلة التالية

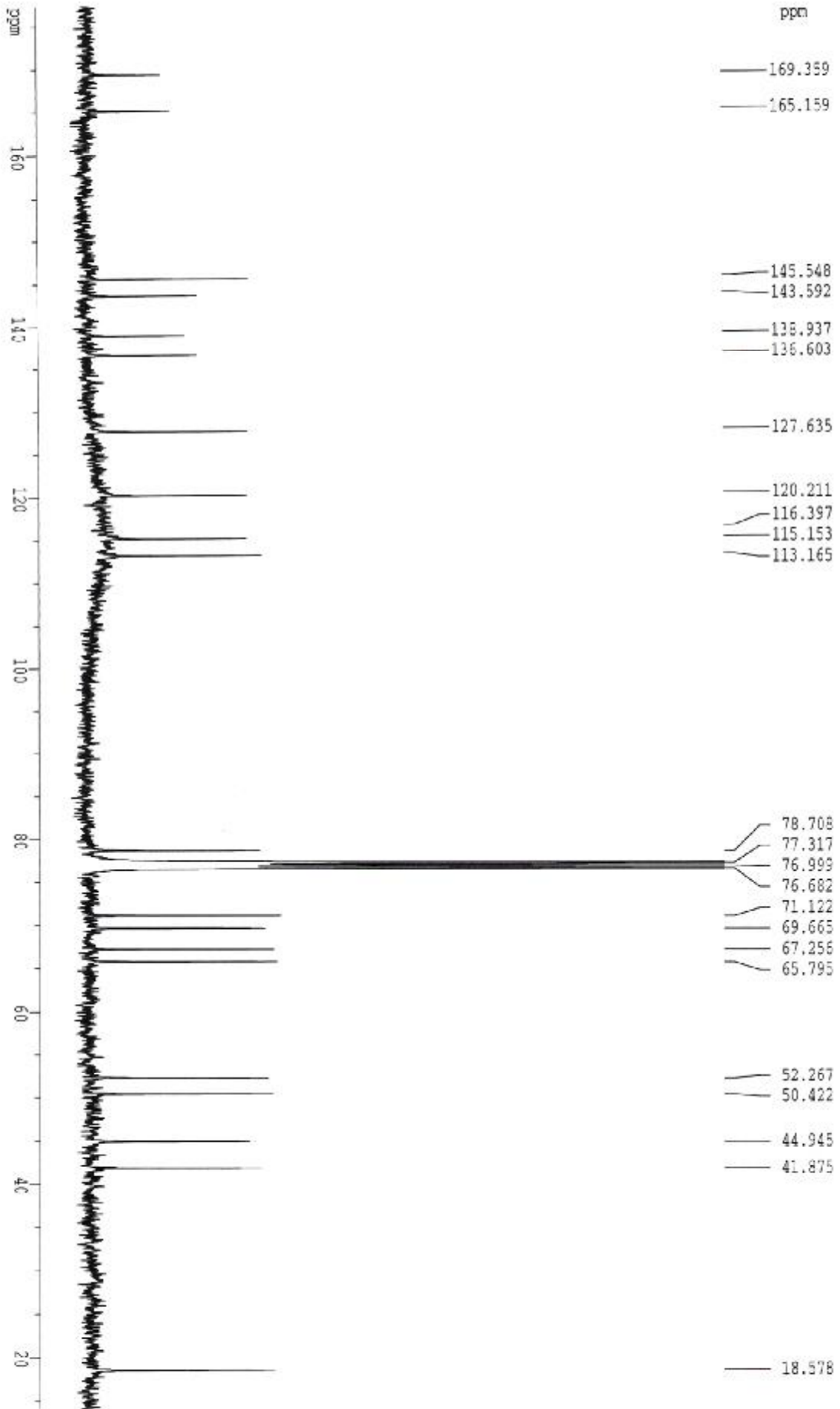


$\beta$ -cyclocostunolide

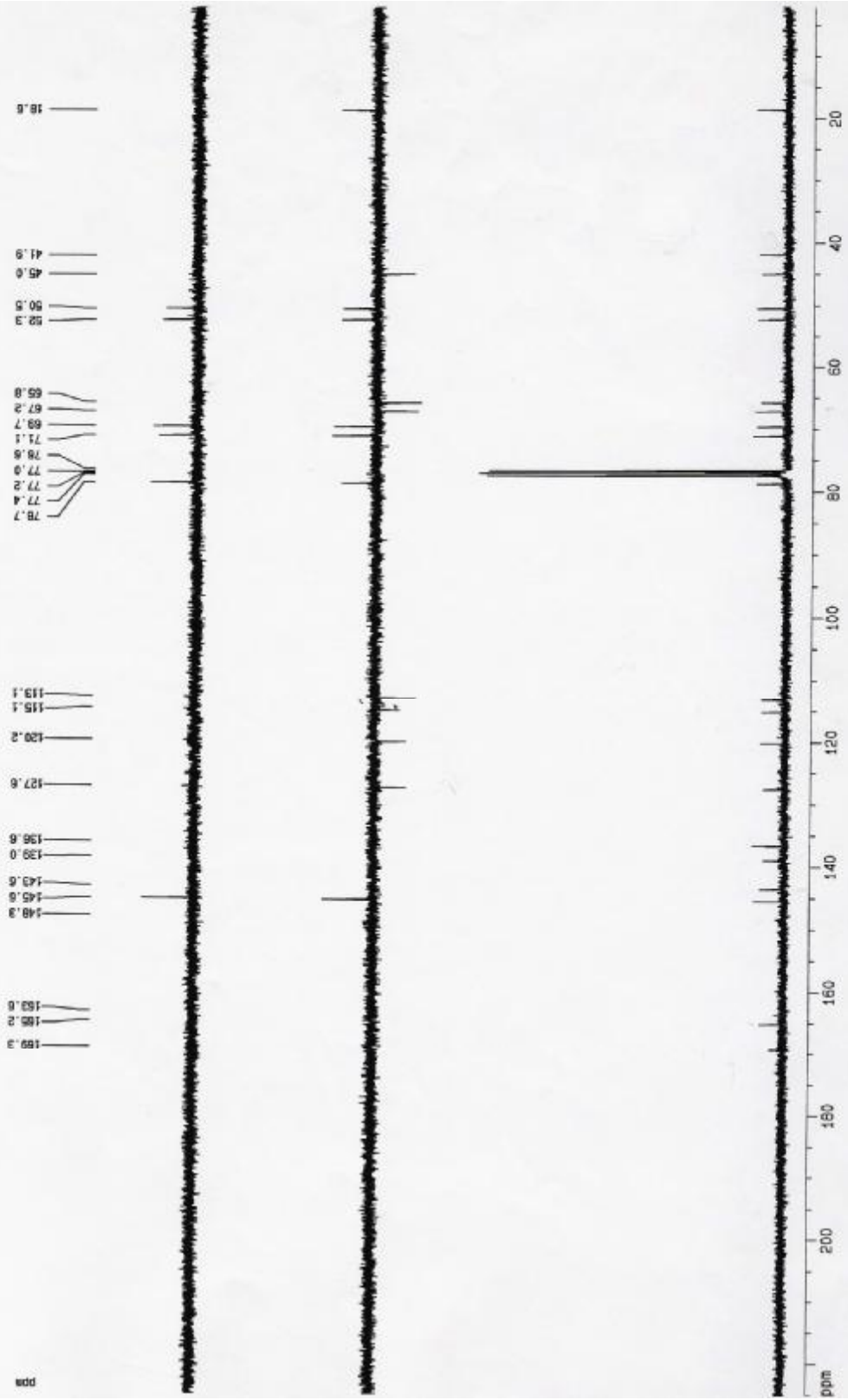
(Centaurea) حسب معلوماتنا البيبليوغرافية فإن هذا المركب يفصل لأول مرة من جنس القنطريون

File:S682 Ident:52\_58+54 Win 100PPM Acq: 4-JUL-2003 13:46:54 +2:44 Cal:S682  
AutoSpec EI+ Magnet BpM:119 BpI:186364 TIC:5023122 Flags:ACC  
File Text:ALI ( ~~ABH~~RG ) EI+ (70eV). Temp. fuente: 200C

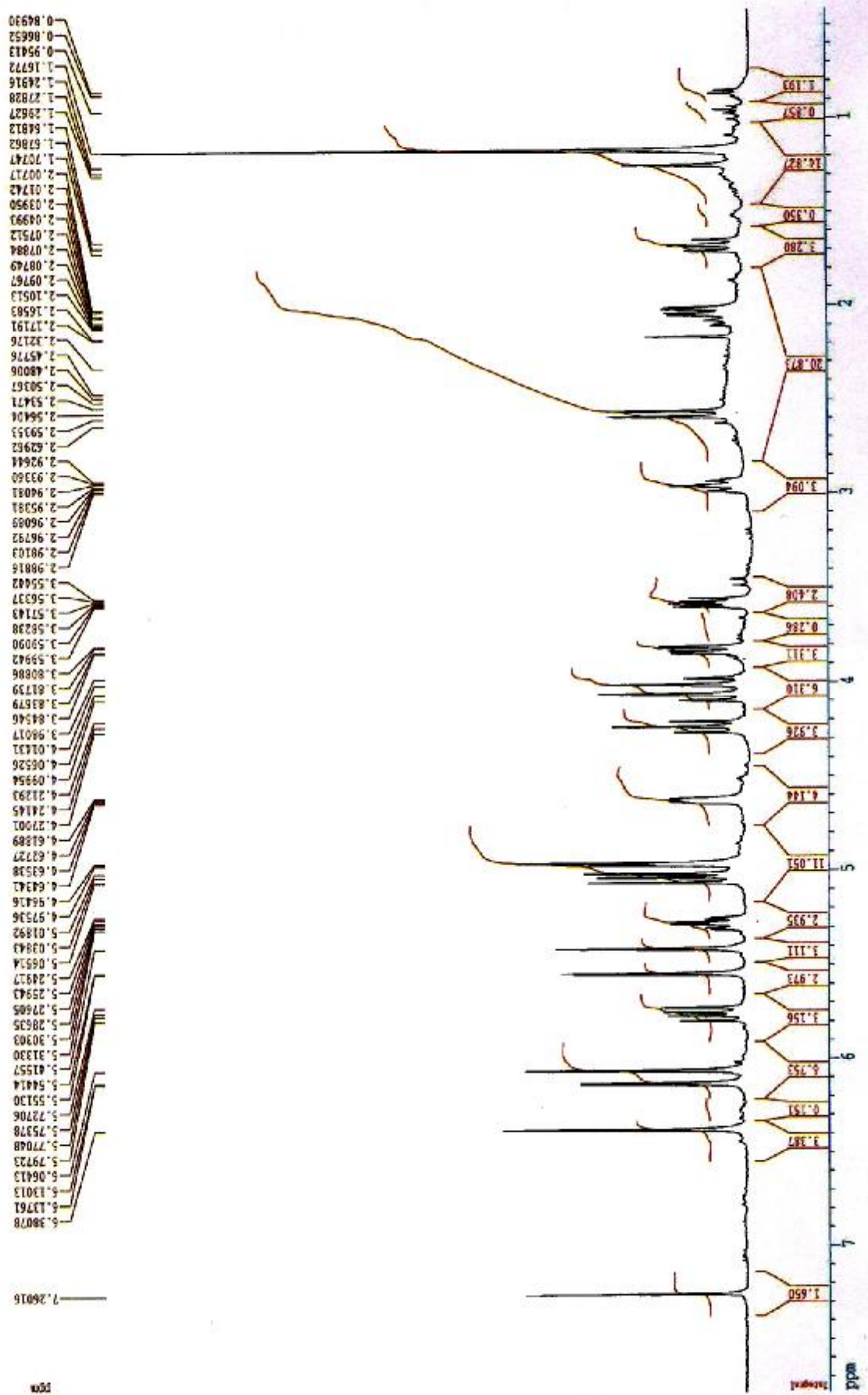




abe-f26 5 6 7 1 /v 1ub0





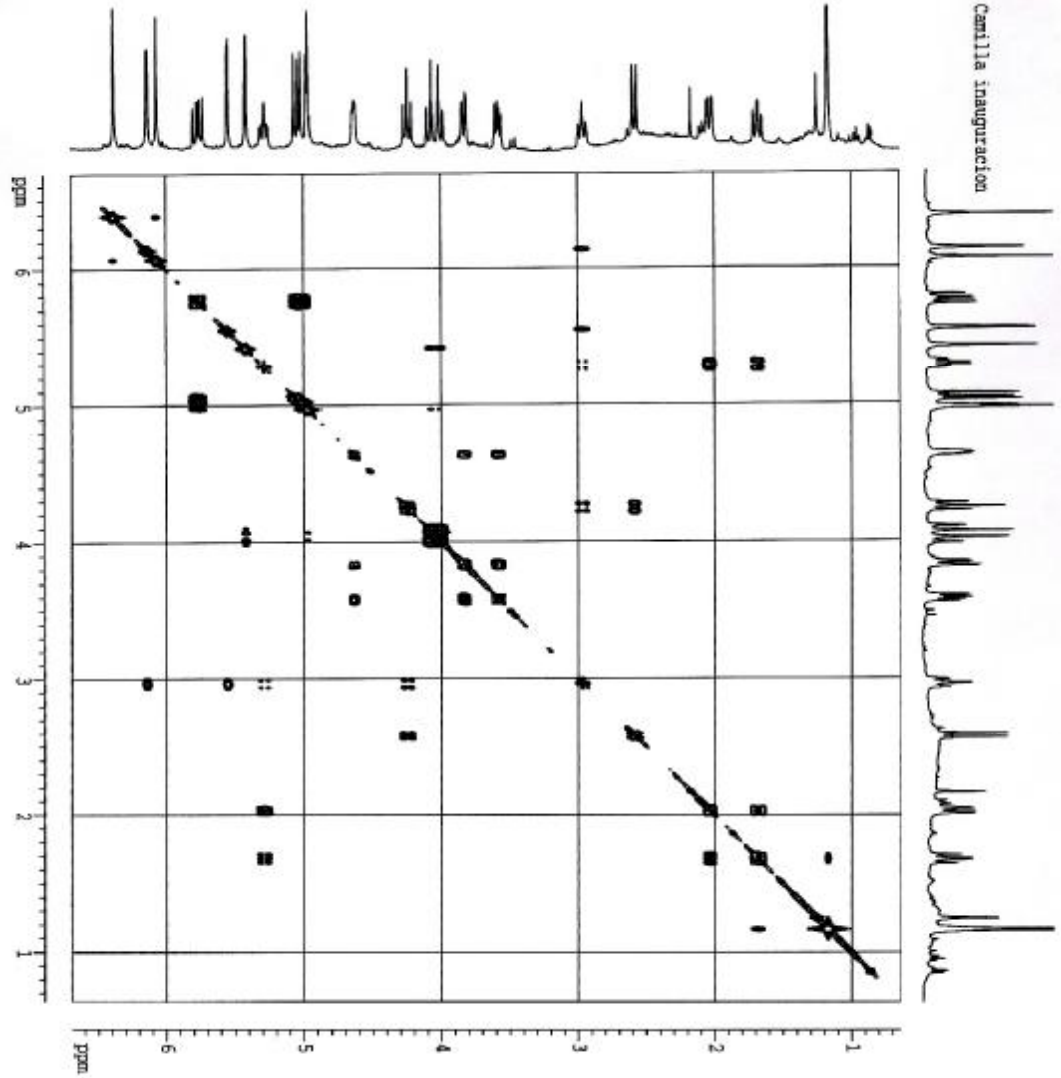


aba-f-26

ppm

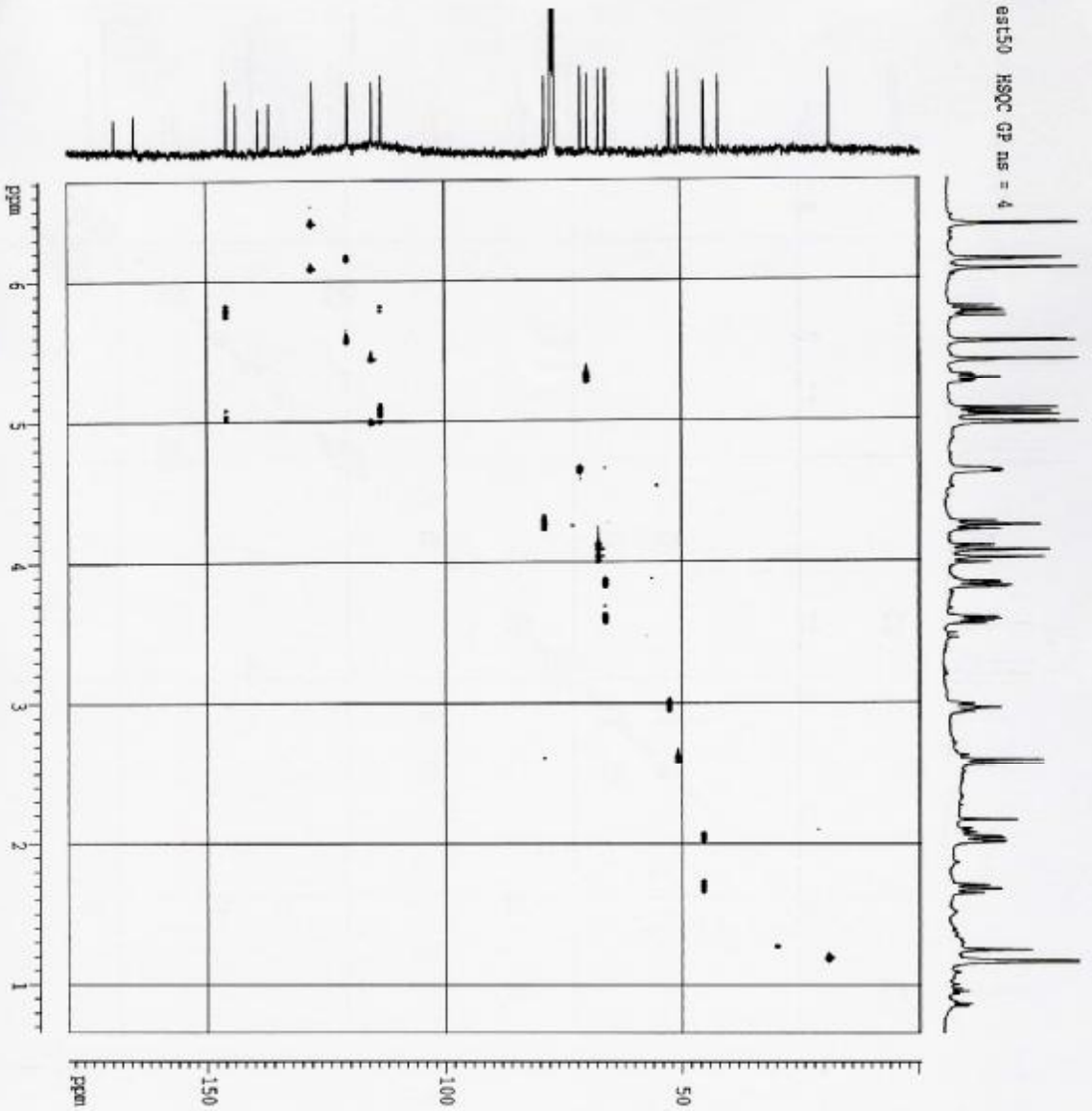
ppm

Camtilla inauguration



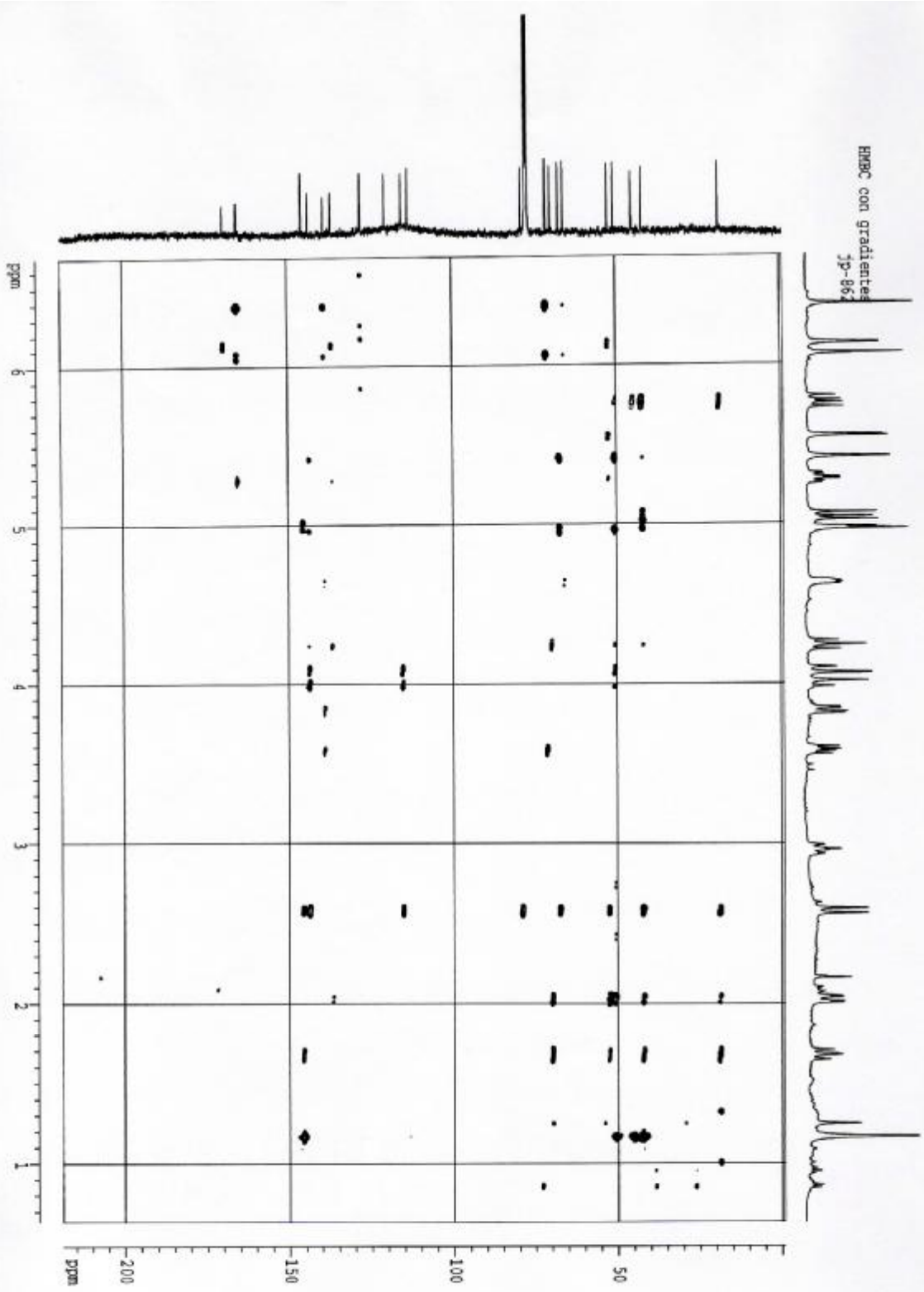
Record Name Parameters  
 NAME  
 INSTR  
 PROC  
 QRES  
 P1 - Acquisition Parameters  
 P2 - Processing Parameters  
 P3 - Reporting Parameters  
 P4 - Acquisition Parameters  
 P5 - Processing Parameters  
 P6 - Reporting Parameters  
 P7 - Acquisition Parameters  
 P8 - Processing Parameters  
 P9 - Reporting Parameters  
 P10 - Acquisition Parameters  
 P11 - Processing Parameters  
 P12 - Reporting Parameters  
 P13 - Acquisition Parameters  
 P14 - Processing Parameters  
 P15 - Reporting Parameters  
 P16 - Acquisition Parameters  
 P17 - Processing Parameters  
 P18 - Reporting Parameters  
 P19 - Acquisition Parameters  
 P20 - Processing Parameters  
 P21 - Reporting Parameters  
 P22 - Acquisition Parameters  
 P23 - Processing Parameters  
 P24 - Reporting Parameters  
 P25 - Acquisition Parameters  
 P26 - Processing Parameters  
 P27 - Reporting Parameters  
 P28 - Acquisition Parameters  
 P29 - Processing Parameters  
 P30 - Reporting Parameters  
 P31 - Acquisition Parameters  
 P32 - Processing Parameters  
 P33 - Reporting Parameters  
 P34 - Acquisition Parameters  
 P35 - Processing Parameters  
 P36 - Reporting Parameters  
 P37 - Acquisition Parameters  
 P38 - Processing Parameters  
 P39 - Reporting Parameters  
 P40 - Acquisition Parameters  
 P41 - Processing Parameters  
 P42 - Reporting Parameters  
 P43 - Acquisition Parameters  
 P44 - Processing Parameters  
 P45 - Reporting Parameters  
 P46 - Acquisition Parameters  
 P47 - Processing Parameters  
 P48 - Reporting Parameters  
 P49 - Acquisition Parameters  
 P50 - Processing Parameters  
 P51 - Reporting Parameters  
 P52 - Acquisition Parameters  
 P53 - Processing Parameters  
 P54 - Reporting Parameters  
 P55 - Acquisition Parameters  
 P56 - Processing Parameters  
 P57 - Reporting Parameters  
 P58 - Acquisition Parameters  
 P59 - Processing Parameters  
 P60 - Reporting Parameters  
 P61 - Acquisition Parameters  
 P62 - Processing Parameters  
 P63 - Reporting Parameters  
 P64 - Acquisition Parameters  
 P65 - Processing Parameters  
 P66 - Reporting Parameters  
 P67 - Acquisition Parameters  
 P68 - Processing Parameters  
 P69 - Reporting Parameters  
 P70 - Acquisition Parameters  
 P71 - Processing Parameters  
 P72 - Reporting Parameters  
 P73 - Acquisition Parameters  
 P74 - Processing Parameters  
 P75 - Reporting Parameters  
 P76 - Acquisition Parameters  
 P77 - Processing Parameters  
 P78 - Reporting Parameters  
 P79 - Acquisition Parameters  
 P80 - Processing Parameters  
 P81 - Reporting Parameters  
 P82 - Acquisition Parameters  
 P83 - Processing Parameters  
 P84 - Reporting Parameters  
 P85 - Acquisition Parameters  
 P86 - Processing Parameters  
 P87 - Reporting Parameters  
 P88 - Acquisition Parameters  
 P89 - Processing Parameters  
 P90 - Reporting Parameters  
 P91 - Acquisition Parameters  
 P92 - Processing Parameters  
 P93 - Reporting Parameters  
 P94 - Acquisition Parameters  
 P95 - Processing Parameters  
 P96 - Reporting Parameters  
 P97 - Acquisition Parameters  
 P98 - Processing Parameters  
 P99 - Reporting Parameters  
 P100 - Acquisition Parameters  
 P101 - Processing Parameters  
 P102 - Reporting Parameters

8a150 HSQC GP ms = 4



NAME	CONCENTRATION	CHARGE	STATE
1	1.00	1.00	1.00
2	1.00	1.00	1.00
3	1.00	1.00	1.00
4	1.00	1.00	1.00
5	1.00	1.00	1.00
6	1.00	1.00	1.00
7	1.00	1.00	1.00
8	1.00	1.00	1.00
9	1.00	1.00	1.00
10	1.00	1.00	1.00
11	1.00	1.00	1.00
12	1.00	1.00	1.00
13	1.00	1.00	1.00
14	1.00	1.00	1.00
15	1.00	1.00	1.00
16	1.00	1.00	1.00
17	1.00	1.00	1.00
18	1.00	1.00	1.00
19	1.00	1.00	1.00
20	1.00	1.00	1.00
21	1.00	1.00	1.00
22	1.00	1.00	1.00
23	1.00	1.00	1.00
24	1.00	1.00	1.00
25	1.00	1.00	1.00
26	1.00	1.00	1.00
27	1.00	1.00	1.00
28	1.00	1.00	1.00
29	1.00	1.00	1.00
30	1.00	1.00	1.00
31	1.00	1.00	1.00
32	1.00	1.00	1.00
33	1.00	1.00	1.00
34	1.00	1.00	1.00
35	1.00	1.00	1.00
36	1.00	1.00	1.00
37	1.00	1.00	1.00
38	1.00	1.00	1.00
39	1.00	1.00	1.00
40	1.00	1.00	1.00
41	1.00	1.00	1.00
42	1.00	1.00	1.00
43	1.00	1.00	1.00
44	1.00	1.00	1.00
45	1.00	1.00	1.00
46	1.00	1.00	1.00
47	1.00	1.00	1.00
48	1.00	1.00	1.00
49	1.00	1.00	1.00
50	1.00	1.00	1.00
51	1.00	1.00	1.00
52	1.00	1.00	1.00
53	1.00	1.00	1.00
54	1.00	1.00	1.00
55	1.00	1.00	1.00
56	1.00	1.00	1.00
57	1.00	1.00	1.00
58	1.00	1.00	1.00
59	1.00	1.00	1.00
60	1.00	1.00	1.00
61	1.00	1.00	1.00
62	1.00	1.00	1.00
63	1.00	1.00	1.00
64	1.00	1.00	1.00
65	1.00	1.00	1.00
66	1.00	1.00	1.00
67	1.00	1.00	1.00
68	1.00	1.00	1.00
69	1.00	1.00	1.00
70	1.00	1.00	1.00
71	1.00	1.00	1.00
72	1.00	1.00	1.00
73	1.00	1.00	1.00
74	1.00	1.00	1.00
75	1.00	1.00	1.00
76	1.00	1.00	1.00
77	1.00	1.00	1.00
78	1.00	1.00	1.00
79	1.00	1.00	1.00
80	1.00	1.00	1.00
81	1.00	1.00	1.00
82	1.00	1.00	1.00
83	1.00	1.00	1.00
84	1.00	1.00	1.00
85	1.00	1.00	1.00
86	1.00	1.00	1.00
87	1.00	1.00	1.00
88	1.00	1.00	1.00
89	1.00	1.00	1.00
90	1.00	1.00	1.00
91	1.00	1.00	1.00
92	1.00	1.00	1.00
93	1.00	1.00	1.00
94	1.00	1.00	1.00
95	1.00	1.00	1.00
96	1.00	1.00	1.00
97	1.00	1.00	1.00
98	1.00	1.00	1.00
99	1.00	1.00	1.00
100	1.00	1.00	1.00

HMBC con gradientes  
jp-862



C	$\delta_{[\text{ppm}]}$	DEPT and HSQC (500 MHz)	HMBC with H (500 MHz)
1	41,8	CH <sub>2</sub>	2', 3, 9', 14
2	22,8	CH <sub>2</sub>	----
3	35,9	CH <sub>2</sub>	15, 15'
4	44,4	C	5
5	55,0	CH	1, 1', 14, 15, 15'
6	80,1	CH	5
7	49,9	CH	13, 13'
8	21,0	CH <sub>2</sub>	----
9	39,7	CH <sub>2</sub>	1, 5, 14
10	38,6	C	5, 14
11	139,5	C	13, 6
12	170,5	C	13, 13'
13	116,6	CH <sub>2</sub>	----
14	18,0	CH <sub>3</sub>	1', 9', 5
15	109,1	CH <sub>2</sub>	5

Table(5-9). <sup>13</sup>C NMR chemical shifts of compound **ABAF<sub>41</sub>** (125 MHz, CDCl<sub>3</sub>)

	1H	$\delta_{[\text{ppm}]}$	Multiplicity	$J_{[\text{HZ}]}$	Coupling proton(s) † proton(s)
1	1,63	m			2, 2'
1'	1,05	m			2
2	2,01	m			2', 3
2'	1,65	m			2, 3
3	2,34	m			2, 2'
3'	2,33	m			2, 2'
5	2,25	m			6
6	3,97	t	10,9		5, 7
7	2,55	td	3,3; 11,3		6, 8, 13, 13'
8	1,64	m			7, 9, 9'
8'	1,48	m			----
9	2,32	m			8
9'	1,01	m			8, 8'
13	6,06	d	3,0		7
13'	5,38	d	3,1		7
14	0,84	brs			----
15	4,93	brs			----
15'	4,79	brs			----

Table(5-10). <sup>1</sup>H NMR chemical shifts of compound **ABAF<sub>41</sub>** (500 MHz, CDCl<sub>3</sub>).

## V.1..6 تشخيص المركب ABAF<sub>51</sub> :

عند وجود قمة يبين (37) رقم الطيف (SMIEHR) بتصادم إلكتروني عالي الأداء الكتلة طيف الذي يقود إلى الصيغة الجزيئية المجملة ( $M^+$ ) تمثل إشارة الأيون الجزيئي ( $m/z=232,1179(33,11\%)$ )  $C_{15}H_{20}O_2$ .

، التي تدل ( $M^+ - CH_3$ ) المرافقة للشظية ( $m/z=217,0948(34,10\%)$ ) : كما يبين نفس الطيف القمة ( $CH_3$ ) على أن المركب يحتوي على مجموعة ميثيل .

يؤكد أن المركب يتكون (5-11) الذي دونت نتائجه في الجدول (38) الطيف رقم ( $^{13}C$ -RMN) طيف ذرة كربون 15. من

يبين (5-11) الذي دونت نتائجه في الجدول (39) الطيف رقم ( DEPT 135 et 90 ) أطراف تجارب روابطة مضاعفة ( إيثيليني ( $1CH_2$ ) منها ( $CH_2$ ) مجموعات ميثيلين 5، ( $2CH_3$ ) وجود مجموعتي ميثيل إحداها مؤكسجة  $sp^3$  منها إثنين مهجنة ( $4CH$ ) مجموعات ميثين 4 ،  $4CH_2sp^3$  خارج الحلقة) و ذرات كربون رباعية 4 يؤكد وجود ( $2CHsp^2$ ) أي  $2CH=$  أما المتبقيتين فهما من النوع  $\delta=81,9$  عند  $CO$  إحداها حاملة لرابطة مضاعفة خارج الحلقة والرابعة هي مجموعة  $sp^2$ . ثلاثة منها مهجنة غير مشبعة مما يعني أن الرابطة  $\alpha, \beta$  لاكتون  $\gamma$  -  $CO$  يمكن نسبها إلى مجموعة  $\delta=171,3$  المضاعفة خارج الحلقة مجاورة لهذا الكربونيل ومنه فإن الرابطة المضاعفة خارج الحلقة موجودة الذي (40) الطيف رقم ( $^1H$ -RMN) وهذا مؤكد بالرجوع إلى طيف C-13 و C-11 بين ذرتي الكربون حيث توجد إشارتين مميزتين خاصة ببروتونات رابطة مضاعفة (5-12) دونت نتائجه في الجدول و التي تبين وجود تزاوج أليلي مميز  $\delta = 5,51 d, J=3, 1$  و  $\delta = 6,25 d, J=3, 5$  خارج الحلقة . عند خاصة بلاكتون سيسكوي تربيني ،هاتين الإشارتين  $CO$  مترافقة مع  $CH_2$  ببروتونات مجموعة H-13<sup>o</sup> و H-13 ينسبان إلى البروتونين

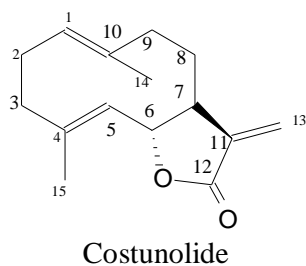
يمكن من الآن نسبها إلى كربون غلق الحلقة اللاكتونية والذي يمكن أن  $\delta=81,9$  عند  $CH$  أما مجموعة C-11 هي  $sp^2$  ، كما يستنتج أن إحدى ذرات الكربون الرباعية المهجنة C-8 أو C-6 يكون . بالإعتماد  $\Omega=15-20/2+1=6$  : عند حساب عدد الروابط الثنائية والحلقات (وحدات عدم التشبع) نجد

يمكننا تصنيف ما يلي  $^{13}C$ -RMN لنتائج طيف على الإزاحة الكيميائية

(كربونيل المجموعة اللاكتونية) رابطة مضاعفة ، الحلقة  $CO$  (روابطة مضاعفة) ،  $1CH_2=$  رابطتين مضاعفتين . إذن لم يبقى لنا إلا وحدة واحدة عدم التشبع ، بما ( $2Csp^2+2CHsp^2$ ) اللاكتونية ، وبناء على ذلك فإن الهيكل سيسكوي تربيني  $sp^3$  أن ذرات الكربون المتبقية كلها مشبعة أي مهجنة يجب أن يتكون من حلقة واحدة وبالرجوع إلى البيبليوغرافيا فيما يخص المركبات الطبيعية المفصلة

نجد أن هذا المركب يمكن أن يكون جيرماكرانوليدا (*Centaurea*) من جنس القنطريون (germacranolide).

$\delta=4,56$ ,  $J=9,0$  وما يدعم هذه الفرضية هو وجود إشارة بروتون واحد على شكل إشارة ثلاثية عند . كما يبين نفس الطيف وجود C-6 المميز للجيرماكرانوليدات المغلقة في الموقع  $^1\text{H-RMN}$  في طيف قيمتي هاتين الإزاحتين تدل  $\delta=1,69$  و  $\delta=1,45$  إشارتين خاصة بمجموعي ميثيل السابقة الذكر عند CH على أنهما موجودتين فوق رابطتين ثنائيتين ومن جهة أخرى يبين نفس الطيف أن المجموعتين الإيثيليتين لا تتزوج مع بعضهما (إختلاف ثوابت الإقتران) مما يدل على أنهما غير موجودتين فوق نظرا لوجوده على شكل إشارة ثنائية H-5 نفس الرابطة المضاعفة ومنه يجب أن يكون أحدهما هو H-1 أما الآخر فلا بد أن يكون H-6 حيث أن قيمة ثابت التزاوج هذه تدل على أنه مجاور ل  $J=9,0$  C<sub>1</sub>- و C<sub>4</sub>-C<sub>5</sub> نظرا للإصطناع الحيوي للجيرماكرانوليدات المعرفة بوجود رابطتين ثنائيتين بين كل من (CH<sub>3</sub>) موجود فوق رابطة ثنائية حاملة لمجموعة ميثيل H-1 و H-5 ، مما سبق يتضح أن كل من C<sub>10</sub> C-14 و C-15 مع العلم مجموعتي الميثيل لا يمكن أن تكونا إلا مجموعة النتائج السابقة تقود إلى الصيغة التالية:

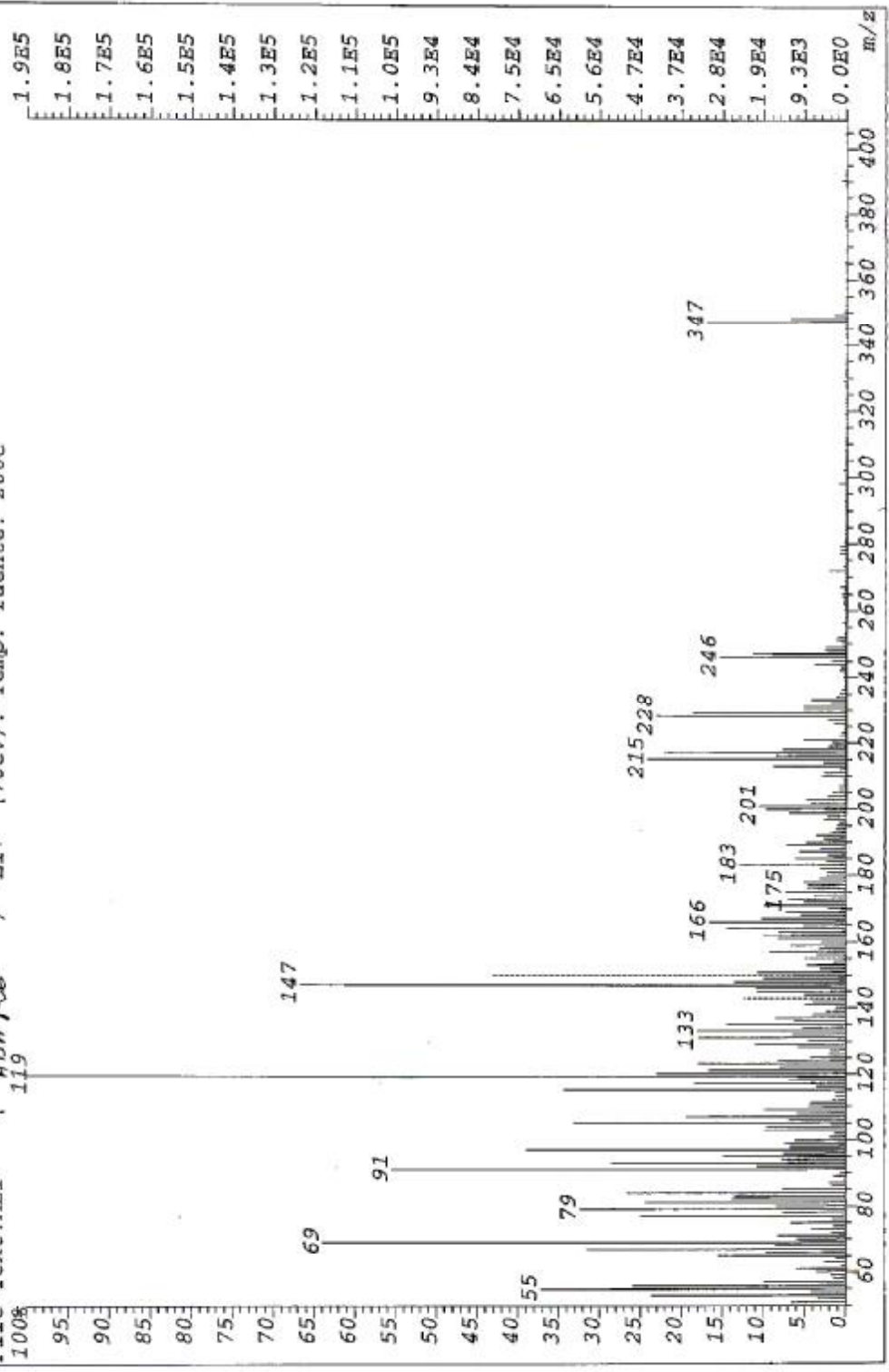


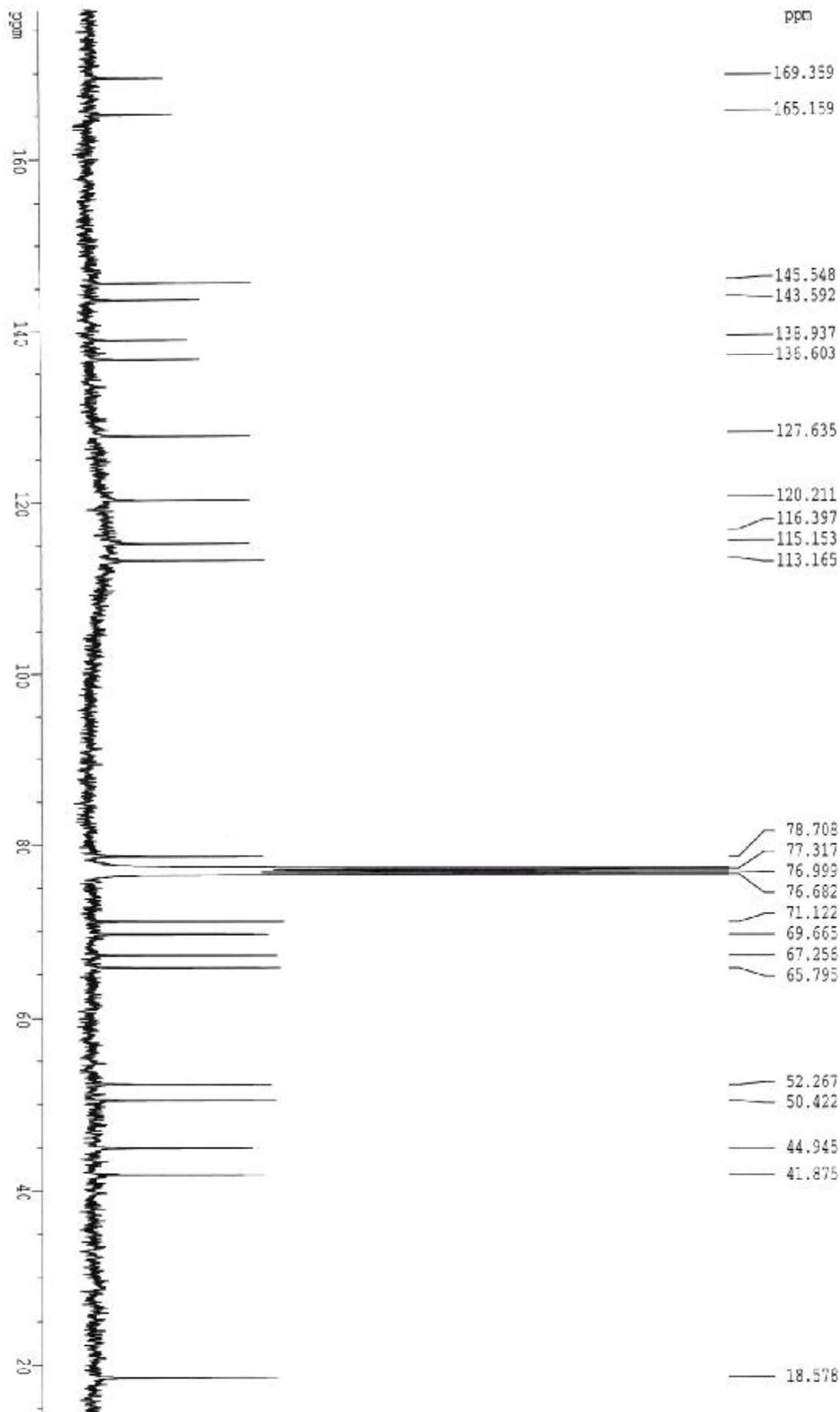
التي تدل على أنه  $J=9,0$  حيث H-7 و H-6 يستنتج من قيم ثوابت إقتران C-7 و C-6 إن تشكيل كل من  $\beta$ . يكون ذو إتجاه H-6 فإن  $\alpha$  يجب أن يكون ذو إتجاه H-7 إقتران محوري- محوري . بما أن  $6\beta\text{H},7\alpha\text{H-germacra-1(10),4(5),11(13)triene-6-12olide}$  أو Costunolide وعليه فإن هذا المركب هو

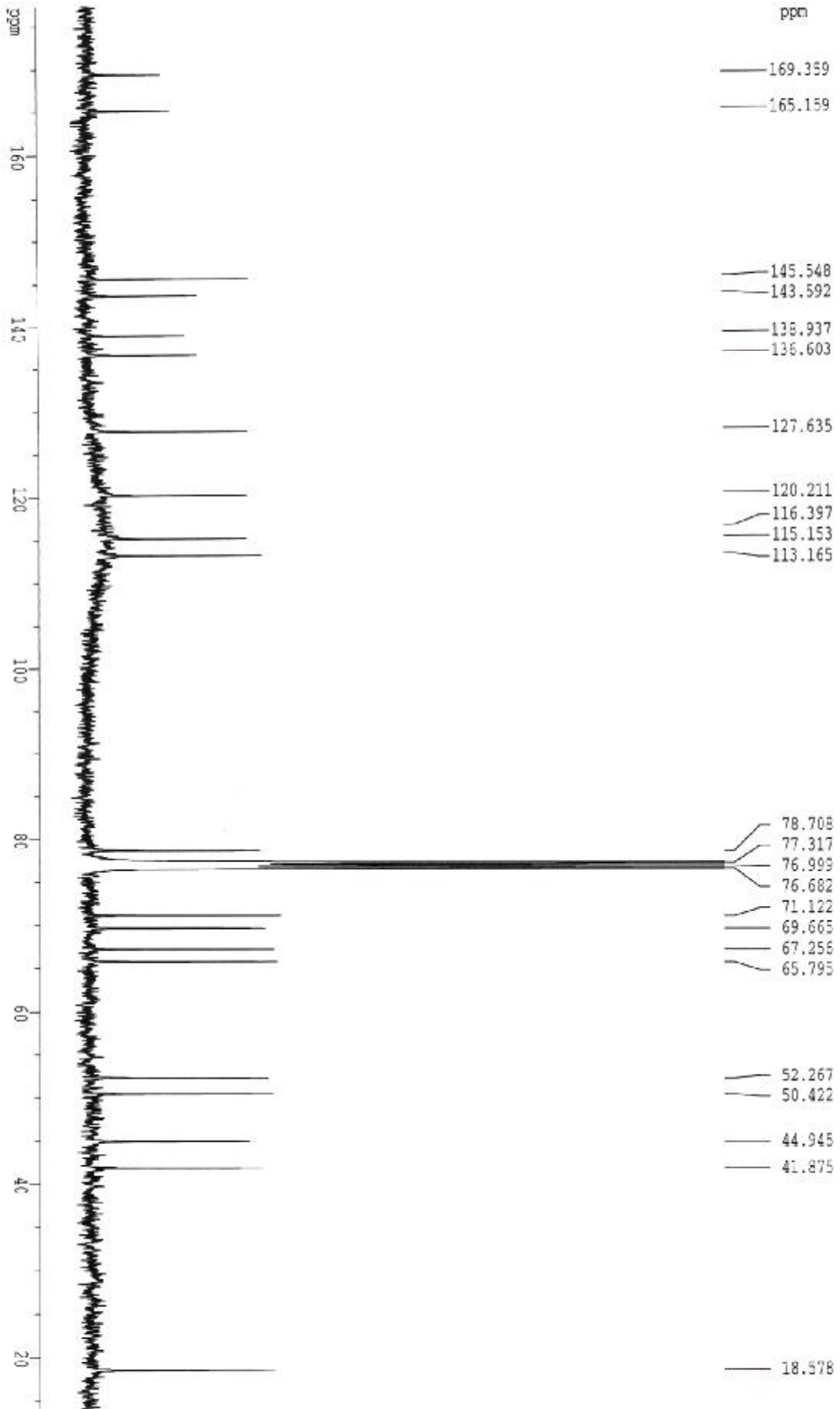
(*Centaurea*) حسب معلوماتنا البيبليوغرافية فإن هذا المركب يفصل لأول مرة من جنس القنطريون

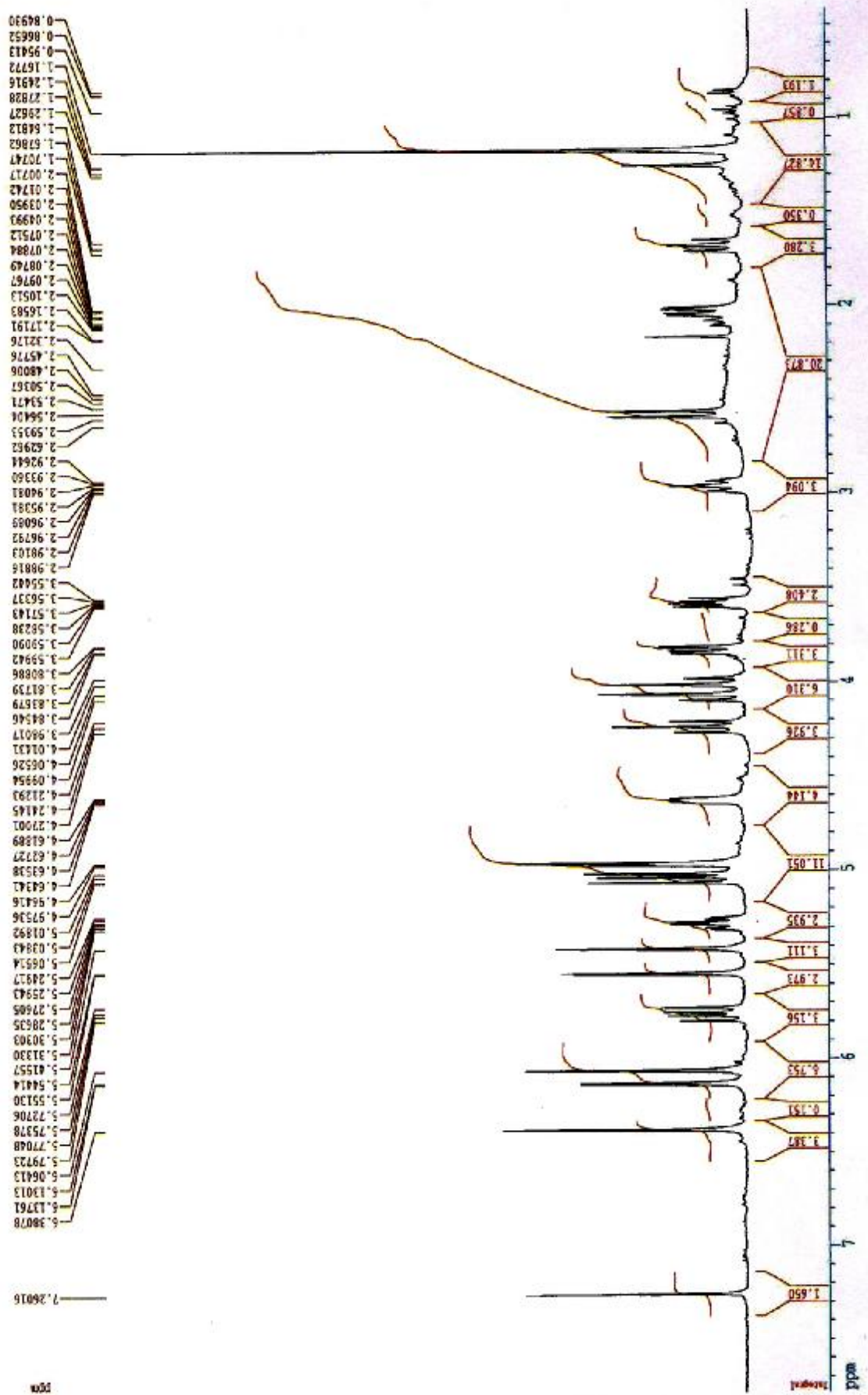


File: S682 Ident: 52\_58+54 Win 100PPM Acq: 4-JUL-2003 13:46:54 +2:44 Cal: S682  
AutoSpec EI+ Magnet BpM: 119 BpI: 186364 TIC: 5023122 Flags: ACC  
File Text: ALI ( *ABAFC* ) EI+ (70eV). Temp. fuente: 200C









aba-f-26

	C	$\delta_{[\text{ppm}]}$	DEPT (300 MHz)
1		127,3	CH
2		28,0	CH <sub>2</sub>
3		39,4	CH
4		141,4	C
5		127,0	CH
6		81,9	CH
7		50,4	CH
8		26,2	CH <sub>2</sub>
9		41,0	CH <sub>2</sub>
10		136,9	C
11		140,1	C
12		171,3	C
13		119,6	CH <sub>2</sub>
14		16,1	CH <sub>3</sub>
15		17,3	CH <sub>3</sub>

Table(5-11). <sup>13</sup>C NMR chemical shifts of compound **ABAF<sub>51</sub>**(75 MHz, CDCl<sub>3</sub>).

		1H	$\delta_{[\text{ppm}]}$	Multiplicity	$J_{[\text{HZ}]}$ proton(s)
1	4,85	m			
2	1,90 - 2,40	m			
2'	1,90 - 2,40	m			
3	1,90 - 2,40	m			
3'	1,90 - 2,40	m			
5	4,75	m			
6	4,55	dd	8,7;9,7		
7	1,90 – 2,40	m			
8	1,50 – 1,80	m			
8'	1,50 – 1,80	m			
9	1,90 – 2,40	m			
9'	1,90 – 2,40	m			
13	6,26	d	3,4		
13'	5,52	d	3,1		
14	1,45	s			
15	1,69	s			

Table(5-12).  $^1\text{H}$  NMR chemical shifts of compound ABAF<sub>51</sub> (300MHz,  $\text{CDCl}_3$ ).

## V..2 *Centaurea maroccana* :

أن هذه النبتة لم تجرى عليها أي دراسة *Centaurea maroccana* بينت الدراسة البيبليوغرافية لنبات فيتوكيميائية مما دفعنا إلى دراستها حيث فصلنا منها خمسة مركبات هي :

. ABAF<sub>142</sub>, ABAF<sub>141</sub>, ABAF<sub>26</sub> , ABAF<sub>28</sub> و ABAF<sub>222</sub>

### V.2..1 : تشخيص المركب ABAF<sub>28</sub>

( و الذي 41 كغاز متفاعل (الطيف رقم NH<sub>3</sub> بإستعمال (SMIC) تسجيل طيف الكتلة بتأين كيميائي الموافق M<sup>+</sup>=378. مما يؤدي إلى الأيون الجزيئي MH<sup>+</sup>=379 و (M+NH<sub>4</sub>)<sup>+</sup>=396 أعطى الأيونين C<sub>20</sub>H<sub>26</sub>O<sub>7</sub> للصيغة الجزيئية المجملة الناتجة  $m/z$  الذي يعطي قيم 42) الطيف رقم (SMIEHR) طيف الكتلة بتصادم إلكتروني عالي الأداء عن الشظايا التالية

الناتجة عن فقدان الجذر (M<sup>+</sup> - C<sub>5</sub>H<sub>7</sub>O<sub>4</sub>) المرافقة للشظية (24,51%)  $m/z=247,1336$ : القمتان فقدان الجزيئ الناتجة عن (M<sup>+</sup> - C<sub>5</sub>H<sub>8</sub>O<sub>4</sub>) المرافقة للشظية (23,73%)  $m/z=246,1269$  ، C<sub>5</sub>H<sub>7</sub>O<sub>4</sub> ، الذي هو عبارة عن حمض كربوكسيلي ، تدلان على أن الهيكل السييسكوي تربييني مستبدل C<sub>5</sub>H<sub>8</sub>O<sub>4</sub> بسلسلة جانبية صيغتها المجملة هي C<sub>5</sub>H<sub>7</sub>O<sub>4</sub> تدل على أن السلسلة الجانبية تملك (M<sup>+</sup> - CH<sub>2</sub>OH) المرافقة للشظية (13,94%)  $m/z=347,1591$ : القمة (OH) مجموعة هيدروكسيل

، (M<sup>+</sup> - C<sub>5</sub>H<sub>7</sub>O<sub>4</sub> - H<sub>2</sub>O) المرافقة للشظية (32,18%)  $m/z=228,1171$ : القمتان ، تؤكد وجود مجموعة هيدروكسيل (M<sup>+</sup> - C<sub>5</sub>H<sub>8</sub>O<sub>4</sub> - H<sub>2</sub>O) المرافقة للشظية (22,57%)  $m/z=229,1235$  فوق الهيكل السييسكوي تربييني (OH).

( في الميثانول يعطي قمة أعظمية عند 43 ) ( الطيف رقم UV طيف الأشعة فوق البنفسجية ) غير مشبعة  $\alpha$ ,  $\beta$  لاكتون -  $\gamma$  )، قيمة هذا الإمتصاص تقود إلى وجود  $\lambda_{max} = 227 \text{ nm}$  (نانومتر 227) [159, 158] .

تميز <sup>1</sup>سم<sup>-1</sup> (1759) عصابة إمتصاص عند 44) (الطيف رقم IIR الأشعة تحت الحمراء (يظهر طيف كما [163] تدل على وجود أستر غير مشبع <sup>1</sup>سم<sup>-1</sup> 1705 وعصابة عند [162-161] الوظيفة اللاكتونية راجعة لوظيفة كحولية. <sup>1</sup>سم<sup>-1</sup> 3348 يبين نفس الطيف عصابة عند

يبين أن المركب يتكون من (5-13) الذي دونت نتائجه في الجدول 45) ( الطيف رقم (RMN-<sup>13</sup>C) طيف ذرة كربون (الصيغة الجزيئية المجملة ) فيحتمل أن 20 وبما أن المركب يتكون من ذرة كربون 18. حيث تم التأكد من ذلك (CHCl<sub>3</sub>+MeOH) تكون الذرتين المتبقيتين مختفية تحت إشارتي المذيب (13-5) الذي دونت نتائجه في الجدول 46) ( الطيف رقم ( HSQC بواسطة طيف تجربة

يبين (5-13) الذي دونت نتائجه في الجدول (47) الطيف رقم ( 90 et 135 DEPT) أطراف تجارب  $5\text{CH}_2\text{sp}^3$  وإيثيلينية ( $2\text{CH}_2$ ) منها ( $\text{CH}_2$ ) مجموعات ميثيلين 7، ( $1\text{CH}_3$ ) وجود مجموعة ميثيل واحدة إيثيلينية و  $2\text{CH}$  منها ( $6\text{CH}$ ) مجموعات ميثين 6 ،  $\delta=65,7$  و  $\delta=60,7$  اثنتين منها مؤكسجين عند  $\text{CHsp}^3$  و واحدة  $\delta=70,8$  و  $\delta=73,1$  ،  $\delta=77,0$  ثلاثة منها مؤكسجة عند  $\text{sp}^3$  أربعة مهجنة  $\text{CO}$  و واحدة هي مجموعة  $\text{sp}^2$  ذرات كربون رباعية . أربعة منها مهجنة 6 يؤكد وجود  $\delta=53,0$  عند  $\text{CO}$  غير مشبع والأخرى هي مجموعة  $\alpha, \beta$  خاصة بمجموعة أستر مترافق  $\delta=165,0$  عند  $\text{CO}$  يمكن نسبها إلى مجموعة  $\delta=170,4$

غير مشبعة  $\alpha, \beta$  لاكتون  $\gamma$

. بالإعتماد  $\Omega=20-26/2+1=8$ : عند حساب عدد الروابط الثنائية والحلقات (وحدات عدم التشبع) نجد

يمكننا تصنيف ما يلي  $\text{RMN-}^{13}\text{C}$  لنتائج طيف على الإزاحة الكيميائية

الخاصة بالمجموعة الأسترية (رابطة  $1\text{CO}$  (كربونيل المجموعة اللاكتونية) رابطة مضاعفة  $1\text{CO}$ ، وحدات 5 رابطتين مضاعفتين ، إلى هنا نكون قد حددنا ( $2\text{C}+=2\text{CH}_2=$ ) مضاعفة) الحلقة اللاكتونية ، عدم التشبع .

مما  $\text{Cosy}(^1\text{H}-^1\text{H})$  وذلك حسب طيف  $\delta=4,94$  و  $\delta=4,76$  إيثيلينية غير متزاوجة عند  $2\text{CH}$  وجود رباعية إيثيلينية يقود بالضرورة إلى رابطتين مضاعفتين  $2\text{C}$  يفسر أنهما غير متجاورتين بالإضافة إلى إذن لم يبقى لنا إلا وحدة واحدة عدم التشبع ، بما أن وحدات عدم التشبع 7. ويصبح المجموع بذلك وبناء على ذلك فإن الهيكل السييسكوي تربيني يجب  $\text{sp}^3$  ذرات الكربون المتبقية كلها مشبعة أي مهجنة أن يتكون من حلقة واحدة وبالرجوع إلى البيبليوغرافيا فيما يخص المركبات الطبيعية المفصولة من نجد أن هذا المركب يمكن أن يكون جيرماكرانوليدا (*Centaurea*) جنس القنطريون (germacranolide).

وجود إشارتين (5-14) الذي دونت نتائجه في الجدول (48) الطيف رقم ( $\text{RMN-}^1\text{H}$ ) يبين طيف  $\delta=5,72\text{ d}, J=2,8$  و  $\delta=6,24\text{ d}, J=3,4$  مميزتين خاصة ببروتونات رابطة مضاعفة خارج الحلقة . عند خاصة بلاكتون  $\text{CO}$  مترافقة مع  $\text{CH}_2=$  و التي تبين وجود تزواج أليلي مميز لبروتونات مجموعة  $\delta$  على النرتيب  $\text{H-}13'$  و  $\text{H-}13$  سييسكوي تربيني ، هاتين الإشارتين ينسبان إلى البروتونين و بمعرفة (5-14) الذي دونت نتائجه في الجدول (49) الطيف رقم ( $\text{Cosy}(^1\text{H}-^1\text{H})$ ) بالرجوع إلى طيف ( $\text{Cosy}(^1\text{H}-^1\text{H})$ ) يتعالق في طيف ( $\text{H-}7$ ) هذا البروتون  $\delta=3,05$  عند  $\text{H-}7$  يمكننا تحديد  $\text{H-}13'$  و  $\text{H-}13$  قيمة هاتين الإزاحتين تدل على أنهما محمولتين من قبل ذرتي  $\delta=5,18$  و  $\delta=5,12$  مع بروتونين عند ، كما أن أحدهما يتعالق مع بروتون آخر عند  $\text{H-}8$  و  $\text{H-}6$  كربون مؤكسجين ولا يمكن أن يكونا إلا قيمة هذه الإزاحة الكيميائية تدل على أنه لا يمكن أن  $J=9,0$  الذي يظهر على شكل إشارة ثنائية  $\delta=4,76$



حيث يظهر هذا الأخير على شكل  $\delta=5,18$  عند H-6 و  $\delta=5,12$  عند H-8 ومنه نحدد H-5 يكون إلا  $J=9,0$  إشارة ثلاثية

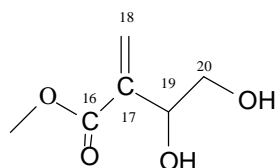
المميزة لكربون غلق الحلقة  $\delta=77,0$  و الكربون عند H-6 وجود تعالق بين HSQC يبين طيف تجربة H-8 وبالاعتماد على  $\text{Cosy}(^1\text{H}-^1\text{H})$ . بالرجوع إلى طيف C-6 اللاكتونية مما يقود إلى غلقها في الموقع  $\delta=2,52$  عند H-9' و  $\delta=2,52$  عند H-9 يمكننا تحديد إشارة كل من

مما يدل H-8 لا يتعالقان إلا مع بعضهما ومع H-9' و H-9 نلاحظ في نفس الطيف أن البروتونين  $\text{RMN-}^{13}\text{C}$  لا تحمل أي بروتون أي أنه كربون رباعي لكن المعلومات السابقة (طيف C-10 على أن إيثيلينية رباعية وهي مجاورة C-10 وعليه فإن  $\text{sp}^2$  تبين أن كل ذرات الكربون الرباعية هي من النوع عند H-1 هو البروتون إيثيليني وهكذا نكون قد حددنا H-1 إيثيلينية هذا ما يقود إلى أن لمجموعة CH يجب أن تكون على شكل C-14 مما يعني أن  $(\text{CH}_3)$  ويتعالق مع بروتونات مجموعة ميثيل  $\delta=4,94$  (ميثيل  $(\text{CH}_3)$ ).

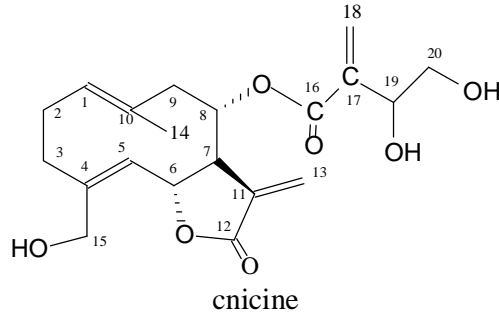
الذين يقودا إلى تحديد كل  $\delta=1,96$  عند H-2' و  $\delta=2,19$  عند H-2 يؤدي بدوره إلى تعيين كل من H-1 غير مستبدلتين C-2 و C-3 مما يعني أن ذرتي الكربون  $\delta=1,93$  عند H-3' و  $\delta=2,57$  عند H-3 من لأن الهيكل السييسكوي تربيني يحتوي  $(\text{CH}_2\text{OH})$  يجب أن تكون من الشكل C-15 وهذا ما يقود إلى أن C-8. إلى هنا لم يبقى لنا سوى تحديد المستبدل المحمول من قبل (OH) على مجموعة هيدروكسيل تبعا لمعطيات أطيايف الكتلة ، الأشعة تحت  $\text{C}_5\text{H}_7\text{O}_4$  يحوي هذا المستبدل ذو الصيغة الجزيئية المجملة على وظيفة أستر مترافق مع رابطة مضاعفة التي لا يمكن أن تكون إلا  $\text{RMN-}^{13}\text{C}$  الحمراء و مشكلتين بذلك  $(\text{CH}_2\text{OH})$  و  $(\text{CHOH})$  المجموعة الإيثيلينية المتبقية ويحوي كذلك على المجموعتين (إشارة ثنائية  $J=3,4$  ;  $J=6,4$  ب  $\delta=4,51$  عند  $\text{RMN-}^1\text{H}$  الذي يظهر واضحا في طيف AMX النظام  $J=6,4$  ;  $J=11,2$  ب  $\delta=3,49$  (إشارة ثنائية -ثنائية) ، عند  $J=3,4$  ;  $J=11,2$  ب  $\delta=3,77$  ثنائية) ، عند على الترتيب H-20' و H-20 ، H-19 (إشارة ثنائية -ثنائية) ، توافق

ومعرفتنا لجميع البروتونات سمح بتحديد كل ذرات الكربون HSQC بالاعتماد على طيف تجربة (13-5). الحاملة لها حيث دونت هذه النتائج في الجدول

جملة هذه المعطيات تقود إلى المستبدل



: هي  $\text{ABAF}_{28}$  وهكذا تكون الصيغة الجزيئية المفصلة للمركب



تؤكد هذه (5-13) الذي دونت نتائجه في الجدول (50) الطيف رقم ( HMBC نتائج تجارب طيف الصيغة .

مما يعني أن  $J=9,0$  ، H-6 محددة بواسطة الإشارة الثلاثية ل C-7 و C-6 ، C-5 الكيمياء الفراغية عند يكون H-6 فإن  $\alpha$  في الوضع H-7 يكونان في وضع محوري بالنسبة له و لما كان H-5 و H-7 كل من  $\alpha$  يكون H-5 و  $\beta$ .

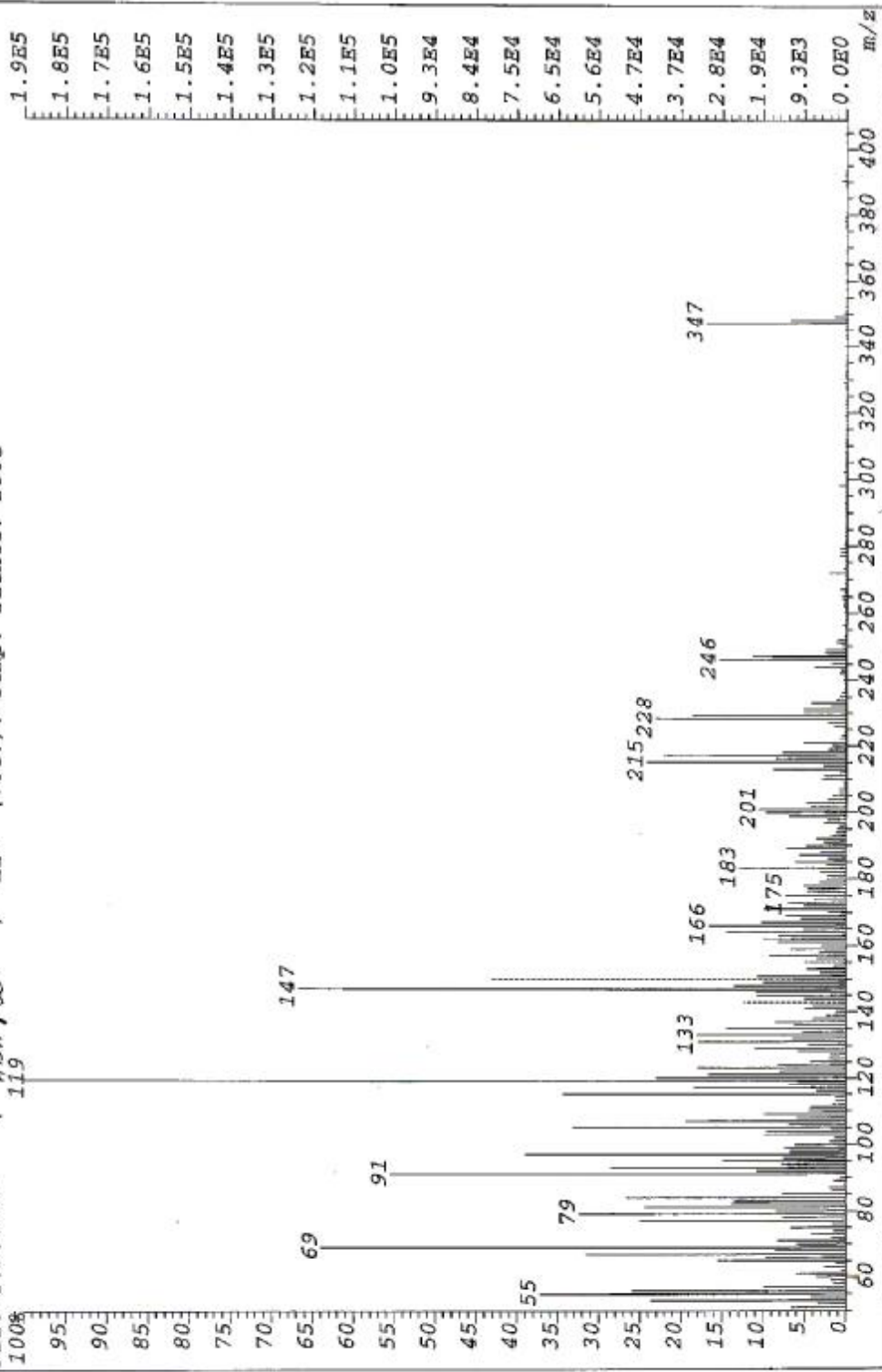
يجب H-8 تدل على أن  $J=11,8$  ;  $J=11,4$  ،  $\delta=2,52$  عند H-9ax إن ثابت الإقتران الخاصة بالبروتون يجب أن يكون في H-8 . فإن  $\alpha$  H-9ax ولما كان H-9ax أن يكون في وضع محوري بالنسبة ل  $\beta$  الوضع

$\alpha$ . يجب أن يكون في الوضع C-8 وعليه فإن المستبدل (مجموعة الأستر) المحمول من قبل الكربون

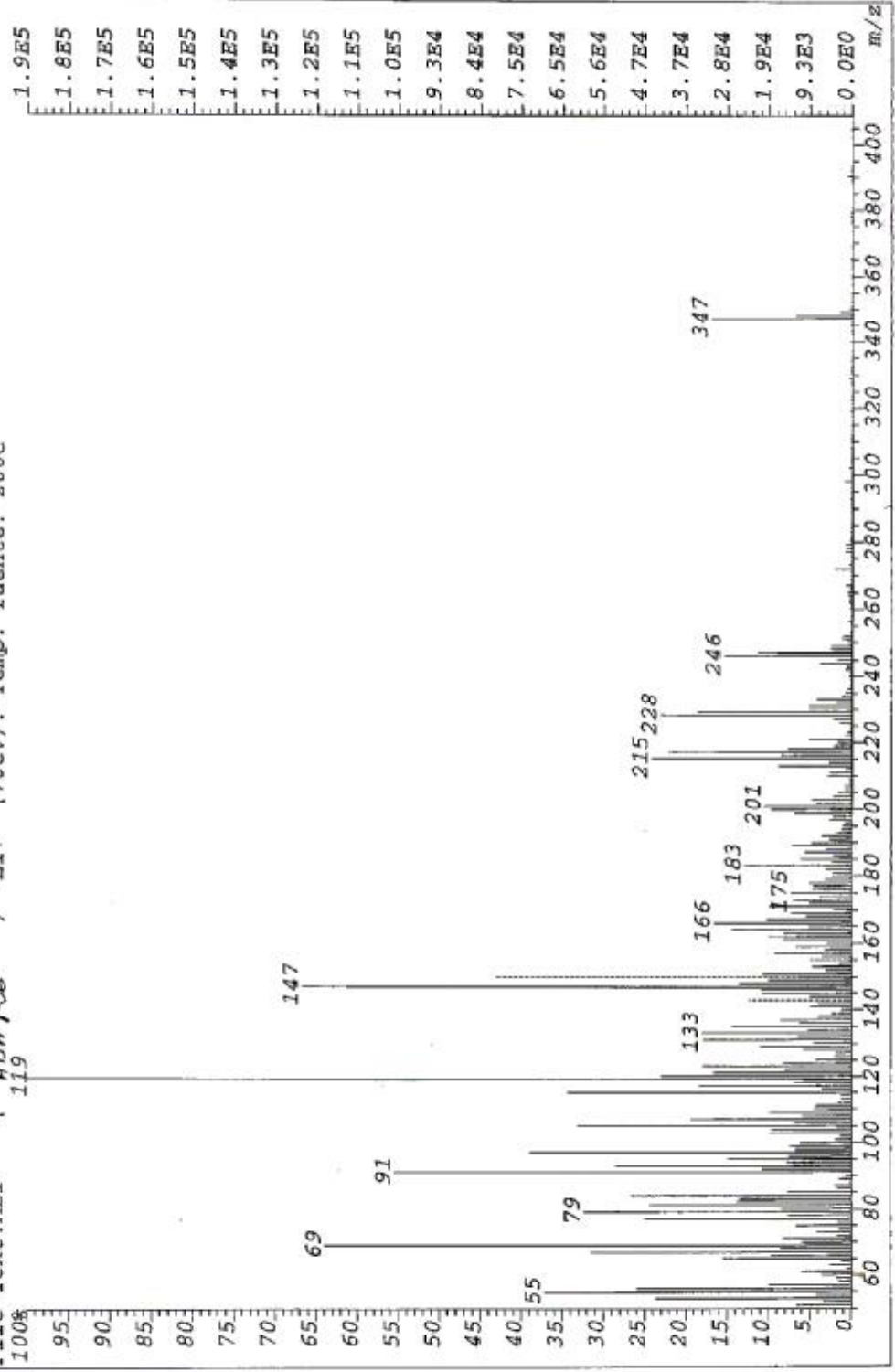
غير معروفة في البيبليوغرافيا . C-19 إن البنية الفراغية ل

. *Centaurea* هذا المركب معروف بسميته العالية ووجوده بكثرة عند جنس *cnicine*

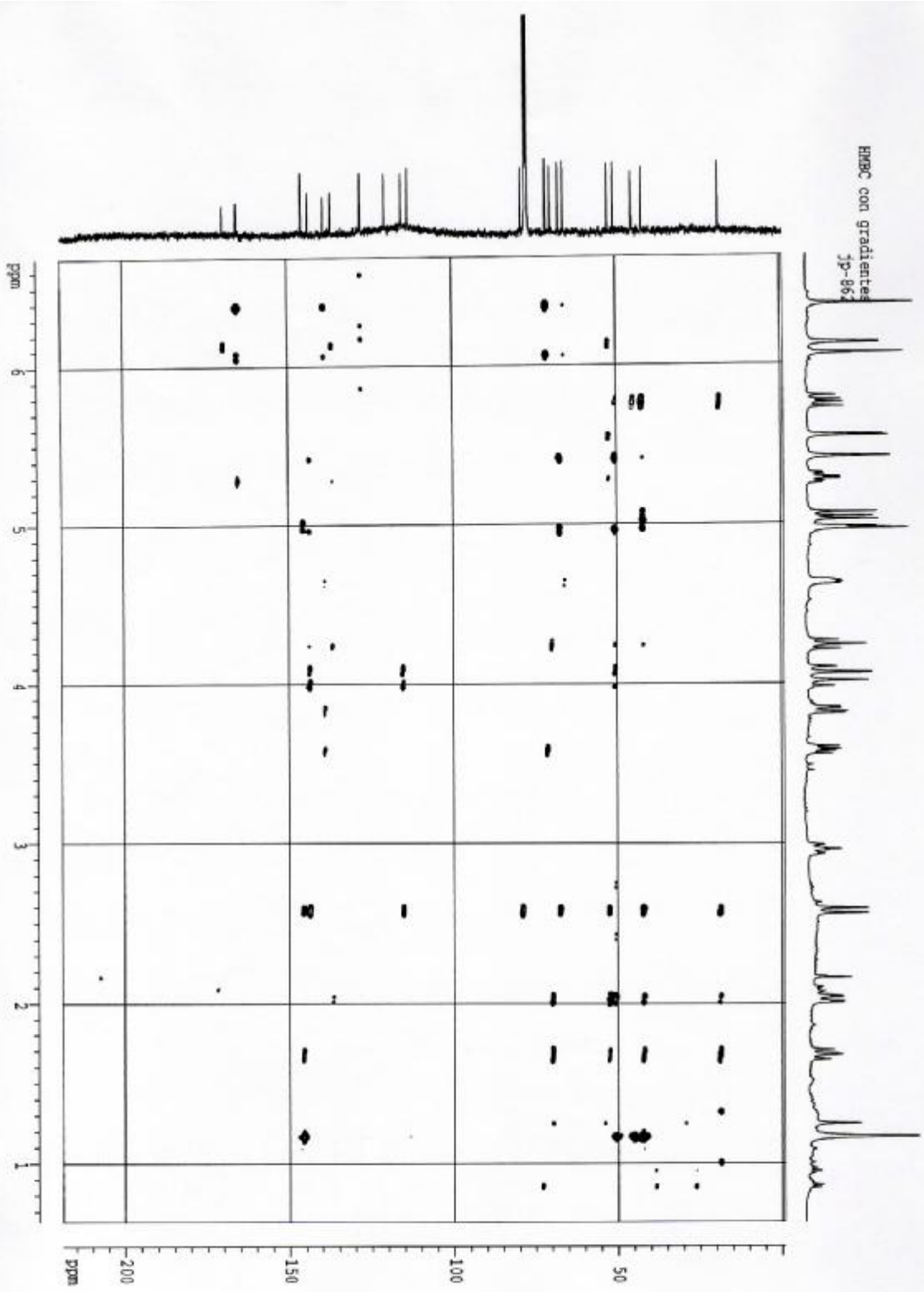
File: S682 Ident: 52\_58+54 Win 100PPM Acq: 4-JUL-2003 13:46:54 +2:44 Cal: S682  
 AutoSpec EI+ Magnet BpM: 119 BpI: 186364 TIC: 5023122 Flags: ACC  
 File Text: ALI ( *ABRAC* ) EI+ (70eV). Temp. fuente: 200C

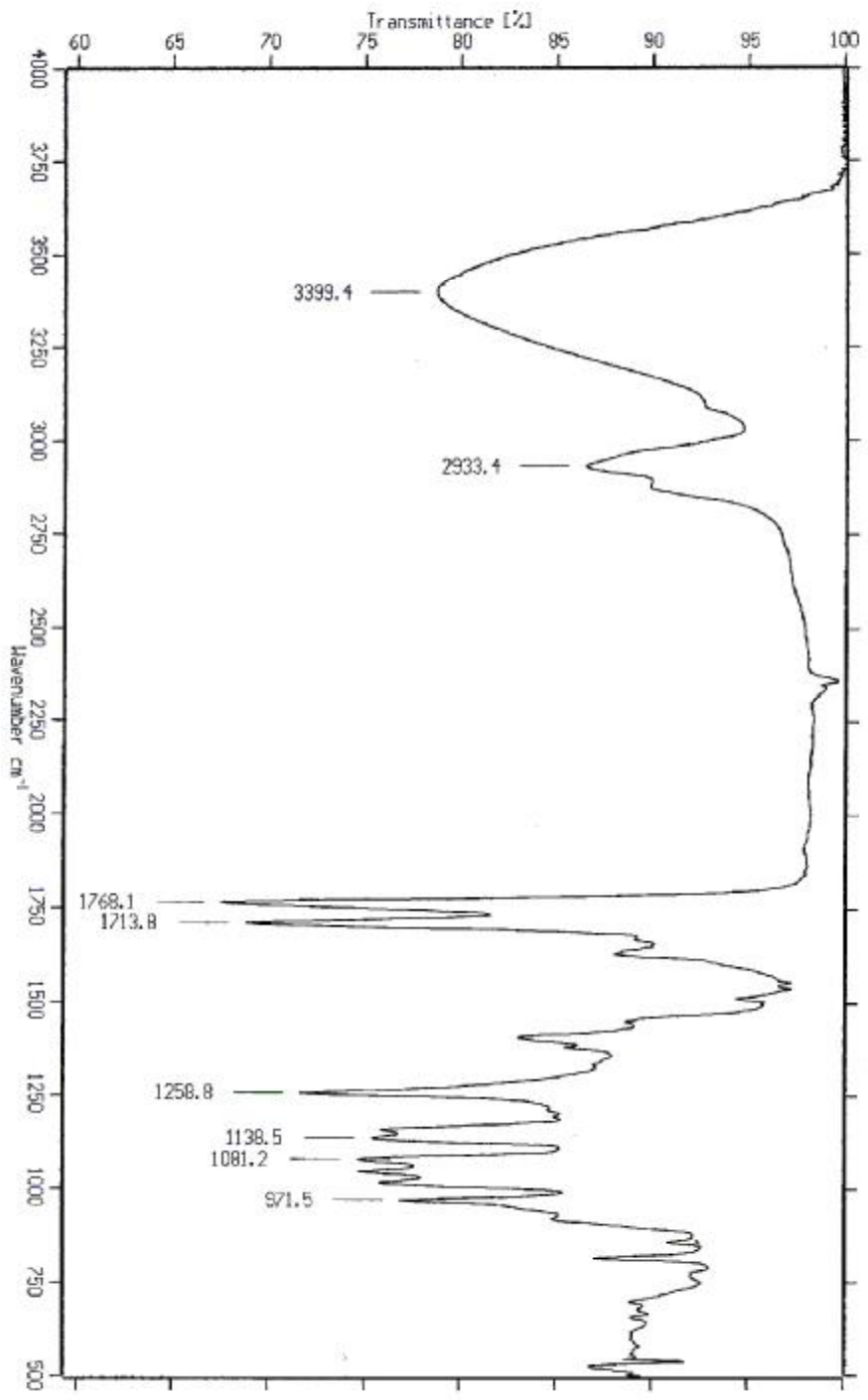


File: S682 Ident: 52\_58+54 Win 100PPM Acq: 4-JUL-2003 13:46:54 +2:44 Cal: S682  
AutoSpec EI+ Magnet BpM: 119 BpI: 186364 TIC: 5023122 Flags: ACC  
File Text: ALI ( *ABH* ) EI+ (70eV). Temp. fuente: 200C

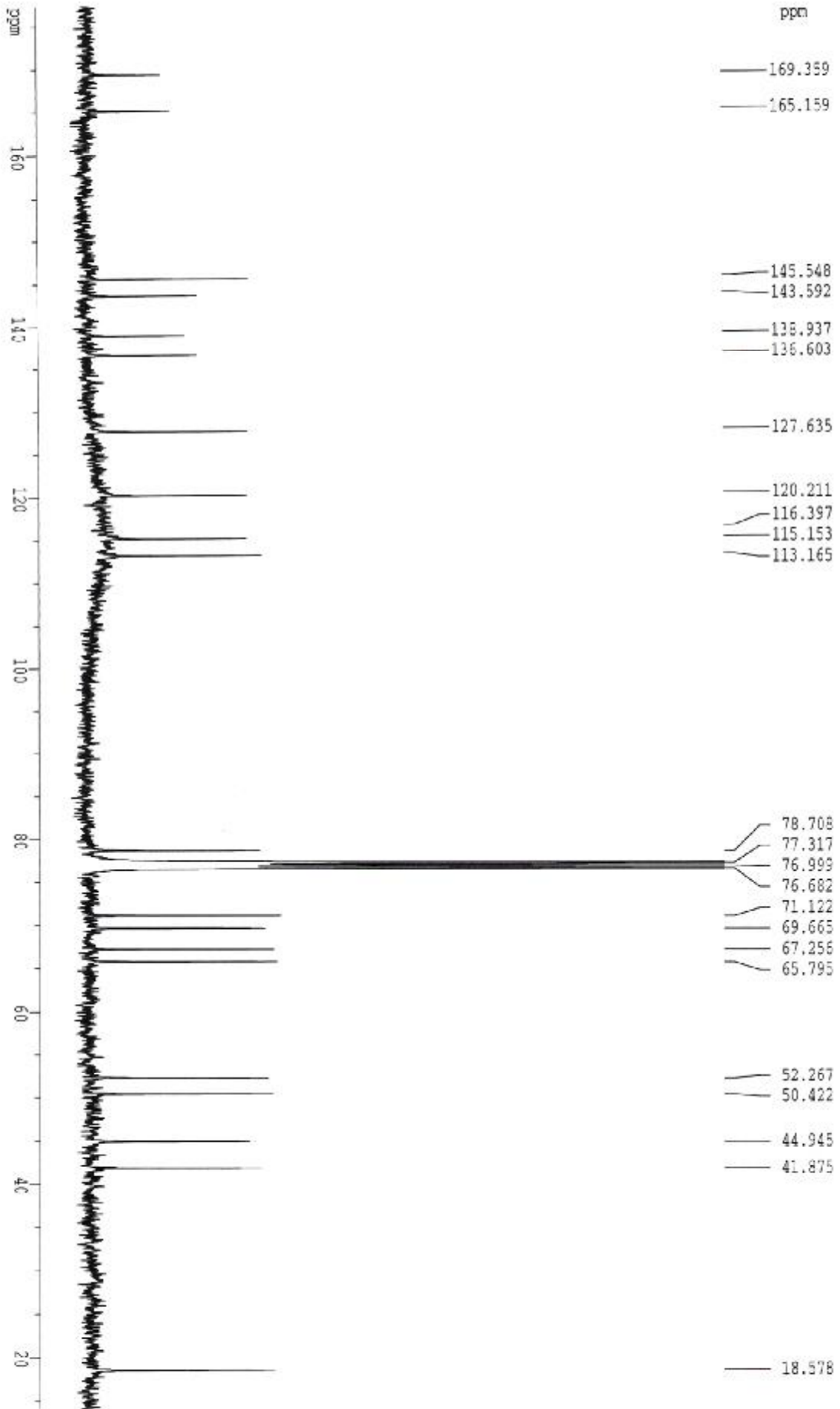


HMBC con gradientes  
jp-862





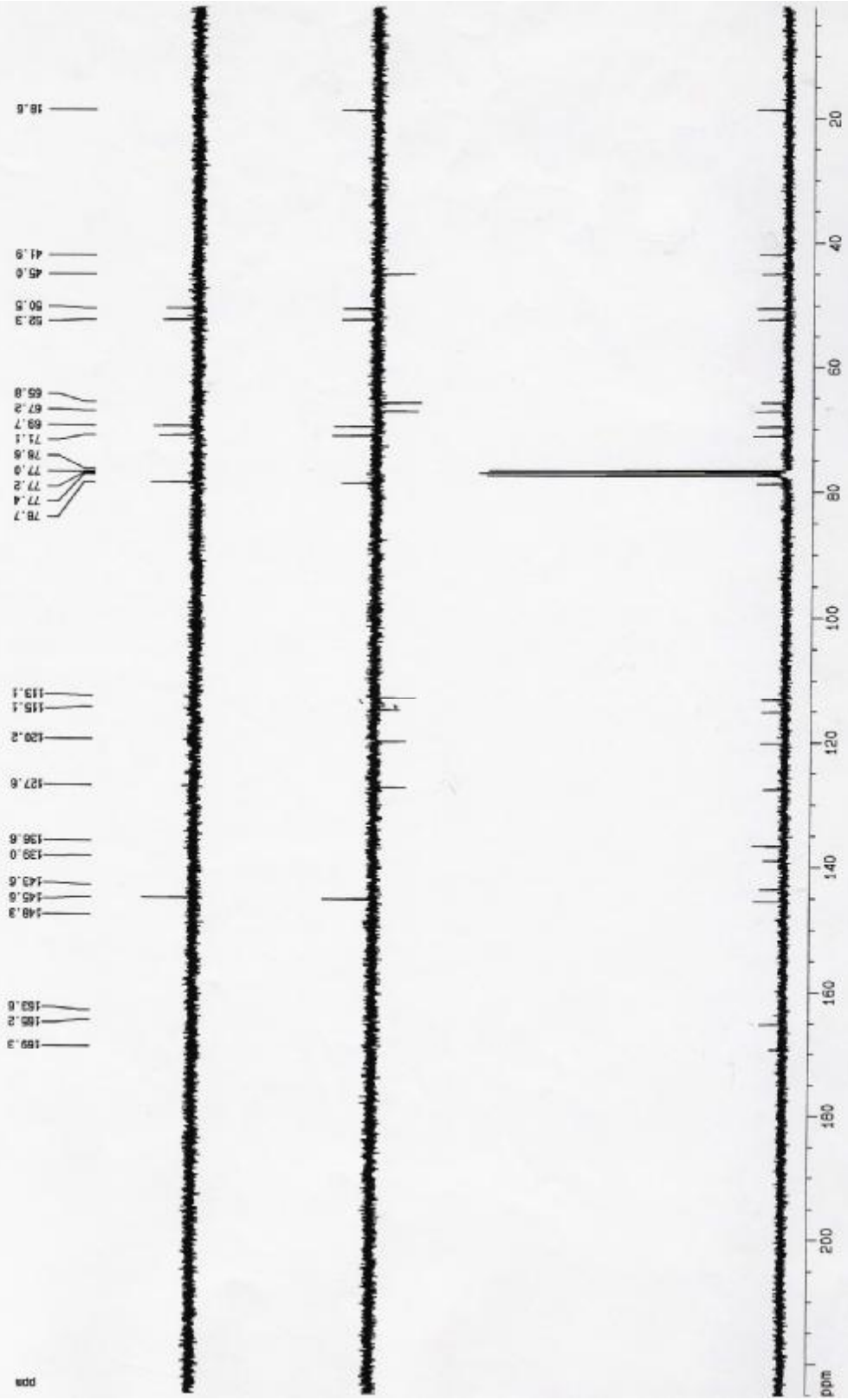
Sample : Aha-i-26	Frequency Range : 6999.9799 - 399.1724	Measured on : 4/7/2003
Technique : NaCl(film)	Resolution : 4.0	Instrument : IFS55 , Sample Scans : 16
Customer : Francisco	Zero Filling : 2	Acquisition : Double Sided, Forward-Backward

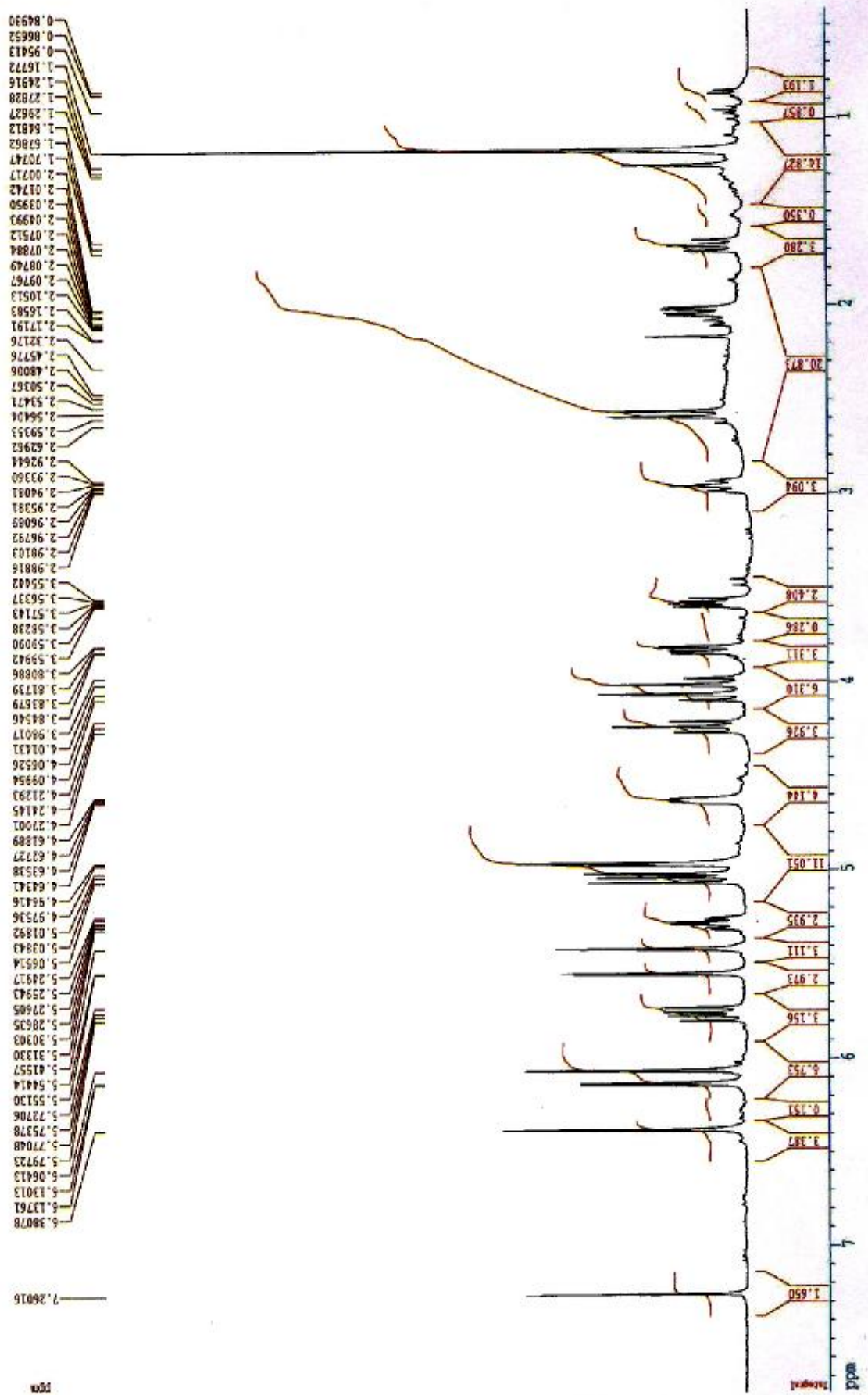






abe-f26 5 6 7 1 /v 1ub0

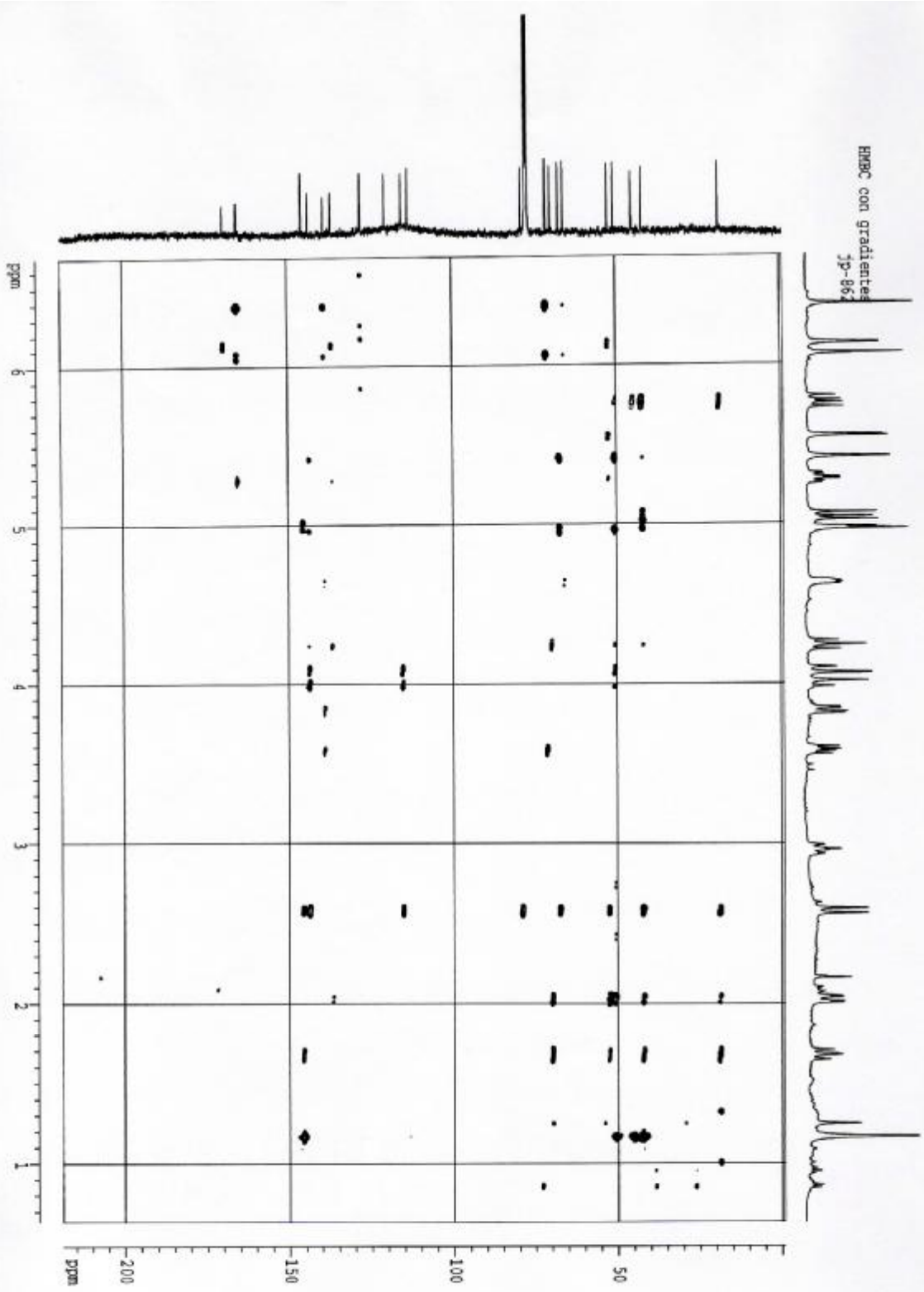




aba-f-26



HMBC con gradientes  
jp-862



C	$\delta_{[\text{ppm}]}$	DEPT and HSQC (400 MHz)	HMBC with H (400 MHz)
1	129,7	CH	2, 9, 9', 14
2	26,1	CH <sub>2</sub>	3, 3'
3	34,5	CH <sub>2</sub>	5, 15, 15'
4	144,6	C	2, 3, 5, 6, 15 15'
5	127,9	CH	3, 15, 15'
6	77,05	CH	----
7	53,0	CH	5, 9, 9', 13, 13'
8	73,05	CH	6, 9, 9'
9	49,1	CH <sub>2</sub>	1, 14
10	132,0	C	2, 9, 9', 14
11	135,3	C	13
12	170,4	C	13, 13'
13	125,5	CH <sub>2</sub>	----
14	16,6	CH <sub>3</sub>	1, 9, 9'
15	60,7	CH <sub>2</sub>	3, 5
16	165,0	C	18, 18, 19
17	139,6	CH <sub>3</sub>	18, 18', 19, 20, 20'
18	127,0	CH <sub>2</sub>	19
19	70,7	CH	18, 18, 20, 20'
20	65,7	CH <sub>2</sub>	18, 18', 19

Table(5-13). <sup>13</sup>C NMR chemical shifts of compound **ABAF<sub>28</sub>** (100 MHz, CDCl<sub>3</sub>).

	1H	$\delta_{[\text{ppm}]}$	Multiplicity	$J_{[\text{Hz}]}$	Coupling proton(s) <sup>†</sup> proton(s)
1	4,94	dd	7,2; 8,1		2, 14
2	2,19	m			1, 3, 3'
2'	1,96	m			1, 2, 3
3	2,57	m			2, 2'
3'	1,93	m			2, 2'
5	4,76	d	9,7		6, 15
6	5,12	t	9,0		5, 7
7	3,05	m			6, 8, 13, 13'
8	5,18	m			7, 9
9	2,52	m			8, 9'
9'	2,52	brdd	11,8; 11,4		8, 9
13	6,13	d	3,4		7
13'	5,54	d	2,8		7
14	1,16	brs			1
15	4,05	d	14,2		5, 15'
15'	4,24	d	14,2		15
18	6,31	brs			18', 19
18'	6,04	brs			18
19	4,51	dd	3,4; 6,4		20, 20'
20	3,77	dd	3,4; 11,2		19, 20'
20'	3,49	dd	6,4; 11,2		19, 20

Table(5-14). <sup>1</sup>H NMR chemical shifts of compound ABAF<sub>28</sub> (400 MHz, CDCl<sub>3</sub>).

## 2.V..2 : تشخيص المركب ABAF<sub>26</sub>

تميز <sup>1</sup> سم<sup>-1</sup> (1714) عصابة إمتصاص عند 51) (الطيف رقم IIR الأشعة تحت الحمراء (يظهر طيف تدل على وجود أستر غير مشبع <sup>1</sup> سم<sup>-1</sup> 1768 وعصابة إمتصاص عند [160-161] الوظيفة اللاكتونية راجعة لوظيفة كحولية. <sup>1</sup> سم<sup>-1</sup> 3399 كما يبين نفس الطيف عصابة عند [162] يبين أن المركب يتكون من (5-15) الذي دونت نتائجه في الجدول 52) (الطيف رقم (RMN-<sup>13</sup>C) طيف ذرة كربون 20.

يبين (5-15) الذي دونت نتائجه في الجدول 53) (الطيف رقم ( DEPT 135 et 90) أطياف تجارب <sup>3</sup>CH<sub>2</sub>sp<sup>3</sup> إيثيلينية (4CH<sub>2</sub>) منها (CH<sub>2</sub>) مجموعات ميثيلين 7، (1CH<sub>3</sub>) وجود مجموعة ميثيل واحدة إيثيلينية 1CH منها (6CH) مجموعات ميثين 6، δ=67,2 و δ=65,8 إثنين منها مؤكسجين عند ثلاثة منها مؤكسجة عند sp<sup>3</sup> وخمسة مهجنة يمكن δ=169,3 ذرات كربون رباعية. إحداهما تظهر عند 6 يؤكد وجود δ=78,7 و δ=71,1 و δ=69,7 خاصة بمجموعة δ=165,2 غير مشبع وكذلك كربون عند α, β نسبها إلى مجموعة كربونيل لاكتون غير مشبع، أما الأربعة المتبقية فمنها ثلاثة إيثيلينية رباعية وواحدة مهجنة α, β لأستر مترافق CO sp<sup>3</sup>.

يعطي إشارة عند 54) (الطيف رقم (SMIEHR) طيف الكتلة بتصادم إلكتروني عالي الأداء بما أنها تتكون من الكربون C<sub>19</sub>H<sub>23</sub>O<sub>6</sub> المرافقة للصيغة المجملة (17,00%) m/z=347,1493، الهيدروجين والأكسجين فقط وقيمتها فردية فلا يمكن أن تكون مرافقة لأيون جزيئي. كما تبين لا يمكن أن تأتي من C<sub>15</sub>H<sub>18</sub>O<sub>3</sub> التي توافق الصيغة المجملة (15,37%) m/z=246,1184 الإشارة لأنها زوجية وبالتالي فإن كلا الإشارتين تأتي من أيون جزيئي لا يظهر في الطيف C<sub>19</sub>H<sub>23</sub>O<sub>6</sub> الشظية لللاكتونات السييسكوي تربينية. (thermo instabilité) وهذا متوقع نظرا لعدم الإستقرار الحراري فإنها تأتي C<sub>15</sub>H<sub>18</sub>O<sub>3</sub> جذرا صغيرا نسبيا. أما الشظية تأتي من الأيون الجزيئي عندما يفقد C<sub>19</sub>H<sub>23</sub>O<sub>6</sub> زائد الجذر الصغير C<sub>4</sub>H<sub>5</sub>O<sub>3</sub> من الأيون الجزيئي بفقدانه سلسلة جانبية تحتوي على الأقل على أنها خاصة بالهيكل السييسكوي تربيني المستبدل بمجموعة C<sub>15</sub>H<sub>18</sub>O<sub>3</sub> تبين الصيغة المجملة (23,13%) 228,1154 هيدروكسيل هذه الأخيرة واضحة بوجود الإشارة (228=246-18) حيث (23,13%) 228,1154 هيدروكسيل هذه الأخيرة واضحة بوجود الإشارة 2CO مؤكسجة و 5sp<sup>3</sup> ذرة كربون منها 20 نجد أن المركب يتكون من RMN-<sup>13</sup>C بالرجوع إلى نتائج غير α, β غير مشبع و الأخرى مميزة لأستر مترافق α, β وواحدة خاصة بمجموعة كربونيل لاكتون مشبع

تأتي من C<sub>19</sub>H<sub>23</sub>O<sub>6</sub> كربون و بما أن الشظية 20 ذرات أكسجين و 7 و عليه يكون هذا الجزيئي حامل الأيون الجزيئي ناقص جذر فإن هذا الجذر يجب أن يحتوي على ذرة كربون وذرة أكسجين أي C<sub>1</sub>H<sub>x</sub>O<sub>1</sub> صيغته المجملة هي

مرافقة لإعادة ترتيب الأيون الجزيئي بفقدان حمض كربوكسيلي ( $m/z=246,1184(13,94\%)$  الإشارة عند من الهيكل IH نظرا لوجود أستر مترافق كمستبدل في هذا الجزيء . هذا الإنشطار لا يتم إلا بتحويل السيسكوي تربيني إلى ذرة الأكسجين الكحولي حتى يتكون الحمض أي أن في الحقيقة هذا الجزيء ما الحامل لأستر مترافق كمستبدل ،  $C_{15}H_{20}O_3$  هو إلا اللاكتون السيسكوي تربيني ذو الصيغة المجملة وحدات عدم التشعب .6من هذه الصيغة يمكننا أن نستنتج أن الهيكل السيسكوي تربيني يحتوي على : يمكننا أن نصنف ما يلي  $^{13}C$ -RMN بالإعتماد على الإزاحة الكيميائية لنتائج طيف إيثيلينية 3C إيثيلينية 1CH + إيثيلينية + 4CH<sub>2</sub> اللاكتونية + الأسترية (رابطين مضاعفتين) ، 2CO ، وحدات عدم التشعب .7(أربعة روابط مضاعفة) و الحلقة اللاكتونية ومنه نكون قد توصلنا إلى وحدات عدم التشعب لللاكتون كما أن السلسلة الجانبية تحتوي على أستر مترافق فلا يبقى إذن إلا وعليه فإن الهيكل (6) السيسكوي تربيني بدون مستبدل الذي سبق الإشارة إلى وحدات عدم تشعبه السيسكوي تربيني اللاكتوني يجب أن يتكون من حلقة واحدة .

: ومنه نستنتج عدد ذرات الهيدروجين كما يلي  $8=1+7$  إذن وحدات عدم التشعب للمركب يساوي  $CH_3O$  و الجذر هو  $C_{20}H_{26}O_7$  : إذن الصيغة المجملة للمركب هي  $X=26$  يستلزم  $20-X/2+1=8$  بما أن الهيكل السيسكوي تربيني يتكون من حلقة واحدة فيمكن أن يكون جيرماكرانوليدا أو إيمانوليدا وجود مجموعة (5-16) الذي دونت نتائجه في الجدول (55) الطيف رقم  $^1H$ -RMN لكن يبين طيف مما يقود إلى أن هذا  $\delta=41,9$  رباعية عند  $Csp^3$  بالإضافة إلى ظهور  $\delta=1,16$  المثيل الزاوي عند المركب هو إيمانوليدا .

وجود إشارتين مميزتين خاصة ببروتونات رابطة مضاعفة خارج  $^1H$ -RMN يبين نفس الطيف و التي تبين وجود تزاوج أليلي مميز لبروتونات  $\delta = 5,54$  d,  $J=2,1$  و  $\delta = 6,13$  d,  $J=2,6$  الحلقة . عند خاصة بلاكتون سيسكوي تربيني ، هاتين الإشارتين ينسبان إلى CO مترافقة مع  $CH_2$  مجموعة على الترتيب  $H-13'$  و  $H-13$  البروتونين

و بمعرفة (5-16) ) الذي دونت نتائجه في الجدول 56 (الطيف رقم  $^1H$ - $^1H$ ) Cosy بالرجوع إلى طيف  $^1H$ - $^1H$ ) Cosy يتعالق في طيف (H-7) هذا البروتون  $\delta=2,96$  عند H-7 يمكننا تحديد  $H-13'$  و  $H-13$  قيمة هاتين الإزاحتين تدل على أنهما محمولتين من قبل ذرتي  $\delta=5,28$  و  $\delta=4,23$  مع بروتونين عند H-8 و H-6 كربون مؤكسجين ولا يمكن أن يكونا إلا

H-6. مما يمكن نسبه إلى  $J=11,4$  تظهر على شكل ثلاثية ،  $\delta=4,23$  إشارة البروتون عند يمكن نسبه  $J=10,6$  ;  $J=4,0$  ،  $\delta=4,23$  عند (td) أما إشارة البروتون الثاني فهي على شكل ثلاثي ثنائي C-8 غير مستبدل أما قيمة الإزاحة الكيميائية فتدل على أن C-9 ومن تعددته يمكن أن نستنتج أن H-8 حامل لمجموعة أستر .



H- وجود تعالق بين (5-15) ) الذي دونت نتائجه في الجدول 57 (الطيف رقم HSQC يبين طيف تجربة C-6. المميزة لكاربون غلق الحلقة اللاكتونية مما يقود إلى غلقها في الموقع  $\delta=78,7$  و الكربون عند 6 عند H-9 يمكننا تحديد إشارة كل من H-8 وبالإعتماد على  $\text{Cosy}^1(\text{H}-\text{H})$  بالرجوع إلى طيف تجربة H-5 يمكننا تحديد إشارة H-6 في نفس الطيف دائما وبالإعتماد على  $\delta=1,67$  عند H-9' و  $\delta=2,05$  عند  $\delta=2,57$ .

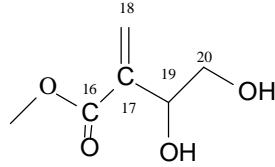
مما يدل H-8 لا يتعالقان إلا مع بعضهما ومع H-9' و H-9 نلاحظ في نفس الطيف أن البروتونين لاتحمل أي بروتون أي أنه كاربون رباعي C-10. على أن  $\text{CH}_3$  ميثيل يجب أن يكون على شكل C-14 هذا ما يقود إلى أن  $\text{CH}_3$  يتعالق مع H-9' بما أن يجب أن C-15 غير مستبدلة مما يقود إلى أن C-3 و C-2 ولما كان المركب إليمانوليدا فإن كل من (OH) لأن الهيكل السيسكوي تربيني يحتوي على مجموعة هيدروكسيل  $\text{CH}_2\text{OH}$  يكون على الشكل . و  $\delta=4,02$  عند AB على شكل نظام  $\text{RMN}^1\text{H}$  تظهر في طيف H-15' و H-15 عليه فإن إشارة و  $\delta=5,41$  و بروتونين عند H-15' و H-15 وجود تعالق بين  $\text{Cosy}^1(\text{H}-\text{H})$  كما يبين طيف تجربة H-3' و H-3 يمكن نسبهما إلى  $\delta=4,96$ .

يبين وجود تعالق بين (5-15) ) الذي دونت نتائجه في الجدول 58 (الطيف رقم HMBC طيف تجربة H-1. لا يمكن أن يكون إلا  $\delta=5,77$  و بروتون عند  $\text{CH}_3$  مجموعة الميثيل عند H-2' و H-2 يمكننا تحديد كل من H-1 وأعمادا على  $\text{Cosy}^1(\text{H}-\text{H})$  بالعودة إلى طيف تجربة على الترتيب  $\delta=5,02$  و  $\delta=5,06$  تدل على أن كل من ذرتي H-3' و H-3 ، H-2' ، H-2 ، H-2 إن قيم اللإزاحات الكيميائية للبروتونات إيثيلينية C-3 و C-2 الكاربون

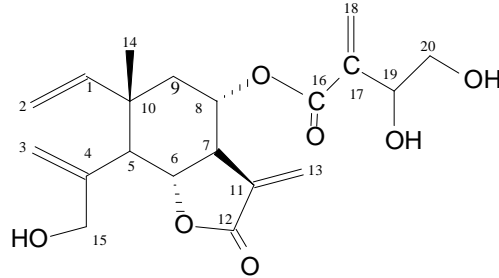
. وهو عبارة عن أستر مترافق C-8 إلى هنا لم يبقى لنا سوى تحديد المستبدل المحمول من قبل  $\text{RMN}^1$  تبعا لمعطيات أطيايف الكتلة ، الأشعة تحت الحمراء و  $\text{C}_3\text{H}_7\text{O}_4$  ذو الصيغة الجزيئية المجملة فإن هذا الأستر مترافق مع رابطة مضاعفة التي لا يمكن أن تكون إلا المجموعة الإيثيلينية المتبقية  $\text{C}^{13}$

AMX حسب التزاوج مشكلة النظام 1H ثلاثة إشارات كل واحدة منها بتكامل  $\text{RMN}^1\text{H}$  يبين طيف (إشارة  $J=3,3$  ;  $J=11,1$  ب  $\delta=3,83$  (إشارة ثنائية -ثنائية) ، عند  $J=3,3$  ;  $J=6,7$  ب  $\delta=4,63$  عند H- و H-20 ، H-19 (إشارة ثنائية -ثنائية) ، توافق  $J=6,7$  ;  $J=11,1$  ب  $\delta=3,57$  ثنائية -ثنائية) ، عند على الترتيب 20'.

ومعرفتنا لجميع البروتونات سمح بتحديد كل ذرات الكاربون HSQC بالإعتماد على طيف تجربة : جملة هذه المعطيات تقود إلى المستبدل (5-15) الحاملة لها حيث دونت هذه النتائج في الجدول



: هي ABFAF<sub>26</sub> وهكذا تكون الصيغة الجزيئية المفصلة للمركب



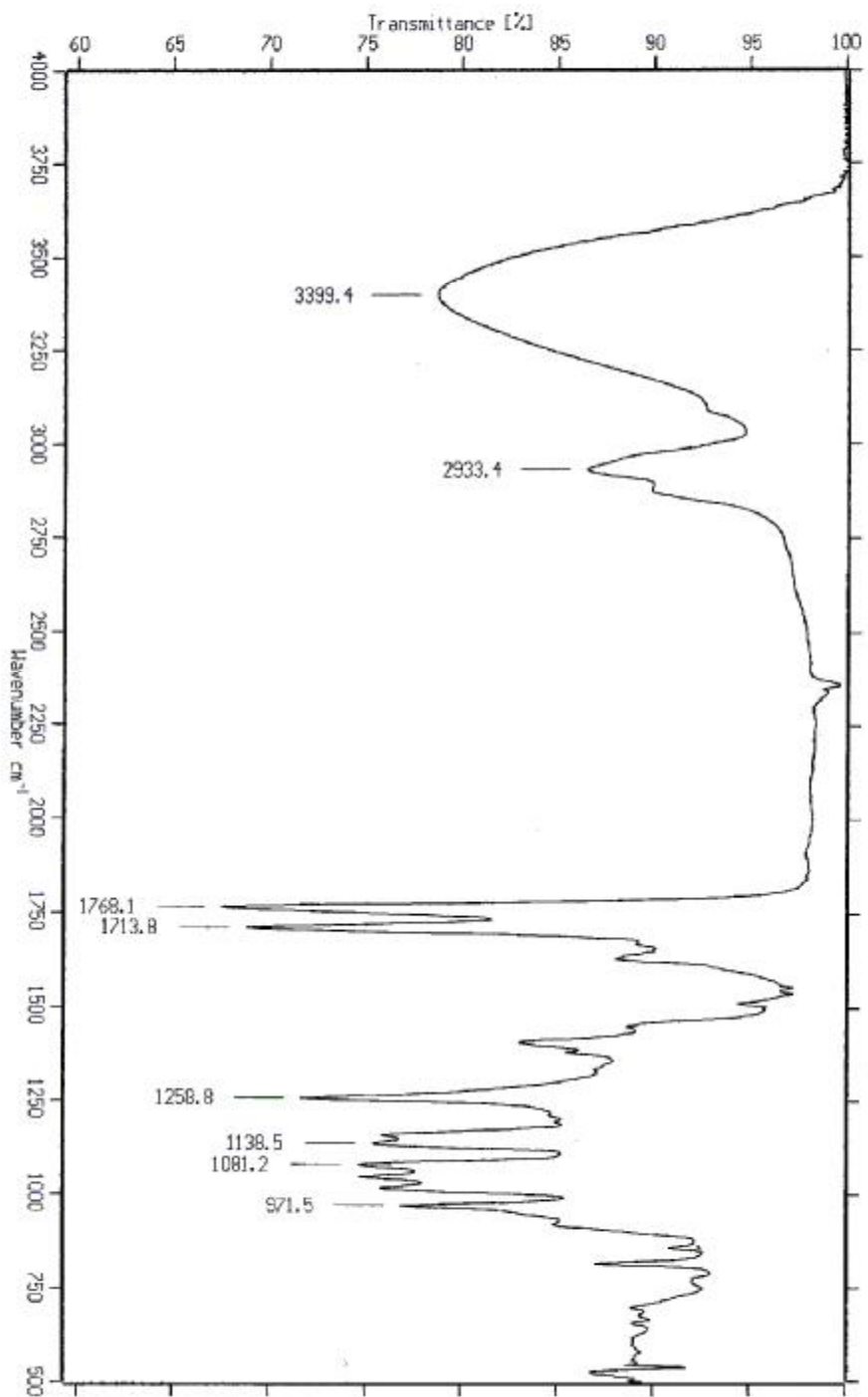
5H $\alpha$ ,6H $\beta$ ,7H $\alpha$ , -15-hydroxy-8 $\alpha$ -(1',2'-dihydroxyethyl)  
-acryloxy-elema-1(2),3(4),11(13)-trien-6,12-olide

مما يعني  $J=11,4$  ، H-6 محددة بواسطة الإشارة الثلاثية ل C-7 و C-6 ، C-5 الكيمياء الفراغية عند H-6 فإن  $\alpha$  في الوضع H-7 يكونان في وضع محوري بالنسبة له و لما كان H-5 و H-7 أن كل من  $\alpha$  و  $\beta$  يكون H-5 و  $\beta$  يكون.

فهذا يعني أنه يتزوج مع بروتونين يكونان في وضع محوري  $J=10,9$  ثلاثية ، H-7 بما أن إشارة H-6 فإن كل من  $\alpha$  في الوضع H-7 و لما كان H-8 و H-6 بالنسبة له والذين لا يمكن أن يكونا إلا  $\beta$  يكون H-8 و

$\alpha$ . يجب أن يكون في الوضع C-8 وعليه فإن المستبدل (مجموعة الأستر) المحمول من قبل الكربون يجب H-8 تدل على أن  $J=12,1$  ;  $J=11,5$  ،  $\delta=1,67$  عند H-9ax إن ثابت الإقتران الخاصة بالبروتون  $\alpha$ . يكون H-9ax فإن  $\beta$  في الوضع H-8 و لما كان H-9ax أن يكون في وضع محوري بالنسبة ل فهذا يعني أن هذه (CH<sub>3</sub>) مع مجموعة الميثيل  $\text{Cosy}({}^1\text{H}-{}^1\text{H})$  يتزوج في طيف (H-9 $\alpha$ ) H-9ax وبما أن  $\beta$ . أي تكون في الوضع H-9ax الأخيرة تكون في وضع محوري بالنسبة ل غير معروفة في البيبليوغرافيا . C-19 كما ذكر سابقا فإن البنية الفراغية ل تؤكد مجموعة المعلومات السابقة . HMBC طيف تجربة

. Centaurea هو أحد المركبات المعروفة عند جنس

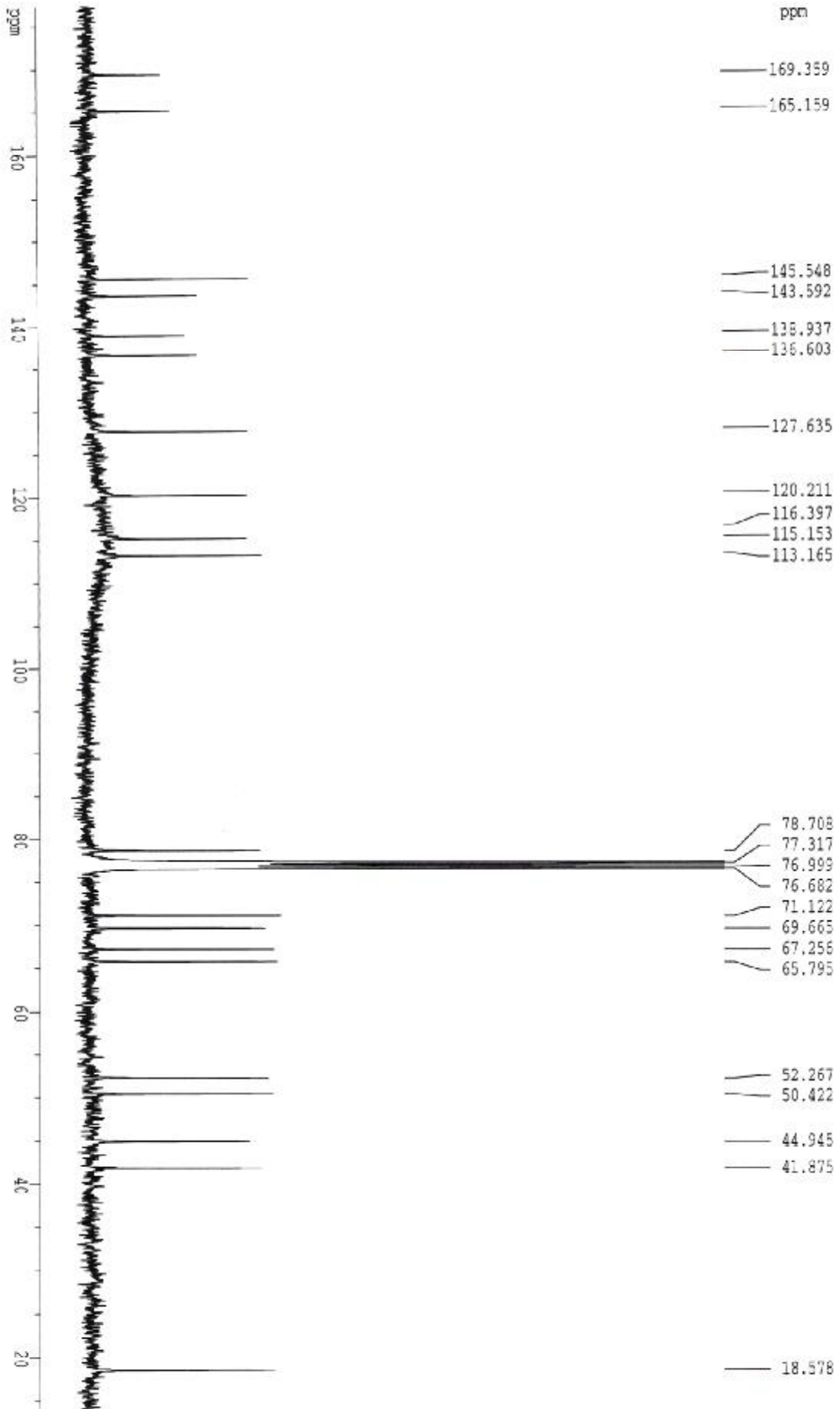


Sample : Aha-i-26  
Technique : NaCl(film)

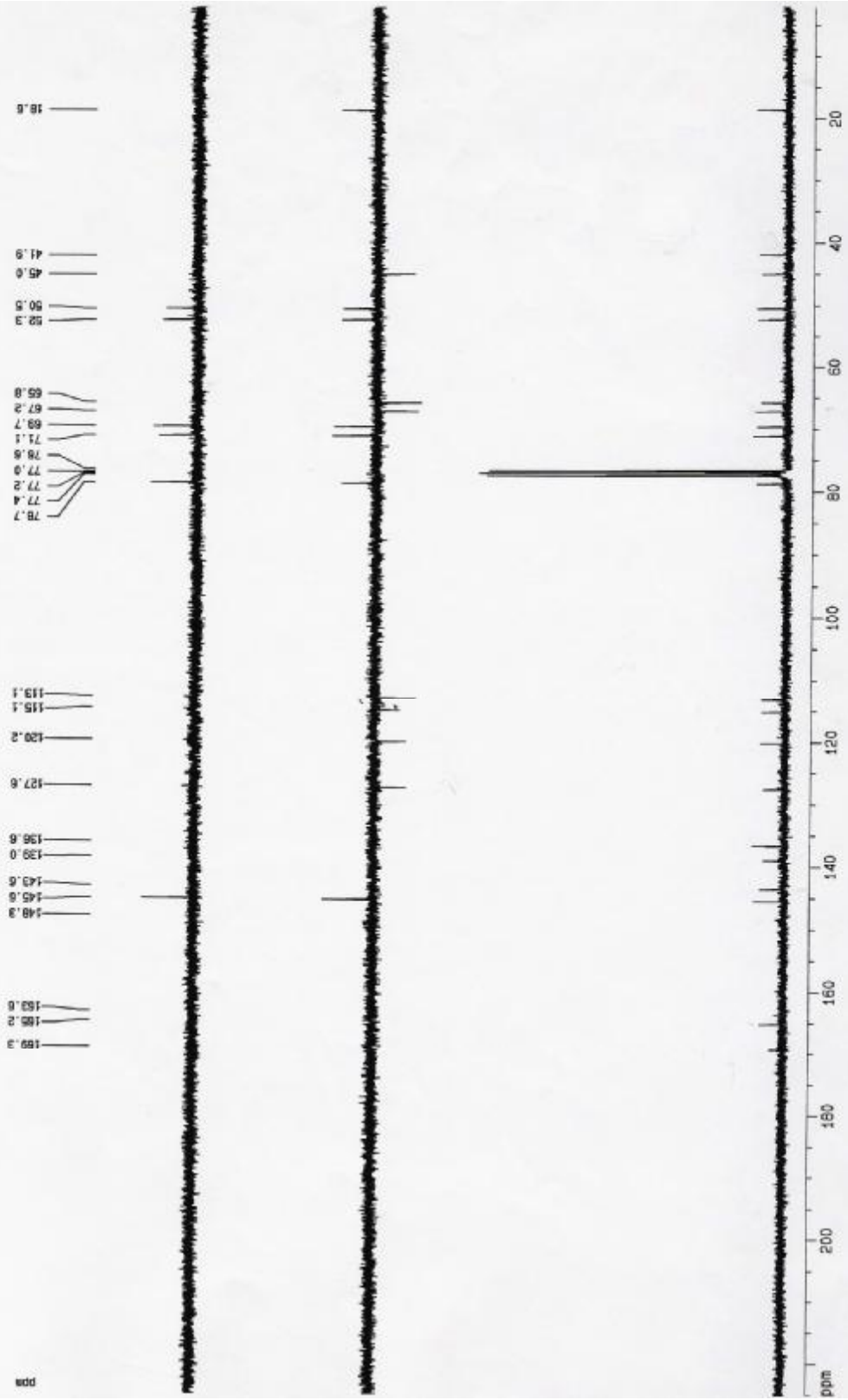
Frequency Range : 6999.9799 - 399.1724  
Resolution : 4.0  
Zero Filling : 2

Instrument : IFS55 , Sample Scans : 16  
Acquisition : Double Sided, Forward-Backward  
Measured on : 4/7/2003

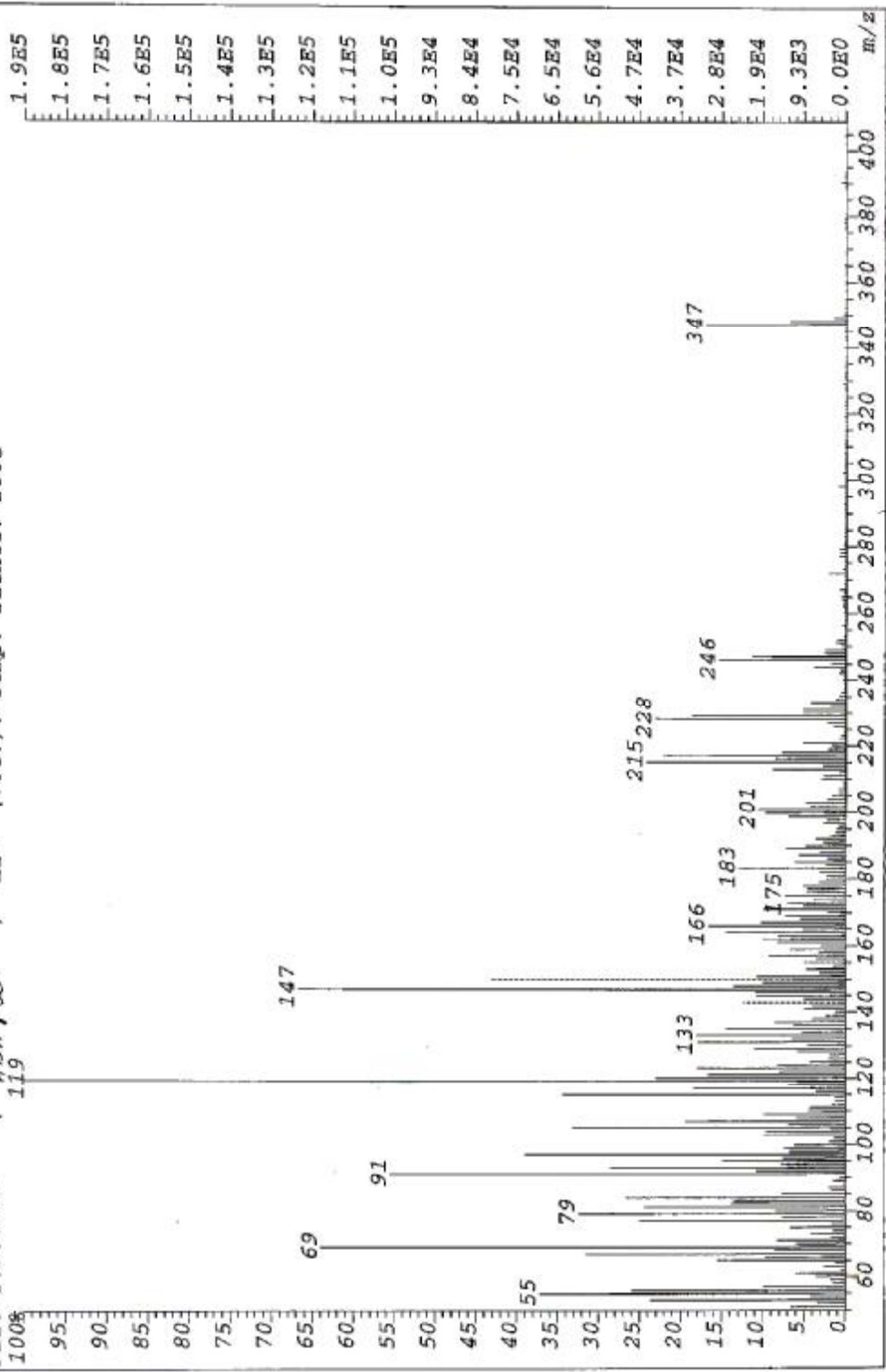
Customer : Francisco

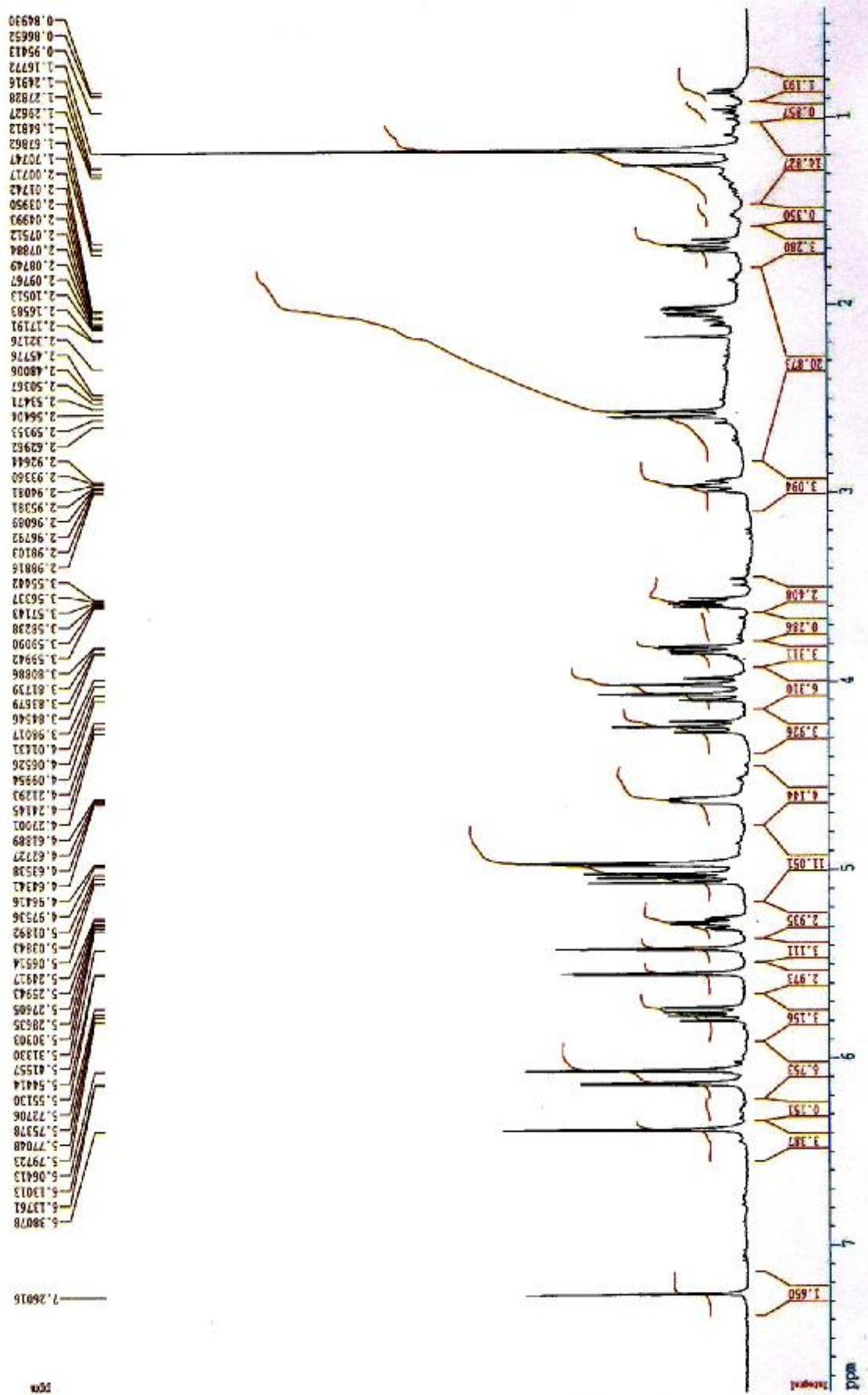


abe-f26 5 6 7 1 /v 1ub0



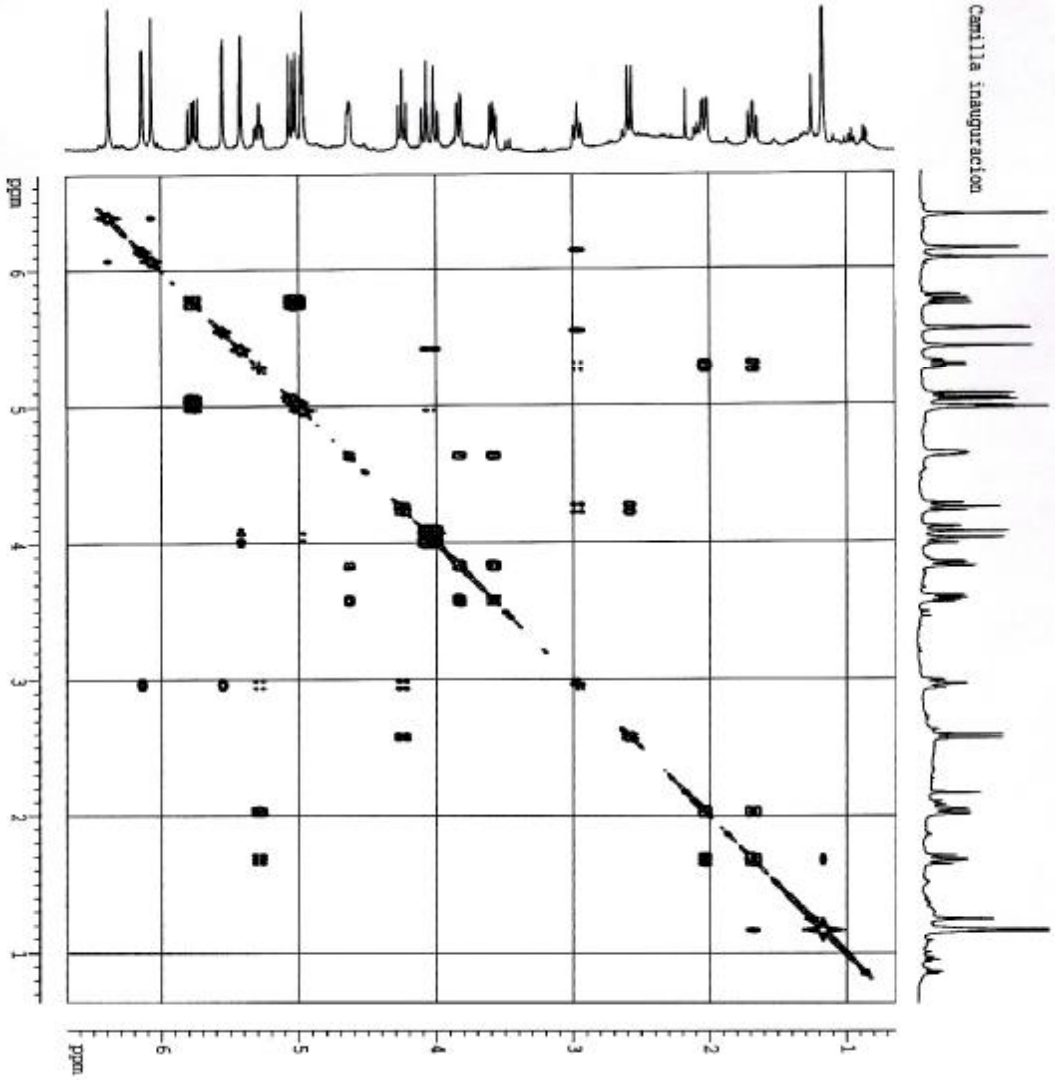
File:S682 Ident:52\_58+54 Win 100PPM Acq: 4-JUL-2003 13:46:54 +2:44 Cal:S682  
AutoSpec EI+ Magnet BpM:119 BpI:186364 TIC:5023122 Flags:ACC  
File Text:ALI ( *ABH 726* ) EI+ (70eV). Temp. fuente: 200C





aba-f-26

Camilla inauguracion



```

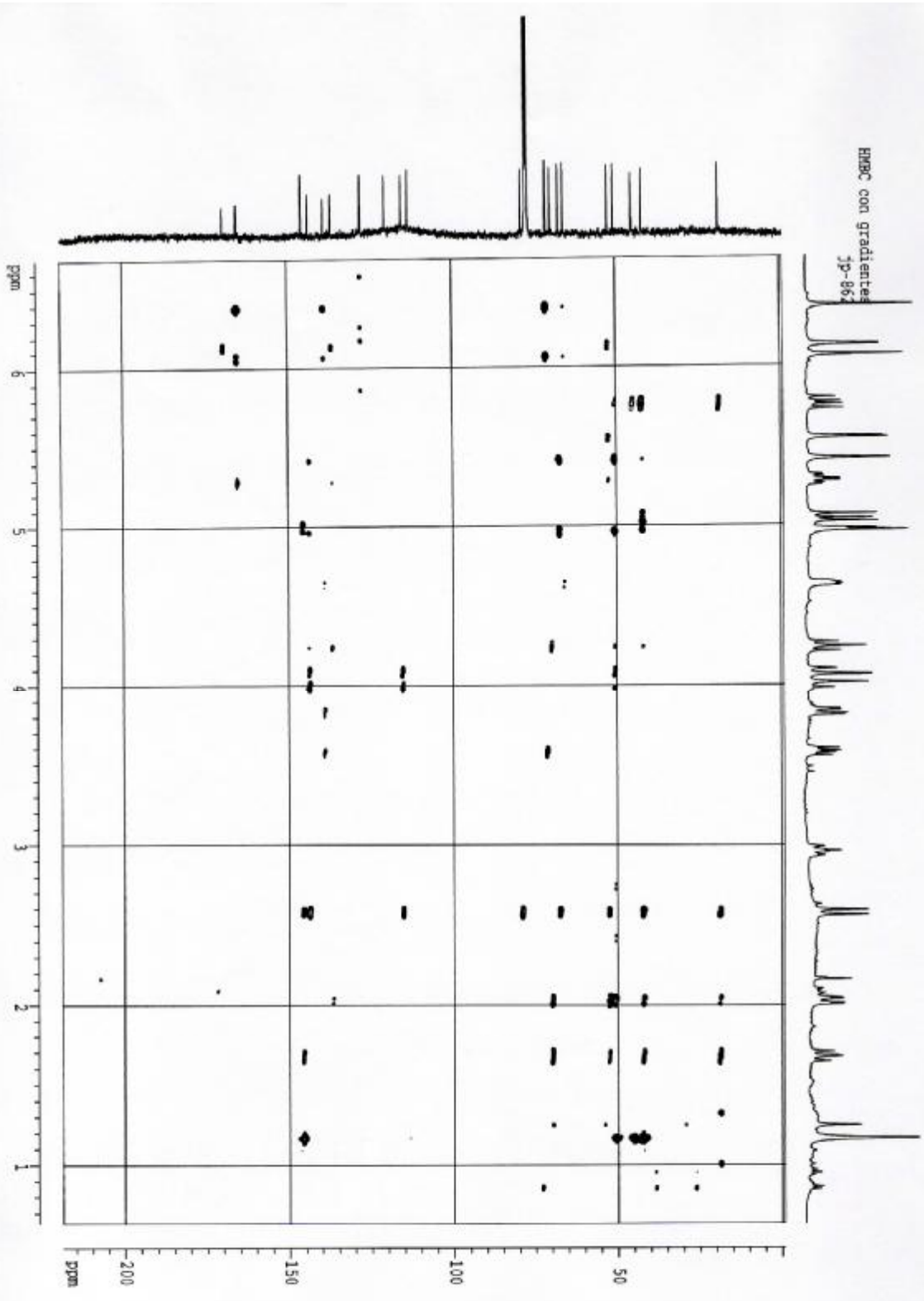
=====
NAME                   : Camilla inauguracion
EXPNO                   : 1
PROCNO                  : 1
PROCRES                 :
PROBHD                  : 5 mm QNP 1H/1
PULPROG                 : zgpg30
AQ                     : 0.10000000
RG                     : 327.500
AQ2                    : 0.02000000
SFO                     : 500.136260 MHz
SF2                    : 125.760318 MHz
WDW                     : EM
SSB                     : 0
LB                     : 3.000000 MHz
GB                     : 0
PC                     : 1.00000000
=====
F2 - Acquisition Parameters
=====
NUC1                    : 13C
PROBHD                  : 5 mm QNP 1H/1
PULPROG                 : zgpg30
PC                     : 1.00000000
=====
F1 - Processing parameters
=====
SI                     : 327.500
SF                     : 125.760318 MHz
WDW                     : EM
SSB                     : 0
LB                     : 3.000000 MHz
GB                     : 0
PC                     : 1.00000000
=====
2D NMR Data Parameters
=====
SI                     : 327.500 MHz
SF                     : 500.136260 MHz
WDW                     : EM
SSB                     : 0
LB                     : 3.000000 MHz
GB                     : 0
PC                     : 1.00000000
=====
F2 - Acquisition parameters
=====
NUC1                    : 1H
PROBHD                  : 5 mm QNP 1H/1
PULPROG                 : zgpg30
PC                     : 1.00000000
=====
F1 - Processing parameters
=====
SI                     : 327.500
SF                     : 500.136260 MHz
WDW                     : EM
SSB                     : 0
LB                     : 3.000000 MHz
GB                     : 0
PC                     : 1.00000000
=====
=====
NAME                   : Camilla inauguracion
EXPNO                   : 1
PROCNO                  : 1
PROCRES                 :
PROBHD                  : 5 mm QNP 1H/1
PULPROG                 : zgpg30
AQ                     : 0.10000000
RG                     : 327.500
AQ2                    : 0.02000000
SFO                     : 500.136260 MHz
SF2                    : 125.760318 MHz
WDW                     : EM
SSB                     : 0
LB                     : 3.000000 MHz
GB                     : 0
PC                     : 1.00000000
=====
F2 - Acquisition Parameters
=====
NUC1                    : 13C
PROBHD                  : 5 mm QNP 1H/1
PULPROG                 : zgpg30
PC                     : 1.00000000
=====
F1 - Processing parameters
=====
SI                     : 327.500
SF                     : 125.760318 MHz
WDW                     : EM
SSB                     : 0
LB                     : 3.000000 MHz
GB                     : 0
PC                     : 1.00000000
=====
2D NMR Data Parameters
=====
SI                     : 327.500 MHz
SF                     : 500.136260 MHz
WDW                     : EM
SSB                     : 0
LB                     : 3.000000 MHz
GB                     : 0
PC                     : 1.00000000
=====
F2 - Acquisition parameters
=====
NUC1                    : 1H
PROBHD                  : 5 mm QNP 1H/1
PULPROG                 : zgpg30
PC                     : 1.00000000
=====
F1 - Processing parameters
=====
SI                     : 327.500
SF                     : 500.136260 MHz
WDW                     : EM
SSB                     : 0
LB                     : 3.000000 MHz
GB                     : 0
PC                     : 1.00000000
=====

```





HMBC con gradientes  
3p-862



C	$\delta_{[\text{ppm}]}$	DEPT and HSQC (400 MHz)	HMBC with H (400 MHz)
1	145,5	CH	2, 2', 5, 9', 14
2	113,2	CH <sub>2</sub>	14
3	115,2	CH <sub>2</sub>	5, 15, 15'
4	136,6	C	3, 3', 5, 6, 15, 15'
5	50,4	CH	1, 3, 3', 6, 9, 14, 15, 15'
6	78,7	CH	5
7	52,3	CH	5, 8, 9, 9', 13, 13'
8	69,7	CH	6, 9, 9'
9	44,9	CH <sub>2</sub>	1, 14
10	41,9	C	1, 2, 2', 3, 3', 5, 6, 9, 9', 14
11	138,9	C	6, 8, 9, 13
12	169,4	C	13
13	120,2	CH <sub>2</sub>	----
14	18,6	CH <sub>3</sub>	1, 5, 9, 9'
15	67,3	CH <sub>2</sub>	3, 3', 5
16	165,2	C	8, 18, 18'
17	143,6	C	18, 18, 19, 20, 20'
18	127,6	CH <sub>2</sub>	----
19	71,1	CH	18, 18', 20'
20	65,8	CH <sub>2</sub>	18, 18', 19

Table(5-15). <sup>13</sup>C NMR chemical shifts of compound **ABAF<sub>26</sub>** (100 MHz, CDCl<sub>3</sub>).

	1H	$\delta_{[\text{ppm}]}$	Multiplicity	$J_{[\text{HZ}]}$	Coupling proton(s) <sup>†</sup> proton(s)
1	5,77	dd	10,7; 6,6		2, 2'
2	5,06	m			1, 2'
2'	5,02	m			1, 2
3	5,41	brs			15, 15'
3'	4,96	brs			15, 15'
5	2,57	d	11,4		6
6	4,23	t	11,4		5, 7
7	2,96	t	11,0		6, 8, 13, 13'
8	5,28	td	10,6; 4,0		7, 9, 9'
9	2,05	m			8, 9'
9'	1,67	dd	11,5; 12,1		8, 9, 14
13	6,13	d	2,6		7
13'	5,54	d	2,1		7
14	1,16	brs			9'
15	4,02	d	13,7		3, 3', 15'
15'	4,02	d	13,7		3, 3', 15
18	6,38	brs			18'
18'	6,06	brs			18
19	4,63	dd	3,3; 6,7		20, 20'
20	3,83	dd	3,3; 11,1		19, 20'
20'	3,57	dd	6,7; 11,1		19, 20

Table(5-16). <sup>1</sup>H NMR chemical shifts of compound **ABAF<sub>26</sub>**(400 MHz, CDCl<sub>3</sub>).

## 2.V.3 : ABAF<sub>141</sub> تشخيص المركب

### خواصه الإشعاعية

بنفسجي: (fluorescence)  $\lambda=366$  nm تحت الأشعة فوق البنفسجية ( )

59 الطيف رقم: (طول الموجة بالنانومتر) (UV) نتائج مطيافية الأشعة فوق البنفسجية

الحزمة I	II المفاعلات	الحزمة
340	274	MeOH
327	عصابة جديدة عند 395	NaOH 274
357	298	AlCl <sub>3</sub>
351	294	AlCl <sub>3</sub> +HCl
367	273	NaOAc
344	273	H <sub>3</sub> BO <sub>3</sub>

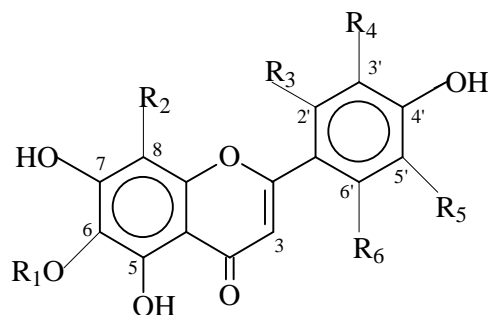
### التحليل

اللون البنفسجي تحت الأشعة فوق البنفسجية دلالة على أن المركب فلافون أو فلافونول مستبدل في نم بالنسبة للطيف المأخوذ في الميثانول تقود إلى أنه فلافون. 340 في حدود I . الحزمة 3الوضع (+) 45 I نلاحظ إزاحة باثو كرومية للحزمة MeOH مع طيف NaOH عند مقارنة الطيف المأخوذ بزيادة (OH). مشغول من قبل مجموعة هيدروكسيل حر 'مع الزيادة في الشدة دلالة على أن الموقع نم) يحتوي على مجموعة 7 نم في نفس الطيف تدل على أن الموقع 327 ظهور عصابة جديدة عند (OH) هيدروكسيل حر.

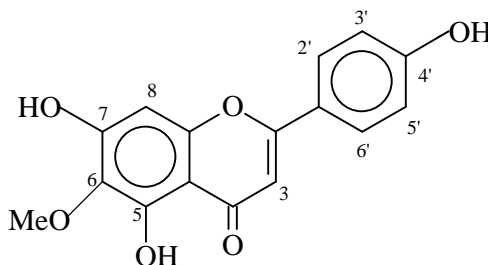
تدل على MeOH مقارنة مع طيف (AlCl<sub>3</sub>+HCl) نم) للطيف المأخوذ في 20 الإزاحة الباثو كرومية (+) بالإضافة إلى وجود مجموعة أكسجينية في الموقع 5 في الموقع (OH) وجود مجموعة هيدروكسيل حر 6 .

نجد إزاحة ضعيفة جدا دلالة على غياب أورتو ( AlCl<sub>3</sub>+HCl ) و AlCl<sub>3</sub> بمقارنة الطيف المأخوذ في في الصيغة OH.

في الصيغة . ومنه نستنتج أن المجموعة OH فيؤكد غياب أورتو (NaOAc+H<sub>3</sub>BO<sub>3</sub>) أما طيف ليست هيدروكسيلية . وبناء على ذلك يمكننا كتابة الصيغة الجزئية الأولية 6 الأكسجينية في الموقع التالية:



الذي دونت نتائجه في 60) الطيف رقم ( $^1\text{H-NMR}$  يبين طيف الرنين النووي المغناطيسي للبروتون AB كما يبين وجود إشارتين خاصتين بنظام وجود مجموعة ميثوكسيل واحدة. (5-17) الجدول 4'. المستبدلة في الموقع B لكل منهما ، هاتين الإشارتين مميزتين للحلقة 2H بتكامل ( $J=8,9$ ). يمكن  $\delta=6,60$  و  $\delta=6,63$  لكل منهما عند 1H كما يبين نفس الطيف وجود إشارتين أحاديتين بتكامل . مجموعة هذه UV على الترتيب وذلك نظرا لما ورد في نتائج مطيافية  $\text{H}_8$  و  $\text{H}_3$  نسبهما إلى كل من المعلومات تسمح بكتابة الصيغة التالية



**$^1\text{H-NMR}$  نتائج طيف الرنين النووي المغناطيسي للبروتون :**

التعيينات الكيميائية	ثابت الإقتران ( $J(\text{HZ})$ )	التكامل	التعددية	الإزاحة ( $\delta(\text{ppm})$ )
O-CH <sub>3</sub>		3H	s	3,89
H <sub>3</sub>		1H	s	6,60
H <sub>8</sub>		1H	s	6,63
H <sub>3'</sub> , H <sub>5'</sub>	8,9	1H	d	6,96
H <sub>6'</sub> , H <sub>2'</sub>	8,9	1H	d	7,89

Table(5-17).  $^1\text{H-NMR}$  chemical shifts of compound **ABAF<sub>141</sub>** (250 MHz, CD<sub>3</sub>OH).

المدونة في الجدول 61) الطيف رقم (وتدعم هذه الصيغة بنتائج طيف الكتلة بتصادم أيوني عالي الأداء خاصة بالأيون الجزيئي والمرافقة للصيغة الجزيئية (100,00%)  $m/z=300$  التي بينت قمة عند (5-18) بقية الشظايا المحصل عليها أعطت بعض المعلومات الخاصة بمواضع المستبدلات  $C_{16}H_{12}O_6$  المجملة

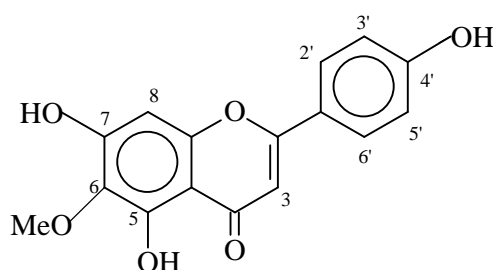
تدل على أن المركب يحتوي على مجموعة ميثيل  $[M-15]^+$  القمة

تدل على وجود مجموعة هيدروكسيل  $[M-18]^+$  القمة

ثنائية الهيدروكسيل أحادية الميثوكسيل A تبين أن الحلقة  $[A_1-15-18]^+=149$  ،  $[A_1-15]^+=167$  : القمتان

أحادية الهيدروكسيل B. ، تبين أن الحلقة  $B_1^+=118$  : القمة

مجموعة هذه المعطيات تؤكد أن الصيغة المفصلة لهذا المركب هي



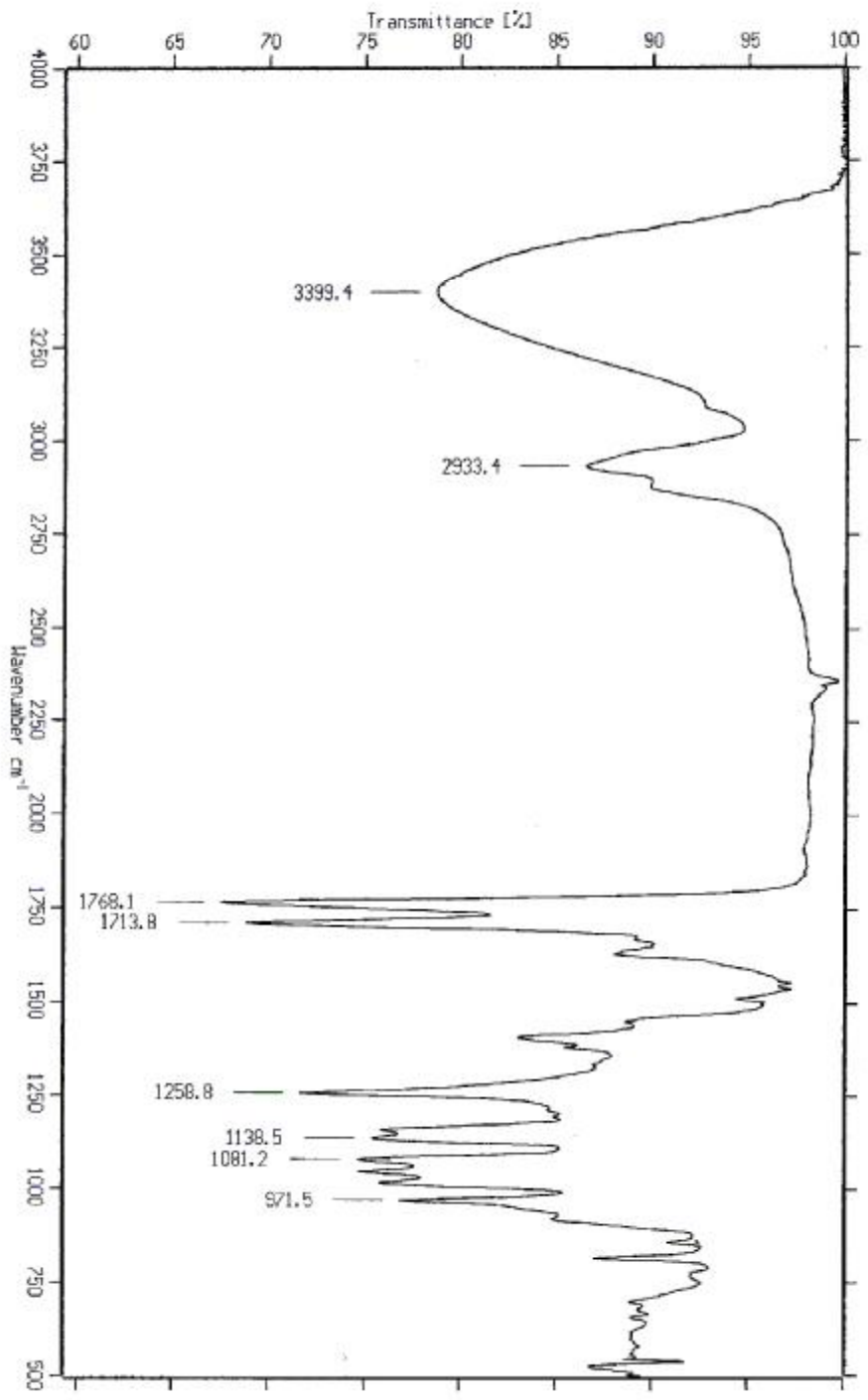
Hispiduline

( 5,7,4'-trihydroxy 6-methoxy flavone )

SM : نتائج طيف الكتلة

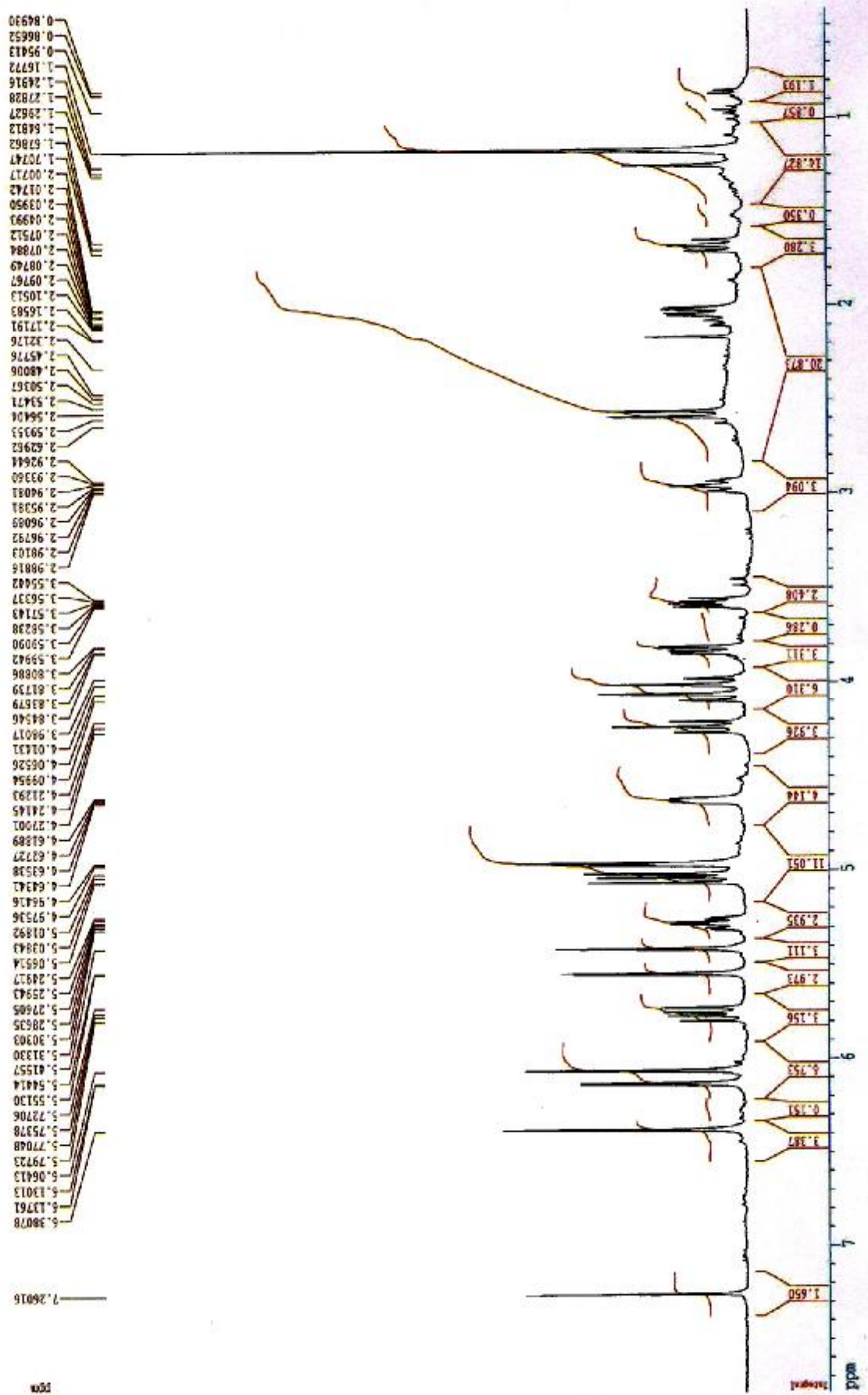
الشظية	$m/z$
$M^+$	300
$[M-1]^+$	299
$[M-15]^+$	285
$[M-18]^+$	282
$[M-1-28]^+$	271
$[M-15-28]^+$	257
$[A_1-15]^+$	167
149	$[A_1-15-18]^+$
$B_1^+$	119
$[B_1+1]^+$	118

ABAF<sub>141</sub> نتائج طيف الكتلة للمركب : (5-18)الجدول



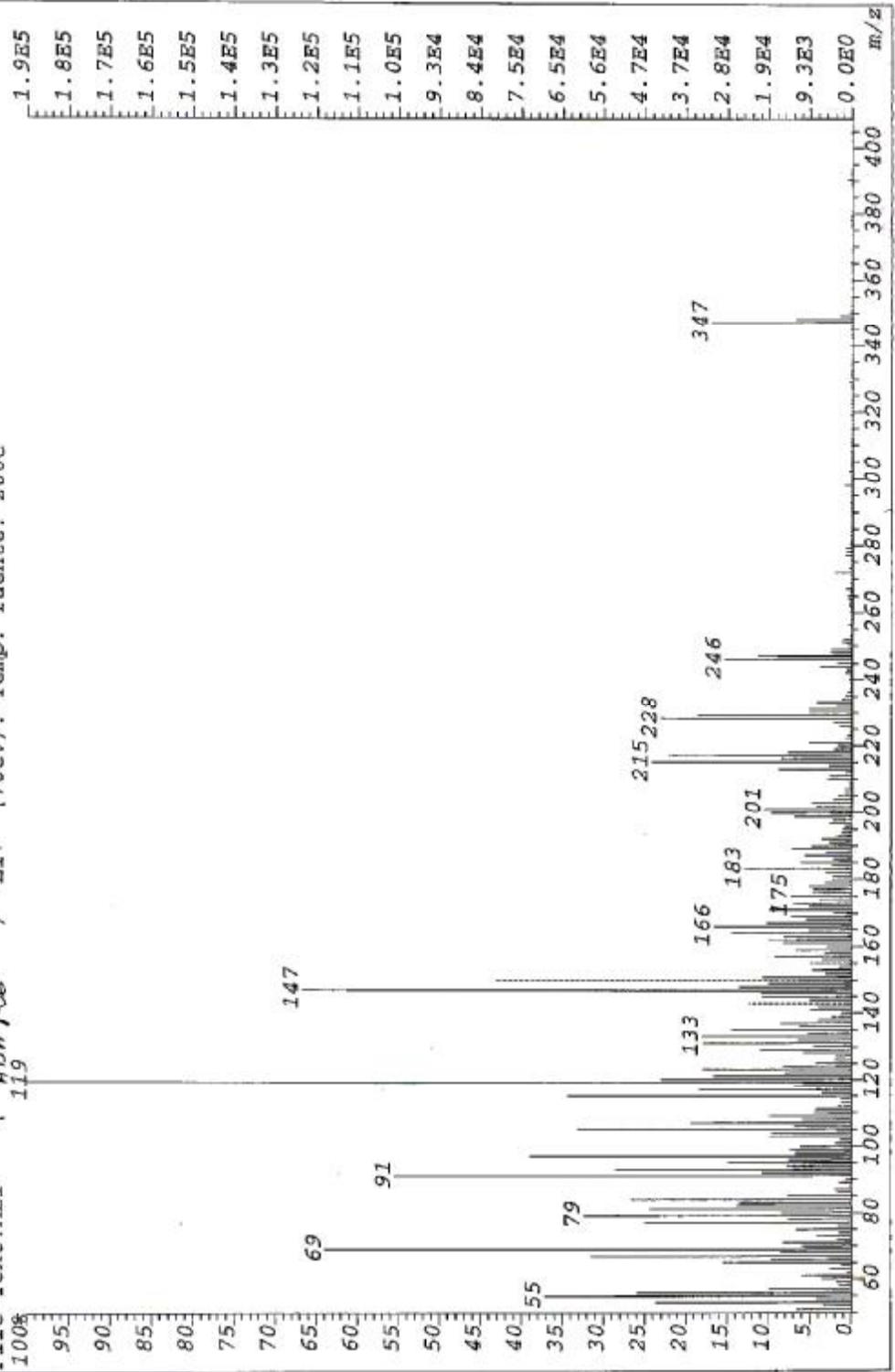
Sample : Aha-i-26	Frequency Range : 6999.9799 - 399.1724	Measured on : 4/7/2003
Technique : NaCl(film)	Resolution : 4.0	Instrument : IFS55 , Sample Scans : 16
Customer : Francisco	Zero Filling : 2	Acquisition : Double Sided, Forward-Backward





aba-f-26

File:S682 Ident:52\_58+54 Win 100PPM Acq: 4-JUL-2003 13:46:54 +2:44 Cal:S682  
AutoSpec EI+ Magnet BpM:119 BpI:186364 TIC:5023122 Flags:ACC  
File Text:ALI ( ~~ABH~~RG ) EI+ (70eV). Temp. fuente: 200C



## 2.V..4 : تشخيص المركب ABAF<sub>142</sub>

### خواصه الإشعاعية

بنفسجي: (fluorescence)  $\lambda=366$  nm تحت الأشعة فوق البنفسجية ( )

62 الطيف رقم: (طول الموجة بالنانومتر) (UV) نتائج مطيافية الأشعة فوق البنفسجية

I	الحزمة II المفاعلات	الحزمة
333	267	MeOH
325	عصابة جديدة عند 393	NaOH 273
341	275	+HCl AlCl <sub>3</sub>
342	268	H <sub>3</sub> BO <sub>3</sub>
364	272	NaOAc

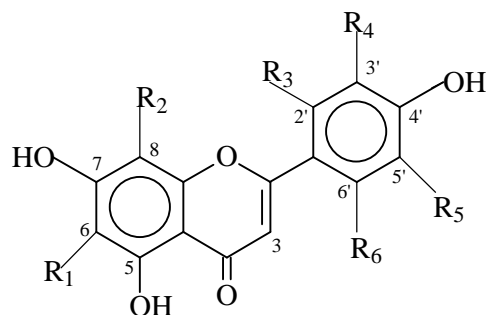
### التحليل

اللون البنفسجي تحت الأشعة فوق البنفسجية دلالة على أن المركب فلافون أو فلافونول مستبدل في نم بالنسبة للطيف المأخوذ في الميثانول تقود إلى أنه فلافون. 333 في حدود I . الحزمة 3الوضع I نلاحظ إزاحة باثوكرومية للحزمة MeOH مع طيف NaOH عند مقارنة الطيف المأخوذ بزيادة مشغول من قبل مجموعة هيدروكسيل حر 'مع الزيادة في الشدة دلالة على أن الموقع (نم) 60(+)(OH).

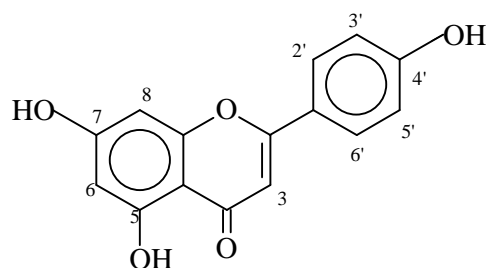
يحتوي على مجموعة 7 نم في نفس الطيف تدل على أن الموقع 325 ظهور عصابة جديدة عند (OH) هيدروكسيل حر.

تدل على MeOH مقارنة مع طيف (AlCl<sub>3</sub>+HCl) (نم) للطيف المأخوذ في 49 الإزاحة الباثوكرومية (+) 5 في الموقع (OH) وجود مجموعة هيدروكسيل حر في OH لا نجد أي إزاحة دلالة على غياب أورتو (AlCl<sub>3</sub>+HCl) (و AlCl<sub>3</sub> بمقارنة الطيف المأخوذ في الصيغة .

من مجموعة هذه النتائج في الصيغة . OH فيؤكد فعلا غياب أورتو (NaOAc+H<sub>3</sub>BO<sub>3</sub>) أما طيف: يمكننا كتابة الصيغة التالية



الذي دونت نتائجه في 63) الطيف رقم ( $^1\text{H-NMR}$ ) يبين طيف الرنين النووي المغناطيسي للبروتون لكل منهما ، هاتين الإشارتين  $2\text{H}$  بتكامل ( $J=8,9$ ) AB وجود إشارتين خاصتين بنظام (5-19) الجدول  $\delta=6,60$  . كما يبين نفس الطيف وجود إشارة أحادية عند  $4'$  المستبدلة في الموقع B مميزتين للحلقة UV . وذلك اعتمادا على معطيات مطيافية  $\text{H}_3$  يمكن نسبها إلى البروتون  $1\text{H}$  بتكامل  $\delta=6,21$  و  $\delta=6,45$  لكل منهما عند  $1\text{H}$  بتكامل ( $J=2,1$ ) يبين كذلك نفس الطيف وجود إشارتين ثنائيتين . مجموعة UV على الترتيب وذلك نظرا لما ورد في نتائج مطيافية  $\text{H}_6$  و  $\text{H}_8$  يمكن نسبهما إلى كل من هذه المعلومات تقود إلى الصيغة التالية



**$^1\text{H-NMR}$  نتائج طيف الرنين النووي المغناطيسي للبروتون :**

التعيينات الكيميائية	ثابت الإقتران $J(\text{HZ})$	التكامل	التعددية	الإزاحة $\delta(\text{ppm})$
$\text{H}_6$	2,1	1H	d	6,21
$\text{H}_8$	2,1	1H	d	6,45
$\text{H}_3$		1H	s	6,60
$\text{H}_3', \text{H}_5'$	8,9	1H	d	6,95
$\text{H}_6', \text{H}_2'$	8,9	1H	d	7,87

Table(5-19).  $^1\text{H-NMR}$  chemical shifts of compound ABAF<sub>142</sub> (250 MHz,  $\text{CD}_3\text{OH}$ ).

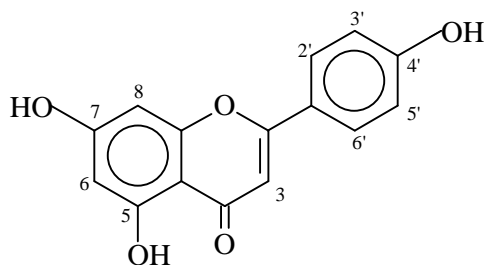
المدونة في الجدول (64) الطيف رقم (وتدعم هذه الصيغة بنتائج طيف الكتلة بتصادم أيوني عالي خاصة بالأيون الجزيئي والمرافقة للصيغة الجزيئية (100,00%)  $m/z=270$  التي بينت قمة عند (20-5) بقية الشظايا المحصل عليها أعطت بعض المعلومات الخاصة بمواضع  $C_{15}H_{10}O_5$  المجملة المستبدلات .

$[A_1-15]^+$  : ثنائية الهيدروكسيل ، كما أن عدم ظهور القمتان A تدل على أن الحلقة  $[A_1+H]^+=153$  : القمة

فعلا لا تحتوي على مجموعة ميثوكسيل . A دلالة على أن الحلقة  $[A_1-15-18]^+$

أحادية الهيدروكسيل . B تبين أن الحلقة  $B_1^+=118$  ،  $B_2^+=121$  : القمتان

مجموعة هذه المعطيات تؤكد أن الصيغة المفصلة لهذا المركب فعلا هي

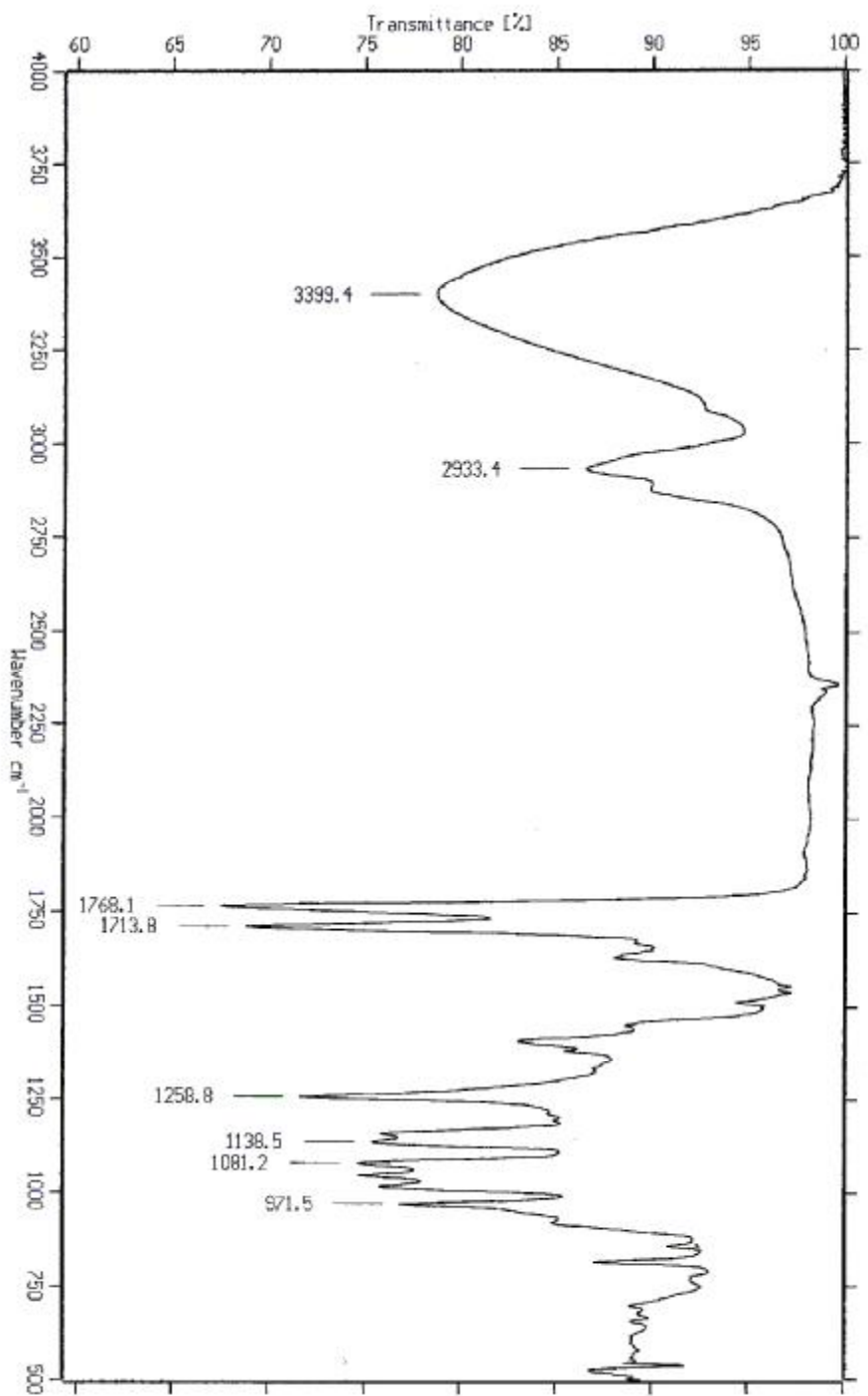


Apigenine (5,7,4'-trihydroxy flavone)

### SM نتائج طيف الكتلة :

$m/z$	الشظية
270	$M^+$
269	$[M-1]^+$
242	$[M-28]^+$
241	$[M-1-28]^+$
153	$[A_1+H]^+$
118	$B_1^+$
121	$B_2^+$

الجدول ABAF<sub>142</sub> نتائج طيف الكتلة للمركب : (20-5)

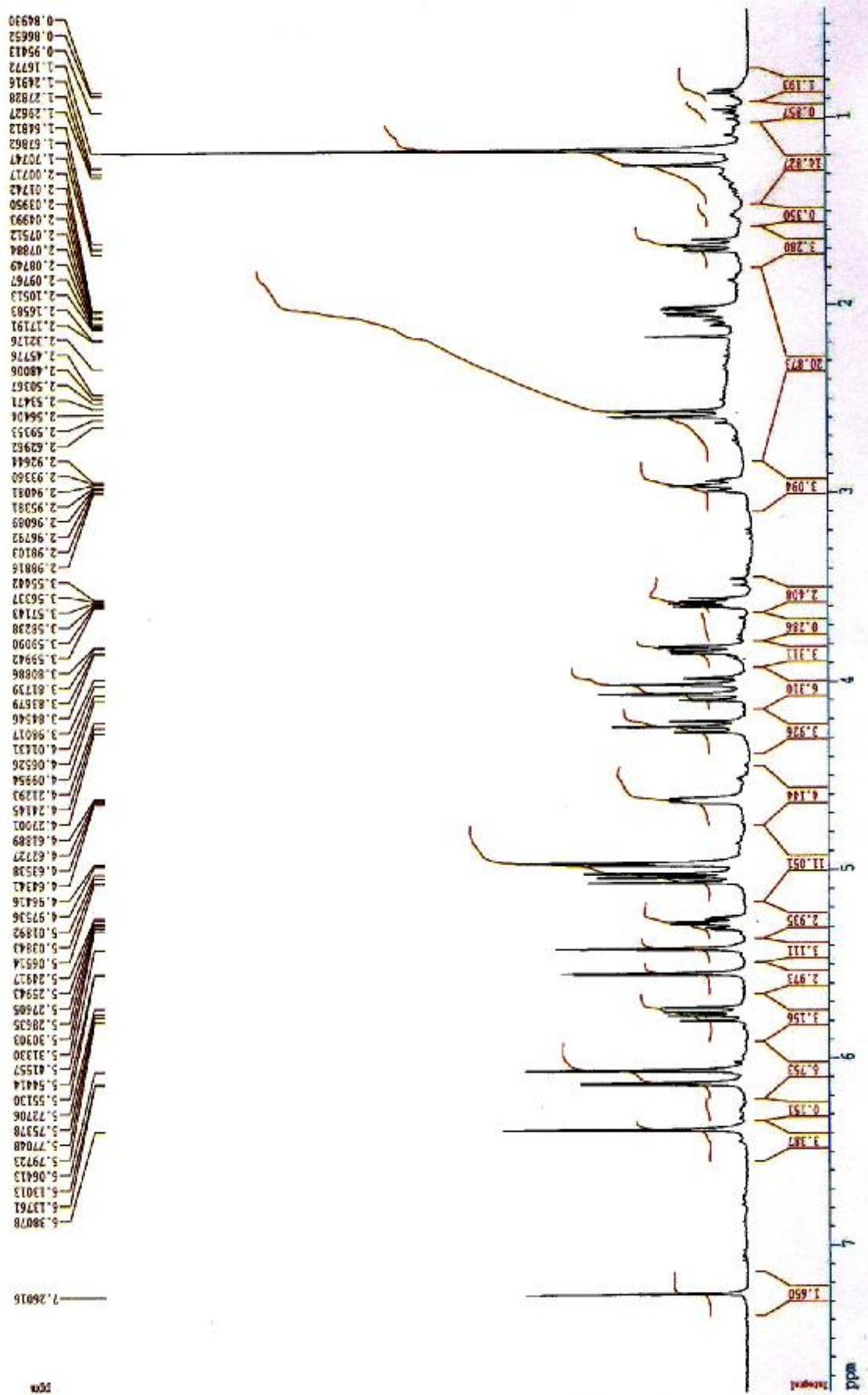


Sample : Rba-f-26  
 Technique : NaCl(film)

Frequency Range : 6999.9799 - 399.1724  
 Resolution : 4.0  
 Zero Filling : 2

Instrument : JFS55 , Sample Scans : 16  
 Acquisition : Double Sided, Forward-Backward  
 Measured on : 4/7/2003

Customer : Francisco

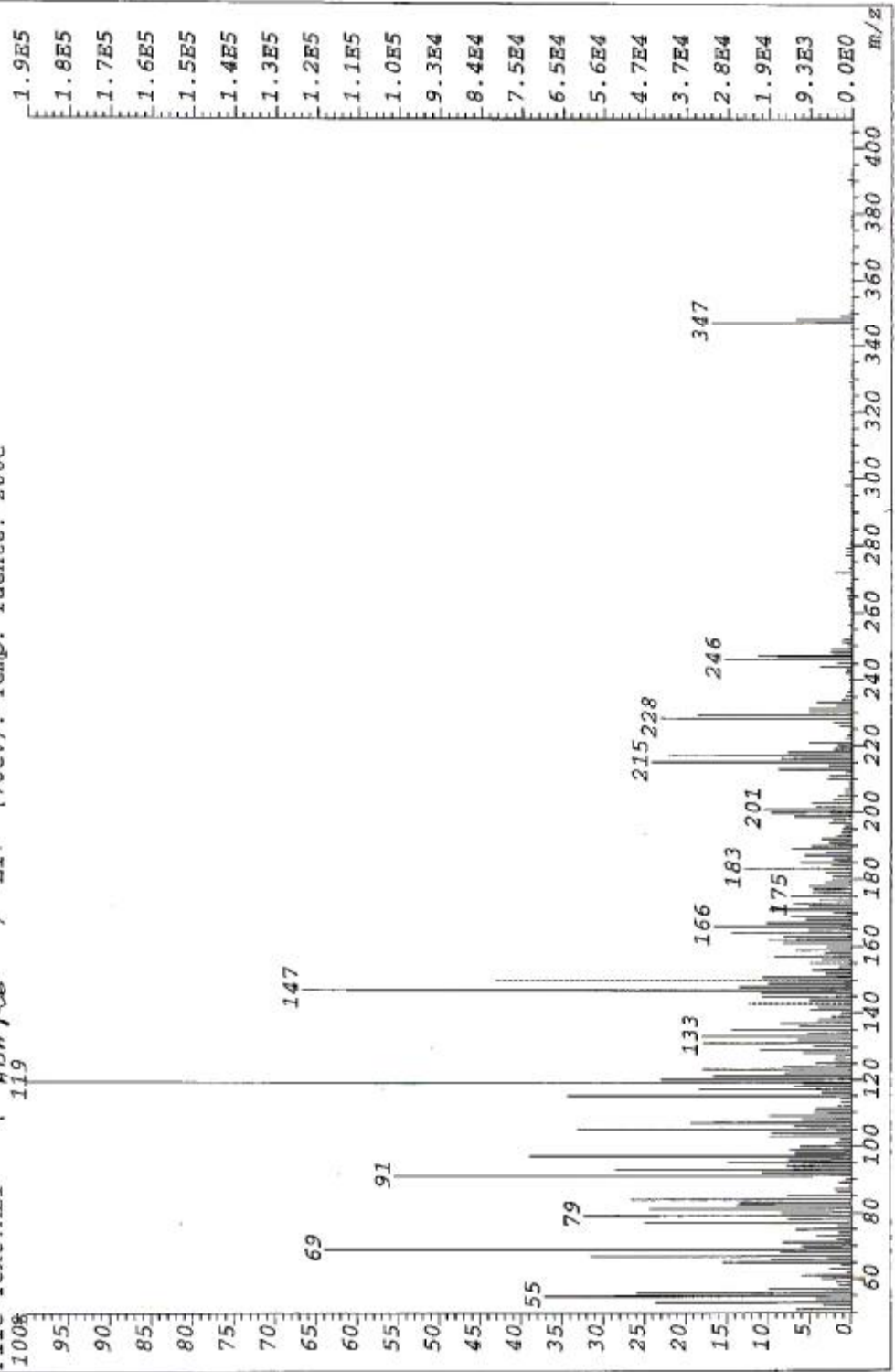


aba-f-26

ppm

ppm

File:S682 Ident:52\_58+54 Win 100PPM Acq: 4-JUL-2003 13:46:54 +2:44 Cal:S682  
AutoSpec EI+ Magnet BpM:119 BpI:186364 TIC:5023122 Flags:ACC  
File Text:ALI ( ~~ABA~~RG ) EI+ (70eV). Temp. fuente: 200C





## 2.V..5 : تشخيص المركب ABAF<sub>222</sub>

يبين أن المركب يتكون من (5-21) الذي دونت نتائجه في الجدول 65 ( الطيف رقم ( <sup>13</sup>C-RMN) طيف ذرات كربون 10.

يبين (5-21) الذي دونت نتائجه في الجدول 65 ( الطيف رقم ( ( DEPT 135 et 90 ) أطيايف تجارب ( مجموعات ميثيلين 3، (1CH<sub>3</sub>) δ=56,1 وجود مجموعة ميثيل واحدة متصلة بذرة أكسجين عند δ=103,6 إيثيلينية عند (2CH) ، مجموعتي ميثين δ=62,0 واحدة منها مؤكسجة عند (3CH<sub>2</sub>sp<sup>3</sup>) ، δ=144,8 ذرات كربون رباعية كلها إيثيلينية ، ثلاثة منها مؤكسجة عند 4 يؤكد وجود و δ=108,7 و δ=147,5 و δ=148,7.

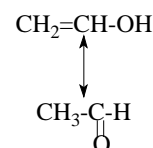
الذي دونت نتائجه في 66) الطيف رقم ( <sup>1</sup>H-RMN) يبين طيف الرنين النووي المغناطيسي للبروتون وجود مجموعة ميثوكسيل واحدة كما يبين نفس الطيف إشارتين عريضتين تدل على (5-22) الجدول مميزة لبروتونات حلقة عطرية مجاورة δ=6,28 و δ=6,42 لكل منهما عند 1H تزاوج ميتا بتكامل لمستبدل مانح في الموقع أرتو (فعل ميزوميري) . بالإضافة إلى ثلاثة إشارات أخرى كل منها بتكامل متصلة (-CH<sub>2</sub>O) يمكن نسبها إلى المجموعة J=6,8 على شكل إشارة ثلاثية δ=3,64 إحداها عند 2H مما يدل على أن هذه J=6,8 على شكل إشارة خماسية δ=1,83 التي تظهر عند CH<sub>2</sub> بمجموعة . J=6,8 على شكل إشارة ثلاثية δ=2,56 التي تظهر عند CH<sub>2</sub> الأخيرة هي كذلك متصلة بمجموعة وحلقة عطرية زيادة عن مجموعة ميثوكسيل -CH<sub>2</sub>-CH<sub>2</sub>-CH<sub>2</sub>-O- هذه المعطيات تبين وجود السلسلة الأخيرة فيمكن لهذه السلسلة أن تكون متصلة مباشرة بالحلقة CH<sub>2</sub>. وحسب الإزاحة الكيميائية ل العطرية .

خاصة بالأيون m/z=198 قمة عند 67) الطيف رقم (SMIE) يعطي طيف الكتلة بتصادم إلكتروني التي يقود إلى وجود أربعة وحدات عدم التشبع مما C<sub>10</sub>H<sub>14</sub>O<sub>4</sub> مرافقة للصيغة المجملة M<sup>+</sup> الجزيئي يؤكد وجود الحلقة العطرية . أما المستبدلات فلا يمكن أن تكون إلا السلسلة المذكورة أعلاه ، مجموعة الميثوكسيل و ثلاثة مجموعات هيدروكسيل إحداها محمولة من قبل إحدى ذرات كربون السلسلة .

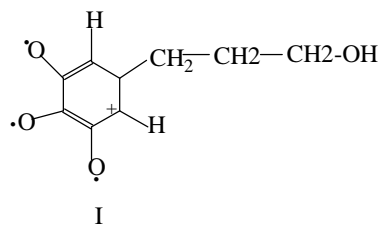
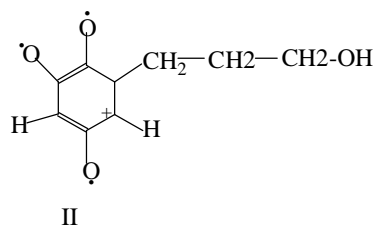
فحص هذا الطيف يعطي

مرافقة لشظية ناتجة عن إعادة ترتيب ماك لفرتي m/z=154 القمة -

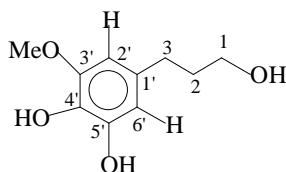
بفقدان الجزيئ (Mac Lafferty)



مما يؤكد وجود السلسلة المتكونة من ثلاثة ذرات كربون السابقة مع وجود بروتون في الموقع أورتو بالنسبة لها . وعليه يمكن إقتراح الصيغتين



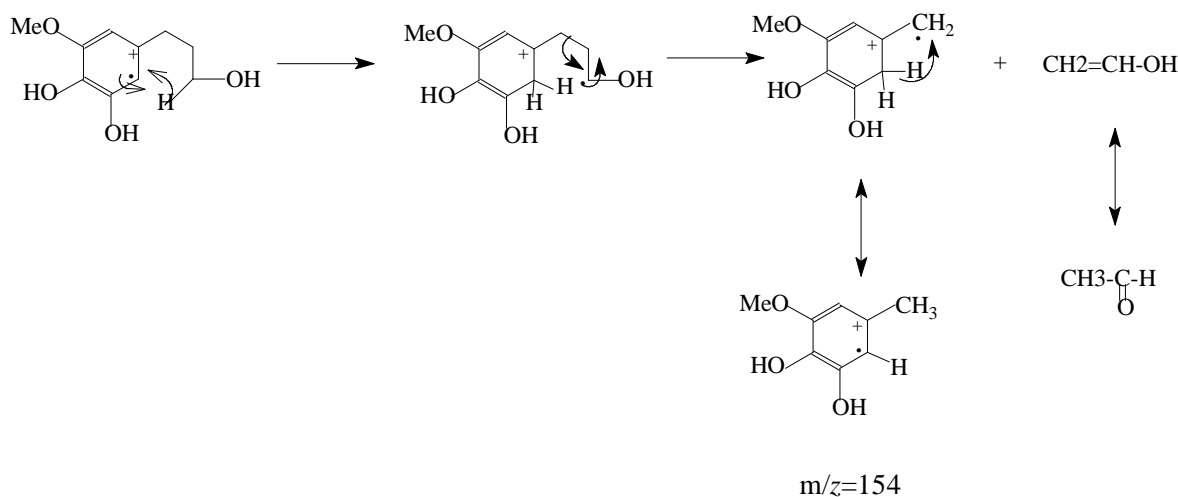
أن الإزاحة الكيميائية للبروتونين العطريين متقاربة لكنها غير متساوية مما  $^1\text{H-NMR}$  كما يبين طيف . و من جهة II يعني أن البروتونين كل منهما مجاور لمجموعة أكسجينية واحدة وهذا ما يلغي الصيغة أخرى لأبد أن تكون المجموعتين الأكسجينيتين المجاورتين للبروتونين مختلفتين وإلا فإن البروتونين العطريين يصبحان متكافئين ومنه تكون الصيغة المفصلة لهذا المركب هي



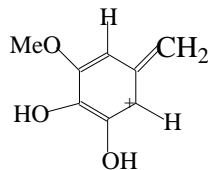
3-(3-methoxy 4,5-dihydroxyphenyl)-propan-1-ol

هذه النتيجة تتماشى مع النتائج البيبليوغرافية المعروفة على المركبات عند مراحل الميثابوليزم الثانوي [164] حيث هذا المركب فصل من قبل

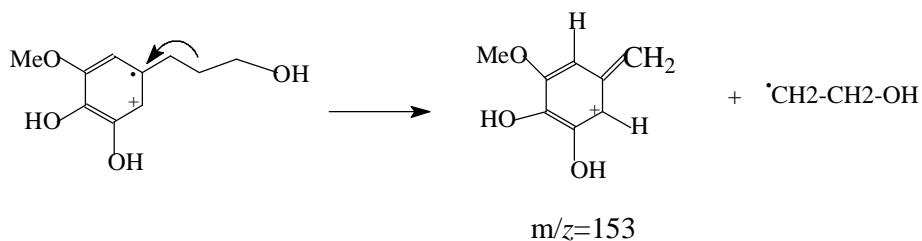
: وفق الآلية التالية (Mac Lafferty) يمكننا توضيح إعادة ترتيب ماك لفرتي



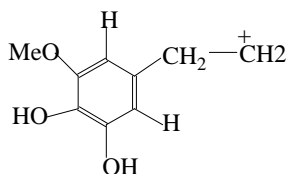
مرافقة للشظية  $m/z=153$  - القمة



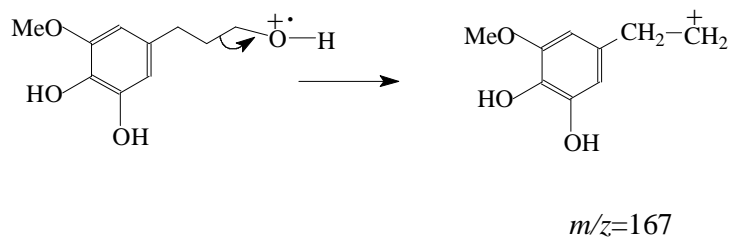
: حسب الميكانيكية التالية (rupture benzylique) الناتجة عن تكسيرة بنزيلية



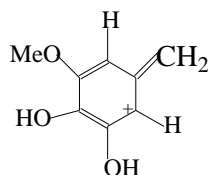
مرافقة للشظية  $m/z=167$  - القمة



: وفق الآلية التالية (rupture inductive) الناتجة عن تكسيرة تحريضية



مرافقة للشظية  $m/z=135$  - القمة



مما يؤكد أن الحلقة فعلا تحتوي على مجموعة هيدروكسيل  $H_2O$  وذلك بفقدانها لجزيئ  
فهي كلها تؤكد وجود حلقة عطرية متعددة  $m/z=77$  و  $m/z=92$  ،  $m/z=107$  ،  $m/z=122$  القمم  
المستبدلات.

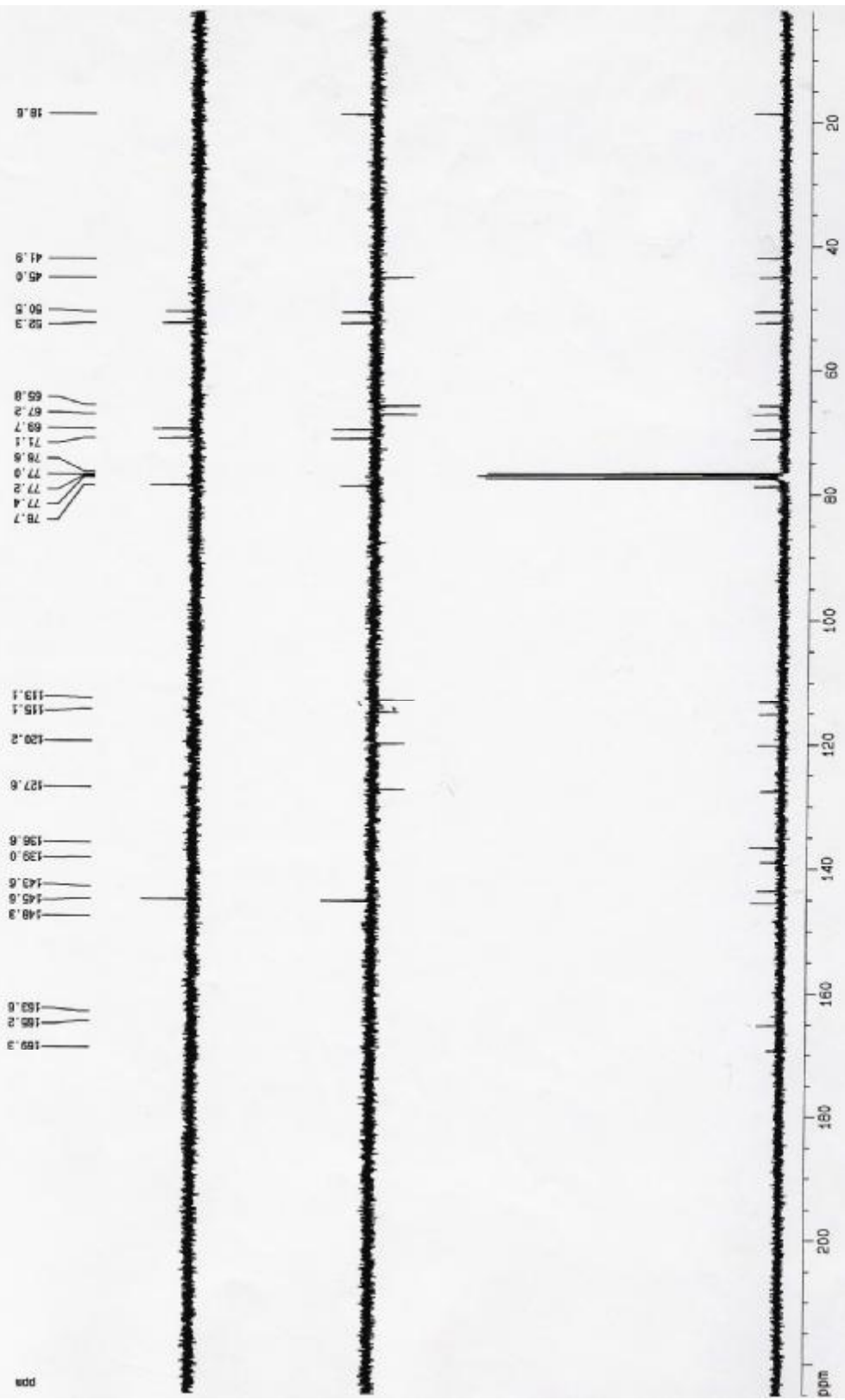
	C	$\delta_{[ppm]}$	DEPT (300 MHz)
1		62,0	CH <sub>2</sub>
2		32,0	CH <sub>2</sub>
3		34,3	CH <sub>2</sub>
1'		114,3	C
2'		103,6	CH
3'		144,8	C
4'		148,7	C
5'		147,5	C
6'		108,7	CH
OMe		56,1	CH <sub>3</sub>

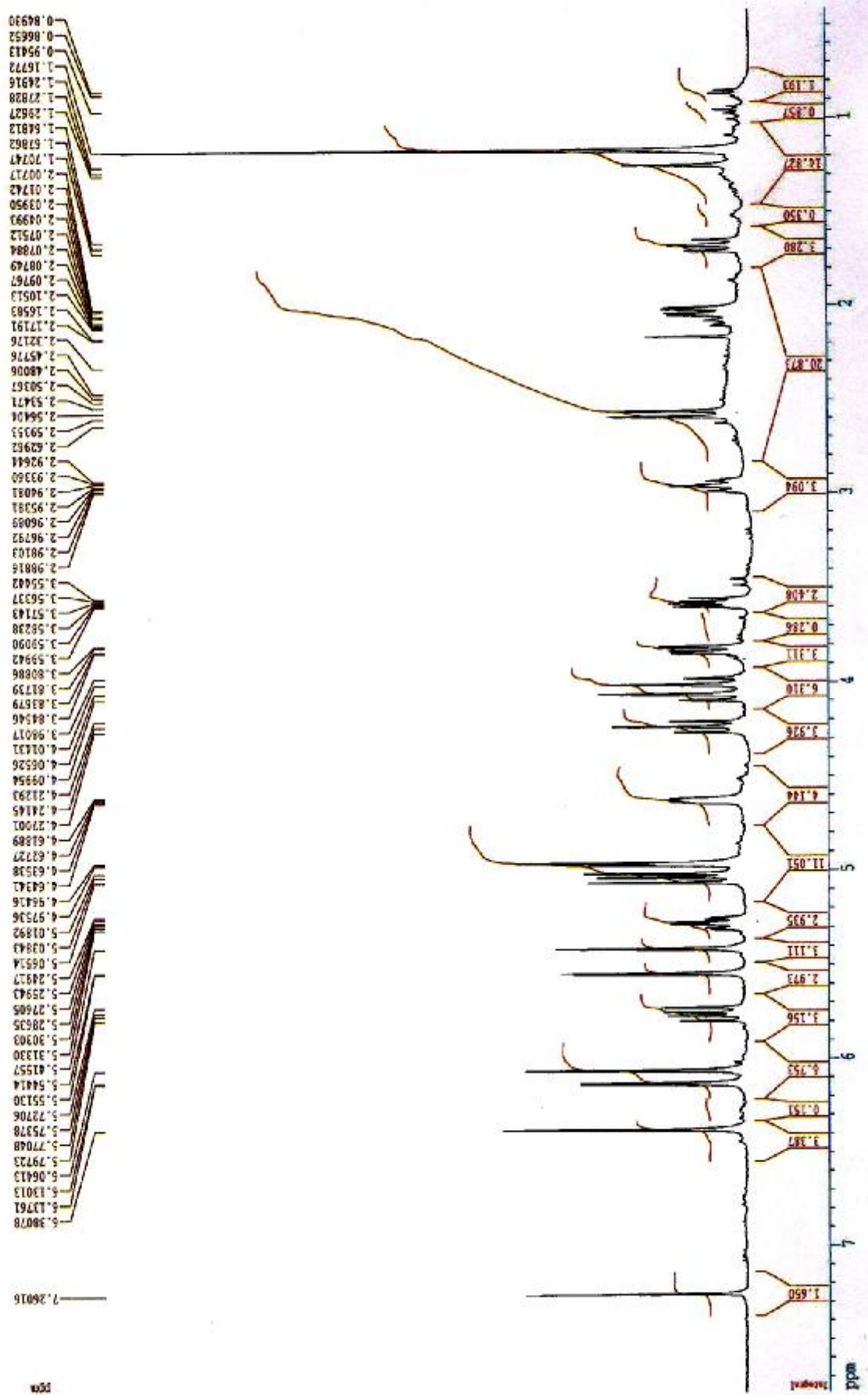
Table(5-21). <sup>13</sup>C NMR chemical shifts of compound ABAF<sub>222</sub> (75MHz, CDCl<sub>3</sub>+CD<sub>3</sub>OH).

	<sup>1</sup> H	$\delta_{[ppm]}$	Multiplicity	$J_{[Hz]}$ proton(s)
1		3,64	t	6,8
2		1,83	quintuplet	6,8
3		2,56	t	6,8
2'		6,42	brd	
6'		6,28	brd	
OMe		3,80	s	

Table(5-22). <sup>1</sup>H NMR chemical shifts of compound ABAF<sub>222</sub>(300 MHz, CDCl<sub>3</sub>+CD<sub>3</sub>OH).

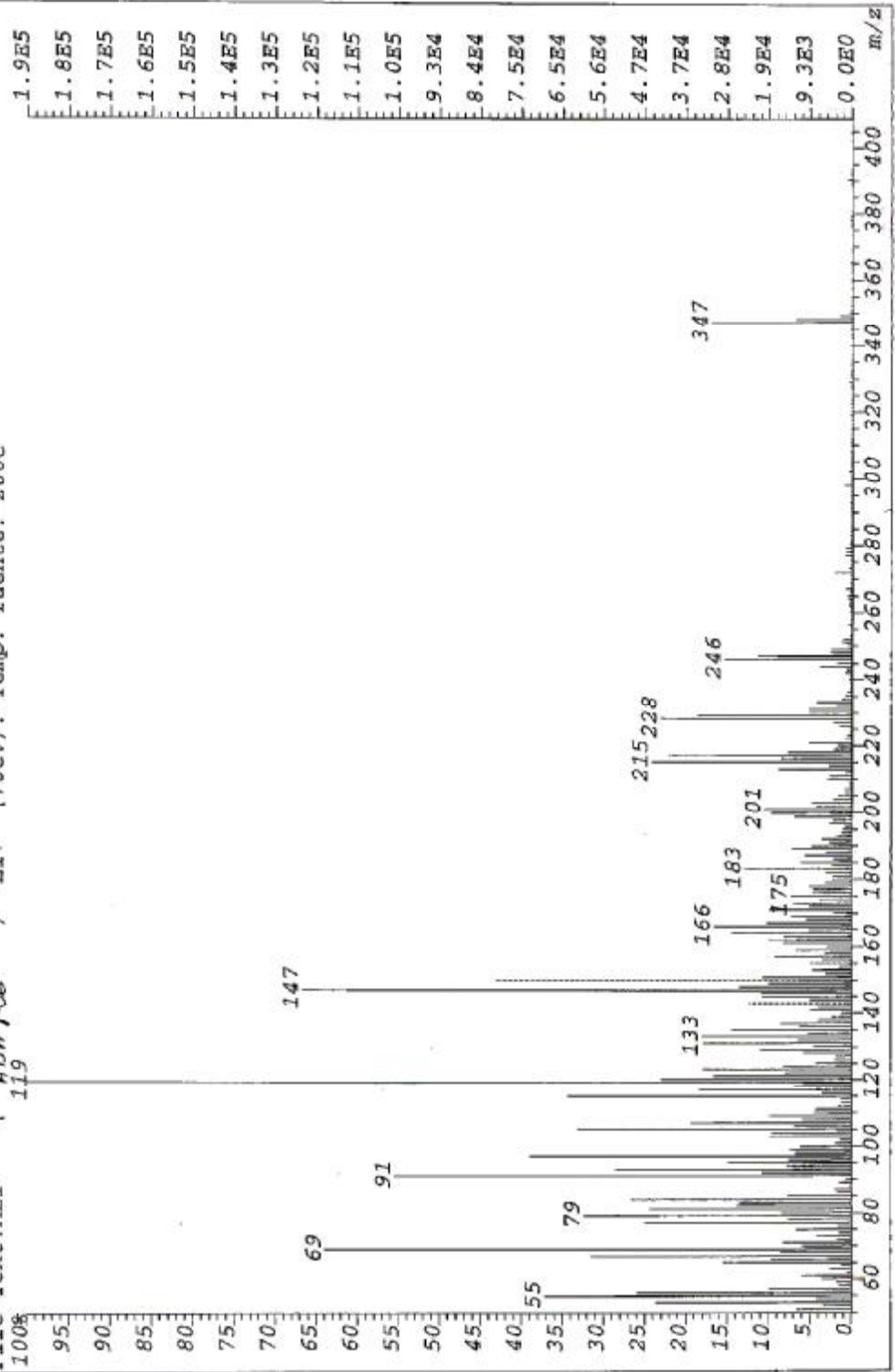
abe-f26 5 6 7 1 /v 1ub0





aba-f-26

File:S682 Ident:52\_58+54 Win 100PPM Acq: 4-JUL-2003 13:46:54 +2:44 Cal:S682  
AutoSpec EI+ Magnet BpM:119 BpI:186364 TIC:5023122 Flags:ACC  
File Text:ALI ( ~~ABA~~RG ) EI+ (70eV). Temp. fuente: 200C



## الخاتمة

كما أشرنا في بداية هذا البحث فإن هدفنا الرئيسي كان التعرف على نواتج الأيض الثانوي خاصة *Centaurea maroccana* و *Centaurea acaulis* اللاكتونات السيسكوي تربينية لنبات حيث عرضنا بعض الهياكل للاكتونات السيسكوي تربينية و كذا الإصطناع الحيوي لها كما أشرنا إلى أحدث الطرق للإصطناع الكلي للسيسكوي تربينات اللاكتونية .  
سمح لنا هذا العمل زيادة عن معرفة مختلف أنواع السيسكوي تربين لاكتون وأهميتها من ناحية الفعالية البيولوجية ، فصل وتحديد الصيغ البنوية لإحدى عشرة مركبا في حالتها الطبيعية ، حيث عزل من ستة مركبات من نوع السيسكوي تربين لاكتون تتميز بتنوعها إذ تتمثل في *Centaurea acaulis* نبات : هي D zaluzanine ثلاثة قاينوليدات مشتقة من مركب

مع العلم أن هذا المركب جديد ولم يذكر في 14-chloro 10 $\beta$ -hydroxy-10(14)-dihydro zaluzanine الذي يفصل لأول مرة من جنس القنطريون D zaluzanine و kandavanolide البيبليو جرافيا من قبل ، هو كذلك بدوره  $\beta$ -cyclocostunolide و santamarine بالإضافة إلى أوديسمانوليدين هما (*Centaurea*) هو أيضا جديد costunolide وجيرماكرانوليدا هو (*Centaurea*) يعزل لأول مرة من جنس القنطريون (*Centaurea*). بالنسبة لجنس القنطريون

فقد أعطى خمسة مركبات منها إثنين من نوع السيسكوي تربين لاكتون *Centaurea maroccana* أما نبات : والثاني إليمانوليدا هو cnicine أحدهما جيرماكرانوليدا هو 5H $\alpha$ ,6H $\beta$ ,7H $\alpha$ , -15-hydroxy-8 $\alpha$ -(1',2'-dihydroxyethyl)-acryloxy-olema-1(2),3(4),11(13)-trien-6,12-olide ومركب عطري متعدد المستبدلات هو hispiduline و apigénine ، فلافونيديين أجليكونيين هما 3-(3-methoxy 4,5-dihydroxyphenyl)-propan-1-ol

أعتمدنا في فصل هذه المركبات على التقنيات الكروماتوغرافية بأنواعها المختلفة (كروماتوغرافيا العمود وكروماتوغرافيا الطبقة الرقيقة) . وتمت تنقية المركبات المفصولة بالكروماتوغرافيا المتكررة وإعادة البلورة

مطيافية إمتصاص : كما تم تحديد البنى الجزيئية المفصلة للمركبات المنقية بإستعمال الطرق الفيزيائية ، مطيافية الكتلة عالية (IR) ، مطيافية إمتصاص الأشعة تحت الحمراء (UV) الأشعة فوق البنفسجية ثنائي البعد (RMN). و RMN-<sup>13</sup>C ، RMN-<sup>1</sup>H ومطيافية الرنين النووي المغناطيسي (SM) الأداء



## BIBLIOGRAPHIE

### المراجع

- [1] A. Engler; Syllabus der pflanzen Familien, 1964, 2, 488-497.
- [2] V. H. Heywood, J. B. Harborne, An overture to the Compositae In Biology and Chemistry of the Compositae ", 1977, 1, 1-20.
- [3] F. Bohlmann, S. Postulka and Ruhnke, Chem. Ber. 1988, 91, 462-1656.
- [4] F. Bohlmann, K. M. Rode and C. Zdero, Chem. Ber. 1966, 99, 3544-51.
- [5] R. S alguers, C.R. Soc. Biol., 1958, 83, 393-400
- [6] J. M. Viguera, J. Sanchez and I. Sanchez, Grassas yaceites, 1964, 15, 181-84.
- [7] Z. F. Ah, F. M. Hamouda, A. M. Rizk and I. Ismail, Planta Med., 1970, 18, 227-231.
- [8] M. S. Karawya and Coll; Egypt Pharmascie, 1975, 16 (4), 429-444.
- [9] M. Picher, T. Savane and T. J. Ampara, J. Nat. Prod., 1984, 47(1), 184-185.
- [10] L. P. Christensen and L. Jorgen, Phytochemistry, 1991, 30, 2663-65.
- [11] J. F. Gonnet, These de Doctorat, Lyon 1989.
- [12] I. Fernandez, B. Garcia, F. J. Grancha and J. R. Pedro, Phytochemistry, 1989, 28, 2405.
- [13] B. Negrete et Coll, Plantes Med. et Phytothérapie, 1987.
- [14] R. Riberau-Gayon, les composes phenoliques des vegetaux Dunod, Paris, 1968.
- [15] K. Kamanzi et J. Raynaud, Plantes Med. et Phytothérapie, 1976, 10, 78-84.
- [16] B. Drodz, DISS. Pharm. Pharmacol. 1967, 19, 223-225.
- [17] A. G. Gonzalez, J. M. Artega, J. Bermejo and J. L. Breton, Anales Soc. Esp. Fis. Quim., 1971, 67, 1243-1244.
- [18] S. Okuz and H. Ayyldiz, Phytochemistry, 1986, 25(2), 535-537.
- [19] B. Maurizio and H. Warner, Phytochemistry, 1988, 27 (6), 1873-75
- [20] P. Quezel and S. Santa, Nouvelle flore d'algerie et des régions désertiques meridionales. Tome II, 1963.
- [21] M. Monya and G. Racz, Plantes Med. et Phytothérapie, 1974, 8(2), 126 - 133 .
- [22] K. Kamanzi, thèse de doctorat, 1979.
- [23] J. L. Massot, M. N. Bertran et T. Adzet; Plantes Med. et Phytothérapie, 1979, 8(1), 41-45.
- [24] R. E. Negrette, N. Backhouse, B. Bravo, S. Eraso, R. Garciaet S. Avendanõ, Plantes Med. et Phytothérapie, 1987, 21((2) 168-172.
- [25] K. Kamanzi, B. Voirin, J. Raynaud, Plantes Med. et Phytothérapie, 1983, 17(1), 52-56.
- [26] K. Kamanzi, J. Raynaud, B. Voirin, Plantes Med. et Phytothérapie, 1983, 17(1), 47-51.
- [27] R. E. Negrette, L. Laiorre, N. Backhouse, R. PesaESA, C. Delaporte, Plantes Med. et Phytothérapie, 1988, 22(1), 1-10.
- [28] L. Beranger-Beausquesne, M. Pinlkas, M. Torck, Les plantes dans la thérapeutique moderne. 1975, Ed . Maaloine.
- [29] F. Beltran, J. M. Viguera and A. Casabuena, Farmacognosia, 1950, 10, 197-215.
- [30] S. Akkal, F. Benayache, S. Benayache and M. Jay; Flavonids from *centaurea incana*, Biochemical systematics and Ecology, 1997, 4, 361.
- [31] R. Bencherait; Thèse de Magister 1989, Constantine.
- [32] K Medjroubi, These de Magistere 1991, Constantine.

- [33] F. Benayache, S. Benayache, K. Medjroubi, G. Massiot, P. Aclinou, B. Drodz and G. Nowak, *Phytochemistry*, 1992, 31(12), 4359-4360.
- [34] K. Medjroubi, F. Benayache, S. Benayache, S. Akkal, N. Khalfallah and P. Aclinou, Guaianolide from *Centaurea musimomum*, *Phytochemistry*, 1997, 45(7), 1449.
- [35] J. G. Platas, C. Ruiz-Pérez, A. G. Ganzalez, J. Bermejo and K. Medjroubi, 4 $\beta$ ,15-dihydro-3-dehydrosolstitialin A, *Acta Cryst*, 1999, 55,1837.
- [36] G. Athmani, S. Benayache, F. Benayache, H. Dendoughi, M. Jay, J. Sac. Alger. Chem, 1998, 8(1), 29-36.
- [37] K. Medjroubi, N. Bouderdara, F. Benayache, S. Akkal, E. Seguin and F. Tellequin, Sesquiterpene lactones of *Centaurea nicaensis*, *Chemistry of natural compounds*, 2003, 39(5), 506 .
- [38] S. Akkal, F. Benayache, S. Benayache, K. Medjroubi, M. Jay, F. Tellequin and E. Seguin, New flavone glycoside from, *Centaurea furfuracea*, *Fitoterapia*, 1999, 70, 368-370.
- [39] S. Delouche. Thèse de Magister 2003, Constantine.
- [40] C. Boubekri Thèse de Magister 2003, Constantine.
- [41] R. Benakcha , Thèse de Magister 2001, Constantine.
- [42] N. Mezache ,Thèse de Magister 2002, Constantine..
- [43] K. Medjroubi, F. Benayache, S. Benayache, S. Akkal, M. Kaabeche, F. Tellequin and E. Seguin, Eudesmanolide form *Centaurea granata*, *Phytochemistry*, 1998, 49(8), 2425.
- [44] A. Bentamene, Thèse de Magister 1997, Constantine.
- [45] S. Akkal, F. Benayache, A. Bentamene, K. Medjroubi, E. Seguin and F. Tellequin, Flavonoid aglycone from *Centaurea napifolia*, *Chemistry of natural compounds*, 2003, 39(2), 219-220.
- [46] P. Aclinou, A. Boukerb, J. Bouquant, G. Massiot et L. Le men-olivier, *Plantes des Aures : Constituants des Racines de Centaurea incana*, *Plantes Med. et Phytothérapie*, 1982, 303-309.
- [47] G. Massiot, L. Le Men-Olivier, J. Bouquant, A. Madaci, A. Mahmoud, P. Aclinou, M. Chopova, *Phytochemistry*, 1986, 25, 251-261.
- [48] J. Jukupovic, Y. Jia, V. P. Pathak, F. Bohlmann and R. M. King, *Planta Med.* 1986, (5), 399-401.
- [49] M. S. Karawya, S. H. Hilel, M. S. Hifnawy, S. Seham and Hawaii, *J. Pharm. Sci.*, 1975, 16 (4), 429-444.
- [50] B. Drodz, (1967) *Dissertation Pharm. Pharmacol. (Poland)*, 20, 93.
- [51] R. Vanhaelen-Faster and M. Vanhaelen, *Planta Med.* 1976, 29, 179.
- [52] J. L. Massiot, M. N. Bertran, T. Adzet; *Plantes Méd. et phytothérapie* 1979, 12(1), 41.
- [53] A. G. Gonzalez, J. Bermejo, I. Cabrera and G. M. Massanet, *Anales de quimica*, 1973, 70, 74.
- [54] L. H. Fikenscher, R. Hegnauer and H.W.L. Ruijgrok, *Planta Med*, 1980, 40, 202-211.
- [55] M. T. Pischen, E. Seoane, A. Tortajada, *Phytochemistry*, 1984, 23, 9.
- [56] M. L. Cardona, L. Fernandez, J. R. Pedro and B. Perez, *Phytochemistry*, 1991, 30(7) 2331-2333.
- [57] M. L. Cardona, L. Fernandez, J. K. Pedro and R. Vidal, *Phytochemistry*, 1992, 31(10), 3057-3059.
- [58] J. A. Marco, J. F. Sanz, F. Snacenon, A. Susnna, A. Rustalyan and M. Saberi; *Phytochemistry*, 1992, 31(10), 3527-3530.
- [59] M. Wlodzimierz and G. Nowak, *Phytochemistry*, 1993, 32(1), 204-205.
- [60] R. E. Negrette, N. Backhouse, P. Prieto, H. Majias, B. K. Cassels, R. C. Camargo and E. Brettmaier; *Plantes Med. et Phytothérapie*, 1989, 24(4), 293-304.
- [61] L. Fernandez, B. Garcias, F. Jgrancha and J. R. Pedro; *Phytochemistry*, 1989, 28(9), 2405-2409.

- [62] L. P. Christensen and L. Jorgen, *Phytochemistry*, 1991, 30(10), 3289-3292.
- [63] V. Vajs, N. Todorovic, M. Ristic, V. Tesevic, B. Todorovic, P. Janackovic, P. Marin, S. Milosavljevic, Guaianolides from *Centaurea nicolai*: antifungal activity. *Phytochemistry*, 1999, 52, 383-386.
- [64] J. Bruneton, *Pharmacognosis et Phytochimie des Plantes Medicinales Technique et documentation-Lavoisier*, 1993.
- [65] A. K. Picman, Biological Activities of sesquiterpene lactones, *Biochem. System. Ecol*, 1986, 14, 255-281.
- [66] F. C. Seaman, Sesquiterpene lactones as taxonomic characters in the Asteraceae. *Bot. Rev.*, 1982, 48, 121-595.
- [67] R. J. Marles, L. Pazos-Sanou, C. M. Compadre, J. M. Pezutto, E. Bloszyk et T. Armaso, Sesquiterpene lactones revisited In : J. T. Arnason, R. Mata, J. T. Romeo, editors, *Recent advances in Phytochemical Medicinal Plants* Plenum Press, New York and London, 1995, 29, Chapter 13: 334-340.
- [68] W. KAHLEK; *Arch. Pharm.*, 1830, 34, 318, *Belsteins Hanbuch der organischen chimie*, 1933, 17, 499 .
- [69] N. H. Fischer, E. J. Olivier and H. D. Fischer, *Progress in the chemistry of organic natural products*, 1979, 38, 47 .
- [70] N. H. Fischer, Sesquiterpene lactones biogenesis and biogenic mimetic, In *Recent advances in Phytochemistry*, 1990, 24 (ed. G. H. N. Towers and H. A. Stafford), 161-201, Plenum Press, New-York
- [71] L. Ruzicka, *Experientia*, 1953, 9, 357.
- [72] L. Ruzicka, *Proc. Chem. Soc. (London)* 1959, 541.
- [73] J. B. Hendrickson, *tetrahedron*, 1959, 7, 82.
- [74] T. A. Geissman, the biogenesis of sesquiterpene lactones of the compositae, contribution N° 2780 from the department of chemistry, University of California, Los Angeles.
- [75] J. Bruneton, *Phytochimie Plantes Medicinales*, 2<sup>ème</sup> édition, *Technique et documentation-Lavoisier*, 1993.
- [76] M. Bruno, N. Vasallo, C. Fazio, T. E. Gdris et M. Herz, Sesquiterpene lactones of two species from Sicily, *Biochemical Systematics and Ecology* [77]
- Youssef D. T. A Sesquiterpenelactone of *Centaurea scoparia*, *Phytochemistry*, 1998, 49(6), 1733-1737 .
- [78] H. Yoschioka, T. J. Mabry et B. N. Timmermann, Sesquiterpene lactones, *Chemistry, NMR and Distribution*, University of Tokyo press, Tokyo, 1973.
- [79] J. F. Sindaet J. F. Bernardis, L. Iodia, 1973, 36, 107.
- [80] H. Skaltsa, D. Lazzardi, B. Garcia, J. R. Pedro, M. Sokovic et T. Constantinidis, *Z. Naturforsch. C. J. Biosci*, 2000, 55(7-8), 534-539.
- [81] V. Tesevic, V. Vajs, N. Todorovic, D. Dokovic, P. Marin et S. Milosavljevic, *J. Serb. Chem. Soc*, 1998, 63(2), 131-135.
- [82] F. A. Macias, J. C. Galindo et G. M. Massanet, *Phytochemistry*, 1992, 31, 1969.
- [83] A. T. Geissman, *The Biosynthesis of sesquiterpenelactones of compositae*, *Recent advances in phytochemistry*, 1973, 6, Str. 65, Academic press, New York and London.
- [84] W. Herz, *Biogenetic aspects of sesquiterpene lactones chemistry*, Israel, *J. Chem.* 1977, 16, 32.
- [85] D. Goldsmith, *The total synthesis of Natural Products*, vol. 5, 119.
- [86] K. Narkunan, Lin-Hun Shin et Rai-Shung Liu, *Synlett*, 2000, 9, 1300-1302.
- [87] C. A. Claridge, H. Schmitz et W. T. Bradner, *Cancer Chemother. Pharmacol*, 1979, 2(3), 181-182.
- [88] A. K. Picman, Biological activities of sesquiterpene lactones, *Biochemical Systematics and Ecology*, 1986, 14, 255-281.
- [89] M. Robles, M. Aregullin, J. West et E. Rodriguez, *Recent studies on the*

zoopharmacognosy, pharmacology and neurotoxicology of sesquiterpene lactones. *Planta Med*, 1995, 61, 199-203.

[90] I. H. Hall, K. H. Lee, C. O. Stares, Y. Sumida, T. E. Waddell, J. W. Cochran et K. G. Gehrat, *J. Pharm. Sci*, 1979 May, 68(5), 537-541.

[91] A. J. Abad, P. Bermejo, S. Valverd, et A. Villard, *Planta Med*, 1994, 60, 228.

[92] J. Youl Cho, K. UP Baik, J. H. Jung et M. Park, *European Journal of Pharmacology*, 2000, 398, 399-407.

[93] B. B. Jarvis, G. P. Stahly et C. R. Curtis, *Cancer. Treat/ Rep*, 1978 Oct, 62(10), 1585-1586.

[94] E. Abdel Sattar, A. M. Galal et G. S. Mossa, *J. Nat. Prod*, 1996 Apr, 59(4), 403-405.

[95] K. H. Lee, T. Ibuka, H. Furukawa, M. Kozuka, R. Y. Wu, I. H. Hall et H. C. Huang, *J. Pharm. Sci*, 1980 Sep, 69(9), 1050-1056.

[96] N. Goren, H. J. Woedentbag et C. Bozok-Johansson, *Planta Med*, 1996 Oct, 62(5), 419-422.

[97] A. Z. I. Al Mougoul, A. K. Bashir, S. A. Khalid et A. Farouk, *Fitoterapia*, 1997, L XVII, 83.

[98] J. T. Arnason, M. B. Isman, B. J. Philogène et T. G. Waddell, *J. Nat. Prod*, 1987(Jul-Aug), 50(4), 690-695.

[99] I. Kubo, S. K. Chaudhuri, Y. Kubo, Y. Sanchez, T. Ogura, T. Saito, H. Ishikawa et H. Haraguchi, *Planta Med*, 1996 Oct, 62(5), 427-430.

[100] G. R. Pettit, D. L. Herald, G. M. Cragg, J. A. Rideout et P. Brown, *J. Nat. Prod*, 1990(Mars-Apr), 53(2), 382-390

[101] J. J. Hoffmann, S. J. Torrance, R. M. Widehopf et J. R. Cole, *J. Pharm. Sci*, 1977 Juin, 66(6), 883-884.

[102] O. M. Abdallah, A. A. Ali et H. Itokawa, *Pharmazie*, 1991 Jun, 46(6), 472.

[103] R. Kasai, T. Shingu, R; Y. Wu, I. H. Hall et K. H. Lee, *Journal of Natural Products*, 1982(May-Jun), 45(3), 317-320.

[104] H. Scaltse, D. Lazari, C. Palagouleas, E. Georgiadou, B. Garcia et M. Sokovic, *Phytochemistry*, 2000, 55(8), 903-908.

[105] Y. Q. Zhan, S. B. Xu, Y. C. Lin et L. I. Q. *Zhongguo Yaoli Xu ébao*, 2000, 21, 1.

[106] D. Hwang, N. H. Fisher, B. C. Jang, H. Tak, J. K. Kim et W. Lee, *Biochemical and Biophysical Research Communication*, 1996, 226, 808-810.

[107] J. G. Blanco, R. R. Gil, C. I. Alvares, L. C. Patrino, S. Genti-Raimondi et A. Flury, A novel activity for a group sesquiterpene lactones, Inhibition of aromatase, *FEBS Letters* 1997, 409, 369-400.

[108] L. J. Haynes, *Quart. Rev*, 1984, 46.

[109] M. Taniguchi, T. Kataoka, H. Suzuki, M. Ando, K. Arao, J. Magae, T. Nishimura, N. Oake et K. Nagai, Costunolide and dehydrocostunolide lactone as inhibition of killing function of cytotoxic T lymphocytes. *Biosci. Biotechnol. Biochem*, 1995, 59, 2064-2067.

[110] H. G. Park, W. T. Jung, P. Bassinet, S. Kadota, T. Namba, Stringin 4-O- $\beta$ -glucoside, a new phenylpropanoid, and costinolide, a nitric oxide synthase inhibitor, from the stem bark of *Magnolia sieboldii*, *J. Nat. Prod*, 1996, 59, 1128-1130.

[111] H. J. Lee, N. Y. Kim, H. J. Son, K. M. Kim, D. H. Sohn, S. H. Lee et J. H. Ryu, *Planta Med*, 1999, 65, 104-108.

[112] H. C. Chem, C. K. Chou, S. D. Lee, J. C. Wang et S. F. Yeh, Active compounds from *Saussurea lappa* Clarke that suppress hepatitis B virus surface antigen expression in human hepatoma cells, *Antiviral Res*, 1995, 27, 99-109.

[113] N. H. Fischer, The function of mono and sesquiterpene as plant germination and growth regulator. In the Science of Allelopathy (ed. A. R. Putman and C. S. Tang), Interscience, New York, 1986, 203-218.

- [114] S. D. Elakovich, Terpenoids as models for new agrochemical, American Chem. Soc. Symp. Ser, 1988, 380, 250-261.
- [115] D. A. Witzel, W. Lizes et J. W. Dollahite, American journal of veterinary research, 1976 Jul, 37(7), 859-861.
- [116] J. C. Merrill, H. M. Kim, S. Safe, C. A. Murray et M. A. Hayes, J. Toxicol Environ Health, 1988, 23(2), 159-169.
- [117] G. R. Pettit, J. C. Budzinski, G. M. Cragg, P. Brown et L. D. Johnson, J. Med. Chem, 1974, 17(9), 1013-1016.
- [118] I. H. Hall, K. H. Lee, E. C. Mar, C. O. Starnes et T. G. Wadell, J. Med. Chem, 1977, 20, 333-337.
- [119] M. C. B. V. Alarcán, J. H. C. Lopez et W. Herz, Planta Med, 1990, 5, 271-273.
- [120] R. V. Burim, R. Cannale, J. L. Callegari Lopes et C. S. Takahashi, Genetics and molecular biology, 1999, 22(3), 401-406.
- [121] P. Barbetti, C. G. Casinovi, Ann. Est. Supr. Sanita, 1981, 17(2), 283-322.
- [122] A. C. Beekman, H. J. Woerdenbag, nW. Van Uden, N. Pras, A. W. Konings, H. V. Wikstrom et J. T. Schmidt, J. Nat. Prod, 1997 Mar, 60(3), 252-257.
- [123] G. R. Pettit, D. H. Barten, C. L. Helard, J. Polonsky, J. M. Schmidt et J. D. Connolly, J. Nat. Prod, 1983 May-Jun, 68(6), 715-718.
- [124] T. G. Waddell, A. M. Austin, J. W. Cochran, K. G. Gerhart, I. H. Hall et K. H. Lee, J. Pharm. Sci, 1979 Jun, 68(6), 865-867.
- [125] S. M. Kupchan, J. W. Ashmor et A. T. Sneden, J. Pharm. Sci, 1978 Jun, 67(6), 865-867.
- [126] K. H. Lee, E. C. Mar, M. Okamoto, I. H. Hall, J. Med. Chem, 1978 Aug, 21(8), 819-822.
- [127] K. H. Lee, T. Ibuka, D. Sims, O. Muraoka, H. Kiyokawa, I. H. Hall, H. M. Kim, J. Med. Chem, 1981 Aug, 24(8), 924-927.
- [128] R. L. Hanson, H. A. Lardy and S. M. Kupchan, Science, 1970, 168, 378-380.
- [129] E. Rodriguez, G. H. Towers et J. C. Mitchell, Review-Biological Activities of sesquiterpene lactones, phytochemistry, 1976, 15, 1573-1580.
- [130] A. F. Battero, J. E. Oltra, M. Alvarez, D. S. Raslan, D. A. Saude, M. Akssira, New sources and antifungal activity of sesquiterpene lactones, Fitoterapia, 2000, 71, 60-64.
- [131] A. Inoue, S. Tamogami, H. Kato, Y. Nakazato, M. Akiyama, O. Kodoma et al, Phytochemistry, 1995, 39, 845-848.
- [132] S. Neidle and D. Rogers, chem. Commun. 1972, 140.
- [133] G. Massiot, A. M. Morfaux, L. Le Men-Olivier, J. Bouquant, A. Madaci, A. Mahmoud, M. Chopova and P. Aclinou, phytochemistry, 1986, 25(1), 258.
- [134] R. Hodgson, G. Drozd, K., Budesinsky, collection czechoslovak chem. commun. 1986, 51.
- [135] B. Geppert, B. Drozd, M. Kielczewski, and M. Holub, acta-socie Tatis Botanicorum Poloniae, 1983, 52(1), 23-34.
- [136] I. Fernandez, B. Garcia, F. J. Gancha and J. R. Pedro, Phytochemistry, 1987, 26(8), 2403-2405.
- [137] F. Bohlman, C. Zdero, R. M. King, and H. Robinson, (1984) Phytochemistry, 1979, 23.
- [138] Interpretation of mass spectra McLafferty 3<sup>th</sup> edition 1980.
- [139] E. Breitmaier, Wolfgang Voelter, <sup>13</sup>C-NMR spectroscopy, third, completely revised edition, 1987.
- [140] R. Shumacher, J. Gutzwiller and C. H. Tamm-Helv, chim. Acta., 1971, 54, 2080.
- [141] G. Rucker-Angewau, chem. Int. Ed., 1973, 10, 793.
- [142] R. M. Kupchan and R. J. Hemingway, chem. Ind., 1968, 22, 36.

- [143] H. Minato and I. Horibe, J. Chem. Soc. c., 1965, 7009, 1963, 2131.
- [144] K. H. Lee, R. Meck and C. Piantadosi, J. of Med. Chem., 1973, 16, 299.
- [145] S. M. Kupchan, Y. Aynehchi, J. M. Cassady, H. K. Schnoes and A. M. Burlingame, J. org. Chem., 1969, 34, 3867 .
- [146] S. M. Kupchan, D. C. Fessler, M. A. Eakin and T. J. Giacobbe, science 168, 1970, 376 .
- [147] S. M. Kupchan, M. A. Eakin and A. M. Thomas, J. Med. Chem., 1971, 14, 1147.
- [148] L. J. Aynes, quart. Rev., 1948, 46.
- [149] L. J. Hartwell, and B. J. Abbott, Adv. Pharm. Chem., 1969, 7, 117.
- [150] S. Gnecco, J. P. Poyser, M. Silva, P. G. Sammes and T. W. Tyler, Phytochemistry, 1973, 12, 2469.
- [151] S. M. Kupchan, V. H. Davies, T. Fujita, H. R. Cox and R. F. Bryan, org. Chem., 1973, 38, 1853.
- [152] J. C. Mitchell, and G. Dupuis, J. Dermatology, 1971, 84, 139.
- [153] J. C. Mitchell, recent adv. Phytochemistry, 1975, 9, 119 .
- [154] A. Rustaiyan and S. Ardebili, New guaianolides from *Centaurea Kandavanensis*. Planta Medica, 1984, 50, 363.
- [155] C. Gonzalez, F. A. Macias, G. M. Massanet and L. F. Rodriguez, Guaianolides from *Centaurea canariensis*, Phytochemistry, 1985, 24(9), 2107-2109.
- [156] A. Romo de Vivar, A. Cabrera, A. Ortega and J. Romo, Constituents of *Zaluzania* species. Structures of zaluzanin C and zaluzanin D. Tetrahedron, 1967, 23(10), 3903-3907.
- [157] W. Kisiel, Phytochemical investigations of *Vernonia flexuosa*, new sesquiterpene lactones. Polish Journal of Pharmacology and Pharmacy, 1975, 27(4), 461-467.
- [158] A. I. Scott, Interpretation of the ultra-violet spectra of natural products, Pergamon press, 1964, 235.
- [159] H. Morimoto, Y. Sanno and H. Ashio, Tetrahedron, 1966, 22, 3173.
- [160] J. Bruneton, Pharmacognosie Phytochimie Plantes Médicinales 2<sup>ème</sup> édition, Technique et documentation-Lavoisier, 1993, 500.
- [161] A. Romo de vivar, M. Aguilar, H. Yoshioka, A. Higo, E. Rodriguez, J. A. Mears et T. J. Mabry, Tetrahedron, 1970, 26, 2775.
- [162] W. Herz and S. V. Bhat, J. org. Chem, 1970, 35, 2603.
- [163] N. B. Colthup, L. H. Daly and S. E. Wiberley, Introduction of infrared and Raman spectroscopy, Academic Press, New York et London 1964, 248.
- [164] L. Fernandez, B. Garcias and F. Jgrancha, Phytochemistry, 1990, 29(10), 3173-3187.
- [165] Appendino, A., Gariboldi, P., Belliardo, F., 1986. Sesquiterpene lactones from *Centaurea uniflora* Subsp. *nervosa*. Phytochemistry. 25 (9), 2163-2165.

## Résumé

Dans ce travail nous nous sommes intéressés à l'étude, à la séparation et à la détermination structurale de métabolites secondaires notamment de type lactones sesquiterpéniques. Ces molécules connues par leur activités biologiques diverses, forment avec les flavonoïdes la composante principale du métabolisme secondaire de la famille des composées.

Cette étude a été poursuivie selon deux critères :

Le premier se rapporte au genre *centaurea* dont plusieurs espèces sont utilisées dans la médecine traditionnelle pour leur activité hypoglycémiant et cardiotonique.

Le deuxième a trait à la recherche de structures nouvelles a activité biologique potentielle notamment des lactones sesquiterpéniques .

Nos travaux expérimentaux sur deux espèces de ce genre : *Centaurea acaulis* et *Centaurea maroccana* ont permis la purification et la détermination structurales de huit lactones sesquiterpéniques à l'état natif dont un original que nous décrivons pour la première fois dans la littérature, deux aglycones flavoniques , et un composé aromatique diversement substitué. Nos résultats ont montré une diversité structurale du squelette sesquiterpénique des composés issus de *Centaurea acaulis*.

En effet, nous avons mis au point la structure de :

-Trois guaïanolides diversement substitués dérivés de la zaluzanine D, dont un original : 14-chloro 10 $\beta$ -hydroxy-10(14)-dihydro zaluzanine D,

un nouveau pour le genre *Centaurea* :

zaluzanine D et un connue pour le genre *Centaurea* : kandavanolide .

-Deux eudesmanolides, la santamarine , une molécule rare dans la tribu des cynarées et le  $\beta$ -cyclocostunolide , une molécule nouvelle pour le genre *Centaurea* .

-Un germacranolide : le costunolide également nouveau pour le genre *Centaurea* .

Concernant l'étude de *Centaurea maroccana*, nous avons obtenu :

\*\* deux lactones sesquiterpéniques ayant des squelettes sesquiterpéniques différents

-Un germacranolide, la cnicine, une molécule réputée pour sa toxicité et largement répandue dans le genre *Centaurea* .

-Un élémanolide, 5H $\alpha$ ,6H $\beta$ ,7H $\alpha$ , -15-hydroxy-8 $\alpha$ -(1',2'-dihydroxyethyl) -acryloxy-elema-1(2),3(4),11(13)-trien-6,12-olide, connu également dans le genre *Centaurea* .

\*\* Deux flavonoïdes aglycones, l' apigénine et l' hispiduline, tout deux bien répandues dans le genre *Centaurea* .

\*\*Un composé aromatique, 3-(3-méthoxy 4,5-dihydroxyphenyl)-propan-1-ol.

Il est signalé que les deux espèces endémiques à l'Algérie et la Tunisie (*Centaurea acaulis*), à l'Algérie et au Maroc (*Centaurea maroccana*) n'ont jamais fait l'objet d'études phytochimiques auparavant .

les structures ont été élucidées par les expériences les plus performants de RMN mono et bidimensionnelles (RMN-<sup>1</sup>H, RMN-<sup>13</sup>C, COSY(<sup>1</sup>H-<sup>1</sup>H), HSQC, HMBC et NOESY), par spectrométrie de masse à basse et haute résolution, par spectrophotométrie UV-VIS et IR .

## Summary

In this work we are interesting by the study, separation and structural elucidation of secondary metabolites, especially sesquiterpene lactones, which are known by their biological activities and they form with the flavonoids the major constituents of the secondary metabolites of compositae family .

This study was carried out for two reasons :

Firstly, because some species of the genus (*Centaurea*) are used in folk medecin for their hypoglycaemic and cardiotoxic effects.

Secondary, we are looking for new substances which have biological activity, especially sesquiterpene lactones.

From the phytochemical investigation of two species: *Centaurea acaulis* and *Centaurea maroccana* we have purified and identified eight sesquiterpene lactones in which one is new, two flavonoid aglycones and an aromatic compound.

Our results show a structural diversity in the sesquiterpene skeleton for *centaurea acaulis* in which we have identified:

Three guaianolides derived from zaluzanin D, in which one is new : 14-chloro 10 $\beta$ -hydroxy-10(14)-dihydro zaluzanine D,

another is found from the first time in the genus *Centaurea* : zaluzanin D

and the third is known in the genus *Centaurea* : kandavanolid.

Two eudesmanolides: sautamarine, a rare substance in cynareae tribe and  $\beta$ -cyclocostanolid which is reported for the first time in the genus *Centaurea*.

A germacranolide: costunolid identified for the first time in the genus *centaurea*.

While in *centaurea maroccana* we have identified:

Two sesquiterpene lactones one is a germacranolide: cnicine a toxic compound and an elemanolide: 5H $\alpha$ ,6H $\beta$ ,7H $\alpha$ ,15-hydroxy-8 $\alpha$ -(1',2'-dihydroxyethyl)-acryloxy-elema-1(2),3(4),11(13)-trien-6,12-olide .

Two flavonoid aglycones: apigenin and hispidulin.

All these compounds are well known in the genus *Centaurea*.

Finally an aromatic compound:3-(3-methoxy 4,5-dihydroxyphenyl)propan-1-ol.

We signal that *centaurea acaulis* is endemic for Algeria and Tunisia, while *centaurea maroccana* is endemic for Algeria and Morocco. And no previous work has been recorded on the two species.

The structures of the identified compounds were established by one and two dimensional NMR spectroscopy (<sup>1</sup>H-NMR, <sup>13</sup>C-NMR, (H-H) COSY, HSQC, HMBC, NOESY), mass spectroscopy, UV-visible and IR spectroscopy.



## الملخص

تركز إهتمامنا في إطار هذا العمل على دراسة ، فصل وتحديد نواتج الأيض الثانوي خاصة المركبات السيسكوي تربيينية اللاكتونية . هذه الجزيئات معروفة بفعاليتها البيولوجية المختلفة وهي تشكل بالإضافة إلى الفلافونيدات النواتج الأساسية للميتابوليزم الثانوي عند العائلة المركبة . وقد تمت الدراسة تبعا لأمرين :

أين الكثير من أنواعه تستعمل في الطب الشعبي (*Centaurea*) يتعلق بجنس القنطريون :الأول لفعاليتها المضادة للسكري ، المنبهة والمقوية للقلب .

يتعلق بالبحث عن مركبات جديدة ذات فعالية بيولوجية منتظرة لا سيما المركبات السيسكوي :الثاني تربيينية اللاكتونية .

بالوصول إلى *Centaurea maroccana* و *Centaurea acaulis* سمحت أعمالنا التجريبية على نوعي الصيغ البنيوية لثمانية لاكتونات سيسكوي تربيينية في حالتها الطبيعية . من بينها مركب جديد لم يذكر في البيبليوغرافيا من قبل ومركبين فلافونيديين أجليكونيين ومركب عطري متعدد المستبدلات ، تتميز بتنوع الهيكل السيسكوي تربييني *Centaurea acaulis* نتائج هذه الدراسة بينت أن مركبات اللاكتوني حيث توصلنا إلى تحديد بنية

أحدها جديد لم يذكر في البيبليو zaluzanine D -ثلاثة قايانوليدات متنوعة المستبدلات ومشتقة من والثاني يفصل لأول مرة 14-chloro 10 $\beta$ -hydroxy-10(14)-dihydro zaluzanine :غرافيا من قبل هو

zaluzanine D : هو (*Centaurea*) من جنس القنطريون

. kandavanolide : هو *Centaurea* فمعروف عند جنس أما الثالث

- مركبين من الأوديسمانوليدات ، الأول : *santamarine*

يفصل لأول مرة من جنس  $\beta$  : *cyclocostunolide* أما الثاني فهو *Cynareae* وهو نادر الوجود عند (*Centaurea*) القنطريون

(*Centaurea*) يفصل هو كذلك لأول مرة من جنس القنطريون *costunolide* :- مركب جيرماكرانوليدا هو

: فسمحت بتحديد بنية *Centaurea maroccana* كما أن الدراسة الخاصة بـ

هيكليين مختلفين من السيسكوي تربيين لاكتون . \*\*

هذا المركب معروف بسميته ووجوده بكثرة عند جنس *nicine* :مركب جيرماكرانوليدا هو -

*Centaurea* .

- مركب إيمانوليدا هو :  $5H\alpha,6H\beta,7H\alpha,-15-hydroxy-8\alpha-(1',2'-dihydroxyethyl)$

$-acryloxy-elema-1(2),3(4),11(13)-trien-6,12-olide$

*Centaurea* هو أحد المركبات المعروفة عند جنس

وكلاهما كثير التواجد عند hispiduline و apigénine: مركبين من الفلافونيدات الأجليكونية هما \*\*  
Centaurea جنس .

3-(3-methoxy 4,5-dihydroxyphenyl)-propan-1-ol : مركب عطري متعدد المستبدلات \*\*

ينبت في كل من *Centaurea acaulis* والجدير بالذكر هو أن هاتين النباتين محليتين حيث نجد النوع فهو ينبت في الجزائر و المغرب . كما أنهما لم *Centaurea maroccana* الجزائر وتونس أما النوع تكونا من قبل هدفا لأي دراسة فيتوكيميائية .

إن تحديد الصيغ البنوية للمركبات المعزولة تم بالإعتماد على طرق التحليل الطيفي الأكثر تطورا

،  $^{13}\text{C}$ -RMN ،  $^1\text{H}$ -RMN للنوي المغناطيسي متعدد النبضات أحادي و ثنائي البعد ( مطيافية الأشعة فوق البنفسجية ) : بالإضافة إلى كل من NOESY و HMBC ، HSQC ،  $^1\text{H}$ - $^1\text{H}$  COSY ، مطيافية الكتلة (IR) ، مطيافية الأشعة تحت الحمراء (UV-VIS) المرئية-